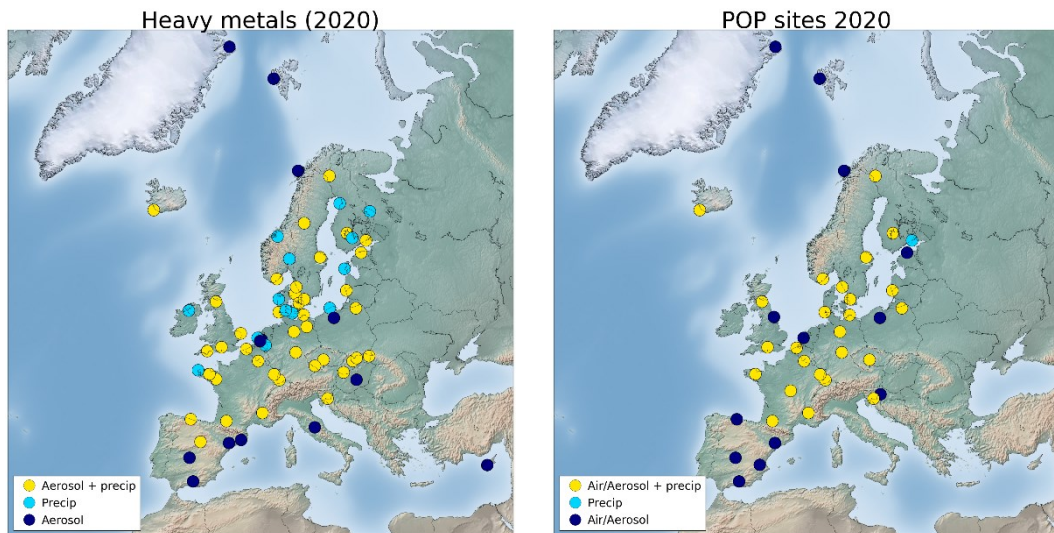


Heavy metals and POP measurements, 2020

Wenche Aas and Pernilla Bohlin-Nizzetto



NILU : EMEP/CCC-Report 3/2022
REFERENCE : O-7726
DATE : SEPTEMBER 2022
ISBN 978-82-425-3098-1
ISSN 2464-3920

**EMEP Co-operative Programme for Monitoring and Evaluation
of the Long-range Transmission of Air Pollutants
in Europe**

**Heavy metals and POP measurements,
2020**

Wenche Aas and Pernilla Bohlin-Nizzetto



Norwegian Institute for Air Research
P.O. Box 100, N-2027 Kjeller, Norway

Contents

	Page
Contents	3
1. Introduction	5
2. Measurement programme	5
2.1 Monitoring sites for heavy metals.....	6
2.2 Monitoring sites for POPs.....	12
2.3 Heavy metal concentrations over Europe	17
2.4 Concentrations of POPs in air and precipitation	23
2.5 Annual summaries.....	26
2.6 Monthly summaries.....	28
2.7 Update	28
3. Acknowledgements	29
4. References	30
Appendix A Annual statistics for heavy metals in precipitation	33
Appendix B Annual statistics for heavy metals in air	47
Appendix C Annual statistics for POPs in precipitation	59
Appendix D Annual statistics for POPs in air	67
Appendix E Monthly and annual mean values for heavy metals in precipitation.....	79
Appendix F Monthly and annual mean values for heavy metals in air	99
Appendix G Monthly and annual mean values for POPs in precipitation.....	115
Appendix H Monthly and annual mean values for POPs in air	125

Heavy metals and POP measurements, 2020

1. Introduction

Heavy metals and persistent organic pollutants (POPs) were included in EMEP's monitoring program in 1999. However, earlier data have been reported and are available. The EMEP database, thus also includes older data, especially for heavy metals, even back to 1976 for a few sites. A number of countries have been reporting heavy metals and POPs within the EMEP area in connection with different national and international programmes such as HELCOM, AMAP and OSPARCOM.

During the seventh phase of EMEP (EB.AIR/GE.1/1998/8), it was recommended that the future works under the Convention should concentrate on eight priority elements: lead (Pb), mercury (Hg), cadmium (Cd), chromium (Cr), nickel (Ni), zinc (Zn), copper (Cu) and arsenic (As). Particular attention should be paid to the first three elements.

The strategic long-term plans on POPs (EB.AIR/GE.1/1997/8) recommended to take a stepwise approach, and the following compounds or groups of compounds should be included in the first step: polycyclic aromatic hydrocarbons (PAHs), polychlorinated biphenyls (PCBs), hexachlorobenzene (HCB), chlordanes (CHLs), lindane (γ -hexachlorocyclohexane (HCH)), α -HCH, and DDT/DDE.

These recommendations for heavy metals and POPs are implemented in the EMEP monitoring strategy and measurement program for 2010–2019 (UNECE, 2009) and the newly adopted strategy for 2020-2029 (UNECE, 2019).

So far, twenty-four reports presenting data on heavy metals and POPs from national and international measurement programmes have been published (EMEP/CCC-Reports 8/96, 9/97, 7/98, 7/99, 2/2000, 9/2001, 9/2002, 1/2003, 7/2004, 9/2005, 7/2006, 6/2007, 4/2008, 3/2009, 3/2010, 3/2011, 3/2012, 4/2013, 4/2014, 3/2015, 4/2016, 3/2017, 3/2018, 3/2019, 3/2020, 3/2021) covering data for the period 1987 to 2019. In this report, data from 2020 are presented. All the data, including aggregated monthly and annual averages, are available from EMEP's homepage, <http://www.nilu.no/projects/ccc/emepdata.html>, and they can be directly accessed through the database at <http://ebas.nilu.no/>.

2. Measurement programme

The site codes used in this report are the codes used for data submission and storage in the EMEP database, or codes used in the AMAP, OSPARCOM or HELCOM programmes. The codes consist of the two-letter ISO code for the countries, a four-digit number and a letter indicating the type of station, regional (R) or global (G).

2.1 Monitoring sites for heavy metals

The locations of the monitoring sites, which have delivered data on heavy metals for 2020, are found in Figure 1 and Table 1. The sites are divided in those measuring concentrations of heavy metals in both air and in precipitation, and those measuring heavy metals in only one of them. In 2020, there were 40 sites measuring heavy metals in both air and precipitation, and altogether there were 67 measurement sites. There were 21 Parties to EMEP submitting heavy metal data.

There were 28 sites measuring at least one form of mercury, whereof 14 having measurements both in air and precipitation. 17 sites were measuring mercury in gaseous phase. There were 14 Parties to EMEP submitting mercury data.

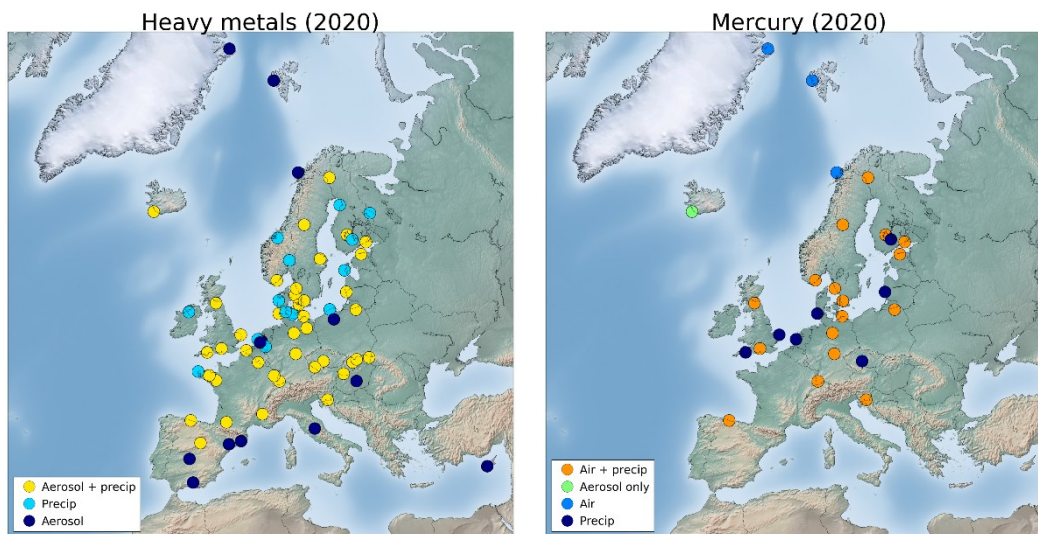


Figure 1: Measurement network of heavy metals (left) and mercury (right), 2020

The measurement obligations set by the EMEP monitoring strategy (UNECE, 2009 and 2019) and the EU's air quality directives (EU, 2004, 2008) have clearly improved the site coverage the last decade, although there is still a lack of measurements in some parts of Europe, especially for mercury as seen in Figure 1. A brief summary of the sampling and analytical techniques for heavy metals used for the 2020-data are given in Table 2.

Table 1: Monitoring stations and the sampling program of heavy metals, 2020

Country	Code	Station name	Latitude	Longitude	hasl	Metals in air	Metals in precip
Belgium	BE0014R	Koksijde	51 7 15 N	2 39 30 E	4	As,Cd, Cr Cu,Mn,Ni,Pb,Zn	As,Cd,Cr,Cu,Ni,Pb, Zn,Mn,Fe
Cyprus	CY0002R	Agia Marina	35 2 20 N	33 3 29 E	532	Al,As,Cd,Cr,Cu,Fe,Pb,Mn,Ni,V,Zn	
Czech Republic	CZ0003R	Kosetice (NOAK)	49 35 0 N	15 5 0 E	534	As,Cd,Co,Cr,Cu,Fe,Mn.Ni,Pb,Se,V,Zn	Cd,Co,Cr,Se,Hg,Ni,Pb,V,Zn,Mn
	CZ0005R	Churanov	49 4 0 N	13 36 0 E	118	As,Cr,Cd,Co,Cu,Fe,Pb,Ni,Mn,Se,V,Zn	As,Cd,Fe,Co,Cr,Ni,Pb,Se,V,Zn,Cu
Germany	DE0001R	Westerland	54 55 32 N	8 18 35 E	12	As,Cd,Cu,Co,Fe,Pb,Mn,Tl,Ni,Sb,V,Zn,Se	As,Cd,Cr,Co,Cu,Fe,Hg,Pb,Mn,Mo,Ni,Sb,Se,Ti,Tl,V,Zn
	DE0002R	Langenbrügge	52 48 8 N	10 45 34 E	74	As,Cd,Cu,Co,Fe,Hg,Pb,Mn,Ni,Tl,Sb,V,Zn,Se	As,Cd,Cr,Co,Cu,Fe,Hg,Pb,Mn,Mo,Ni,Sb,Se,Ti,Tl,V,Zn
	DE0003R	Schauinsland	47 54 53 N	7 54 31 E	1205	As,Cd,Cu,Co,Fe,Hg,Pb,Mn,Ni,Tl,Sb,V,Zn,Se	As,Cd,Cr,Co,Cu,Fe,Hg,Pb,Mn,Mo,Ni,Sb,Se,Ti,Tl,V,Zn
	DE0007R	Neuglobsow	53 10 0 N	13 2 0 E	65	As,Cd,Cu,Co,Fe,Pb, Mn,Ni,Tl, Sb,V,Zn,Se	As,Cd,Cr,Co,Cu,Fe,Pb,Mn,Mo,Ni,Sb,Se,Ti,Tl,V,Zn
	DE0008R	Schmücke	50 39 0 N	10 46 0 E	937	As,Cd,Cu,Co,Fe,Hg,Pb,Mn,Ni,Tl,Sb,V,Zn,Se	As,Cd,Cr,Co,Cu,Fe,Hg,Pb,Mn,Mo,Ni,Sb,Se,Ti,Tl,V,Zn
	DE0009R	Zingst	54 26 0 N	12 44 0 E	1	As,Cd,Cu,Co,Fe,Hg,Pb,Mn,Ni,Tl,Sb,V,Zn,Se	As,Cd,Cr,Co,Cu,Fe,Hg,Pb,Mn,Mo,Ni,Sb,Se,Ti,Tl,V,Zn
Denmark	DK0005R	Keldsnor	54 44 47 N	10 44 10 E	10		As,Cd,Cr,Cu,Ni,Pb
	DK0008R	Anholt	56 43 0 N	11 31 0 E	40	As,Cd,Pb,Ni	As,Cd,Cr,Cu,Ni,Pb
	DK0010G	Villum, North	81 36 0 N	16 40 12 W	20	As,Cd,Hg,Ni,Pb	
	DK0012R	Risø	55 41 36 N	12 5 0 E	3	As,Cd,Pb,Ni	As,Cd,Cr,Cu,Ni,Pb
	DK0022R	Sepstrup Sande	55 5 0 N	9 36 0 E	60		As,Cd,Cr,Cu,Ni,Pb
	DK0031R	Ulborg	56 17 26 N	8 25 39 E	10		As,Cd,Cr,Cu,Ni,Pb
Estonia	EE0009R	Lahemaa	59 30 0 N	25 54 0 E	32	As,Cd,Hg,Pb,Ni	As,Cd,Cr,Cu,Hg,Ni,Pb,Zn
	EE0011R	Vilsandy	58 23 0 N	21 49 0 E	6		Cd,Cu,Pb,Zn
Spain	ES0001R	S. Pablo d.l Montes	39 32 49 N	4 21 2 W	917	As,Cd,Cr,Pb,Ni,Zn	As,Cd,Cu,Cr,Pb,Hg,Ni,Zn (total deposition campaign)
	ES0007R	Víznar	37 14 14 N	3 32 3 W	1230	As,Cd,Cr,Pb,Ni,Zn	As,Cd,Cu,Cr,Pb,Hg,Ni,Zn (total deposition campaign)
	ES0008R	Niembro	43 26 20 N	4 50 57 W	134	As,Cd,Cr,Pb,Ni,Zn, Hg(g)	As,Cd,Cu,Cr,Pb,Hg,Ni,Zn (precip+total dep. campaign)
	ES0009R	Campisabalos	41 16 27 N	3 8 33 W	1360	As,Cd,Cr,Cu,Pb,Ni,Zn	As,Cd,Cu,Cr,Pb,Hg,Ni,Zn (precip+total dep. campaign)
	ES0014R	Els Torms	41 23 33 N	0 44 3 E	470	As,Cd,Cr,Cu,Ni,Pb,Zn	As,Cd,Cu,Cr,Pb,Hg,Ni,Zn (total deposition campaign)
	ES1778R	Montseny	41 46 0 N	2 21 0 E	700	Al,As,Cd,Cr,Co,Cu,Hg,Pb,Mn,Ni,V,Zn + more	

Table 1 (cont.)

Country	Code	Station name	Latitude	Longitude	hasl	Metals in air	Metals in precip
Finland	FI0018R	Virolahti III	60 31 48 N	27 40 3 E	4	Al,As,Cd,Co,Cr,Cu,Fe,Hg,Mn,Ni,Pb,V,Zn	Al,As,Cd,Co,Cr,Cu,Fe,Hg,Mn,Ni,Pb,V,Zn
	FI0036R	Pallas/Matarova	68 0 0 N	24 14 23 E	340	Al,As,Cd,Co,Cr,Cu,Hg,Fe,Mn,Ni,Pb,V,Zn	Al,As,Cd,Co,Cr,Cu,Fe,Hg,Mn,Ni,Pb,V,Zn
	FI0050R	Hyytiälä	61 51 0 N	24 17 0 E	181	Al,As,Cd,Co,Cr,Cu,Fe,Hg,Mn,Ni,Pb,V,Zn	Al,As,Cd,Co,Cr,Cu,Fe,Hg,Mn,Ni,Pb,V,Zn
	FI0053R	Hailuoto II	65 0 0 N	24 41 39 E	0		Al,As,Cd,Co,Cr,Cu,Fe,Mn,Ni,Pb,V,Zn
	FI0092R	Hietajärvi	63 10 0 N	30 43 0 E	172		Al,As,Cd,Co,Cr,Cu,Fe,Mn,Ni,Pb,V,Zn
	FI0093R	Kotinen	61 14 0 N	25 4 0 E	158		Al,As,Cd,Co,Cr,Cu,Fe,Hg,Mn,Ni,Pb,V,Zn
France	FR0008R	Donon	48 30 0 N	7 8 0 E	775	As,Cd,Ni,Pb	As,Cd,Ni,Pb
	FR0009R	Revin	49 54 0 N	4 38 0 E	0	As,Cd,Ni,Pb	As,Cd,Ni,Pb
	FR0013R	Peyrusse Vieille	43 37 0 N	0 11 0 E	200	As,Cd,Ni,Pb	As,Cd,Ni,Pb
	FR0023R	Désert	44 34 10 N	5 16 44 E	605	As,Cd,Ni,Pb	As,Cd,Ni,Pb
	FR0024R	Guipry	47 49 55 N	1 50 11 W	29	As,Cd,Ni,Pb	As,Cd,Ni,Pb
	FR0025R	Verneuil	46 48 53 N	2 36 36 E	182	As,Cd,Ni,Pb	As,Cd,Ni,Pb
	FR0090R	Porspoder	48 31 0 N	4 45 0 W	50		As,Cd,Co,Cu,Cr,Ni,V,Zn
Great Britain	GB0006R	Lough Navar	54 26 35 N	7 52 12 W	126		As,Cd,Cr,Cu,Pb,Ni,Zn
	GB0013R	Yarner Wood	50 35 47 N	3 42 47 W	11	As,Cd,Cr,Cu,Ni,Pb,Zn	As,Cd,Cr,Cu,Hg,Pb,Ni,Zn
	GB0017R	Heigham Holmes	54 45 14 N	1 38 22 W	267	As,Cd,Cr,Cu,Ni,Pb,Zn	As,Cd,Cr,Cu,Hg,Pb,Ni,Zn
	GB1055R	Chilbolton	51 8 59 N	1 26 18 W	78	As,Cd,Cr,Co,Cu,Fe,Hg,Pb,Ni,Se,V,Zn	Al,As,Cd,Cr,Co,Cu,Hg,Pb,Mn,Ni,V,Zn + more
	GB0048R	Auchencorth Moss	55 47 36 N	3 14 41 W	260	As,Cd,Cr,Co,Cu,Fe,Hg,Mn,Ni,Pb,Se,V,Zn	Al,As,Cd,Cr,Co,Cu,Hg,Pb,Mn,Ni,V,Zn + more
Hungary	HU0002R	K-pusztá	46 58 0 N	19 35 0 E	125	Pb,Cd	
Iceland	IS0091R	Storhofdi	63 23 58 N	20 17 18 W	118	Al,As,Cd,Co,Cr,Cu,Fe,Hg,Mn,Ni,Pb,V,Zn	Al,As,Cd,Cr,Co,Cu,Fe,Mn,Ni,Pb,V,Zn
	IS0002R	Irafoss	64 5 17 N	21 0 24 W	66	Fe	
Italy	IT0019R	Monte Martano	42 48 20 N	12 33 56 E	1090	Al,As,Cd,Cr,Co,Cu,Fe,Mn,Mo,Ni,Pb,Sn,Ti,V,Zn	Al,As,Cd,Cr,Co,Cu,Fe,Mn,Mo,Ni,Pb,Sn,Ti,V,Zn (tot. dep.)
Latvia	LV0010R	Rucava	56 9 44 N	21 10 23 E	18	As,Cd,Pb,Ni	As,Cd,Hg,Pb,Ni
Netherlands	NL0008R	Bilthoven	52 11 99 N	5 19 50 E	5.0	As,Cd,Pb,Ni,Zn	
	NL0010R	Vredepeel	51 54 5 N	5 85 31 E	28		As,Cd,Cr,Cu,Fe,Ni,Pb,V,Zn
	NL0091R	De Zilk	52 29 66 N	4 51 9 E	4.0		As,Cd,Cr,Cu,Fe,Pb,Ni,Zn,Hg
	NL0644R	Cabauw	51 58 28 N	4 55 25 E	1	As,Cd,Pb,Ni,Zn	

Table 1 (cont.)

Country	Code	Station name	Latitude	Longitude	hasl	Metals in air	Metals in precip
Norway	NO0001R	Birkenes	58 23 0 N	8 15 0 E	190	As,Al,Cd,Cr,Co,Cu,Fe,Pb,Hg,Ni,V,Zn	As,Cd,Cr,Co,Cu,Pb,Hg,Ni,V,Zn
	NO0039R	Kårvatn	62 47 0 N	8 53 0 E	210		Cd,Pb,Zn
	NO0042G	Zeppelin	78 54 0 N	11 53 0 E	474	As,Al,Cd,Cr,Co,Cu,Fe,Pb,Hg,Ni,V,Zn	
	NO0056R	Hurdal	60 22 0 N	11 4 0 E	300		Cd,Pb,Zn
	NO0090R	Andøya	69 16 42 N	16 0 42 E	380	As,Al,Cd,Cr,Co,Cu,Fe,Pb,Hg,Ni,V,Zn	
Poland	PL0004R	Leba	54 45 13 N	17 32 5 E	2		Cd,Cr,Cu,Pb,Ni,Zn
	PL0005R	Diabla Gora	54 7 3 N	22 2 17 E	157	As,Cd,Cr,Cu,Pb,Hg,Ni,Zn	As,Cd,Cr,Cu,Pb,Ni,Zn,Hg
	PL0009R	Zielonka	53 39 44 N	17 56 2 E	121	As,Cd,Ni,Pb	
Sweden	SE0005R	Bredkälen	63 51 0 N	15 20 0 E	404	As,Cd,Cr,Co,Cu,Hg,Pb,Mn,Ni,V,Zn	As,Cd,Cr,Co,Cu,Hg,Pb,Mn,Ni,V,Zn
	SE0014R	Råö	57 23 0 N	11 53 0 E	10	As,Cd,Cr,Co,Cu,Hg,Pb,Mn,Ni,V,Zn	As,Cd,Cr,Co,Cu,Hg,Pb,Mn,Ni,V,Zn
	SE0020R	Hallahus	56 2 80 N	13 8 80 E	190	As,Cd,Cr,Co,Cu,Hg,Pb,Mn,Ni,V,Zn	As,Cd,Cr,Co,Cu,Pb,Mn,Ni,V,Zn
	SE0022R	Norunda Stenen	60 5 9 N	17 30 19 E	45	As,Cd,Cr,Co,Cu,Pb,Mn,Ni,V,Zn	As,Cd,Cr,Co,Cu,Hg,Pb,Mn,Ni,V,Zn
Slovenia	SI0008R	Iskrba	45 33 45 N	14 51 45 E	520	As,Cd,Co,Cr,Cu,Hg,Pb,Mn,Ni,V,Zn	As,Cd,Cr,Co,Cu,Hg,Pb,Mn,Ni,V,Zn
Slovakia	SK0002R	Chopok	48 56 0 N	19 35 0 E	2008	As,Cd,Cr,Cu,Pb,Ni,Zn	As,Cd,Cr,Cu,Pb,Ni,Zn
	SK0004R	Stará Lesná	49 9 0 N	20 17 0 E	808	As,Cd,Cr,Cu,Pb,Ni,Zn	As,Cd,Cr,Cu,Pb,Ni,Zn
	SK0006R	Starina	49 3 0 N	22 16 0 E	345	As,Cd,Cr,Cu,Pb,Ni,Zn	As,Cd,Cr,Cu,Pb,Ni,Zn
	SK0007R	Topolníky	47 57 36 N	17 51 38 E	113	As,Cd,Cr,Cu,Pb,Ni,Zn	As,Cd,Cr,Cu,Pb,Ni,Zn

Table 2: Measurement methods for heavy metals, 2020

Country	Precipitation		Air and aerosols		Laboratory method
	Field method	Frequency	Field method	Frequency	
Belgium	wet only	weekly	Low volume sampler	48h	ICP-MS
Cyprus	wet only	daily	High Volume Sampler, quartz fibre filters, ca 700 m ³ /day	daily	ICP-MS
Czech Republic	Wet only	Daily: CZ03 Weekly: CZ05	Filter-1pack	every 2nd day	ICP-MS AFSFX
Hg	Bulk	Weekly: CZ3			
Germany	wet only Hg wet only	Weekly Weekly	Low volume sampler TGM : monitor (Tekran) GEM : mercury speciation unit (Tekran) TPM : mercury speciation unit (Tekran) RGM : mercury speciation unit (Tekran)	weekly daily (reported) 1 h (reported) 3 h (5 - 6 values per 24 h) 3 h (5 - 6 values per 24 h)	ICP-MS
Denmark	Hg	Bulk	Monthly Low volume sampler, Millipore RAWP 1.2 mm, 58 m ³ /day TGM: monitor (Tekran)	daily 1h	ICP-MS
Estonia	Bulk	EE0009R weekly EE0011R 2-weekly	High vol.	weekly	GF-AAS, Zn: F-AAS
Spain	wet only	Weekly	High-vol, PM10	24h a week	ICP-MS (aerosol) GF-AAS for precip
Finland	Bulk Hg Bulk	Monthly Monthly	Low volume sampler TGM : monitor (Tekran) additionally : FI36 TGM : gold traps and TPM: mini traps by Sweden	weekly 1h (all sites)+ FI36: 2 X 24 h a week (manual traps)	ICP-MS CV-AFS
France	bulk	Monthly (4weeks)	low volume sampler	2-weekly	ICP MS
Great Britain	Bulk	GB06,17: monthly GB13,91: weekly	PM10, low volume sampler	weekly	ICP-MS
Hungary			filter_1pack	weekly	GF-AAS
Iceland	Bulk	Weekly	High vol.	2-weekly	ICP-MS
Hg			High vol.	2-weekly	CV-AAS
Italy	Bulk sampler precip+dry deposition	Monthly	High vol	48 h a week	ICP-MS
Latvia	wet only	Weekly	PM10, low volume sampler, 2.3 m ³ /h	Biweekly	ICP MS

Table 2 (cont.)

Country	Precipitation		Air and aerosols		Laboratory method
	Field method	Frequency	Field method	Frequency	
Hungary	wet only	weekly	filter_1pack	weekly	GF-AAS
Netherlands	Wet-only	weekly (NL0091R)	PM10, low volume sampler, OPSIS teflon filters, 2.3 m ³ /h (NL0008R)	Every 2nd day	ICP-MS
	Bulk	2-weekly (NL0010R)	PM2.5 low volume sampler, OPSIS teflon filters, 2.3 m ³ /h (NL0008R)	Every 4th day	ICP-MS
	Hg Wet-only	Weekly			CV-AFS
Norway	Bulk	Weekly	NO42: High Vol, 20 l/h, W41 NO01: PM10 KFG 2,3 l/h, quartz TGM: monitor (Tekran)	48h a week Weekly continuously	ICP-MS
	Hg Bulk (Hg)	Monthly			CV-AFS
Poland,	PL04 Wet-only	Biweekly sampling, monthly analysis			GF-AAS, Zn: F-AAS
	PL05 Bulk	Weekly sampling, monthly analysis	PM10 High vol, quartz filter	daily sampling, weekly analysis (bulked 7 filters)	GF-AAS, Zn:F-AAS - precip.; As, Cd, Ni, Pb: GF-AAS, Cr, Cu, Zn: ICP-AES - PM10
	Hg Bulk (Hg)	Weekly sampling, monthly analysis	Hg: gold traps (TGM)	24h a week	AAS-AMA analyzer gold traps; CV-AFS
	PL09		PM10 High vol, quartz filter	daily sampling, weekly analysis (bulked 7 filters)	As, Cd, Ni, Pb: GF-AAS
Sweden	Bulk	Monthly	PM10, intermittent, teflon filter	2-weekly sampling, monthly analysis	ICP-MS
	Hg Bulk (Hg)	2-weekly	Hg: gold traps (TGM) Hg: GEM, TPM, GOM monitor (Tekran)	1 X 24 h a week continuously (SE0014R)	CV-AFS CV-AFS
Slovenia	bulk (HM)	weekly	Low volume, 2.3 m ³ /h, PM ₁₀ , quartz filters	24 h once every 6days	ICP-MS
	Hg wet only (Hg)	1 month	AAS with Zeeman background corr.	continuously for min 2 weeks of each season	Precip: CV-AAS, Aerosol: AAS
Slovakia	Wet-only: SK04, SK06, SK07. Bulk: SK02	Monthly: SK02, SK04, SK07. Weekly: SK06	SK02: TSP Filter-1pack, Nitrocellulose filters Sartorius 47mm: 22-24 m ³ /day, pump changed since Sept. 35-40 m ³ /day. SK04, SK06, SK07: 24 m ³ /day PM10/microPNS.	Weekly	ICP-MS

GF-AAS: Graphic Furnace Atomic Absorption Spectroscopy

ICP-MS (or OES): Inductively Coupled Plasma - Mass Spectrometry (optical emission spectrometry)

CV-AAS: Cold Vapour Atomic Fluorescence Spectroscopy

XRF: X-ray fluorescence

2.2 Monitoring sites for POPs

The locations of the monitoring sites that have delivered data on POPs in 2020, are shown in Figure 2-3 and Table 3. In total, there are 17 parties and 39 sites reporting POP data in 2020. Of these, 25 sites report data in both air and precipitation/total deposition, 13 sites report data only in air. The spatial coverage varies for the different POP compounds (Figure 3). One should further notice that several of the Parties only measure and report PAHs (i.e. 10 Parties and 28 sites). A summary of the sampling and analytical techniques used for POPs for the 2020-data are given in Table 4.

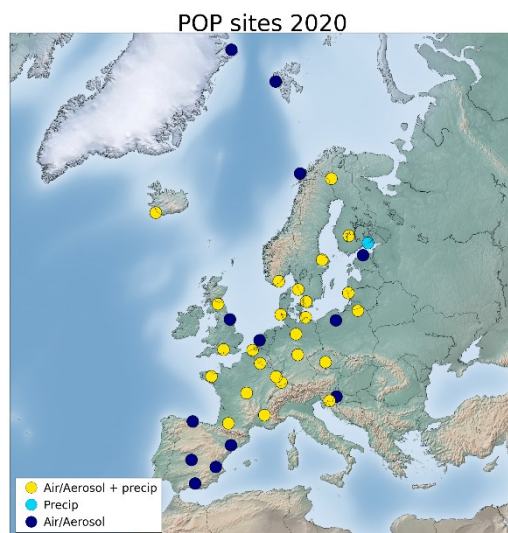


Figure 2: Measurement network of POPs in EMEP, 2020

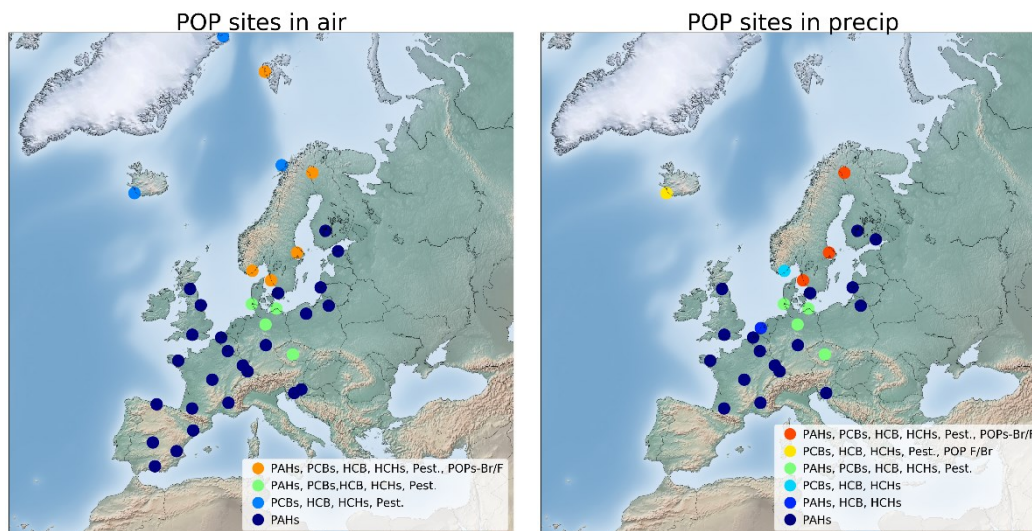


Figure 3: Spatial distribution of monitored POP components for air (left) and precipitation (right) respectively, in 2020

Table 3: Monitoring stations and their sampling program of POPs, 2020

Country	Code	Station name	Latitude	Longitude	hasl	POPs in air and/or aerosol	POPs in precipitation
Belgium	BE0013R	Houtem	51 0 58 N	2 34 56 E	44	PAHs	PAHs
Czech rep.	CZ0003R	Kosetice	49 35 0 N	15 5 0 E	534	PAHs, PCBs, HCB, DDTs, HCHs	PAHs, PCBs, DDTs, HCHs
Germany	DE0001R	Westerland	54 55 32 N	8 18 35 E	12	PAHs, PCBs, DDTs, HCHs, HCB, OCPs*	PAHs, PCBs, HCB, DDTs, HCHs, OCPs*
	DE0002R	Waldhof	52 48 8 N	10 45 34 E	74	PAHs, PCBs, DDTs, HCHs, HCB, OCPs*	PAHs, PCBs, HCB, DDTs, HCHs, OCPs*
	DE0003R	Schauinsland	47 54 53 N	7 54 31 E	1205	PAHs	PAHs
	DE0008R	Schmücke	50 39 0 N	10 46 0 E	937	PAHs	PAHs
	DE0009R	Zingst	54 26 0 N	12 44 0 E	1	PAHs, PCBs, DDTs, HCHs, HCB, OCPs*	PAHs, PCBs, HCB, DDTs, HCHs, OCPs*
Denmark	DK0010G	Villum Reserach Station, North Greenland	81 36 0 N	16 40 12 W	20	HCB, PCBs, DDTs, HCHs, OCPs*	
Estonia	EE0009R	Lahemaa	59 30 0 N	25 54 0 W	32	PAHs	
Spain	ES0001R	San Pablo de los Montes	39 32 49 N	4 21 2 W	917	PAHs	PAHs (**)
	ES0007R	Víznar	37 14 14 N	3 32 3 W	1265	PAHs	PAHs (**)
	ES0008R	Niembro	43 26 32 N	4 51 1 W	134	PAHs	PAHs (**)
	ES0012R	Zarra	39 5 10 N	1 6 7 W	885	PAHs	PAHs (**)
	ES0014R	Els Torms	41 23 33 N	0 44 3 E	470	PAHs	PAHs (**)
Finland	FI0018R	Virolahti III	60 31 48 N	27 40 3 E	4	PAHs	PAHs
	FI0036R	Pallas/Matorova	68 0 0 N	24 14 23 E	340	PAHs, PCBs, HCB, DDTs, HCHs, BDEs, PFASs, OCPs*	PAHs, PCBs, HCB, DDTs, HCHs, BDEs, OCPs*
	FI0050R	Hyytiala	61 51 0 N	24 17 0 E	181	PAHs	PAHs
France	FR0008R	Donon	48 30 0 N	7 8 0 E	775	PAHs	PAHs
	FR0009R	Revin	49 54 0 N	4 38 0 E	390	PAHs	PAHs
	FR0013R	Peyrusse Vieille	43 37 0 N	0 11 0 E	200	PAHs	PAHs
	FR0023R	Saint-Nazaire-le-Désert	44 34 10 N	5 16 44 E	605	PAHs	PAHs
	FR0024R	Guipry	47 49 55 N	1 50 11 W	29	PAHs	PAHs
	FR0025R	Verneuil	46 48 53 N	2 36 36 E	182	PAHs	PAHs
Great Britain	GB0014R	High Muffles	54 20 4 N	0 48 27 W	267	PAHs	
	GB1055R	Chilbolton Observatory	51 8 59 N	1 26 18 W	78	PAHs	PAHs
	GB0048R	Auchencorth Moss	55 47 31 N	3 14 34 W	260	PAHs	PAHs
Croatia	HR0002R	Puntijarka	45 54 0 N	15 58 0 E	988	PAHs	
Iceland	IS0091R	Storhofdi	63 23 58 N	20 17 18 W	118	PCBs, HCB, DDTs, HCHs, OCPs*, BDEs	PCBs, HCB, DDTs, HCHs, OCPs*, BDEs
Latvia	LV0010R	Rucava	56 9 44 N	21 10 23 E	18	PAHs	PAHs
Netherlands	NL0091R	De Zilk	52 29 66 N	4 51 9 E	4		PAHs, HCH

Table 3 (cont.)

Country	Code	Name	Latitude	Longitude	has1	POPs in air and/or aerosol	POPs in precipitation
Norway	NO0042G	Spitsbergen	78 54 0 N	11 53 0 E	474	PAHs, PCBs, HCB, DDTs, HCHs, OCPs*, BDEs, HBCDs, TBA, PFASs	
	NO0002R	Birkenes	58 23 0 N	8 15 0 E	190	PAHs, PCBs, HCB, DDTs, HCHs, OCPs*, BDEs, HBCDs, TBA, PFASs	PCBs, HCB, HCHs
	NO0090R	Andøya	69 16 42 N	16 0 42 E	380	PCBs, HCB, PFASs	
Poland	PL0005R	Diabla Gora	54 7 3 N	22 2 17 E	157	PAHs	PAHs
	PL0009R	Zielonka	53 39 44 N	17 56 2 E	121	PAHs	
Sweden	SE0014R	Råö	57 23 38 N	11 55 50 E	5	PAHs, PCBs, HCB, DDTs, HCHs, OCPs*, BDEs, PCDD/Fs**, HBCDD, PFASs, new BFR, SCCP/MCCP	PAHs, PCBs, HCB, DDTs, HCHs, BDEs, OCPs*, PFASs, HBCDD, SCCP/MCCP, PCDD/Fs**
	SE0020R	Hallahus	56 2 44 N	13 8 80 E	190	PAHs	PAHs
	SE0022R	Norunda Stenen	60 5 9 N	17 30 19 E	45	PAHs, PCBs, HCB, DDTs, HCHs, BDEs, PCDD/Fs**, SCCP/MCCP, PFASs, new BFR	PAHs, PCBs, HCB, DDTs, HCHs, BDEs, OCPs*, PFASs, SCCP/MCCP, PCDD/Fs**
Slovenia	SI0008R	Iskrba	45 33 45 N	14 51 45 E	520	PAHs	PAHs

* One or several of: aldrin, dieldrin, endrin, heptachlor, oxychlorane, heptachlorepoxyde, mirex, endosulfan

** Campaign data

Table 4: Measurement methods for POPs, 2020

Country	Precipitation		Air and aerosols		Laboratory method
	Sampling method	Frequency	Sampling method	Frequency	
Belgium	Bulk, funnel-bottle	4-weekly	Low Volume sampler, Leckel, 55.2 m ³ /day	24h, once every 3 days	GC-MS
Croatia			Low Volume sampler, Comde-Derenda, PM10, PTFE filter, 55 m ³ /day	Daily sampling, weekly analysis (7 filters)	GC-MS
Czech Republic	Wet only	Daily	High Volume sampler, Digitel, PM10, Whatman quartz filter QM-A/150 mm, PU-foam, 700 m ³ /day	24 h, once per week	GC-MS
Denmark			High Volume sampler	Monthly	GC-MS
Germany	Wet only + funnel wash	Monthly	High Volume sampler, filter + PU-foam	Monthly	GC-MS
Estonia			High Volume sampler, PM10	Weekly	
Spain	Bulk (precip + dry dep)	4 month (campaign)	High Volume sampler, PM10	Pooled sampled from 10 daily sampling filters	GC-MS
Finland	Bulk (precip + dry dep)	Monthly sampling	Low volume sampler	Weekly sampling, monthly analysis	HPLC, GC-MS
Fi 36	Bulk (precip + dry dep)	1-2 week sampling, monthly sampling	High volume sampler	Weekly sampling, monthly analysis	HPLC, GC-MS, GC-ECD (by IVL, Sweden)
France	Bulk (precip + dry dep)	Monthly sampling (28 days)	High Volume sampler, Digitel, PM10, DA80 quartz filter	24 h, once every 6 days	GC-MS
Great Britain	Bulk (wet dep)	Monthly	High Volume sampler, PM10, Whatman GF filter + 2 PU-foams, 5 m ³ /h	Biweekly sampling, 3 monthly analysis	GC-MS
Iceland	Bulk (precip)	Biweekly	High Volume sampler	Biweekly	GC-ECD
Latvia	Wet only	Weekly	Low Volume sampler, PM10, OPSIS teflon filters, 2.3 m ³ /h	Biweekly	HPLC, GC-MS
Netherlands	Bulk	4 weekly	Low volume sampler, PM10, Whatman quartz filter	Sampled every other day, analysis is pooled: 3 samples in winter, 5 in summer	GC-MS
Norway	Bulk, funnel and bottle of glass	Weekly	High Volume sampler, Gelman A/E glass fiber filter + 2 PU-foams, 20 m ³ /h	NO01: 24-48 h, once a week	GC-MS

Table 4 (cont.)

Country	Precipitation		Air and aerosols		Laboratory method
	Sampling method	Frequency	Sampling method	Frequency	
Poland	Bulk, funnel and bottle of glass	Weekly sampling, monthly analysis	High Vol, quartz filter, 750 m ³ /day	Daily sampling, weekly analysis (7 filters)	HPLC
Sweden	Wet and dry deposition	Biweekly sampling, monthly analysis	High Volume sampler, PU-foam, GF filter: Low volume sampler, GF filter (PAH, Hallahus)	Weekly sampling, monthly/4 months per year	HPLC-FD, GC/ECD, GC-MS, HPLC-MS
Slovenia			Low Volume sampler, Leckel, PM10, Quartz filter	24h, once every 3 days	GC-MS

HPLC: High Performance Liquid Chromatography

GC-MS: Gas Chromatography + Mass Spectrometry

GC-ECD: Gas Chromatography + Electron Capture Detector

TLC: Thin Layer Chromatography

2.3 Heavy metal concentrations over Europe

The annual concentrations of heavy metals in air and precipitation are found in Table 5 Table 6. The annual mean concentrations in precipitation have been calculated from daily, weekly or monthly reported values as precipitation-weighted averages. When discussing the regional distribution of the concentration fields, it should be noticed that few countries in Southern and Eastern Europe have reported data for heavy metals in precipitation or in air.

Annual averages of Pb, Cd, As, Cr, Cu, Ni, Zn and Hg concentrations in air/aerosols and precipitation in 2020 are presented in Figure 4 to Figure 18 There are more sites with precipitation in Northern Europe compared to aerosols, while the opposite for southern Europe. The highest concentrations vary depending on component and matrix, though elevated concentrations are especially for the aerosol components seen along the coast and especially around the English Channel. Cr has in addition to anthropogenic sources high concentrations in crustal material and that can be the reason for higher concentration of Cr in southern Europe. The concentrations fields in precipitation is more scattered, but with higher levels generally seen towards Eastern Europe. For mercury, the highest concentration is seen in Poland while Spain showing extremely low concentrations of mercury in air (0.4 ng/m³) indicating problems with the measurements.

For heavy metal measurements, there are two major problems with the data. Firstly, the detection limit for the method is not always adequate for the respective sampling site, and the data coverage is also in general much poorer than e.g. for main components. According to the EMEP data quality objectives (EMEP/CCC, 2014), the data completeness should be at least 90%. In addition, 75% of the data should be above the detection limit. As seen in Annex 1 and Annex 2, these two criteria are often not met. However, several countries analyse heavy metals in air on one or two samples weekly from daily aerosol samples. This will give poor data completeness, but the seasonal distribution and data coverage is satisfactory, and the estimate of the annual average is probably reasonable. Annual averages based on data where more than 50% is below detection limit, is marked in italic in Table 5 Table 6.

Table 5: Annual average concentration of heavy metals in precipitation in 2020
(µg/l, Hg in ng/l)

Code	Pb	Cd	Zn	Hg	Ni	As	Cu	Co	Cr	Mn	V	Fe	Al	Mm (Hg)	mm
BE0014R	0,39	0,020	6,7	-	0,21	0,04	4,15	-	0,09	2,78	-	8	-		754
CZ0003R	0,62	0,021	15,4	5,3	0,15	-	-	0,03	0,11	2,39	0,09	-	-	798	799
CZ0005R	0,29	0,011	4	-	0,10	0,05	0,83	0,02	0,06	1,72	0,07	28	-		1069
DE0001R	0,22	0,010	2	4,5	0,08	0,04	0,35	0,02	0,06	0,81	0,11	11	-	825	787
DE0002R	0,37	0,014	2,8	6,5	0,07	0,06	0,51	0,02	0,08	1,60	0,13	18	-	621	577
DE0003R	0,19	0,007	1,9	5,4	0,05	0,03	0,35	0,02	0,06	0,94	0,06	11	-	1526	1467
DE0007R	0,37	0,015	3,7	-	0,09	0,06	0,82	0,03	0,07	2,30	0,10	20	-		570
DE0008R	0,34	0,011	6,6	4,9	0,22	0,04	0,61	0,02	0,07	1,25	0,06	14	-	1169	1138
DE0009R	0,23	0,011	2,4	7,1	0,22	0,04	0,45	0,02	0,06	1,87	0,17	14	-	599	610
DK0005R	1,51	0,042	16,4	-	0,24	0,10	4,29	-	0,30	-	-	-	-		459
DK0008R	0,43	0,018	5,3	-	0,33	0,15	0,83	-	0,16	-	-	-	-		528
DK0012R	2,93	0,156	72,2	-	2,12	0,16	9,42	-	1,89	-	-	-	-		3
DK0022R	0,21	0,012	2,8	-	0,07	0,07	0,37	-	0,08	-	-	-	-		825
DK0031R	0,14	0,008	2	-	0,06	0,03	0,37	-	0,04	-	-	-	-		1018
EE0009R	0,18	0,016	3,5	2,5	0,29	0,03	1,72	-	-	-	-	-	-	794	791
EE0011R	0,35	0,015	5,1	-	0,84	-	3,64	-	-	1,25	-	-	-		627
ES0008R	1,56	0,077	50,5	3,2	5,07	0,08	16,63	-	2,95	-	-	-	-	959	1063
ES0009R	2,09	0,095	44,5	-	0,62	0,06	7,63	-	0,55	-	-	-	-		378
FI0018R	0,74	0,025	3,4	4,0	0,22	0,09	0,59	0,02	0,07	2,86	0,21	48	26	681	642
FI0036R	0,18	0,007	1,3	3,8	0,16	0,03	0,55	0,01	0,04	1,5	0,07	4	4	424	436
FI0050R	0,32	0,014	2,9	4,1	0,16	0,07	0,49	0,02	0,07	2,15	0,13	25	18	608	593
FI0053R	0,20	0,008	1,8	-	0,08	0,04	0,55	0,02	0,08	1,11	0,14	11	8		577
FI0092R	0,25	0,010	1,3	-	0,07	0,04	0,36	0,01	0,05	1,02	0,08	8	7		712
FI0093R	0,32	0,018	2	2,8	0,12	0,05	0,43	0,01	0,05	2,03	0,11	11	9	626	604
FR0008R	0,45	0,082	-	-	0,18	0,08	-	-	-	-	-	-	-		1234
FR0009R	0,73	0,032	-	-	0,22	0,05	-	-	-	-	-	-	-		992
FR0013R	0,25	0,014	-	-	0,21	0,04	-	-	-	-	-	-	-		682
FR0023R	0,59	0,036	-	-	0,23	0,06	-	-	-	-	-	-	-		735
FR0025R	0,43	0,020	-	-	0,29	0,06	-	-	-	-	-	-	-		542
FR0028R	0,41	0,014	-	-	0,15	0,04	-	-	-	-	-	-	-		1372
FR0090R	0,80	0,029	10,2	-	0,3	0,22	1,88	0,03	0,07	-	0,31	-	-		852
GB0006R	0,03	0,001	0,6	-	0,05	0,11	0,39	-	0,02	-	-	-	-		1917
GB0013R	0,03	0,001	0,5	4,0	0,05	0,09	0,07	-	0,02	-	-	-	-	1362	1425
GB0017R	0,31	0,005	3,1	5,4	0,09	0,10	0,33	-	0,03	-	-	-	-	575	558
GB0048R	0,03	0,001	0,6	3,5	0,05	0,07	0,39	0	0,02	0,47	0,02	1	1	1112	1068
GB1055R	0,05	0,004	1	3,2	0,08	0,06	0,25	0	0,04	1,43	0,1	2	3	756	775
IS0091R	0,62	0,014	12,4	-	0,46	0,05	2,88	0,1	0,31	4	0,66	208	156		1133
LV0010R	0,47	0,022	-	5,8	0,59	0,18	-	-	-	-	-	-	-	852	852
NL0010R	0,69	0,046	8	-	0,2	0,07	1,53	-	0,08	-	0,12	22	-		383
NL0091R	0,35	0,009	2,2	9,1	0,19	0,04	0,56	-	0,06	-	0,2	12	-	934	826
NO0001R	0,62	0,015	3,7	3,7	0,66	0,07	2,44	0,02	0,14	1,43	0,2	-	-	2288	2035
NO0039R	0,14	0,003	1,4	-	-	-	-	-	-	-	-	-	-		1788
NO0056R	0,47	0,017	4,8	-	-	-	-	-	-	-	-	-	-		1413
PL0004R	0,25	0,011	1,9	-	0,11	-	0,59	-	0,03	-	-	-	-		529
PL0005R	0,24	0,027	4,5	10,2	0,49	0,26	0,91	-	0,1	-	-	-	-	631	592
SE0005R	0,42	0,021	5,4	3,8	0,09	0,04	5,88	0,03	0,06	10,3	0,04	-	-	655	332
SE0014R	0,45	0,073	6,2	6,4	0,07	0,12	4,22	0,04	0,06	3,97	0,14	-	-	655	577
SE0020R	0,37	0,097	8,7	6,4	0,1	0,09	3,62	0,04	0,06	5,24	0,17	-	-	793	721
SE0022R	0,24	0,013	2,9	-	0,06	0,06	3,73	0,03	0,05	1,85	0,11	-	-		395
SI0008R	0,37	0,010	2,4	5,5	0,13	0,04	0,69	0,09	0,03	2,76	0,13	-	-	431	705
SK0002R	3,86	0,153	20,1	-	0,26	0,33	0,9	-	0,13	-	-	-	-		983
SK0004R	0,79	0,155	10,4	-	0,44	0,54	0,88	-	0,12	-	-	-	-		754
SK0006R	0,81	0,092	17,9	-	0,53	0,28	0,74	-	0,15	-	-	-	-		751
SK0007R	0,91	0,075	47,2	-	0,41	0,23	0,62	-	0,15	-	-	-	-		457

Italic data means more than 50% of the data is below the detection limit

Grey shades means data completeness is poor (less than 75%. Coverage lower than 50% is not included.)

Red means that this must be wrong and will be corrected in ebas when/if updated data are submitted

Table 6: Annual average concentration of heavy metals in air in 2020 (ng/m³)

Code		Pb	Cd	Zn	Hg (air)	Ni	As	Cu	Co	Cr	Mn	V	Fe	Al
BE0014R	pm10	3,28	0,103	12,3	-	1,7	0,47	2,98	-	1,25	7,48	-	-	-
CY0002R	pm10	0	0,086	12,2	-	0,99	0,44	1,94	-	0,86	7,28	1,56	354	431,2
CZ0003R	pm10	1,75	0,072	6,9	-	0,26	0,31	1,2	0,04	0,48	2,87	0,22	91	-
CZ0003R	pm25	1,44	0,062	5,5	-	0,19	0,27	0,62	0,01	0,35	1,18	0,11	31	-
CZ0005R	pm10	0,84	0,029	3,6	-	0,17	0,12	0,84	0,03	0,44	1,58	0,17	67	-
DE0001R	pm10	1,33	0,047	9,4	-	0,46	0,22	1,09	0,02	-	1,86	0,62	52	-
DE0002R	pm10	2,34	0,078	11,1	1,77	0,4	0,32	2,08	0,04	-	3,05	0,38	100	-
DE0003R	pm10	0,87	0,019	17,5	1,29	0,51	0,1	1,3	0,04	-	2,48	0,27	107	-
DE0007R	pm10	1,94	0,068	21,4	-	0,28	0,31	1,26	0,03	-	2,43	0,34	71	-
DE0008R	pm10	1,27	0,043	7,3	1,45	0,21	0,16	1,63	0,03	-	2,36	0,22	75	-
DE0009R	pm10	1,6	0,058	8,4	1,39	0,71	0,27	1,21	0,03	-	1,89	1,46	65	-
DK0008R	aerosol	0,96	0,033	-	-	0,46	0,24	-	-	-	-	-	-	-
DK0010G	aerosol	0,21	0,007	-	1,23	0,06	0,04	-	-	-	-	-	-	-
DK0012R	aerosol	1,31	0,047	-	-	0,48	0,33	-	-	-	-	-	-	-
EE0009R	pm10	1,47	0,045	-	1,4	0,55	0,11	-	-	-	-	-	-	-
ES0001R	pm10	1,06	0,026	4,6	-	0,58	0,2	-	-	0,74	-	-	-	-
ES0007R	pm10	1,3	0,03	5,7	-	0,87	0,19	-	-	0,76	-	-	-	-
ES0008R	pm10	2,12	0,074	11	0,39	0,75	0,15	-	-	1,05	-	-	-	-
ES0009R	pm10	0,79	0,015	4,1	-	0,35	0,12	2,59	-	0,66	-	-	-	-
ES0014R	pm10	1,16	0,037	9,1	-	0,47	0,19	7,65	-	0,54	-	-	-	-
ES1778R	pm10	1,14	0,043	5,2	-	0,42	0,11	1,59	0,06	0,46	2,25	0,47	94	132,3
ES1778R	pm1	0,8	0,038	4,2	-	0,32	0,08	0,61	0,02	0,3	0,44	0,21	11	26,6
ES1778R	pm25	0,97	0,038	9,8	-	0,37	0,09	0,89	0,03	0,33	0,93	0,3	25	26,7
FI0018R	pm10	1,68	0,052	6,3	1,21	0,3	0,21	0,79	0,03	0,33	2,49	0,68	133	173,4
FI0036R	pm10	0,43	0,011	1,2	1,29	0,16	0,07	0,51	0,01	0,16	0,41	0,18	16	15,7
FI0050R	pm10	1,21	0,043	4,9	1,11	0,21	0,21	0,68	0,03	0,28	1,57	0,33	53	62,3
FR0008R	pm10	1,16	0,031	-	-	0,32	0,12	-	-	-	-	-	-	-
FR0009R	pm10	3,02	0,087	-	-	0,47	0,2	-	-	-	-	-	-	-
FR0013R	pm10	1,25	0,042	-	-	0,34	0,18	-	-	-	-	-	-	-
FR0023R	pm10	1,01	0,033	-	-	0,3	0,12	-	-	-	-	-	-	-
FR0025R	pm10	1,26	0,05	-	-	0,36	0,17	-	-	-	-	-	-	-
FR0028R	pm10	0,84	0,03	-	-	2,14	0,12	-	-	-	-	-	-	-
GB0013R	pm10	1,73	0,064	5,1	-	0,36	0,41	0,94	-	0,49	-	-	-	-
GB0017R	pm10	3,04	0,087	7,4	-	0,49	0,53	1,43	-	0,4	-	-	-	-
GB0048R	pm10	0,91	0,024	2,8	1,36	0,14	0,22	0,69	0,02	0,38	1,07	0,19	38	-
GB1055R	pm10	3,53	0,135	19,8	-	0,5	0,76	3,53	0,05	0,57	2,87	0,83	104	-
HU0002R	aerosol	5,38	0,079	-	-	-	-	-	-	-	-	-	-	-
IS0002R	aerosol	-	-	-	-	-	-	-	-	-	-	-	167	-
IS0091R	aerosol	0,08	0,004	1,5	-	0,42	0,04	0,51	0,21	0,42	7,99	1,58	433	282,3
IT0019R	pm10	1,22	0,031	5,5	-	0,4	0,12	1,31	0,05	0,91	2,6	0,46	105	130,4
LV0010R	pm10	1,45	0,05	-	-	0,4	0,23	-	-	-	-	-	-	-
NL0008R	pm10	3,7	0,084	22,6	-	0,62	0,53	-	-	-	-	-	-	-
NL0644R	pm25	3,74	0,079	18,4	-	0,47	0,36	-	-	-	-	-	-	-
NO0002R	pm10	0,57	0,019	4,1	1,5	0,15	0,16	0,33	0,02	0,19	1,07	0,28	35	46,9
NO0042G	aerosol	0,26	0,059	1,8	1,44	0,79	0,06	0,31	0,04	0,31	1,64	0,22	86	173
NO0090R	aerosol	0,17	0,005	0,7	-	0,1	0,03	0,61	0,01	0,11	0,37	0,06	16	28,3
PL0005R	pm10	1,62	0,061	8,3	1,61	0,3	0,21	0,81	-	0,39	-	-	-	-
PL0009R	pm10	2,72	0,098	-	-	0,34	0,44	-	-	-	-	-	-	-
SE0005R	aerosol	0,22	0,006	0,9	1,27	0,1	0,04	0,17	0,01	0,18	0,51	0,07	-	-
SE0014R	aerosol	0,79	0,032	4,3	1,16	0,36	0,23	0,85	0,03	0,4	1,61	0,93	-	-
SE0020R	aerosol	0,93	0,033	4,7	1,27	0,32	0,2	1,02	0,03	0,4	1,9	0,61	-	-
SE0022R	aerosol	0,64	0,022	3,1	-	0,18	0,14	0,49	0,03	0,4	1,48	0,28	-	-

Table 6 (cont.):

Code		Pb	Cd	Zn	Hg (air)	Ni	As	Cu	Co	Cr	Mn	V	Fe	Al
SI0008R	pm10	1,6	0,075	0,6	1,34	6,76	0,13	1,24	-	1,3	-	-	-	-
SK0002R	aerosol	0,73	0,005	2	-	0,19	0,08	0,3	-	0,12	-	-	-	-
SK0004R	pm10	2,72	0,024	7,3	-	0,19	0,09	0,78	-	0,2	-	-	-	-
SK0006R	pm10	2,63	0,036	6,6	-	0,15	0,13	0,64	-	0,18	-	-	-	-
SK0007R	pm10	6,22	0,046	9,9	-	0,17	0,17	1,27	-	0,28	-	-	-	-

Italic data means more than 50% of the data is below the detection limit. Grey shaded area are sites which miss three months or more of data

Red means that this must be wrong and will be corrected in ebas when/if updated data are submitted

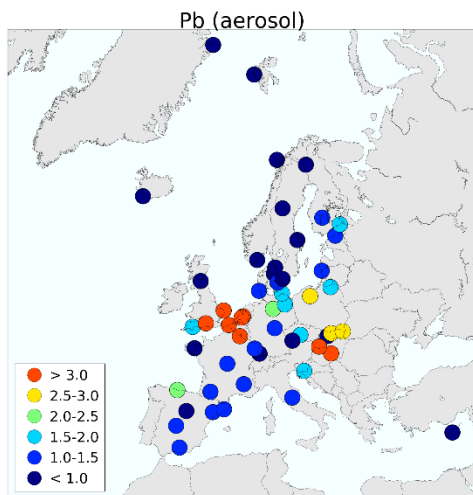


Figure 4: Pb in aerosols (ng/m³)

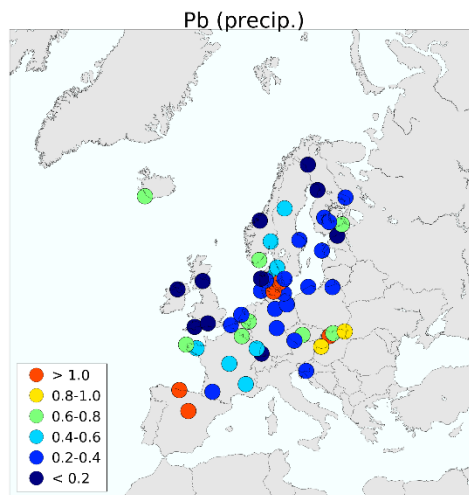


Figure 5: Pb in precipitation (µg/l)

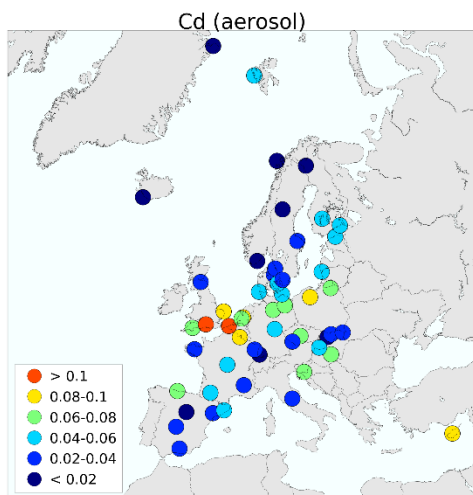


Figure 6: Cd in aerosols (ng/m³)

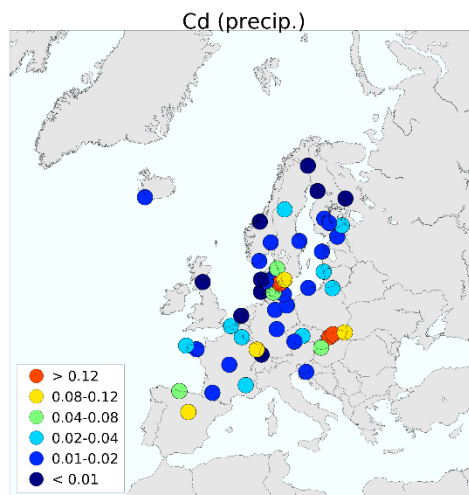


Figure 7: Cd in precipitation (µg/l)

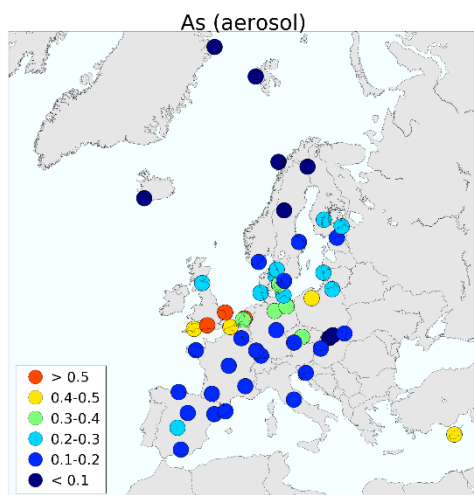
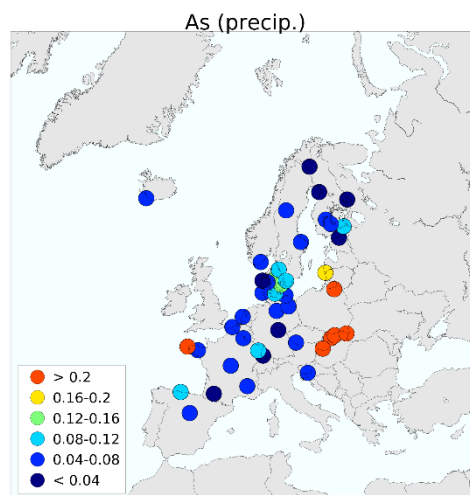
Figure 8: As in aerosols (ng/m³)

Figure 9: As in precipitation (µg/l)

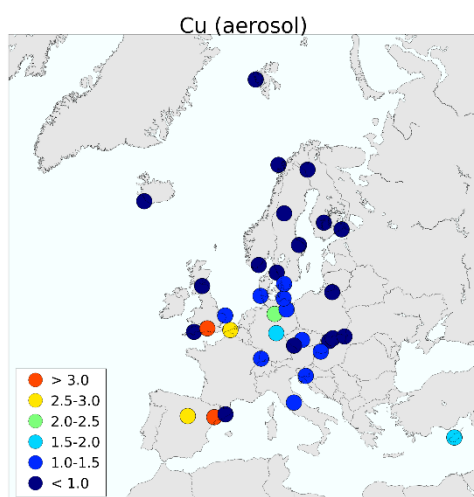
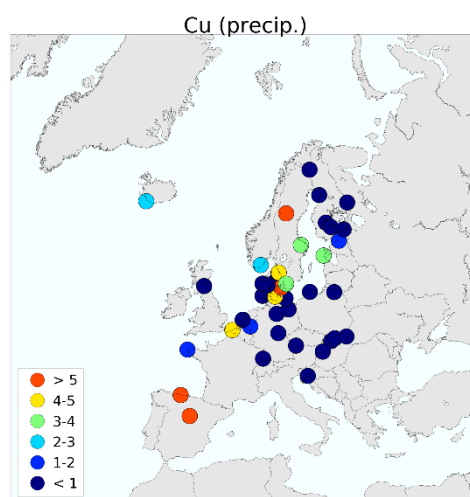
Figure 10: Cu in aerosols (ng/m³)

Figure 11: Cu in precipitation (µg/l)

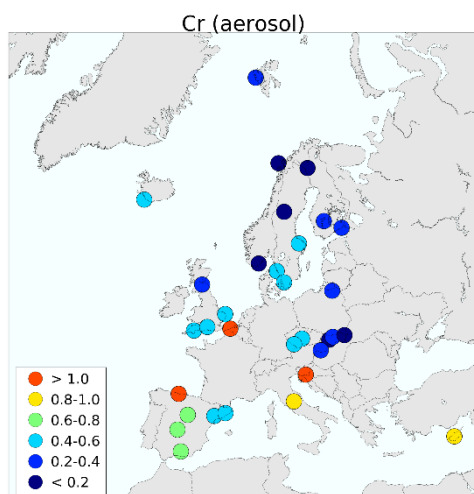
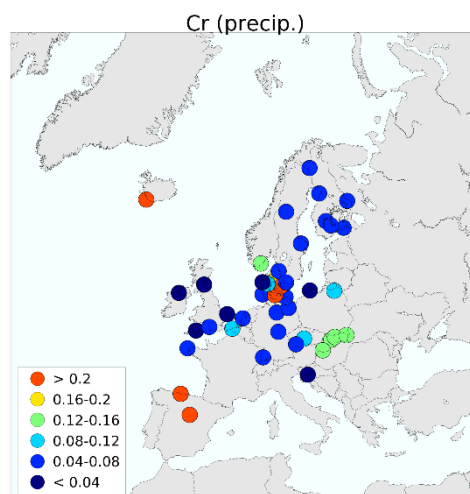
Figure 12: Cr in aerosols (ng/m³)

Figure 13: Cr in precipitation (µg/l)

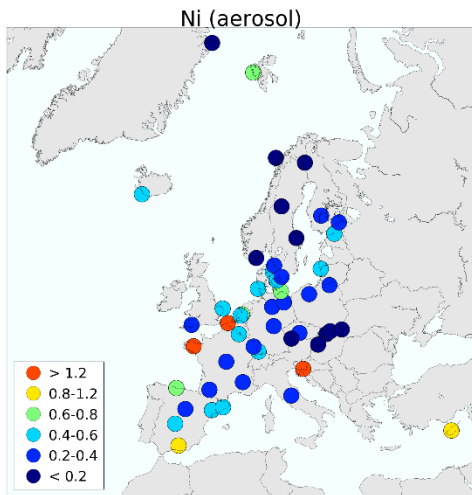


Figure 14: Ni in aerosols (ng/m³)

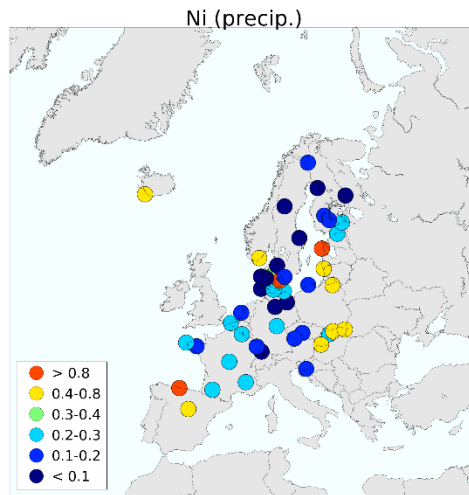


Figure 15: Ni in precipitation (µg/l)

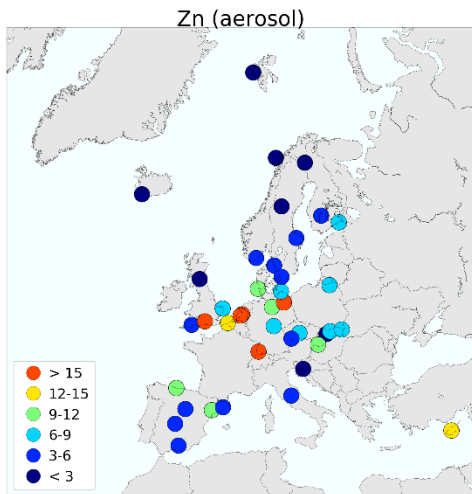


Figure 16: Zn in aerosols (ng/m³)

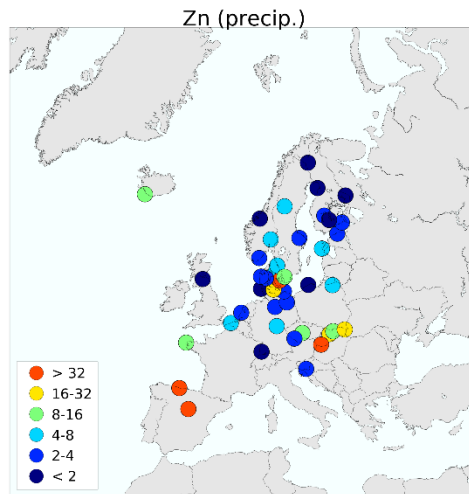


Figure 17: Zn in precipitation (µg/l)

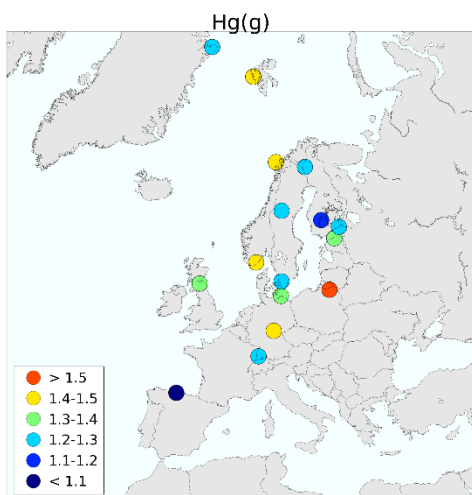


Figure 18: Hg in air (ng/m³)

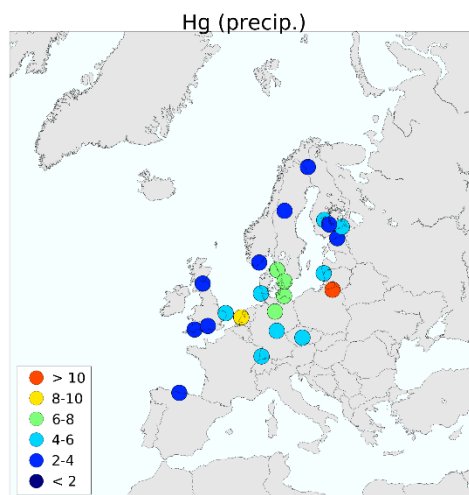


Figure 19: Hg in precipitation (ng/l)

2.4 Concentrations of POPs in air and precipitation

It is generally difficult to give full credit to the information content in the POP data as the comparability of data is hampered by: i) the use of different sampling and analytical techniques; ii) low and various spatial coverage for individual POP components; and iii) high detection limits for some sites. See Annex 3 and 4 for details. For example, the different types of precipitation samplers used within the network measure either total deposition or wet deposition and provide results as deposition rates (ng/m² day) or concentrations (ng/L).

Annual average concentrations of some of the main PAHs, PCBs and pesticides in air are shown in Figure 20 – Figure 31. In general, the concentrations of POPs decrease from the south/south-east to the north of Europe. The highest concentrations of the monitored POPs in air are observed in central Europe and the lowest in Northern Scandinavia. Exception are “hotspots” for individual compounds such as elevated levels of α -HCH and HCB in the Arctic. For PCB this spatial distribution is explained by a high historical usage of POPs in central Europe (Breivik et al., 2002). The conclusions on specific POP compounds are though hampered by the low number of sampling sites.

The presence of α -HCH in environments far away from the sources is mainly due to long-range atmospheric transport. The relatively high concentrations of α -HCH measured at higher latitudes have also been observed in seawater. Preferential deposition and accumulation in polar latitudes of α -HCH are expected according to the hypothesis of global fractionation and cold condensation (Wania and Mackay, 1996).

PAHs, including B(a)P are found at highest concentrations during winter (November-February) at all stations. For pesticides, the seasonal trends are less consistent but there is a tendency of higher concentrations during warmer months for some of the pesticides.

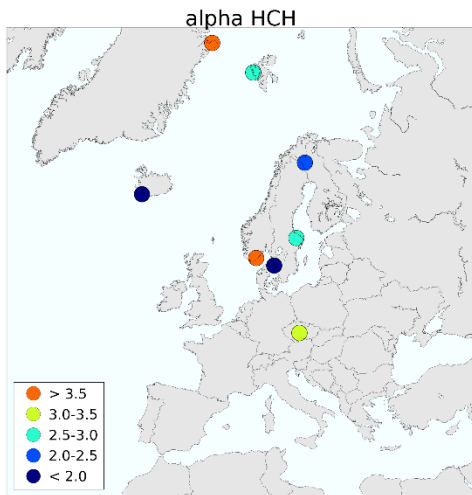


Figure 20: α -HCH in air (pg/m^3)

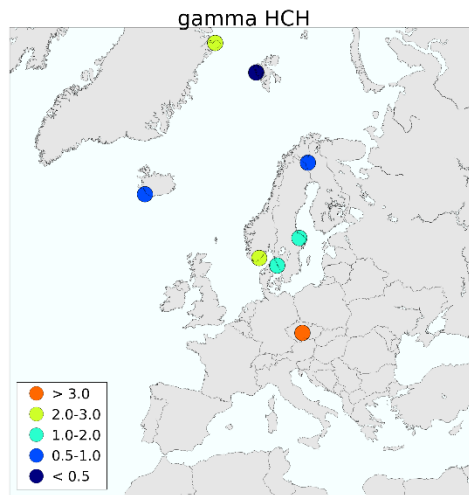


Figure 21: γ -HCH in air (pg/m^3)

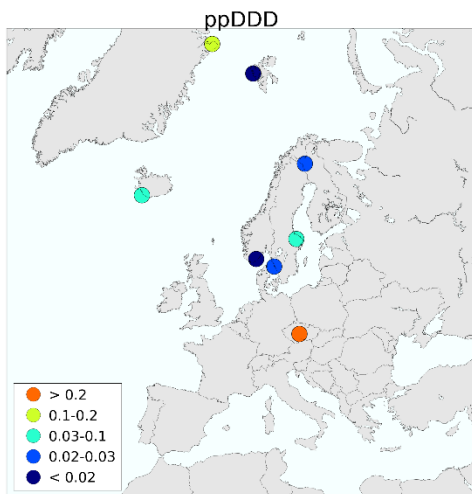


Figure 22: p,p' -DDD in air (pg/m^3)

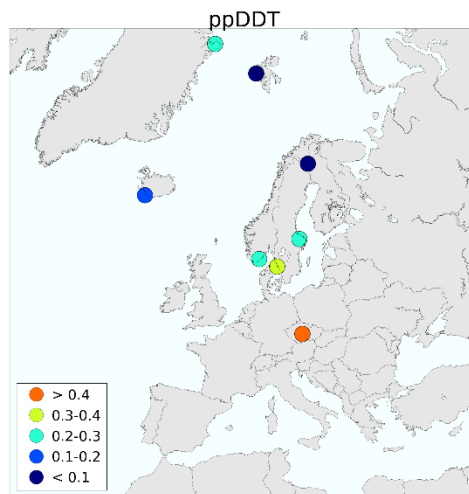


Figure 23: p,p' -DDT in air (pg/m^3)

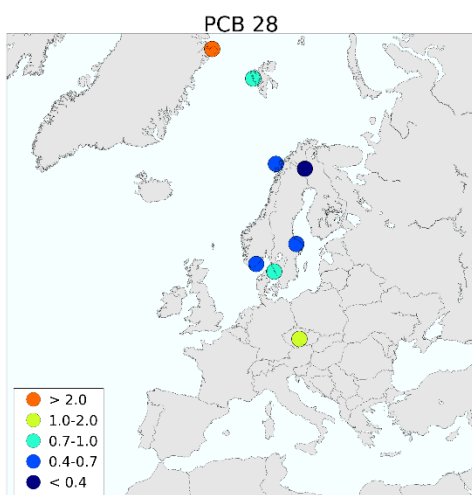


Figure 24: PCB-28 in air (pg/m^3)

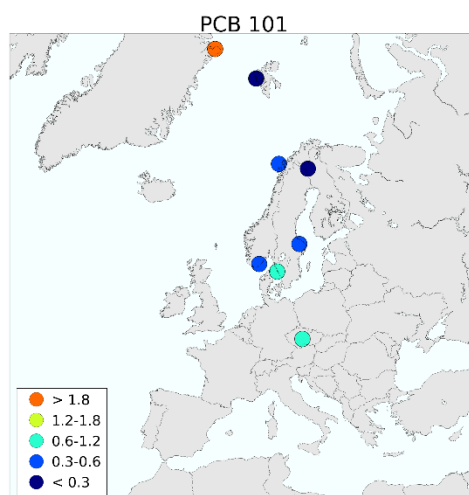


Figure 25: PCB-101 in air (pg/m^3)

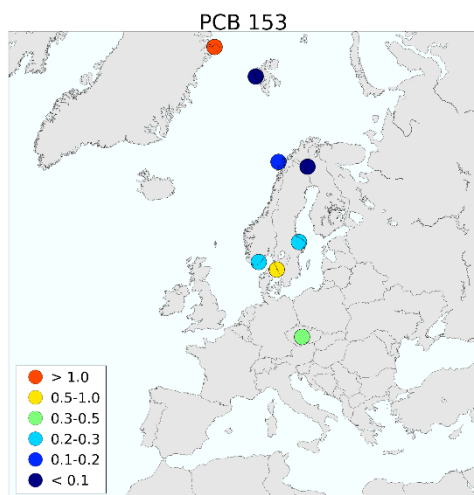


Figure 26: PCB-153 in air (pg/m³)

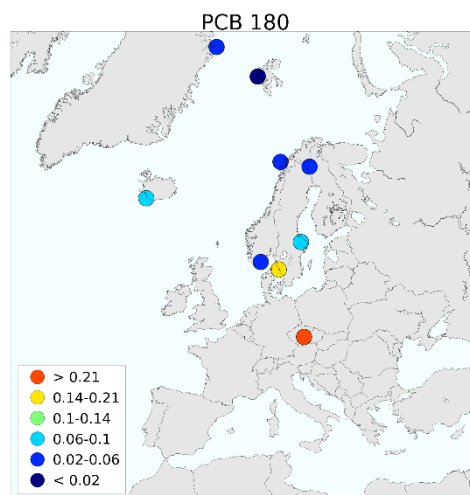


Figure 27: PCB-180 in air (pg/m³)

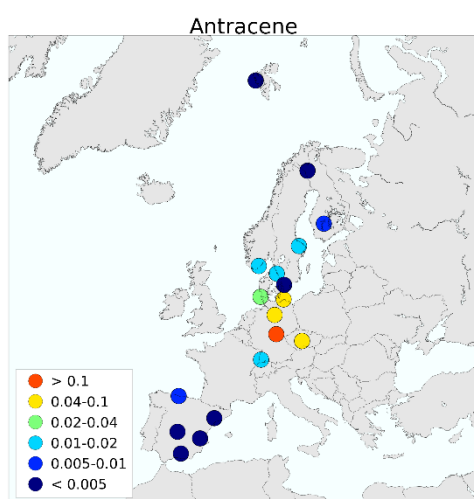


Figure 28: Anthracene in air (ng/m³)

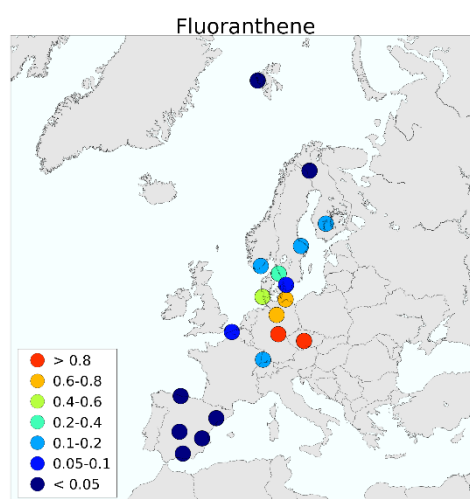


Figure 29: Fluoranthene in air (ng/m³)

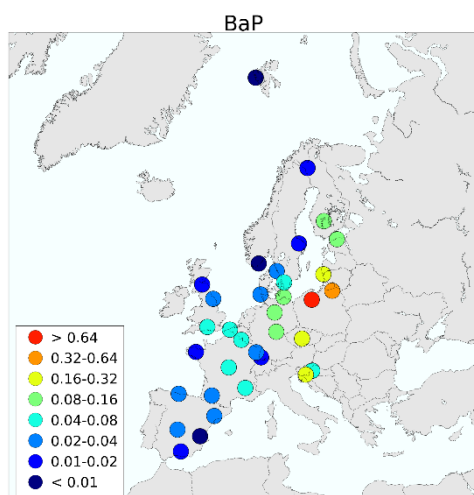


Figure 30: Benzo(a)pyrene in air (pg/m³)

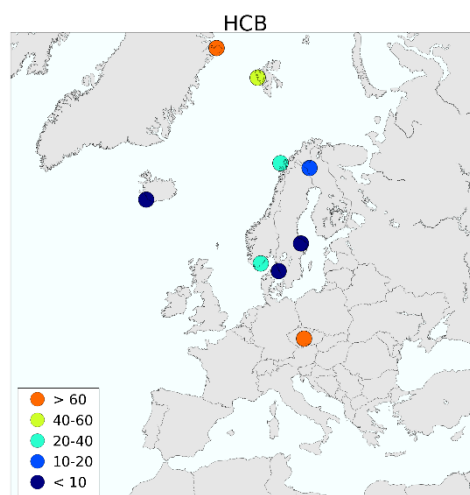


Figure 31: Hexachlorobenzene (HCB) in air (ng/m³)

2.5 Annual summaries

Annual summaries of heavy metals in precipitation and air are given in Annex 1 and Annex 2, respectively. Annual summaries for POP data are given in Annex 3 and Annex 4. The precipitation component summaries contain:

- the precipitation weighted arithmetic mean value,
- the minimum and maximum concentrations,
- the number of data below the detection limit,
- the number of samples for a specified component

The wet depositions have been obtained by multiplying the weighted mean concentration by the total amount of precipitation in the period. The concentrations for days with missing precipitation data have consequently been assumed to be equal to the weighted average of the period.

For air components the arithmetic mean and the geometric mean have been computed together with their standard deviations. As a measure of the completeness of the dataset, the number of samples analysed in the period has been printed.

In the computations of mean values and other statistics, the concentrations below the detection limit have been set equal to one half of the actual limit. An overview of the statistics and definitions is given below.

W.mean \hat{c} is the precipitation weighted arithmetic mean concentration used for precipitation components:

$$\hat{c} = \frac{I}{\sum_i p_i} \cdot \sum_i c_i \cdot p_i$$

where p_i is precipitation amount day i with the measured concentration c_i of a specific component.

Dep is the wet deposition of a specific precipitation component. The deposition is the product of the total precipitation amount measured and the weighted arithmetic mean of a component measured at a site.

Arit mean $\overline{c_a}$ is the arithmetic mean value used for air components only, and N is number of days with data:

$$\overline{c_a} = \frac{I}{N} \sum_i c_i$$

Arit sd sd_a is the arithmetic standard deviation from the arithmetic mean value. It is computed for air components only:

$$sd_a = \left(\frac{\sum_i (c_i - \bar{c}_a)^2}{N - 1} \right)^{\frac{1}{2}}$$

Geom mean \bar{c}_g is the geometric mean value used for air components only, and it is computed from the arithmetic mean of $\ln c$:

$$\bar{\ln c} = \frac{1}{N} \cdot \sum_i \ln c_i$$

$$\bar{c}_g = \exp(\bar{\ln c})$$

Geom sd sd_g is the geometric standard deviation from the geometric mean value. It is computed for air components only, and it is based on the standard deviation of $\ln c$:

$$sd_g = \exp(sd \ln c)$$

Min is the minimum value reported for a specific component, and it is printed both for precipitation and air components. Some countries report negative values and even though these are not “real” values, it is statistically correct to include these.

5%, 50%, 95% is the 5, 50 and 95 percentile, computed for air data only using the method of nearest rank:

$$n = \frac{P}{100} \cdot N + \frac{1}{2}$$

is the P-th percentile $0 \leq P \leq 100$ of N ordered values, rounding n to the nearest integer and then taking the value corresponding to that rank.

Max is the maximum value reported for a specific component, and it is given for precipitation and air components.

Num bel is the number of data below the detection limit (not used for precipitation amount).

Num samples is the number of samples for a specific component.

The units used for the results in this report are given in Table 7: .

Table 7: Units used for the measured components

Components	Units for W. mean, Min Max	Units for depositions
Amount precipitation	mm	mm
Heavy metals in precipitation	mg/l	mg/m ²
Mercury in precipitation	ng/l	ng/m ²
Heavy metals in aerosols	ng/m ³	
Mercury in air	ng/m ³	
Mercury in aerosols	pg/m ³	
POPs in precipitation	ng/l	ng/m ²
PAHs in air and aerosols	ng/m ³	
Pesticides, HCB and PCBs in air and aerosols	pg/m ³	

2.6 Monthly summaries

Monthly averages of heavy metals are given in Annexes 5-8. The monthly mean values of precipitation data are precipitation weighted arithmetic averages. Average air concentrations are arithmetic averages of the reported values.

Data, which do not have monthly resolution, but have parts of the sample in one month and parts in the following, have estimated monthly means. The precipitation data have been treated like this: If e.g. a weekly sample has 5 days in one month and 2 days in the next, 5/7 parts of the precipitation will be assigned to the first month and 2/7 parts to the next month, while the concentrations are assumed to be equal. The precipitation weighted monthly averages are then calculated as the estimated monthly deposition divided by the monthly precipitation amount.

For air samples starting and ending in different months weighted averages are calculated in a similar way. All values are multiplied with the number of days within a given month. The average is obtained by dividing the sum of these values with the number of days with measurements in that month.

2.7 Update

The data compiled in this report represent the best data available at present. If any further errors are detected, the data will be corrected in the database. It is important that the users make certain that they have access to the most recent version of the database. For the data presented here, the latest alteration is 20 August 2021. Scientific use of the EMEP data should be based on fresh copies of the data. Copies can be requested from the CCC (e-mail: wenche.aas@nilu.no or annehj@nilu.no). The newest updates will be downloadable from the database, <http://ebas.nilu.no>. Information about the EMEP measurement network can be found at CCC's internet pages at <http://www.nilu.no/projects/ccc/index.html>.

3. Acknowledgements

A large number of anonymous co-workers in participating countries have been involved in this work. A list of participating institutes, which have provided data for 2019, can be seen below. The staff at CCC wishes to express their gratitude and appreciation for continued good co-operation and efforts. The email address to the data reporter/contact persons can be accessed by contacting CCC.

Table 8: Participating institutes and their data providers

Country	Institute	Data reporter
Belgium	Flanders Environment Agency	Elke Adriaenssens
Czech Republic	Czech Hydrometeorological Institute	Adela Holubova
Croatia	Croatian Meteorological and Hydrological Service,	Ksenija Kuna
Cyprus	Department of Labour Inspection, Ministry of Labour & Social Insurance	Chrysanthos Savvides Christos Papadopoulos, Emily Vasiliadou
Denmark	Department of Environmental Science, Aarhus University	Thomas Ellermann, Rune Keller, Henrik Skov
Estonia	Estonian Environmental Research Centre	Kristi Selmet, Naima Kabral
Finland	Finnish Meteorological Institute	Heidi Hellén, Katriina Kyllönen, Ulla Makkonen
France	Ecole des Mines de Douai	Stéphane Sauvage, Aude Bourin
	FR90: Institut Universitaire Européen de la Mer, Université de Bretagne Occidentale	Matthieu Waeles
Germany	Umweltbundesamt, Langen	Stefan Feigenspan, Julian Rüdiger
Great Britain	AEA Technology and Centre for Ecology & Hydrology (CEH), Edinburgh	Keith Vincent Heath M. Malcolm
Hungary	Hungarian Meteorological Service	Krisztina Labancz, Zita Ferenczi
Iceland	The Icelandic Meteorological Office	Arni Sigurdsson
Italy	Arpa Umbria - Umbria Regional Agency for Environmental Protection, University of Perugia	Angelucci Monica, David Cappelletti
Latvia	Latvian Environment, Geology and Meteorology Centre	Iveta Indriksone, Aleksandra Kanisceva
Netherlands	National Institute for Public Health and Environmental Protection (RIVM)	Ronald Spoor, Mirian Wietses
Norway	NILU - Norwegian Institute for Air Research	Wenche Aas, Pernilla Bohlin-Nizzetto
Poland	Institute of Meteorology and Water Management PL05, PL09: Institute of Environmental Protection	Magdalena Bogucka, Mikołaj Kowal Anna Degorska
Slovakia	Slovak Hydrometeorological Institute	Veronika Minarikova
Slovenia	Environmental Agency of the Republic of Slovenia	Marijana Murovec
Spain	Ministry for the Ecological Transition and the Demographic Challenge ES1778: Institute of Environmental Assessment and Water Research (IDAEA)	Silvia Monge Villaverde Noemí Pérez

4. References

- Aas, W., Nizetto, P.B. (2021) Heavy metals and POP measurements, 2019. Kjeller, Norwegian Institute for Air Research (EMEP/CCC-Report 3/2021).
- Aas, W., Nizetto, P.B. (2020) Heavy metals and POP measurements, 2018. Kjeller, Norwegian Institute for Air Research (EMEP/CCC-Report 3/2020).
- Aas, W., Nizetto, P.B. (2019) Heavy metals and POP measurements, 2017. Kjeller, Norwegian Institute for Air Research (EMEP/CCC-Report 3/2019).
- Aas, W., Nizetto, P.B. (2018) Heavy metals and POP measurements, 2016. Kjeller, Norwegian Institute for Air Research (EMEP/CCC-Report 3/2018).
- Aas, W., Phaffhuber, K.A. (2017) Heavy metals and POP measurements, 2015. Kjeller, Norwegian Institute for Air Research (EMEP/CCC-Report 3/2017).
- Aas, W., Nizzetto, P.B. and Phaffhuber, K.A. (2016) Heavy metals and POP measurements, 2014. Kjeller, Norwegian Institute for Air Research (EMEP/CCC-Report 4/2016).
- Aas, W., Nizzetto, P.B. (2015) Heavy metals and POP measurements, 2013. Kjeller, Norwegian Institute for Air Research (EMEP/CCC-Report 3/2015).
- Aas, W., Nizzetto, P.B. (2014) Heavy metals and POP measurements, 2012. Kjeller, Norwegian Institute for Air Research (EMEP/CCC-Report 4/2014).
- Aas, W., Breivik, K. (2013) Heavy metals and POP measurements, 2011. Kjeller, Norwegian Institute for Air Research (EMEP/CCC-Report 4/2013).
- Aas, W., Breivik, K. (2012) Heavy metals and POP measurements, 2010. Kjeller, Norwegian Institute for Air Research (EMEP/CCC-Report 3/2012).
- Aas, W., Breivik, K. (2011) Heavy metals and POP measurements, 2009. Kjeller, Norwegian Institute for Air Research (EMEP/CCC-Report 3/2011).
- Aas, W., Breivik, K. (2010) Heavy metals and POP measurements, 2008. Kjeller, Norwegian Institute for Air Research (EMEP/CCC-Report 3/2010).
- Aas, W., Breivik, K. (2009) Heavy metals and POP measurements, 2007. Kjeller, Norwegian Institute for Air Research (EMEP/CCC-Report 3/2009).
- Aas, W., Breivik, K. (2009) Heavy metals and POP measurements, 2006. Kjeller, Norwegian Institute for Air Research (EMEP/CCC-Report 4/2009).
- Aas, W., Breivik, K. (2007) Heavy metals and POP measurements, 2005. Kjeller, Norwegian Institute for Air Research (EMEP/CCC-Report 6/2007).
- Aas, W., Breivik, K. (2006) Heavy metals and POP measurements, 2004. Kjeller, Norwegian Institute for Air Research (EMEP/CCC-Report 7/2006).
- Aas, W., Breivik, K. (2005) Heavy metals and POP measurements, 2003. Kjeller, Norwegian Institute for Air Research (EMEP/CCC-Report 9/2005).

- Aas, W., Breivik, K. (2004) Heavy metals and POP measurements, 2002. Kjeller, Norwegian Institute for Air Research (EMEP/CCC-Report 7/2004).
- Aas, W., Hjellbrekke, A.-G. (2003) Heavy metals and POP measurements, 2001. Kjeller, Norwegian Institute for Air Research (EMEP/CCC-Report 1/2003).
- Berg, T., Hjellbrekke, A.-G. (1998) Heavy metals and POPs within the ECE region. Supplementary data for 1989-1996. Kjeller, Norwegian Institute for Air Research (EMEP/CCC-Report 7/98).
- Berg, T., Hjellbrekke, A.-G. (1999) Heavy metals and POPs within the ECE region 1997. Kjeller, Norwegian Institute for Air Research (EMEP/CCC-Report 7/99).
- Berg, T., Hjellbrekke, A.-G., Larsen, R. (2000) Heavy metals and POPs in Europe 1998. Kjeller, Norwegian Institute for Air Research (EMEP/CCC-Report 2/2000).
- Berg, T., Hjellbrekke, A.-G., Larsen, R. (2001) Heavy metals and POPs within the ECE region 1999. Kjeller, Norwegian Institute for Air Research (EMEP/CCC-Report 9/2001).
- Berg, T., Hjellbrekke, A.-G., Larsen, R. (2002) Heavy metals and POPs within the ECE region 2000. Kjeller, Norwegian Institute for Air Research (EMEP/CCC-Report 9/2002).
- Berg, T., Hjellbrekke, A.-G., Ritter, N. (1997) Heavy metals and POPs within the ECE region. Additional data. Kjeller, Norwegian Institute for Air Research (EMEP/CCC-Report 9/97).
- Berg, T., Hjellbrekke, A.-G., Skjelmoen, J.E. (1996) Heavy metals and POPs within the ECE region. Kjeller, Norwegian Institute for Air Research (EMEP/CCC-Report 8/96).
- Breivik, K., Sweetman, A., Pacyna, J.M., Jones, K.C. (2002) Towards a global historical emission inventory for selected PCB congeners – a mass balance approach. 1. Global production and consumption. *Sci. Total Environ.*, 290, 181-198.
- EMEP/CCC (2014) Manual for sampling and chemical analysis. Kjeller, Norwegian Institute for Air Research (EMEP/CCC-Report 1/2014).
URL: <http://www.nilu.no/projects/ccc/manual/index.html> [Accessed 24 September 2014].
- EU (2004) Directive 2004/107/EC of the European Parliament and of the council of 15 Dec. 2004 relating to arsenic, cadmium, mercury, nickel and polycyclic aromatic hydrocarbons in ambient air. *Off. J. Eur. Comm.*, L23, 26/01/2005, 3-16.
- EU (2008) Directive 2008/50/EC of the European Parliament and of the council of 21 May 2008 on ambient air quality and cleaner air for Europe.
URL <http://eur-lex.europa.eu/LexUriServ/LexUriServ.do?uri=OJ:L:2008:152:0001:0044:EN:PDF> [Accessed 24 September 2014].
- Jaward, F.M., Farrar, N.J., Harner, T., Sweetman, A.J., Jones, K.C. (2004) Passive air sampling of PCBs, PBDEs, and organochlorine pesticides across Europe. *Environ. Sci. Technol.*, 38, 34-41.

- Pfaffhuber, K. A., Berg, T., Hirdman, D., Stohl, A. (2012) Atmospheric mercury observations from Antarctica: seasonal variation and source and sink region calculations. *Atmos. Chem. Physics*, *12*, 3241-3251.
- Sprovieri, F., Pirrone, N., Bencardina, M., D'Amore, F., Carbone, F., Cinnirella, S., Mannarino, V., Landis, M., Ebinghaus, R., Weigelt, A., Brunke, E-G., Labuschagne, C., Lynwill, M., Munthe, J., Wangberg, I., Artaxo, P., Morais, F., Cairns, W., Barbante, C., Dieguez, M., Garcia, P.E., Dommergue, A., Angot, H., Magand, O., Skov, H., Horvat, M., Kotnik, J., Read, K.A., Neves, L.M., Gawlik, B.M., Sena, F., Mashyanov, N., Obolkin, V.A., Wip, D., Feng, X-B., Zhang, H., Fu, X., Ramachandran, R., Cossa, D., Knoery, J., Maruszczak, N., Nerentorp, M., Norstrom, C. (2016) Atmospheric mercury concentrations observed at ground-based monitoring sites globally distributed in the framework of the GMOS network. *Atmos. Chem. Phys.*, *16*, 11915-11935.
- Taniyasu, S, Kannan, K., Holoubek, I., Ansorgova, A., Horii, Y., Hanari, N., Yamashita, N., Aldous, K.M. (2003) Isomer-specific analysis of chlorinated biphenyls, naphthalenes and dibenzofurans in Delor: polychlorinated biphenyl preparations from the former Czechoslovakia. *Environ. Poll.*, *126*, 169-178.
- UNECE (2009) EMEP monitoring strategy for 2010-2019. ECE/EB.AIR/GE.1/2009/15. URL: <http://www.unece.org/env/documents/2009/EB/ge1/ece.eb.air.ge.1.2009.15.e.pdf> [Accessed 24 September 2014].
- UNECE (2019) EMEP monitoring strategy for 2020-2029. ECE/EB.AIR/144/Add.1. URL: http://www.unece.org/fileadmin/DAM/env/documents/2019/AIR/EB_Decisions/Decision_2019_1.pdf [Accessed 19 August 2020].
- Wania, F., Mackay, D. (1996) Trading the distribution of persistent organic pollutants. *Environ. Sci. Technol.*, *30*, 390A-396A.

Appendix A

Annual statistics for heavy metals in precipitation

BE0014R Koksijde
January 2020 - December 2020

Component	matrix	W. mean	Min	Max	Dep	Num bel	Num sampl
As	precip	0.04	-0.01	0.52	32.3	0	41
Cd	precip	0.02	0.00	0.41	15.4	0	41
Cr	precip	0.09	0.03	0.68	70.7	0	41
Cu	precip	4.15	0.64	34.70	3125.6	0	41
Fe	precip	8.34	1.63	99.00	6285.9	0	41
Mn	precip	2.78	0.40	46.00	2096.2	0	41
Ni	precip	0.21	0.03	2.47	161.7	0	41
Pb	precip	0.39	0.07	2.72	293.6	0	41
Zn	precip	6.65	2.08	38.00	5014.5	0	41

CZ0003R Kosetice (NOAK)
January 2020 - December 2020

Component	matrix	W. mean	Min	Max	Dep	Num bel	Num sampl
Cd	precip	0.02	0.01	0.20	16.6	51	126
Co	precip	0.03	0.00	0.20	21.5	8	126
Cr	precip	0.11	0.03	3.78	87.4	0	126
Hg	precip	5.31	1.00	23.00	4236.7	11	42
Mn	precip	2.39	0.15	24.98	1908.4	0	126
Ni	precip	0.15	0.01	1.65	123.8	3	126
Pb	precip	0.62	0.10	4.21	493.7	0	126
Se	precip	0.14	0.13	0.48	110.9	111	126
V	precip	0.09	0.01	0.88	69.9	0	126
Zn	precip	15.37	1.52	385.30	12273.4	0	126

CZ0005R Churanov
January 2020 - December 2020

Component	matrix	W. mean	Min	Max	Dep	Num bel	Num sampl
As	precip	0.05	0.03	0.39	51.0	37	48
Cd	precip	0.01	0.01	0.20	12.3	28	48
Co	precip	0.02	0.00	0.39	20.9	3	48
Cr	precip	0.06	0.01	0.69	67.2	3	48
Cu	precip	0.83	0.02	7.77	886.5	1	48
Fe	precip	28.09	1.73	338.90	30019.5	3	48
Mn	precip	1.72	0.17	46.23	1837.5	0	48
Ni	precip	0.10	0.03	1.30	108.6	0	48
Pb	precip	0.29	0.03	4.24	314.5	0	48
Se	precip	0.14	0.13	0.73	144.7	43	48
V	precip	0.07	0.01	0.88	70.0	0	48
Zn	precip	3.97	1.15	73.05	4242.1	0	48

DE0001R Westerland
January 2020 - December 2020

Component	matrix	W. mean	Min	Max	Dep	Num bel	Num sampl
As	precip	0.04	0.02	0.56	32.0	0	46
Cd	precip	0.01	0.00	0.07	7.8	0	46
Co	precip	0.02	0.01	0.14	13.3	0	42
Cr	precip	0.06	0.02	0.43	44.1	0	46
Cu	precip	0.35	0.19	9.85	277.4	0	46
Fe	precip	11.10	4.37	164.58	8734.1	0	45
Hg	precip	4.49	2.20	24.49	3704.9	0	45
Mn	precip	0.81	0.29	14.37	639.7	0	45
Mo	precip	0.03	0.01	0.13	22.3	0	46
Ni	precip	0.08	0.04	0.67	62.4	0	46
Pb	precip	0.22	0.01	1.86	176.8	0	46
Sb	precip	0.06	0.00	0.46	47.3	0	42
Se	precip	0.08	0.01	0.55	65.1	0	45
Ti	precip	0.21	0.08	2.94	167.4	0	44
Tl	precip	0.00	0.00	0.02	1.2	0	45
V	precip	0.11	0.05	0.94	87.0	0	46
Zn	precip	1.97	0.81	13.85	1550.9	0	46

DE0002R Waldhof
January 2020 - December 2020

Component	matrix	W. mean	Min	Max	Dep	Num bel	Num sampl
As	precip	0.06	0.01	0.80	31.8	0	42
Cd	precip	0.01	0.00	0.14	7.9	0	42
Co	precip	0.02	0.01	0.14	13.6	0	38
Cr	precip	0.08	0.02	0.47	43.4	0	40
Cu	precip	0.51	0.18	3.43	296.0	0	42
Fe	precip	18.16	6.31	152.02	10481.8	0	38
Hg	precip	6.50	1.53	43.04	4040.2	0	40
Mn	precip	1.60	0.42	17.20	925.5	0	39
Mo	precip	0.03	0.01	0.14	18.4	0	41
Ni	precip	0.07	0.03	0.44	42.0	0	42
Pb	precip	0.37	0.07	2.52	212.3	0	42
Sb	precip	0.08	0.03	0.35	45.2	0	38
Se	precip	0.07	0.02	0.42	41.3	0	41
Ti	precip	0.34	0.11	2.92	197.4	0	37
Tl	precip	0.00	0.00	0.07	1.7	0	42
V	precip	0.13	0.03	0.85	74.4	0	41
Zn	precip	2.83	1.05	19.36	1633.7	0	41

DE0003R Schauinsland
January 2020 - December 2020

Component	matrix	W. mean	Min	Max	Dep	Num bel	Num sampl
As	precip	0.03	0.01	0.39	41.1	0	43
Cd	precip	0.01	0.00	0.11	9.8	0	43
Co	precip	0.02	0.00	0.37	32.2	0	33
Cr	precip	0.06	0.02	1.06	83.9	0	40
Cu	precip	0.35	0.07	6.53	511.8	0	44
Fe	precip	11.11	2.07	359.88	16296.2	0	40
Hg	precip	5.38	1.97	38.56	8214.9	0	41
Mn	precip	0.94	0.21	53.48	1378.4	0	38
Mo	precip	0.02	0.01	0.10	23.9	0	44
Ni	precip	0.05	0.01	1.26	76.0	0	44
Pb	precip	0.19	0.03	3.16	278.9	0	44
Sb	precip	0.05	0.02	0.34	78.5	0	33
Se	precip	0.04	0.01	0.23	52.3	0	41
Ti	precip	0.22	0.06	3.46	318.7	0	38
Tl	precip	0.00	0.00	0.01	1.9	0	43
V	precip	0.06	0.01	1.48	85.9	0	44
Zn	precip	1.92	0.55	35.12	2823.5	0	43

DE0007R Neuglobsow
January 2020 - December 2020

Component	matrix	W. mean	Min	Max	Dep	Num bel	Num sampl
As	precip	0.06	0.01	0.91	33.9	0	41
Cd	precip	0.01	0.00	0.11	8.3	0	40
Co	precip	0.03	0.01	0.30	15.1	0	38
Cr	precip	0.07	0.03	1.36	42.5	0	41
Cu	precip	0.82	0.19	10.06	466.4	0	41
Fe	precip	19.95	6.36	643.28	11368.7	0	39
Mn	precip	2.30	0.26	21.41	1312.8	0	40
Mo	precip	0.03	0.01	0.13	15.7	0	39
Ni	precip	0.09	0.02	0.93	48.6	0	41
Pb	precip	0.37	0.06	1.21	208.6	0	41
Sb	precip	0.07	0.03	0.24	38.4	0	37
Se	precip	0.07	0.03	0.21	37.6	0	40
Ti	precip	0.34	0.08	5.40	193.3	0	38
Tl	precip	0.00	0.00	0.02	1.6	0	41
V	precip	0.10	0.02	1.09	54.3	0	40
Zn	precip	3.69	1.38	20.71	2101.4	0	41

DE0008R Schmücke
January 2020 - December 2020

Component	matrix	W. mean	Min	Max	Dep	Num bel	Num sampl
As	precip	0.04	0.01	0.28	41.8	0	47
Cd	precip	0.01	0.00	0.08	12.6	0	48
Co	precip	0.02	0.00	0.23	23.5	0	43
Cr	precip	0.07	0.03	0.76	77.8	0	47
Cu	precip	0.61	0.15	4.21	691.5	0	48
Fe	precip	14.06	3.23	196.09	15998.2	0	44
Hg	precip	4.90	1.74	17.58	5727.3	0	45
Mn	precip	1.25	0.20	24.42	1418.8	0	45
Mo	precip	0.03	0.01	0.17	34.2	0	47
Ni	precip	0.22	0.04	4.43	245.2	0	45
Pb	precip	0.34	0.09	2.22	392.4	0	47
Sb	precip	0.07	0.03	0.35	85.0	0	45
Se	precip	0.07	0.02	0.43	80.3	0	47
Ti	precip	0.25	0.04	4.20	279.0	0	43
Tl	precip	0.00	0.00	0.02	2.3	0	47
V	precip	0.06	0.01	0.89	68.4	0	47
Zn	precip	6.58	1.04	28.06	7483.1	0	46

DE0009R Zingst
January 2020 - December 2020

Component	matrix	W. mean	Min	Max	Dep	Num bel	Num sampl
As	precip	0.04	0.01	0.29	27.0	0	42
Cd	precip	0.01	0.00	0.07	6.4	0	41
Co	precip	0.02	0.00	0.19	11.1	0	37
Cr	precip	0.06	0.02	1.36	37.4	0	42
Cu	precip	0.45	0.08	2.68	272.9	0	42
Fe	precip	13.95	1.22	436.85	8512.6	0	40
Hg	precip	7.13	2.35	19.39	4268.9	0	12
Mn	precip	1.87	0.27	21.33	1143.3	0	40
Mo	precip	0.02	0.01	0.10	12.5	0	40
Ni	precip	0.22	0.04	3.38	132.9	0	39
Pb	precip	0.23	0.02	1.72	143.1	0	41
Sb	precip	0.06	0.01	0.23	34.5	0	38
Se	precip	0.07	0.01	0.33	40.2	0	39
Ti	precip	0.32	0.06	4.69	193.8	0	39
Tl	precip	0.00	0.00	0.02	2.1	0	42
V	precip	0.17	0.03	1.07	101.9	0	39
Zn	precip	2.44	0.45	19.81	1485.4	0	42

DK0005R Keldsnor
January 2020 - December 2020

Component	matrix	W. mean	Min	Max	Dep	Num bel	Num sampl
As	precip	0.10	0.01	0.70	47.6	3	13
Cd	precip	0.04	0.00	0.69	19.4	1	12
Cr	precip	0.30	0.06	1.57	138.1	0	13
Cu	precip	4.29	0.37	54.37	1966.5	0	12
Ni	precip	0.24	0.06	2.16	112.0	1	13
Pb	precip	1.51	0.24	7.92	691.6	0	12
Zn	precip	16.38	3.56	146.29	7511.6	0	13

DK0008R Anholt
January 2020 - December 2020

Component	matrix	W. mean	Min	Max	Dep	Num bel	Num sampl
As	precip	0.15	0.07	0.84	81.0	0	12
Cd	precip	0.02	0.00	0.08	9.5	3	10
Cr	precip	0.16	0.06	1.18	85.2	0	12
Cu	precip	0.83	0.28	5.11	436.6	0	12
Ni	precip	0.33	0.10	2.94	173.6	0	12
Pb	precip	0.43	0.12	3.08	226.7	0	12
Zn	precip	5.26	1.60	29.76	2779.7	0	12

DK0012R Risoe
January 2020 - December 2020

Component	matrix	W. mean	Min	Max	Dep	Num bel	Num sampl
As	precip	0.16	0.00	0.61	0.5	1	13
Cd	precip	0.16	0.01	0.30	0.5	3	13
Cr	precip	1.89	0.04	4.06	6.3	0	13
Cu	precip	9.42	0.20	18.39	31.5	0	12
Ni	precip	2.12	0.06	4.45	7.1	2	13
Pb	precip	2.93	0.12	5.89	9.8	0	13
Zn	precip	72.25	1.76	147.05	241.6	0	13

DK0022R Sepstrup Sande
January 2020 - December 2020

Component	matrix	W. mean	Min	Max	Dep	Num bel	Num sampl
As	precip	0.07	0.01	0.35	58.5	3	12
Cd	precip	0.01	0.00	0.05	9.7	4	13
Cr	precip	0.08	0.01	0.39	66.4	4	12
Cu	precip	0.37	0.06	2.24	306.8	0	13
Ni	precip	0.07	0.01	0.38	54.7	6	13
Pb	precip	0.21	0.04	1.01	169.6	1	13
Zn	precip	2.77	0.59	17.14	2284.8	0	13

DK0031R Ulborg
January 2020 - December 2020

Component	matrix	W. mean	Min	Max	Dep	Num bel	Num sampl
As	precip	0.03	0.01	0.33	27.8	6	12
Cd	precip	0.01	0.00	0.05	8.0	5	12
Cr	precip	0.04	0.01	0.42	35.9	8	12
Cu	precip	0.37	0.12	2.90	371.6	0	12
Ni	precip	0.06	0.02	0.41	62.0	6	12
Pb	precip	0.14	0.03	1.43	140.0	2	12
Zn	precip	2.03	0.81	11.52	2062.4	0	12

EE0009R Lahemaa
January 2020 - December 2020

Component	matrix	W. mean	Min	Max	Dep	Num bel	Num sampl
As	precip	0.03	0.03	0.19	27.0	32	44
Cd	precip	0.02	0.01	0.09	12.5	31	44
Cu	precip	1.72	0.50	12.00	1360.9	19	44
Hg	precip	2.50	2.50	2.50	1985.2	13	13
Ni	precip	0.29	0.05	2.40	233.0	15	44
Pb	precip	0.18	0.05	1.60	144.1	15	44
Zn	precip	3.49	0.50	16.00	2764.9	1	44

EE0011R Vilsandi
January 2020 - December 2020

Component	matrix	W. mean	Min	Max	Dep	Num bel	Num sampl
Cd	precip	0.02	0.01	0.05	9.4	9	13
Cu	precip	3.64	0.50	22.00	2285.4	6	13
Mn	precip	1.25	0.52	2.50	781.0	0	13
Ni	precip	0.84	0.05	4.70	524.7	7	13
Pb	precip	0.35	0.05	1.10	221.4	2	13
Zn	precip	5.10	0.50	21.00	3197.2	1	13

ES0001R San Pablo de los Montes
January 2020 - December 2020

Component	matrix	W. mean	Min	Max	Dep	Num bel	Num sampl
As	precip+dry_dep	0.06	0.03	0.12	-	0	4
Cd	precip+dry_dep	0.02	0.01	0.04	-	2	4
Cr	precip+dry_dep	0.12	0.05	0.25	-	2	4
Cu	precip+dry_dep	7.93	3.60	14.06	-	0	4
Hg	precip+dry_dep	2.26	0.30	5.89	-	4	4
Ni	precip+dry_dep	0.66	0.17	1.22	-	1	4
Pb	precip+dry_dep	0.09	0.05	0.12	-	2	4
Zn	precip+dry_dep	48.66	7.61	151.65	-	0	4

ES0007R Viznar
January 2020 - December 2020

Component	matrix	W. mean	Min	Max	Dep	Num bel	Num sampl
As	precip+dry_dep	0.11	0.09	0.13	-	0	4
Cd	precip+dry_dep	0.02	0.01	0.03	-	1	4
Cr	precip+dry_dep	0.29	0.17	0.42	-	1	4
Cu	precip+dry_dep	5.40	2.91	7.26	-	0	4
Hg	precip+dry_dep	1.36	0.16	3.96	-	4	4
Ni	precip+dry_dep	0.66	0.32	0.82	-	1	4
Pb	precip+dry_dep	0.44	0.28	0.59	-	0	4
Zn	precip+dry_dep	20.26	3.58	40.32	-	0	4

ES0008R Niembro
January 2020 - December 2020

Component	matrix	W. mean	Min	Max	Dep	Num bel	Num sampl
As	precip	0.08	0.00	0.31	104.6	2	40
As	precip+dry_dep	7.86	4.32	12.43	-	0	4
Cd	precip	0.07	0.00	0.24	91.9	8	40
Cd	precip+dry_dep	0.07	0.04	0.10	-	2	4
Cr	precip	3.32	0.00	26.91	4179.7	0	40
Cr	precip+dry_dep	0.44	0.18	0.70	-	3	4
Cu	precip	16.71	0.00	119.38	21059.9	0	40
Cu	precip+dry_dep	4.82	1.68	9.31	-	0	4
Hg	precip	3.20	0.00	24.31	3066.1	25	41
Hg	precip+dry_dep	7.96	3.97	16.61	-	4	4
Ni	precip	5.00	0.00	89.67	6298.3	3	40
Ni	precip+dry_dep	1.66	0.90	3.42	-	4	4
Pb	precip	1.45	0.00	21.59	1828.4	0	40
Pb	precip+dry_dep	0.28	0.09	0.80	-	3	4
Zn	precip	51.50	0.00	287.23	64895.4	0	40
Zn	precip+dry_dep	77.23	15.49	243.50	-	0	4

ES0009R Campisabalos
January 2020 - December 2020

Component	matrix	W. mean	Min	Max	Dep	Num bel	Num sampl
As	precip	0.06	0.02	0.25	21.7	7	30
Cd	precip	0.10	0.02	0.64	35.9	7	30
Cr	precip	0.55	0.10	2.17	206.9	3	30
Cu	precip	7.63	1.15	44.19	2885.3	0	30
Ni	precip	0.62	0.51	3.99	232.6	24	30
Pb	precip	2.09	0.28	17.65	791.6	0	30
Zn	precip	44.51	13.61	134.54	16826.7	0	30

ES0012R Zarra
January 2020 - December 2020

Component	matrix	W. mean	Min	Max	Dep	Num bel	Num sampl
As	precip+dry_dep	0.10	0.03	0.15	-	0	4
Cd	precip+dry_dep	0.01	0.01	0.02	-	2	4
Cr	precip+dry_dep	0.30	0.11	0.48	-	0	4
Cu	precip+dry_dep	11.76	10.28	13.70	-	0	4
Hg	precip+dry_dep	0.55	0.17	0.96	-	4	4
Ni	precip+dry_dep	1.20	0.40	3.41	-	0	4
Pb	precip+dry_dep	0.36	0.09	0.49	-	0	4
Zn	precip+dry_dep	9.60	4.03	15.29	-	0	4

ES0014R Els Torms
January 2020 - December 2020

Component	matrix	W. mean	Min	Max	Dep	Num bel	Num sampl
As	precip+dry_dep	0.09	0.02	0.14	-	0	4
Cd	precip+dry_dep	0.01	0.01	0.02	-	3	4
Cr	precip+dry_dep	0.33	0.09	0.70	-	1	4
Cu	precip+dry_dep	3.37	2.59	3.88	-	0	4
Hg	precip+dry_dep	2.52	0.19	7.69	-	3	4
Ni	precip+dry_dep	0.45	0.25	0.67	-	2	4
Pb	precip+dry_dep	0.19	0.07	0.31	-	1	4
Zn	precip+dry_dep	2.09	0.82	2.79	-	1	4

FI0018R Virolahti III
January 2020 - December 2020

Component	matrix	W. mean	Min	Max	Dep	Num bel	Num sampl
Al	precip	25.72	7.70	65.24	16523.6	0	13
As	precip	0.09	0.03	0.21	56.9	0	13
Cd	precip	0.03	0.01	0.07	16.2	0	13
Co	precip	0.02	0.01	0.05	13.7	0	13
Cr	precip	0.07	0.03	0.12	42.1	0	13
Cu	precip	0.59	0.43	1.56	380.2	0	13
Fe	precip	48.37	10.07	153.66	31070.3	0	13
Hg	precip	4.04	1.00	10.00	2750.4	1	13
Mn	precip	2.86	0.65	6.89	1838.3	0	13
Ni	precip	0.22	0.05	2.98	140.3	0	13
Pb	precip	0.74	0.23	1.88	474.9	0	13
V	precip	0.21	0.07	0.51	133.5	0	13
Zn	precip	3.43	1.43	8.76	2201.2	0	13

FI0036R Pallas (Matorova)
January 2020 - December 2020

Component	matrix	W. mean	Min	Max	Dep	Num bel	Num sampl
Al	precip	3.80	0.83	24.85	1654.0	0	12
As	precip	0.03	0.02	0.09	14.6	0	12
Cd	precip	0.01	0.00	0.02	2.9	0	12
Co	precip	0.01	0.00	0.03	3.0	0	12
Cr	precip	0.04	0.01	0.13	17.5	0	12
Cu	precip	0.55	0.25	4.23	240.2	0	12
Fe	precip	4.29	1.18	24.09	1868.2	0	12
Hg	precip	3.75	0.00	84.30	1588.8	0	18
Mn	precip	1.50	0.15	52.86	651.5	0	12
Ni	precip	0.16	0.04	1.11	68.7	0	12
Pb	precip	0.18	0.07	0.86	80.2	0	12
V	precip	0.07	0.03	0.28	30.1	0	12
Zn	precip	1.26	0.41	5.10	547.6	0	12

FI0050R Hyytiälä
January 2020 - December 2020

Component	matrix	W. mean	Min	Max	Dep	Num bel	Num sampl
Al	precip	17.47	0.80	133.81	10358.4	0	12
As	precip	0.07	0.03	0.32	40.6	0	12
Cd	precip	0.01	0.01	0.04	8.3	0	12
Co	precip	0.02	0.00	0.16	11.8	0	12
Cr	precip	0.07	0.02	0.33	41.0	0	12
Cu	precip	0.49	0.22	2.53	293.0	0	12
Fe	precip	25.36	1.17	216.60	15034.5	0	12
Hg	precip	4.07	1.00	11.00	2476.3	0	12
Mn	precip	2.15	0.78	17.90	1276.8	0	12
Ni	precip	0.16	0.05	0.79	94.6	0	12
Pb	precip	0.32	0.03	0.98	190.1	0	12
V	precip	0.13	0.05	0.62	79.0	0	12
Zn	precip	2.92	0.92	8.70	1728.1	0	12

FI0053R Hailuoto II
January 2020 - December 2020

Component	matrix	W. mean	Min	Max	Dep	Num bel	Num sampl
Al	precip	7.66	1.70	118.08	4419.6	0	12
As	precip	0.04	0.01	0.66	21.0	0	12
Cd	precip	0.01	0.00	0.15	4.8	0	12
Co	precip	0.02	0.01	0.66	10.7	0	12
Cr	precip	0.08	0.02	1.54	44.3	0	12
Cu	precip	0.55	0.18	17.27	316.8	0	12
Fe	precip	10.81	1.75	187.86	6240.2	0	12
Mn	precip	1.11	0.48	19.58	641.8	0	12
Ni	precip	0.08	0.04	1.31	46.0	0	12
Pb	precip	0.20	0.04	4.43	115.0	0	12
V	precip	0.14	0.06	5.50	83.5	0	12
Zn	precip	1.80	0.81	34.47	1039.9	0	12

FI0092R Hietajärvi
January 2020 - December 2020

Component	matrix	W. mean	Min	Max	Dep	Num bel	Num sampl
Al	precip	6.80	1.07	36.45	4835.7	0	13
As	precip	0.04	0.02	0.09	26.3	0	13
Cd	precip	0.01	0.00	0.02	6.9	0	13
Co	precip	0.01	0.00	0.04	6.3	0	13
Cr	precip	0.05	0.02	0.20	33.9	0	13
Cu	precip	0.36	0.12	2.18	258.2	0	13
Fe	precip	8.44	1.44	59.14	6004.8	0	13
Mn	precip	1.02	0.23	2.82	728.1	0	13
Ni	precip	0.07	0.04	0.38	51.5	0	13
Pb	precip	0.25	0.08	0.65	175.6	0	13
V	precip	0.08	0.03	0.26	59.4	0	13
Zn	precip	1.27	0.53	2.88	906.5	0	13

FI0093R Kotinen
January 2020 - December 2020

Component	matrix	W. mean	Min	Max	Dep	Num bel	Num sampl
Al	precip	8.73	2.23	36.36	5271.1	0	13
As	precip	0.05	0.02	0.12	31.8	0	13
Cd	precip	0.02	0.00	0.10	11.0	0	13
Co	precip	0.01	0.00	0.06	7.5	0	13
Cr	precip	0.05	0.02	0.21	32.7	0	13
Cu	precip	0.43	0.27	2.05	258.2	0	13
Fe	precip	11.15	2.67	53.14	6729.3	0	13
Hg	precip	2.84	1.00	7.00	1776.5	0	13
Mn	precip	2.03	0.42	17.16	1225.9	0	13
Ni	precip	0.12	0.05	0.53	71.2	0	13
Pb	precip	0.32	0.07	0.70	194.6	0	13
V	precip	0.11	0.05	0.32	65.0	0	13
Zn	precip	1.99	0.75	6.78	1203.1	0	13

FR0008R Donon
January 2020 - December 2020

Component	matrix	W. mean	Min	Max	Dep	Num bel	Num sampl
As	precip_tot	0.08	0.02	0.55	103.6	0	9
Cd	precip_tot	0.08	0.01	0.47	101.7	0	9
Ni	precip_tot	0.18	0.07	0.74	223.3	0	9
Pb	precip_tot	0.45	0.26	2.10	550.1	0	9

FR0009R Revin
January 2020 - December 2020

Component	matrix	W. mean	Min	Max	Dep	Num bel	Num sampl
As	precip_tot	0.05	0.02	0.27	51.3	0	10
Cd	precip_tot	0.03	0.01	0.21	31.2	0	10
Ni	precip_tot	0.22	0.10	1.17	214.1	0	10
Pb	precip_tot	0.73	0.47	3.25	722.9	0	10

FR0013R Peyrusse Vieille
January 2020 - December 2020

Component	matrix	W. mean	Min	Max	Dep	Num bel	Num sampl
As	precip_tot	0.04	0.01	0.42	26.8	0	9
Cd	precip_tot	0.01	0.01	0.10	9.4	0	9
Ni	precip_tot	0.21	0.09	1.32	146.0	0	9
Pb	precip_tot	0.25	0.12	2.85	169.1	0	9

FR0023R Saint-Nazaire-le-Désert
January 2020 - December 2020

Component	matrix	W. mean	Min	Max	Dep	Num bel	Num sampl
As	precip_tot	0.06	0.03	0.53	42.3	0	11
Cd	precip_tot	0.04	0.01	0.12	26.3	0	11
Ni	precip_tot	0.23	0.06	2.25	170.6	0	11
Pb	precip_tot	0.59	0.11	5.20	436.4	0	11

FR0025R Verneuil
January 2020 - December 2020

Component	matrix	W. mean	Min	Max	Dep	Num bel	Num sampl
As	precip_tot	0.06	0.02	0.69	33.0	0	11
Cd	precip_tot	0.02	0.01	0.35	10.8	0	11
Ni	precip_tot	0.29	0.10	2.33	159.4	0	11
Pb	precip_tot	0.43	0.16	5.15	234.5	0	11

FR0028R Kergoff
January 2020 - December 2020

Component	matrix	W. mean	Min	Max	Dep	Num bel	Num sampl
As	precip_tot	0.04	0.03	0.30	59.0	0	10
Cd	precip_tot	0.01	0.00	0.12	18.6	0	10
Ni	precip_tot	0.15	0.08	0.68	199.3	0	10
Pb	precip_tot	0.41	0.12	1.02	568.2	0	10

FR0090R Porspoder
January 2020 - December 2020

Component	matrix	W. mean	Min	Max	Dep	Num bel	Num sampl
As	precip	0.22	0.05	1.24	183.7	0	13
Cd	precip	0.03	0.00	0.10	24.7	0	13
Co	precip	0.03	0.01	0.08	22.5	0	13
Cr	precip	0.07	0.01	0.34	60.9	0	13
Cu	precip	1.88	0.03	5.62	1599.2	0	13
Ni	precip	0.30	0.05	0.85	252.8	0	13
Pb	precip	0.80	0.12	2.72	681.5	0	13
V	precip	0.31	0.13	0.42	261.0	0	13
Zn	precip	10.25	1.50	23.90	8735.1	0	13

GB0006R Lough Navar
January 2020 - December 2020

Component	matrix	W. mean	Min	Max	Dep	Num bel	Num sampl
As	precip	0.11	0.07	0.15	204.9	0	4
Cd	precip	0.00	0.00	0.00	2.2	4	5
Cr	precip	0.02	0.02	0.07	46.3	8	10
Cu	precip	0.39	0.05	0.71	754.0	0	4
Ni	precip	0.05	0.01	0.18	104.3	1	4
Pb	precip	0.03	0.03	0.06	61.2	11	12
Zn	precip	0.60	0.50	2.10	1152.8	10	11

GB0013R Yarner Wood
January 2020 - December 2020

Component	matrix	W. mean	Min	Max	Dep	Num bel	Num sampl
As	precip	0.09	0.09	0.10	133.7	0	2
Cd	precip	0.00	0.00	0.01	1.9	10	11
Cr	precip	0.02	0.02	0.08	32.0	21	23
Cu	precip	0.07	0.01	0.35	100.0	1	3
Hg	precip	3.97	1.00	11.00	5402.0	0	11
Ni	precip	0.05	0.01	0.17	65.7	1	3
Pb	precip	0.03	0.03	0.21	47.5	25	27
Zn	precip	0.54	0.50	3.46	775.8	13	14

GB0017R Heigham Holmes
January 2020 - December 2020

Component	matrix	W. mean	Min	Max	Dep	Num bel	Num sampl
As	precip	0.10	0.10	0.10	56.0	0	2
Cd	precip	0.01	0.01	0.01	3.0	0	2
Cr	precip	0.03	0.02	0.09	15.0	4	6
Cu	precip	0.33	0.32	0.33	181.9	0	2
Hg	precip	5.38	2.00	22.00	3096.5	0	12
Ni	precip	0.09	0.08	0.09	48.5	0	2
Pb	precip	0.31	0.03	1.20	172.1	3	5
Zn	precip	3.07	3.06	3.20	1712.5	0	2

GB0048R Auchencorth Moss
January 2020 - December 2020

Component	matrix	W. mean	Min	Max	Dep	Num bel	Num sampl
Al-27	precip	1.35	0.30	20.60	1444.0	17	25
As	precip	0.07	0.04	0.14	69.9	0	8
Ba	precip	0.11	0.03	1.69	114.0	16	24
Be	precip	0.00	0.00	0.00	2.1	23	26
Cd	precip	0.00	0.00	0.01	1.4	21	28
Co	precip	0.00	0.00	0.03	3.3	34	39
Cr	precip	0.02	0.02	0.12	25.7	27	33
Cs	precip	0.00	0.00	0.01	1.2	33	36
Cu	precip	0.39	0.01	4.02	415.4	5	13
Fe-57	precip	1.15	0.50	15.52	1222.7	24	30
Hg	precip	3.51	1.00	8.00	3903.1	0	12
Li	precip	0.02	0.00	0.06	20.4	1	9
Mn	precip	0.47	0.12	1.71	506.6	0	8
Mo	precip	0.02	0.01	0.15	18.1	37	41
Ni-60	precip	0.05	0.01	0.24	52.5	4	12
Pb	precip	0.03	0.03	0.15	33.6	38	43

GB0048R Auchencorth Moss (cont.)
January 2020 - December 2020

Component	matrix	W. mean	Min	Max	Dep	Num bel	Num sampl
Sb	precip	0.01	0.01	0.07	12.3	10	18
Se	precip	0.03	0.01	0.21	36.0	10	16
Sn	precip	0.03	0.00	0.30	35.3	9	17
Sr	precip	0.92	0.08	2.60	980.4	0	47
Ti	precip	0.03	0.02	0.19	34.2	21	28
U	precip	0.00	0.00	0.01	1.2	36	40
V	precip	0.02	0.00	0.34	17.1	14	22
W	precip	0.01	0.01	0.15	13.5	24	29
Zn	precip	0.63	0.50	4.59	673.5	28	34

GB1055R Chilbolton Observatory
January 2020 - December 2020

Component	matrix	W. mean	Min	Max	Dep	Num bel	Num sampl
Al-27	precip	3.02	0.30	12.24	2341.1	5	12
As	precip	0.06	0.02	0.12	48.8	0	7
Ba	precip	0.24	0.03	1.90	185.8	7	13
Be	precip	0.00	0.00	0.00	1.5	2	2
Cd	precip	0.00	0.00	0.02	3.2	6	12
Co	precip	0.00	0.00	0.01	3.8	16	23
Cr	precip	0.04	0.02	0.14	32.0	18	25
Cs	precip	0.00	0.00	0.00	0.8	19	25
Cu	precip	0.25	0.06	0.56	194.9	0	7
Fe-57	precip	2.33	0.50	9.18	1806.8	11	18
Hg	precip	3.24	1.00	7.00	2446.6	0	11
Li	precip	0.02	0.01	0.06	18.1	0	7
Mn	precip	1.43	0.12	6.05	1105.3	0	7
Mo	precip	0.01	0.01	0.01	11.6	22	28
Ni-60	precip	0.08	0.04	0.20	59.1	0	7
Pb	precip	0.05	0.03	0.21	38.8	21	27
Sb	precip	0.04	0.01	0.14	28.2	1	7
Se	precip	0.05	0.01	0.12	40.0	5	12
Sn	precip	0.07	0.00	0.27	52.7	7	13
Sr	precip	1.34	0.27	9.06	1038.0	0	38
Ti	precip	0.06	0.02	0.31	46.4	11	18
U	precip	0.00	0.00	0.00	0.8	27	33
V	precip	0.10	0.04	0.20	81.2	0	7
W	precip	0.01	0.01	0.02	4.2	15	21
Zn	precip	0.95	0.50	3.40	738.0	8	14

IS0091R Storhofdi
January 2020 - December 2020

Component	matrix	W. mean	Min	Max	Dep	Num bel	Num sampl
Al	precip	155.69	45.70	339.00	176349.6	0	12
As	precip	0.05	0.03	0.14	53.3	7	12
Cd	precip	0.01	0.00	0.05	15.4	1	12
Co	precip	0.10	0.05	0.19	109.4	0	12
Cr	precip	0.31	0.10	0.76	355.6	0	12
Cu	precip	2.88	0.98	8.50	3260.5	0	11
Fe	precip	208.32	54.60	396.70	235962.6	0	12
Mn	precip	4.00	1.31	7.74	4529.2	0	12
Ni	precip	0.46	0.15	1.01	517.6	0	12
Pb	precip	0.62	0.11	2.30	706.5	0	12
V	precip	0.66	0.18	1.31	745.1	0	12
Zn	precip	12.45	7.60	29.40	14099.0	0	12

IT0019R Monte Martano
January 2020 - December 2020

Component	matrix	W. mean	Min	Max	Dep	Num bel	Num sampl
Al	precip+dry_dep	1752542.47	409000.00	4114000.00		-	0
As	precip+dry_dep	550.05	120.00	1370.00	-	0	12
Ba	precip+dry_dep	21788.19	5290.00	46400.00	-	0	12
Cd	precip+dry_dep	157.51	20.00	530.00	-	0	12
Co	precip+dry_dep	633.51	100.00	1360.00	-	0	12
Cr	precip+dry_dep	4381.75	1830.00	7010.00	-	0	12
Cu	precip+dry_dep	13528.79	4790.00	21300.00	-	0	12
Fe	precip+dry_dep	1487282.19	346000.00	3767000.00		-	0
La	precip+dry_dep	1402.55	230.00	4150.00	-	0	12
Mn	precip+dry_dep	43010.14	11700.00	112600.00	-	0	12
Mo	precip+dry_dep	629.26	190.00	1260.00	-	0	12
Ni	precip+dry_dep	6163.84	1700.00	14700.00	-	0	12
Pb	precip+dry_dep	8205.86	2190.00	14800.00	-	0	12
Sb	precip+dry_dep	801.64	340.00	1380.00	-	0	12

IT0019R Monte Martano (cont.)
January 2020 - December 2020

Component	matrix	W. mean	Min	Max	Dep	Num bel	Num sampl
Sn	precip+dry_dep	542.71	100.00	820.00	-	0	12
Sr	precip+dry_dep	10238.90	560.00	26600.00	-	0	12
Ti	precip+dry_dep	30536.16	9200.00	73900.00	-	0	12
V	precip+dry_dep	2967.15	820.00	6530.00	-	0	12
Zn	precip+dry_dep	194195.07	36100.00	905000.00	-	0	12

LV0010R Rucava
January 2020 - December 2020

Component	matrix	W. mean	Min	Max	Dep	Num bel	Num sampl
As	precip	0.18	0.10	0.50	151.1	43	43
Cd	precip	0.02	0.01	0.14	19.0	37	43
Hg	precip	5.82	1.50	24.00	4958.0	28	36
Ni	precip	0.59	0.45	2.80	499.6	43	43
Pb	precip	0.47	0.20	2.92	397.6	39	42

NL0010R Vredepeel
January 2020 - December 2020

Component	matrix	W. mean	Min	Max	Dep	Num bel	Num sampl
As	precip	0.07	0.04	0.19	26.0	11	13
Cd	precip	0.05	0.01	0.21	17.7	5	13
Cr	precip	0.08	0.02	0.35	31.3	13	13
Cu	precip	1.53	0.76	5.76	583.7	0	13
Fe	precip	22.32	4.47	81.53	8536.7	6	12
Ni	precip	0.20	0.05	0.97	75.1	11	13
Pb	precip	0.69	0.32	1.88	263.8	3	13
V	precip	0.12	0.08	0.41	46.8	9	12
Zn	precip	7.98	3.73	19.95	3052.6	1	13

NL0091R De Zilk
January 2020 - December 2020

Component	matrix	W. mean	Min	Max	Dep	Num bel	Num sampl
As	precip	0.04	0.00	0.40	35.3	41	44
Cd	precip	0.01	0.00	0.11	7.8	35	43
Cr	precip	0.06	0.00	0.70	51.6	41	43
Cu	precip	0.56	0.10	5.26	464.3	9	43
Fe	precip	12.28	0.00	57.52	10140.0	30	41
Hg	precip	9.14	4.00	83.00	8540.7	0	40
Ni	precip	0.19	0.03	1.75	158.9	31	40
Pb	precip	0.35	0.08	3.78	289.0	23	44
V	precip	0.20	0.05	1.64	161.8	26	44
Zn	precip	2.18	0.33	19.10	1797.8	30	43

NO0001R Birkenes
January 2020 - December 2020

Component	matrix	W. mean	Min	Max	Dep	Num bel	Num sampl
As	precip	0.07	0.03	0.21	137.3	20	49
Cd	precip	0.01	0.00	0.07	30.3	1	49
Co	precip	0.02	0.00	0.24	50.0	9	49
Cr	precip	0.14	0.04	1.06	276.4	20	49
Cu	precip	2.44	0.14	24.10	4967.4	0	49
Hg	precip	3.71	0.60	13.10	8490.2	0	26
Mn	precip	1.43	0.20	18.20	2918.5	0	49
Ni	precip	0.66	0.03	10.20	1344.8	2	49
Pb	precip	0.62	0.11	2.28	1260.4	0	49
V	precip	0.20	0.05	1.03	396.6	0	49
Zn	precip	3.72	0.83	29.50	7559.9	0	49

NO0039R Kårvatn
January 2020 - December 2020

Component	matrix	W. mean	Min	Max	Dep	Num bel	Num sampl
Cd	precip	0.00	0.00	0.02	6.0	24	52
Pb	precip	0.14	0.02	1.35	254.9	12	52
Zn	precip	1.36	0.30	12.70	2433.9	7	52

NO0056R Hurdal
January 2020 - December 2020

Component	matrix	W. mean	Min	Max	Dep	Num bel	Num sampl
Cd	precip	0.02	0.00	0.12	24.3	0	45
Pb	precip	0.47	0.09	4.04	670.0	0	45
Zn	precip	4.79	1.45	27.30	6772.1	0	45

PL0004R Leba
January 2020 - December 2020

Component	matrix	W. mean	Min	Max	Dep	Num bel	Num sampl
Cd	precip	0.01	0.01	0.05	6.1	0	13
Cr	precip	0.03	0.01	0.26	16.0	0	13
Cu	precip	0.59	0.33	3.38	311.4	0	13
Ni	precip	0.11	0.05	0.50	56.9	0	13
Pb	precip	0.25	0.12	2.12	133.6	0	13
Zn	precip	1.92	1.13	12.05	1017.3	0	13

PL0005R Diabla Gora
January 2020 - December 2020

Component	matrix	W. mean	Min	Max	Dep	Num bel	Num sampl
As	precip	0.26	0.10	0.35	151.1	0	12
Cd	precip	0.03	0.01	0.05	15.8	0	12
Cr	precip	0.10	0.02	0.33	61.2	0	11
Cu	precip	0.91	0.40	4.00	540.8	0	12
Hg	precip	10.23	3.30	16.90	6454.4	0	12
Ni	precip	0.49	0.06	2.00	290.2	0	12
Pb	precip	0.24	0.11	0.60	144.2	0	12
Zn	precip	4.50	3.00	10.00	2665.1	0	12

SE0005R Bredkålen
January 2020 - December 2020

Component	matrix	W. mean	Min	Max	Dep	Num bel	Num sampl
As	precip	0.04	0.02	0.14	14.7	0	12
Cd	precip	0.02	0.01	0.16	6.8	0	12
Co	precip	0.03	0.01	0.04	9.0	0	12
Cr	precip	0.06	0.04	0.13	20.4	0	12
Cu	precip	5.88	0.86	71.00	1953.6	0	12
Hg	precip	3.76	1.40	22.70	2461.3	0	25
Mn	precip	10.30	1.20	78.40	3421.5	0	12
Ni	precip	0.09	0.05	0.16	29.7	0	12
Pb	precip	0.42	0.09	1.18	141.1	0	12
V	precip	0.04	0.01	0.08	13.2	0	12
Zn	precip	5.43	1.65	16.00	1802.0	0	12

SE0014R Råö
January 2020 - December 2020

Component	matrix	W. mean	Min	Max	Dep	Num bel	Num sampl
As	precip	0.12	0.04	1.07	67.1	0	12
Cd	precip	0.07	0.01	1.12	42.4	0	12
Co	precip	0.04	0.00	0.52	23.6	0	12
Cr	precip	0.06	0.02	0.42	35.7	0	12
Cu	precip	4.22	0.57	36.33	2433.4	0	12
Hg	precip	6.39	0.00	21.70	4183.3	0	26
Mn	precip	3.97	1.00	19.00	2286.9	0	12
Ni	precip	0.07	0.03	0.55	41.6	0	12
Pb	precip	0.45	0.15	2.11	258.7	0	12
V	precip	0.14	0.09	0.46	79.9	0	12
Zn	precip	6.24	1.60	47.38	3599.9	0	12

SE0020R Hallahus
January 2020 - December 2020

Component	matrix	W. mean	Min	Max	Dep	Num bel	Num sampl
As	precip	0.09	0.05	0.20	63.5	0	11
Cd	precip	0.10	0.01	0.85	69.7	0	11
Co	precip	0.04	0.01	0.12	27.2	0	11
Cr	precip	0.06	0.04	0.12	40.4	0	11
Cu	precip	3.62	0.56	17.14	2606.9	0	11
Hg	precip	6.41	3.30	69.00	5086.4	0	25
Mn	precip	5.24	1.20	29.90	3776.3	0	11
Ni	precip	0.10	0.03	0.44	74.9	0	11
Pb	precip	0.37	0.02	1.11	265.9	0	11
V	precip	0.17	0.12	0.36	125.4	0	11
Zn	precip	8.68	2.25	48.20	6258.1	0	11

SE0022R Norunda Stenen
January 2020 - December 2020

Component	matrix	W. mean	Min	Max	Dep	Num bel	Num sampl
As	precip	0.06	0.02	0.15	25.6	0	12
Cd	precip	0.01	0.00	0.04	5.1	0	12
Co	precip	0.03	0.01	0.10	13.3	0	12
Cr	precip	0.05	0.04	0.46	19.0	0	12
Cu	precip	3.73	0.62	12.02	1474.8	0	12
Mn	precip	1.85	0.60	9.30	732.2	0	12
Ni	precip	0.06	0.03	0.33	24.3	0	12
Pb	precip	0.24	0.03	1.09	96.1	0	12
V	precip	0.11	0.06	0.37	42.5	0	12
Zn	precip	2.85	1.40	7.38	1127.2	0	12

SI0008R Iskrba
January 2020 - December 2020

Component	matrix	W. mean	Min	Max	Dep	Num bel	Num sampl
As	precip	0.04	0.03	0.55	28.9	16	23
Cd	precip	0.01	0.01	0.17	7.3	13	24
Co	precip	0.09	0.07	0.74	63.2	19	24
Cr	precip	0.03	0.01	0.44	21.5	12	24
Cu	precip	0.69	0.07	8.60	487.7	4	23
Hg	precip	5.46	2.50	12.00	2352.2	0	8
Mn	precip	2.76	0.07	74.60	1949.0	5	24
Ni	precip	0.13	0.03	2.22	94.5	19	24
Pb	precip	0.37	0.03	3.73	259.5	10	24
V	precip	0.13	0.01	1.23	94.6	9	24
Zn	precip	2.44	0.25	59.40	1720.5	3	24

SK0002R Chopok
January 2020 - December 2020

Component	matrix	W. mean	Min	Max	Dep	Num bel	Num sampl
As	precip	0.33	0.04	0.80	326.7	0	12
Cd	precip	0.15	0.02	0.45	150.5	0	12
Cr	precip	0.13	0.03	0.46	126.5	0	12
Cu	precip	0.90	0.15	1.51	886.8	0	12
Ni	precip	0.26	0.19	0.66	250.7	0	12
Pb	precip	3.86	0.24	12.03	3796.4	0	12
Zn	precip	20.15	6.88	45.34	19811.8	0	12

SK0004R Stará Lesná
January 2020 - December 2020

Component	matrix	W. mean	Min	Max	Dep	Num bel	Num sampl
As	precip	0.54	0.04	1.36	403.5	0	12
Cd	precip	0.15	0.02	0.41	116.9	0	12
Cr	precip	0.12	0.03	0.54	93.9	0	12
Cu	precip	0.88	0.12	4.02	661.8	0	12
Ni	precip	0.44	0.19	0.98	334.0	0	12
Pb	precip	0.79	0.26	3.32	599.3	0	12
Zn	precip	10.42	4.27	30.20	7858.8	0	12

SK0006R Starina
January 2020 - December 2020

Component	matrix	W. mean	Min	Max	Dep	Num bel	Num sampl
As	precip	0.28	0.05	3.72	212.2	0	40
Cd	precip	0.09	0.02	0.48	69.2	0	42
Cr	precip	0.15	0.04	1.01	112.1	0	42
Cu	precip	0.74	0.15	4.41	556.9	0	41
Ni	precip	0.53	0.21	4.04	398.6	0	42
Pb	precip	0.81	0.24	4.74	606.8	0	42
Zn	precip	17.92	3.91	84.95	13462.3	0	42

SK0007R Topolniky
January 2020 - December 2020

Component	matrix	W. mean	Min	Max	Dep	Num bel	Num sampl
As	precip	0.23	0.04	1.55	103.2	0	12
Cd	precip	0.07	0.02	0.61	34.0	0	12
Cr	precip	0.15	0.03	0.95	70.5	0	12
Cu	precip	0.62	0.18	3.82	282.7	0	12
Ni	precip	0.41	0.20	0.88	188.6	0	12
Pb	precip	0.91	0.42	2.41	416.7	0	12
Zn	precip	47.21	10.03	110.35	21555.0	0	12

Appendix B

Annual statistics for heavy metals in air

BE0014R Koksijde
January 2020 - December 2020

Component	matrix	Arit mean	Arit sd	Geom mean	Geom sd	Min	50%	Max	% anal	Num bel	Num sampl
As	pm10	0.47	0.37	0.37	2.06	0.10	0.30	1.90	100.0	0	184
Cd	pm10	0.10	0.11	0.12	1.58	0.00	0.10	0.80	100.0	0	184
Cr	pm10	1.25	0.98	0.92	2.33	0.00	0.90	4.70	99.5	0	183
Cu	pm10	2.98	2.63	2.14	2.38	0.10	2.20	18.20	100.0	0	184
Mn	pm10	7.48	6.87	5.11	2.47	0.60	5.15	36.80	100.0	0	184
Ni	pm10	1.70	2.24	1.07	2.54	0.10	1.10	19.10	98.9	0	182
Pb	pm10	3.28	2.63	2.47	2.21	0.20	2.50	14.60	100.0	0	184
Zn	pm10	12.30	10.48	8.79	2.38	0.40	9.10	57.90	100.0	0	184

CY0002R Agia Marina Xyliatou / Cyprus Atmosph
January 2020 - December 2020

Component	matrix	Arit mean	Arit sd	Geom mean	Geom sd	Min	50%	Max	% anal	Num bel	Num sampl
Al	pm10	431.19	618.33	215.50	3.55	1.80	260.77	5028.46	95.9	0	351
As	pm10	0.44	0.29	0.34	2.15	0.02	0.38	2.06	95.9	0	351
Cd	pm10	0.09	0.18	0.05	2.70	0.00	0.06	2.94	95.9	0	351
Cr	pm10	0.86	0.84	0.43	4.06	0.04	0.67	5.26	95.9	0	351
Cu	pm10	1.94	3.26	1.38	2.11	0.09	1.50	47.85	95.9	0	351
Fe	pm10	354.01	423.60	200.44	3.25	0.55	245.31	3304.91	95.9	0	351
Mn	pm10	7.28	7.20	4.69	2.79	0.17	5.42	53.82	95.9	0	351
Ni	pm10	0.99	0.75	0.67	2.92	0.04	0.84	4.42	95.9	0	351
Pb	pm10	0.00	0.01	0.00	2.60	0.00	0.00	0.04	95.9	0	351
V	pm10	1.56	1.33	0.96	3.55	0.01	1.24	7.37	95.9	0	351
Zn	pm10	12.24	9.68	9.04	2.27	0.67	10.01	65.44	95.9	0	351

CZ0003R Kosetice (NOAK)
January 2020 - December 2020

Component	matrix	Arit mean	Arit sd	Geom mean	Geom sd	Min	50%	Max	% anal	Num bel	Num sampl
As	pm10	0.31	0.29	0.21	2.46	0.04	0.22	1.74	50.1	23	184
As	pm25	0.27	0.26	0.18	2.45	0.04	0.20	1.61	50.1	29	184
Cd	pm10	0.07	0.07	0.05	2.29	0.01	0.05	0.47	50.1	0	184
Cd	pm25	0.06	0.06	0.04	2.31	0.00	0.04	0.44	50.1	0	184
Co	pm10	0.04	0.04	0.02	2.72	0.00	0.02	0.24	50.1	2	184
Co	pm25	0.01	0.02	0.01	2.93	0.00	0.01	0.11	50.1	21	184
Cr	pm10	0.48	0.44	0.34	2.26	0.11	0.17	2.63	50.1	91	184
Cr	pm25	0.35	0.33	0.27	1.93	0.17	0.17	2.90	50.1	109	184
Cu	pm10	1.20	0.93	0.77	3.17	0.08	1.03	4.47	50.1	26	184
Cu	pm25	0.62	0.68	0.34	3.27	0.08	0.45	4.45	49.8	56	183
Fe	pm10	90.86	98.42	56.23	2.82	1.95	57.90	615.00	50.1	3	184
Fe	pm25	30.59	35.62	17.74	2.97	1.95	17.00	264.00	50.1	16	184
Mn	pm10	2.87	2.52	2.14	2.15	0.23	2.00	16.50	50.1	0	184
Mn	pm25	1.18	1.03	0.87	2.24	0.02	0.82	7.33	50.1	1	184
Ni	pm10	0.26	0.36	0.11	4.51	0.01	0.14	2.20	50.1	50	184
Ni	pm25	0.19	0.27	0.06	4.92	0.01	0.06	1.57	49.8	83	183
Pb	pm10	1.75	1.36	1.35	2.08	0.24	1.31	7.75	50.1	0	184
Pb	pm25	1.44	1.11	1.12	2.04	0.18	1.09	6.67	50.1	0	184
Se	pm10	0.23	0.15	0.18	2.12	0.06	0.21	0.71	50.1	45	184
Se	pm25	0.20	0.14	0.15	2.13	0.06	0.17	0.70	50.1	57	184
V	pm10	0.22	0.24	0.14	2.71	0.01	0.16	1.58	50.1	2	184
V	pm25	0.11	0.11	0.07	2.75	0.01	0.08	0.68	50.1	8	184
Zn	pm10	6.86	5.23	5.32	2.08	0.66	5.14	31.60	50.1	0	184
Zn	pm25	5.46	4.46	4.15	2.13	0.27	4.03	27.70	50.1	0	184

CZ0005R Churanov
January 2020 - December 2020

Component	matrix	Arit mean	Arit sd	Geom mean	Geom sd	Min	50%	Max	% anal	Num bel	Num sampl
As	pm10	0.12	0.12	0.08	2.21	0.04	0.09	0.80	49.8	90	183
Cd	pm10	0.03	0.04	0.02	3.07	0.00	0.02	0.25	49.8	15	183
Co	pm10	0.03	0.04	0.01	4.15	0.00	0.01	0.30	49.8	29	183
Cr	pm10	0.44	0.69	0.23	2.95	0.09	0.17	7.73	49.8	90	183
Cu	pm10	0.84	0.68	0.48	3.76	0.04	0.74	2.95	49.8	32	183
Fe	pm10	67.02	107.27	29.36	3.85	1.95	33.40	791.00	49.8	14	183
Mn	pm10	1.58	2.14	0.83	3.26	0.02	0.82	12.90	49.8	2	183
Ni	pm10	0.17	0.24	0.06	4.45	0.01	0.08	1.52	49.8	78	183
Pb	pm10	0.84	0.83	0.55	2.78	0.00	0.60	5.27	49.8	1	183
Se	pm10	0.12	0.08	0.10	1.89	0.06	0.06	0.39	49.8	103	183
V	pm10	0.17	0.26	0.08	3.79	0.01	0.09	1.97	49.8	15	183
Zn	pm10	3.63	3.18	2.24	3.47	0.07	2.82	17.40	49.8	13	183

DE0001R Westerland
January 2020 - December 2020

Component	matrix	Arit mean	Arit sd	Geom mean	Geom sd	Min	50%	Max	% anal	Num bel	Num sampl
As	pm10	0.22	0.19	0.16	2.18	0.02	0.15	1.02	99.2	0	52
Cd	pm10	0.05	0.04	0.04	2.15	0.01	0.03	0.19	99.2	0	52
Co	pm10	0.02	0.02	0.01	2.95	0.00	0.02	0.08	99.2	0	52
Cu	pm10	1.09	1.50	0.56	3.44	0.10	0.62	9.33	99.2	0	52
Fe	pm10	51.62	50.26	28.25	3.99	0.99	37.46	210.33	99.2	0	52
Mn	pm10	1.86	1.47	1.39	2.39	0.03	1.42	6.85	99.2	0	52
Mo	pm10	0.10	0.08	0.07	2.45	0.01	0.07	0.34	99.2	0	52
Ni	pm10	0.46	0.30	0.37	2.07	0.08	0.39	1.25	99.2	0	52
Pb	pm10	1.33	1.14	1.01	2.09	0.21	0.89	5.68	99.2	0	52
Sb	pm10	0.21	0.11	0.18	1.76	0.05	0.18	0.53	99.2	0	52
Se	pm10	0.36	0.14	0.33	1.49	0.11	0.33	0.71	99.2	0	52
Ti	pm10	2.65	2.70	1.64	2.92	0.07	1.93	14.07	99.2	0	52
Tl	pm10	0.01	0.01	0.01	2.25	0.00	0.01	0.06	99.2	0	52
V	pm10	0.62	0.36	0.53	1.79	0.12	0.55	1.72	99.2	0	52
Zn	pm10	9.44	15.29	3.37	4.56	0.59	4.00	85.58	99.2	0	52

DE0002R Waldhof
January 2020 - December 2020

Component	matrix	Arit mean	Arit sd	Geom mean	Geom sd	Min	50%	Max	% anal	Num bel	Num sampl
As	pm10	0.32	0.37	0.24	1.97	0.08	0.21	2.60	99.2	0	52
Cd	pm10	0.08	0.06	0.06	1.83	0.02	0.06	0.35	99.2	0	52
Co	pm10	0.04	0.02	0.03	1.70	0.01	0.03	0.10	99.2	0	52
Cu	pm10	2.08	2.35	1.73	1.73	0.76	1.65	17.77	99.2	0	52
Fe	pm10	99.66	52.08	88.89	1.60	28.93	86.48	260.02	99.2	0	52
Mn	pm10	3.05	1.70	2.69	1.63	0.92	2.43	7.89	99.2	0	52
Mo	pm10	0.18	0.13	0.15	1.94	0.03	0.15	0.76	99.2	0	52
Ni	pm10	0.40	0.25	0.32	1.98	0.08	0.33	1.13	99.2	0	52
Pb	pm10	2.34	1.95	1.89	1.85	0.68	1.72	11.89	99.2	0	52
Sb	pm10	0.33	0.17	0.29	1.59	0.12	0.27	0.88	99.2	0	52
Se	pm10	0.41	0.19	0.38	1.51	0.16	0.38	1.13	99.2	0	52
TGM	air	1.77	0.13	1.76	1.08	1.55	1.75	2.16	24.9	0	91
Ti	pm10	3.61	3.35	2.43	2.51	0.37	2.75	14.83	99.2	0	52
Tl	pm10	0.02	0.02	0.01	1.97	0.00	0.01	0.13	99.2	0	52
V	pm10	0.38	0.22	0.32	1.78	0.11	0.34	0.97	99.2	0	52
Zn	pm10	11.13	7.25	9.27	1.84	2.72	9.29	41.00	99.2	0	52

DE0003R Schauinsland
January 2020 - December 2020

Component	matrix	Arit mean	Arit sd	Geom mean	Geom sd	Min	50%	Max	% anal	Num bel	Num sampl
As	pm10	0.10	0.08	0.08	2.20	0.01	0.08	0.29	99.2	0	52
Cd	pm10	0.02	0.02	0.01	4.00	0.00	0.01	0.10	99.2	0	52
Co	pm10	0.04	0.06	0.02	3.62	0.00	0.02	0.40	99.2	0	52
Cu	pm10	1.30	1.62	0.68	3.29	0.10	0.71	8.70	99.2	0	52
Fe	pm10	107.08	142.60	59.45	3.15	3.47	58.72	950.97	99.2	0	52
Mn	pm10	2.48	2.89	1.43	3.04	0.10	1.36	16.87	99.2	0	52
Mo	pm10	0.08	0.06	0.06	2.20	0.01	0.06	0.27	99.2	0	52
Ni	pm10	0.51	0.91	0.25	3.03	0.08	0.27	4.94	99.2	0	52
Pb	pm10	0.87	0.54	0.72	1.86	0.18	0.73	2.45	99.2	0	52
Sb	pm10	0.18	0.13	0.14	2.05	0.03	0.13	0.53	99.2	0	52
Se	pm10	0.15	0.09	0.12	2.04	0.02	0.13	0.42	99.2	0	52
TGM	air	1.29	0.10	1.28	1.08	1.01	1.28	1.57	65.8	0	241
Ti	pm10	4.53	7.72	1.77	4.65	0.03	1.98	51.39	99.2	0	52
Tl	pm10	0.01	0.01	0.01	2.58	0.00	0.01	0.03	99.2	0	52
V	pm10	0.27	0.36	0.16	3.12	0.01	0.16	2.40	99.2	0	52
Zn	pm10	17.49	44.41	2.90	5.67	0.59	2.16	240.31	99.2	0	52

DE0007R Neuglobsow
January 2020 - December 2020

Component	matrix	Arit mean	Arit sd	Geom mean	Geom sd	Min	50%	Max	% anal	Num bel	Num sampl
As	pm10	0.31	0.45	0.21	2.19	0.07	0.17	2.93	99.2	0	52
Cd	pm10	0.07	0.06	0.05	2.02	0.01	0.05	0.31	99.2	0	52
Co	pm10	0.03	0.02	0.02	2.20	0.00	0.02	0.10	99.2	0	52
Cu	pm10	1.26	1.74	0.79	2.82	0.10	1.02	12.07	99.2	0	52
Fe	pm10	70.87	47.12	58.67	1.84	13.83	51.32	211.01	99.2	0	52
Mn	pm10	2.43	1.78	1.96	1.90	0.48	1.73	7.27	99.2	0	52
Mo	pm10	0.10	0.12	0.07	2.62	0.01	0.08	0.84	99.2	0	52
Ni	pm10	0.28	0.31	0.21	2.20	0.08	0.23	2.06	99.2	0	52
Pb	pm10	1.94	1.74	1.51	1.97	0.39	1.41	9.84	99.2	0	52
Sb	pm10	0.26	0.15	0.23	1.64	0.08	0.21	0.73	99.2	0	52
Se	pm10	0.33	0.17	0.30	1.58	0.10	0.27	0.89	99.2	0	52
Ti	pm10	2.66	2.52	1.74	2.61	0.27	1.91	9.57	99.2	0	52
Tl	pm10	0.01	0.02	0.01	2.57	0.00	0.01	0.10	99.2	0	52
V	pm10	0.34	0.21	0.28	1.87	0.08	0.28	1.01	99.2	0	52
Zn	pm10	21.35	24.91	11.41	3.26	0.59	11.12	122.81	99.2	0	52

DE0008R Schmücke

January 2020 - December 2020

Component	matrix	Arit mean	Arit sd	Geom mean	Geom sd	Min	50%	Max	% anal	Num bel	Num sampl
As	pm10	0.16	0.12	0.12	2.26	0.01	0.13	0.70	99.2	0	52
Cd	pm10	0.04	0.04	0.03	2.38	0.00	0.03	0.21	99.2	0	52
Co	pm10	0.03	0.03	0.02	2.76	0.00	0.02	0.11	99.2	0	52
Cu	pm10	1.63	0.81	1.42	1.77	0.33	1.58	3.23	99.2	0	52
Fe	pm10	74.99	63.36	46.31	3.17	0.99	60.86	219.45	99.2	0	52
Mn	pm10	2.36	3.35	1.34	3.07	0.03	1.53	22.93	99.2	0	52
Mo	pm10	0.10	0.05	0.08	2.24	0.01	0.11	0.23	99.2	0	52
Ni	pm10	0.21	0.22	0.16	2.12	0.08	0.13	1.42	99.2	0	52
Pb	pm10	1.27	0.85	1.01	2.26	0.02	1.11	5.24	99.2	0	52
Sb	pm10	0.22	0.11	0.17	2.30	0.00	0.19	0.49	97.3	0	51
Se	pm10	0.34	0.21	0.27	2.42	0.00	0.31	0.97	99.2	0	52
TGM	air	1.45	0.12	1.44	1.08	1.25	1.43	1.96	36.9	0	135
Ti	pm10	3.03	4.19	1.17	5.22	0.03	1.94	25.11	99.2	0	52
Tl	pm10	0.01	0.01	0.01	2.35	0.00	0.01	0.04	99.2	0	52
V	pm10	0.22	0.18	0.14	3.14	0.00	0.16	0.76	99.2	0	52
Zn	pm10	7.32	9.64	4.37	2.68	0.59	4.10	52.86	99.2	0	52

DE0009R Zingst

January 2020 - December 2020

Component	matrix	Arit mean	Arit sd	Geom mean	Geom sd	Min	50%	Max	% anal	Num bel	Num sampl
As	pm10	0.27	0.31	0.19	2.06	0.04	0.17	2.07	99.2	0	52
Cd	pm10	0.06	0.06	0.04	2.11	0.01	0.04	0.30	99.2	0	52
Co	pm10	0.03	0.04	0.02	2.38	0.00	0.02	0.19	99.2	0	52
Cu	pm10	1.21	1.40	0.79	2.74	0.10	0.87	9.42	99.2	0	52
Fe	pm10	65.27	60.30	52.90	1.80	19.92	48.13	415.64	99.2	0	52
Mn	pm10	1.89	1.62	1.54	1.80	0.57	1.40	10.72	99.2	0	52
Mo	pm10	0.10	0.06	0.08	1.86	0.02	0.08	0.30	99.2	0	52
Ni	pm10	0.71	0.35	0.63	1.68	0.19	0.66	1.87	99.2	0	52
Pb	pm10	1.60	1.53	1.20	2.08	0.22	1.12	8.86	99.2	0	52
Sb	pm10	0.23	0.14	0.20	1.68	0.05	0.19	0.73	99.2	0	52
Se	pm10	0.33	0.16	0.30	1.56	0.08	0.30	0.97	99.2	0	52
TGM	air	1.39	0.11	1.38	1.08	1.11	1.37	1.78	95.3	0	349
Ti	pm10	2.45	2.96	1.58	2.51	0.33	1.74	19.18	99.2	0	52
Tl	pm10	0.01	0.01	0.01	3.13	0.00	0.01	0.09	99.2	0	52
V	pm10	1.46	1.11	1.12	2.09	0.28	1.10	5.73	99.2	0	52
Zn	pm10	8.39	8.07	5.97	2.28	0.59	5.57	40.84	99.2	0	52

DK0008R Anholt

January 2020 - December 2020

Component	matrix	Arit mean	Arit sd	Geom mean	Geom sd	Min	50%	Max	% anal	Num bel	Num sampl
As	aerosol	0.24	0.30	0.16	2.26	0.02	0.15	2.44	92.9	0	341
Cd	aerosol	0.03	0.05	0.02	3.70	-0.00	0.01	0.53	92.9	125	341
Ni	aerosol	0.46	0.46	0.30	2.57	0.01	0.30	3.22	92.9	0	341
Pb	aerosol	0.96	1.19	0.56	2.76	0.05	0.50	7.33	92.9	0	341

DK0010G Villum Research Station, Station Nord

January 2020 - December 2020

Component	matrix	Arit mean	Arit sd	Geom mean	Geom sd	Min	50%	Max	% anal	Num bel	Num sampl
As	aerosol	0.04	0.07	0.02	3.44	0.00	0.01	0.34	84.9	0	45
Cd	aerosol	0.01	0.01	0.00	3.63	0.00	0.00	0.07	84.9	37	45
Hg	air	1.23	0.31	1.18	1.41	0.15	1.20	3.35	94.6	0	8312
Ni	aerosol	0.06	0.06	0.04	2.92	-0.01	0.04	0.21	84.9	8	45
Pb	aerosol	0.21	0.38	0.08	4.00	0.01	0.05	1.83	84.9	9	45

DK0012R Risoe

January 2020 - December 2020

Component	matrix	Arit mean	Arit sd	Geom mean	Geom sd	Min	50%	Max	% anal	Num bel	Num sampl
As	aerosol	0.33	0.53	0.21	2.45	-0.00	0.20	7.49	99.0	1	363
Cd	aerosol	0.05	0.07	0.03	2.80	-0.00	0.03	0.78	99.0	41	363
Ni	aerosol	0.48	0.49	0.35	2.50	-0.07	0.36	3.96	99.0	13	363
Pb	aerosol	1.31	1.50	0.78	2.81	0.05	0.79	10.49	99.0	0	363

EE0009R Lahemaa

January 2020 - December 2020

Component	matrix	Arit mean	Arit sd	Geom mean	Geom sd	Min	50%	Max	% anal	Num bel	Num sampl
As	pm10	0.11	0.09	0.09	2.06	0.03	0.10	0.60	86.1	10	53
Cd	pm10	0.04	0.05	0.02	3.10	0.01	0.01	0.20	86.1	33	53
Hg	air	1.40	0.20	1.38	1.17	0.41	1.42	4.16	99.6	0	8746
Ni	pm10	0.55	0.48	0.40	2.32	0.05	0.40	2.10	84.4	2	52
Pb	pm10	1.47	1.30	1.16	1.89	0.40	1.10	7.70	86.1	0	53

ES0001R San Pablo de los Montes

January 2020 - December 2020

Component	matrix	Arit mean	Arit sd	Geom mean	Geom sd	Min	50%	Max	% anal	Num bel	Num sampl
As	pm10	0.20	0.13	0.16	2.08	0.05	0.20	0.61	15.0	12	55
Cd	pm10	0.03	0.02	0.02	2.07	0.01	0.02	0.13	15.0	26	55
Cr	pm10	0.74	0.65	0.46	2.93	0.09	0.56	2.48	15.0	12	55
Ni	pm10	0.58	0.58	0.36	2.71	0.10	0.41	2.71	15.0	16	55
Pb	pm10	1.06	1.02	0.71	2.60	0.05	0.79	5.42	15.0	1	55
Zn	pm10	4.57	5.62	2.24	3.59	0.45	2.75	30.53	15.0	16	55

ES0007R Viznar

January 2020 - December 2020

Component	matrix	Arit mean	Arit sd	Geom mean	Geom sd	Min	50%	Max	% anal	Num bel	Num sampl
As	pm10	0.19	0.13	0.15	2.14	0.05	0.18	0.70	15.0	15	55
Cd	pm10	0.03	0.02	0.02	2.01	0.01	0.03	0.14	15.0	19	55
Cr	pm10	0.76	0.55	0.55	2.55	0.09	0.71	2.60	15.0	8	55
Ni	pm10	0.87	0.74	0.65	2.28	0.10	0.69	3.99	15.0	5	55
Pb	pm10	1.30	1.08	1.00	2.09	0.18	1.09	5.52	15.0	0	55
Zn	pm10	5.67	9.69	2.76	3.50	0.45	3.18	69.73	15.0	13	55

ES0008R Niembro

January 2020 - December 2020

Component	matrix	Arit mean	Arit sd	Geom mean	Geom sd	Min	50%	Max	% anal	Num bel	Num sampl
As	pm10	0.15	0.14	0.11	2.25	0.05	0.11	0.74	15.0	25	55
Cd	pm10	0.07	0.06	0.05	2.42	0.01	0.06	0.32	15.0	6	55
Cr	pm10	1.05	1.28	0.58	3.16	0.09	0.54	7.18	15.0	10	55
Ni	pm10	0.75	0.67	0.51	2.51	0.10	0.50	2.99	15.0	8	55
Pb	pm10	2.12	2.70	1.24	2.94	0.10	1.43	16.61	15.0	0	55
TGM	air	0.39	0.10	0.38	1.25	0.10	0.40	0.97	80.8	0	7101
Zn	pm10	10.96	8.87	6.67	3.34	0.45	9.64	33.60	15.0	5	55

ES0009R Campisabalos

January 2020 - December 2020

Component	matrix	Arit mean	Arit sd	Geom mean	Geom sd	Min	50%	Max	% anal	Num bel	Num sampl
As	pm10	0.12	0.10	0.10	1.95	0.05	0.12	0.58	15.0	24	55
Cd	pm10	0.02	0.01	0.01	1.69	0.01	0.01	0.06	15.0	43	55
Cr	pm10	0.66	0.72	0.39	3.01	0.09	0.47	3.25	15.0	16	55
Cu	pm10	2.59	4.53	1.47	2.58	0.09	1.42	29.43	15.0	1	55
Ni	pm10	0.35	0.45	0.21	2.52	0.10	0.10	2.26	15.0	29	55
Pb	pm10	0.79	0.92	0.52	2.52	0.05	0.54	5.93	15.0	1	55
Zn	pm10	4.11	5.18	1.93	3.74	0.45	2.48	28.38	15.0	22	55

ES0014R Els Torms

January 2020 - December 2020

Component	matrix	Arit mean	Arit sd	Geom mean	Geom sd	Min	50%	Max	% anal	Num bel	Num sampl
As	pm10	0.19	0.14	0.15	1.93	0.07	0.16	0.84	14.5	19	54
Cd	pm10	0.04	0.03	0.03	2.33	0.01	0.03	0.12	14.5	20	54
Cr	pm10	0.54	0.83	0.33	2.46	0.13	0.33	5.78	14.5	21	54
Cu	pm10	7.65	3.67	6.89	1.62	1.92	7.02	18.22	13.1	0	49
Ni	pm10	0.47	0.48	0.33	2.29	0.13	0.34	3.05	14.5	20	54
Pb	pm10	1.16	0.85	0.86	2.28	0.07	0.91	3.54	14.5	1	54
Zn	pm10	9.07	5.79	6.76	2.44	0.46	8.35	21.12	14.5	2	54

ES1778R Montseny

January 2020 - December 2020

Component	matrix	Arit mean	Arit sd	Geom mean	Geom sd	Min	50%	Max	% anal	Num bel	Num sampl
Al	pm1	26.63	44.55	12.81	3.03	5.00	5.00	251.98	21.9	41	80
Al	pm10	132.29	179.49	63.14	3.88	5.00	67.80	1339.40	22.4	10	82
Al	pm25	26.69	35.20	15.06	2.83	5.00	18.66	173.90	19.4	28	71
As	pm1	0.08	0.06	0.06	2.37	0.01	0.07	0.29	21.9	18	80
As	pm10	0.11	0.07	0.09	2.06	0.01	0.11	0.39	22.4	5	82
As	pm25	0.09	0.06	0.07	2.14	0.01	0.09	0.28	19.4	9	71
Ba	pm1	1.58	6.35	0.35	5.65	0.01	0.54	52.34	21.9	14	80
Ba	pm10	2.32	1.81	1.37	4.48	0.01	1.96	9.58	22.4	6	82
Ba	pm25	0.90	1.00	0.41	5.49	0.01	0.75	5.95	19.4	13	71
Bi	pm1	0.03	0.03	0.02	1.89	0.01	0.01	0.15	21.9	57	80
Bi	pm10	0.04	0.04	0.03	2.15	0.01	0.01	0.23	22.4	51	82
Bi	pm25	0.03	0.03	0.02	1.94	0.01	0.01	0.14	19.4	50	71
Cd	pm1	0.04	0.05	0.03	2.04	0.01	0.01	0.44	21.9	41	80
Cd	pm10	0.04	0.07	0.03	2.09	0.01	0.03	0.60	22.4	35	82
Cd	pm25	0.04	0.04	0.03	2.04	0.01	0.03	0.21	19.4	34	71
Ce	pm1	0.08	0.13	0.05	2.52	0.01	0.06	1.12	21.9	23	80
Ce	pm10	0.21	0.27	0.13	2.62	0.01	0.12	2.18	22.4	5	82
Ce	pm25	0.07	0.05	0.05	2.31	0.01	0.06	0.23	19.4	18	71
Co	pm1	0.02	0.02	0.02	1.67	0.01	0.01	0.17	21.9	56	80
Co	pm10	0.06	0.05	0.05	2.07	0.01	0.05	0.29	22.4	17	82
Co	pm25	0.03	0.03	0.02	1.84	0.01	0.01	0.27	19.4	47	71
Cr	pm1	0.30	0.53	0.06	6.34	0.01	0.01	2.95	21.9	48	80
Cr	pm10	0.46	0.96	0.10	6.69	0.01	0.14	7.53	22.4	37	82
Cr	pm25	0.33	0.52	0.07	6.47	0.01	0.01	2.54	19.4	39	71
Cu	pm1	0.61	0.83	0.18	6.81	0.01	0.35	5.35	21.9	27	80
Cu	pm10	1.59	1.56	0.69	6.20	0.01	1.39	8.92	22.4	13	82
Cu	pm25	0.89	1.16	0.36	5.44	0.01	0.47	7.13	19.4	12	71
Fe	pm1	10.70	13.38	7.60	2.02	5.00	5.00	90.64	21.9	56	80
Fe	pm10	93.67	99.86	60.31	2.73	5.00	64.06	706.96	22.4	4	82
Fe	pm25	25.20	30.51	15.97	2.55	5.00	17.55	205.22	19.4	21	71
La	pm1	0.06	0.12	0.03	2.36	0.01	0.03	1.03	21.9	36	80
La	pm10	0.12	0.12	0.08	2.37	0.01	0.08	0.83	22.4	9	82
La	pm25	0.04	0.03	0.03	1.92	0.01	0.04	0.12	19.4	24	71
Li	pm1	0.01	0.02	0.01	2.11	0.01	0.01	0.10	21.9	68	80
Li	pm10	0.08	0.09	0.04	3.72	0.01	0.06	0.61	22.4	18	82
Li	pm25	0.02	0.03	0.01	3.00	0.01	0.01	0.13	19.4	41	71
Mn	pm1	0.44	0.50	0.15	7.57	0.01	0.31	2.82	21.9	19	80
Mn	pm10	2.25	1.65	1.59	3.21	0.01	1.93	10.88	22.4	2	82
Mn	pm25	0.93	0.97	0.53	4.42	0.01	0.78	6.13	19.4	5	71
Ni	pm1	0.32	0.31	0.14	4.89	0.01	0.28	1.45	21.9	24	80
Ni	pm10	0.42	0.36	0.23	4.19	0.01	0.42	2.23	22.4	14	82
Ni	pm25	0.37	0.33	0.18	4.43	0.01	0.28	1.25	19.4	14	71

ES1778R Montseny (cont.)
January 2020 - December 2020

Component	matrix	Arit mean	Arit sd	Geom mean	Geom sd	Min	50%	Max	% anal	Num bel	Num sampl
Pb	pm1	0.80	0.51	0.56	3.20	0.01	0.73	2.26	21.9	6	80
Pb	pm10	1.14	0.80	0.87	2.47	0.01	1.06	5.68	22.4	2	82
Pb	pm25	0.97	0.64	0.66	3.34	0.01	0.88	2.67	19.4	5	71
Rb	pm1	0.07	0.05	0.06	1.69	0.01	0.06	0.31	21.9	2	80
Rb	pm10	0.31	0.25	0.23	2.13	0.05	0.23	1.44	22.4	0	82
Rb	pm25	0.10	0.06	0.09	1.78	0.03	0.09	0.36	19.4	0	71
Sb	pm1	0.13	0.11	0.09	2.67	0.01	0.10	0.62	21.9	13	80
Sb	pm10	0.20	0.16	0.13	3.09	0.01	0.18	0.66	22.4	12	82
Sb	pm25	0.18	0.17	0.11	2.88	0.01	0.13	0.69	19.4	8	71
Se	pm1	0.05	0.04	0.03	2.39	0.01	0.01	0.24	21.9	46	80
Se	pm10	0.06	0.06	0.04	2.63	0.01	0.05	0.24	22.4	35	82
Se	pm25	0.05	0.04	0.03	2.42	0.01	0.01	0.19	19.4	37	71
Sn	pm1	0.14	0.08	0.12	1.95	0.01	0.14	0.45	21.9	2	80
Sn	pm10	0.22	0.15	0.17	2.11	0.01	0.19	0.83	22.4	1	82
Sn	pm25	0.17	0.09	0.15	1.82	0.04	0.15	0.47	19.4	0	71
Sr	pm1	0.09	0.11	0.05	3.06	0.01	0.04	0.58	21.9	34	80
Sr	pm10	0.89	1.49	0.54	2.81	0.01	0.62	13.34	22.4	2	82
Sr	pm25	0.17	0.15	0.11	3.04	0.01	0.14	0.80	19.4	12	71
Th	pm1	0.03	0.02	0.02	1.75	0.01	0.01	0.09	21.9	55	80
Th	pm10	0.04	0.04	0.03	2.19	0.01	0.04	0.28	22.4	38	82
Th	pm25	0.03	0.02	0.02	1.73	0.01	0.01	0.08	19.4	48	71
Ti	pm1	1.19	3.35	0.33	6.66	0.01	0.53	28.82	21.9	9	80
Ti	pm10	8.16	10.00	4.79	3.39	0.01	4.65	75.43	22.4	1	82
Ti	pm25	1.70	1.67	1.00	3.95	0.01	1.22	8.40	19.4	3	71
Tl	pm1	0.01	0.00	0.01	1.00	0.01	0.01	0.01	21.9	80	80
Tl	pm10	0.01	0.00	0.01	1.00	0.01	0.01	0.01	22.4	82	82
Tl	pm25	0.01	0.00	0.01	1.00	0.01	0.01	0.01	19.4	71	71
U	pm1	0.05	0.03	0.04	2.04	0.01	0.05	0.14	21.9	19	80
U	pm10	0.05	0.04	0.04	2.20	0.01	0.04	0.16	22.4	28	82
U	pm25	0.04	0.03	0.04	2.06	0.01	0.04	0.11	19.4	26	71
V	pm1	0.21	0.19	0.12	3.31	0.01	0.17	0.79	21.9	12	80
V	pm10	0.47	0.34	0.35	2.38	0.01	0.43	2.27	22.4	1	82
V	pm25	0.30	0.19	0.21	2.78	0.01	0.27	0.74	19.4	5	71
Zn	pm1	4.23	4.04	2.20	5.31	0.01	3.30	22.03	21.9	6	80
Zn	pm10	5.19	3.14	3.86	2.99	0.01	4.96	16.56	22.4	2	82
Zn	pm25	9.82	4.91	8.68	1.68	2.07	8.94	24.67	19.4	0	71

FI0018R Virolahti III
January 2020 - December 2020

Component	matrix	Arit mean	Arit sd	Geom mean	Geom sd	Min	50%	Max	% anal	Num bel	Num sampl
Al	pm10	173.37	201.65	80.45	3.90	7.68	98.45	871.19	97.9	0	52
As	pm10	0.21	0.18	0.17	1.70	0.07	0.15	1.25	97.9	0	52
Cd	pm10	0.05	0.07	0.03	2.28	0.01	0.03	0.45	97.9	0	52
Co	pm10	0.03	0.04	0.02	2.22	0.00	0.02	0.20	97.9	0	52
Cr	pm10	0.33	0.41	0.18	3.51	0.01	0.23	2.08	97.9	5	52
Cu	pm10	0.79	0.76	0.62	1.97	0.21	0.55	4.01	97.9	0	52
Fe	pm10	132.71	145.81	73.56	3.10	12.05	82.36	608.67	97.9	0	52
Mn	pm10	2.49	2.63	1.65	2.43	0.35	1.57	12.98	97.9	0	52
Ni	pm10	0.30	0.24	0.24	1.91	0.06	0.22	1.30	97.9	0	52
Pb	pm10	1.68	1.98	1.16	2.19	0.28	1.03	10.80	97.9	0	52
TGM	air	1.21	0.14	1.20	1.13	0.61	1.22	2.63	87.5	0	7683
V	pm10	0.68	0.52	0.54	1.96	0.15	0.55	2.63	97.9	0	52
Zn	pm10	6.25	5.52	4.95	1.89	1.56	4.58	32.07	97.9	0	52

FI0036R Pallas (Matorova)
January 2020 - December 2020

Component	matrix	Arit mean	Arit sd	Geom mean	Geom sd	Min	50%	Max	% anal	Num bel	Num sampl
Al	pm10	15.74	26.41	8.13	3.21	0.99	10.83	190.04	99.5	0	53
As	pm10	0.07	0.06	0.05	2.10	0.01	0.05	0.36	99.5	0	53
Cd	pm10	0.01	0.01	0.01	2.43	0.00	0.01	0.09	99.5	1	53
Co	pm10	0.01	0.01	0.01	2.24	0.00	0.01	0.06	99.5	3	53
Cr	pm10	0.16	0.19	0.07	4.36	0.01	0.10	0.85	99.5	15	53
Cu	pm10	0.51	1.29	0.22	3.21	0.02	0.19	9.25	99.5	0	53
Fe	pm10	16.28	19.23	11.46	2.27	1.36	12.18	138.46	99.5	0	53
Hg	air+aerosol	1.29	0.20	1.28	1.17	0.80	1.30	2.30	22.7	0	83
Mn	pm10	0.41	0.44	0.29	2.28	0.03	0.30	3.05	99.5	0	53
Ni	pm10	0.16	0.21	0.07	4.06	0.00	0.08	1.11	99.5	3	53
Pb	pm10	0.43	0.62	0.26	2.68	0.04	0.28	3.38	99.5	0	53
TGM	air	1.22	0.12	1.21	1.11	0.46	1.23	3.24	95.4	0	8384
V	pm10	0.18	0.28	0.10	2.98	0.02	0.09	1.24	99.5	0	53
Zn	pm10	1.20	1.18	0.90	2.10	0.24	0.78	5.78	99.5	0	53

FI0050R Hyytiala

January 2020 - December 2020

Component	matrix	Arit mean	Arit sd	Geom mean	Geom sd	Min	50%	Max	% anal	Num bel	Num sampl
Al	pm10	62.31	92.61	30.49	3.23	3.39	27.88	546.74	99.1	0	53
As	pm10	0.21	0.16	0.18	1.71	0.07	0.17	1.01	99.1	0	53
Cd	pm10	0.04	0.06	0.03	2.08	0.01	0.03	0.39	99.1	0	53
Co	pm10	0.03	0.03	0.02	2.24	0.01	0.01	0.17	99.1	0	53
Cr	pm10	0.28	0.26	0.16	3.49	0.01	0.20	1.55	99.1	6	53
Cu	pm10	0.68	0.73	0.49	2.09	0.11	0.47	4.35	99.1	0	53
Fe	pm10	53.13	69.41	31.26	2.61	5.58	26.23	398.80	99.1	0	53
Mn	pm10	1.57	1.79	1.08	2.21	0.26	1.00	11.09	99.1	0	53
Ni	pm10	0.21	0.17	0.17	1.97	0.02	0.16	0.81	99.1	0	53
Pb	pm10	1.21	1.66	0.79	2.22	0.26	0.72	8.98	99.1	0	53
TGM	air	1.11	0.13	1.10	1.13	0.54	1.11	1.85	95.3	0	8373
V	pm10	0.33	0.29	0.24	2.11	0.06	0.28	1.59	99.1	0	53
Zn	pm10	4.86	4.00	3.91	1.83	1.67	3.41	19.42	99.1	0	53

FR0008R Donon

January 2020 - December 2020

Component	matrix	Arit mean	Arit sd	Geom mean	Geom sd	Min	50%	Max	% anal	Num bel	Num sampl
As	pm10	0.12	0.06	0.11	1.56	0.05	0.11	0.31	83.7	0	22
Cd	pm10	0.03	0.02	0.03	1.52	0.01	0.02	0.08	83.7	0	22
Ni	pm10	0.32	0.15	0.28	1.80	0.05	0.32	0.69	83.7	1	22
Pb	pm10	1.16	0.46	1.09	1.42	0.67	1.01	2.50	83.7	0	22

FR0009R Revin

January 2020 - December 2020

Component	matrix	Arit mean	Arit sd	Geom mean	Geom sd	Min	50%	Max	% anal	Num bel	Num sampl
As	pm10	0.20	0.07	0.19	1.44	0.10	0.20	0.38	80.1	0	21
Cd	pm10	0.09	0.05	0.08	1.65	0.03	0.08	0.21	80.1	0	21
Ni	pm10	0.47	0.19	0.43	1.48	0.23	0.43	0.93	80.1	0	21
Pb	pm10	3.02	1.22	2.80	1.50	1.29	2.75	5.36	80.1	0	21

FR0013R Peyrusse Vieille

January 2020 - December 2020

Component	matrix	Arit mean	Arit sd	Geom mean	Geom sd	Min	50%	Max	% anal	Num bel	Num sampl
As	pm10	0.18	0.07	0.16	1.47	0.07	0.16	0.34	83.4	0	23
Cd	pm10	0.04	0.02	0.04	1.67	0.02	0.04	0.10	83.4	0	23
Ni	pm10	0.34	0.15	0.30	1.84	0.05	0.34	0.60	83.4	1	23
Pb	pm10	1.25	0.46	1.18	1.45	0.63	1.25	2.48	83.4	0	23

FR0023R Saint-Nazaire-le-Désert

January 2020 - December 2020

Component	matrix	Arit mean	Arit sd	Geom mean	Geom sd	Min	50%	Max	% anal	Num bel	Num sampl
As	pm10	0.12	0.06	0.11	1.60	0.04	0.11	0.25	84.0	0	22
Cd	pm10	0.03	0.03	0.03	1.65	0.01	0.03	0.14	84.0	0	22
Ni	pm10	0.30	0.18	0.24	2.19	0.05	0.32	0.66	84.0	3	22
Pb	pm10	1.01	0.51	0.91	1.56	0.40	0.88	2.46	84.0	0	22

FR0025R Verneuil

January 2020 - December 2020

Component	matrix	Arit mean	Arit sd	Geom mean	Geom sd	Min	50%	Max	% anal	Num bel	Num sampl
As	pm10	0.17	0.07	0.15	1.47	0.08	0.14	0.33	87.8	0	23
Cd	pm10	0.05	0.03	0.04	1.75	0.02	0.04	0.13	87.8	0	23
Ni	pm10	0.36	0.17	0.32	1.65	0.12	0.37	0.86	87.8	0	23
Pb	pm10	1.26	0.78	1.08	1.79	0.39	1.03	3.06	87.8	0	23

FR0028R Kergoff

January 2020 - December 2020

Component	matrix	Arit mean	Arit sd	Geom mean	Geom sd	Min	50%	Max	% anal	Num bel	Num sampl
As	pm10	0.12	0.08	0.10	1.83	0.04	0.09	0.31	76.1	0	20
Cd	pm10	0.03	0.02	0.03	1.85	0.01	0.03	0.09	76.1	0	20
Ni	pm10	2.14	2.00	1.52	2.29	0.57	1.18	6.26	53.2	0	14
Pb	pm10	0.84	0.61	0.66	2.08	0.18	0.64	2.50	76.1	0	20

GB0013R Yarner Wood

January 2020 - December 2020

Component	matrix	Arit mean	Arit sd	Geom mean	Geom sd	Min	50%	Max	% anal	Num bel	Num sampl
As	pm10	0.41	0.14	0.39	1.39	0.22	0.40	0.80	100.0	0	14
Cd	pm10	0.06	0.03	0.06	1.68	0.02	0.06	0.12	100.0	0	14
Cr	pm10	0.49	0.19	0.44	1.51	0.20	0.38	0.80	100.0	11	14
Cu	pm10	0.94	0.35	0.87	1.48	0.33	0.88	1.81	100.0	0	14
Ni	pm10	0.36	0.16	0.32	1.68	0.09	0.35	0.72	100.0	2	14
Pb	pm10	1.73	0.81	1.59	1.50	0.83	1.61	4.15	100.0	0	14
Zn	pm10	5.06	2.37	4.46	1.59	1.75	4.06	11.12	100.0	0	14

GB0017R Heigham Holmes
January 2020 - December 2020

Component	matrix	Arit mean	Arit sd	Geom mean	Geom sd	Min	50%	Max	% anal	Num bel	Num sampl
As	pm10	0.53	0.20	0.50	1.46	0.23	0.47	0.90	100.0	0	14
Cd	pm10	0.09	0.03	0.08	1.53	0.03	0.09	0.14	100.0	0	14
Cr	pm10	0.40	0.35	0.38	1.84	0.20	0.33	1.40	100.0	12	14
Cu	pm10	1.43	0.50	1.41	1.43	0.60	1.48	2.41	100.0	0	14
Ni	pm10	0.49	0.21	0.46	1.45	0.29	0.44	0.98	100.0	0	14
Pb	pm10	3.04	1.24	2.86	1.58	0.97	2.79	5.17	100.0	0	14
Zn	pm10	7.45	2.17	7.17	1.39	2.94	7.59	12.00	100.0	0	14

GB0048R Auchencorth Moss
January 2020 - December 2020

Component	matrix	Arit mean	Arit sd	Geom mean	Geom sd	Min	50%	Max	% anal	Num bel	Num sampl
As	pm10	0.22	0.11	0.20	1.59	0.09	0.19	0.52	99.9	0	14
Cd	pm10	0.02	0.02	0.02	1.71	0.01	0.02	0.07	99.9	0	14
Co	pm10	0.02	0.01	0.01	2.04	0.00	0.01	0.04	99.9	2	14
Cr	pm10	0.38	0.25	0.36	1.79	0.10	0.35	1.10	99.9	13	14
Cu	pm10	0.69	0.27	0.63	1.52	0.24	0.63	1.24	99.9	0	14
Fe-57	pm10	38.29	24.60	30.46	1.94	11.50	38.75	99.90	99.9	0	14
Hg	air	1.36	0.10	1.36	1.08	1.03	1.35	2.03	44.7	0	1964
Hg	pm25	1.71	1.87	0.95	3.14	0.23	1.07	12.20	28.6	395	1255
Mn	pm10	1.07	0.60	0.90	1.78	0.34	0.98	2.56	99.9	5	14
Ni-60	pm10	0.14	0.05	0.13	1.58	0.03	0.13	0.22	99.9	13	14
Pb	pm10	0.91	0.47	0.80	1.63	0.32	0.79	2.20	99.9	0	14
RGM	air	0.80	0.83	0.54	2.35	0.23	0.60	7.09	17.1	324	751
Se	pm10	0.24	0.06	0.23	1.32	0.12	0.24	0.33	99.9	0	14
V	pm10	0.19	0.10	0.17	1.70	0.06	0.18	0.42	99.9	0	14
Zn	pm10	2.79	1.21	2.46	1.64	0.87	2.53	4.70	99.9	0	14

GB1055R Chilbolton Observatory
January 2020 - December 2020

Component	matrix	Arit mean	Arit sd	Geom mean	Geom sd	Min	50%	Max	% anal	Num bel	Num sampl
As	pm10	0.76	0.35	0.67	1.59	0.27	0.67	1.43	100.0	0	14
Cd	pm10	0.13	0.09	0.11	1.74	0.05	0.11	0.39	100.0	0	14
Co	pm10	0.05	0.03	0.04	1.95	0.01	0.03	0.11	100.0	0	14
Cr	pm10	0.57	0.33	0.44	2.12	0.10	0.45	1.30	100.0	11	14
Cu	pm10	3.53	2.90	2.66	1.96	1.17	2.29	12.10	100.0	0	14
Fe-57	pm10	103.82	60.73	85.64	1.76	29.60	81.40	269.40	100.0	0	14
Mn	pm10	2.87	2.02	2.25	1.89	0.88	2.09	8.40	100.0	0	14
Ni-60	pm10	0.50	0.31	0.42	1.68	0.22	0.43	1.36	100.0	1	14
Pb	pm10	3.53	1.76	3.07	1.61	1.66	2.45	6.87	100.0	0	14
Se	pm10	0.46	0.14	0.42	1.40	0.20	0.43	0.68	100.0	0	14
TGM	air	1.35	0.22	1.33	1.16	1.00	1.31	2.00	0.8	0	66
V	pm10	0.83	0.47	0.70	1.73	0.30	0.66	2.04	100.0	0	14
Zn	pm10	19.81	26.32	11.60	2.41	3.44	8.68	100.59	100.0	0	14

HU0002R K-pusztta
January 2020 - December 2020

Component	matrix	Arit mean	Arit sd	Geom mean	Geom sd	Min	50%	Max	% anal	Num bel	Num sampl
Cd	aerosol	0.08	0.06	0.06	2.14	0.01	0.06	0.34	96.0	0	51
Pb	aerosol	5.38	2.91	4.71	1.71	1.65	4.70	14.44	96.0	0	51

IS0002R Irafoss
January 2020 - December 2020

Component	matrix	Arit mean	Arit sd	Geom mean	Geom sd	Min	50%	Max	% anal	Num bel	Num sampl
Fe	aerosol	166.51	295.40	42.24	5.70	2.00	43.00	1644.00	95.6	88	351

IS0091R Storhofdi
January 2020 - December 2020

Component	matrix	Arit mean	Arit sd	Geom mean	Geom sd	Min	50%	Max	% anal	Num bel	Num sampl
Al	aerosol	282.32	213.45	204.51	2.22	44.60	173.50	837.80	99.6	0	23
As	aerosol	0.04	0.02	0.04	1.83	0.01	0.04	0.09	99.6	0	23
Cd	aerosol	0.00	0.00	0.00	2.01	0.00	0.00	0.01	99.6	0	23
Co	aerosol	0.21	0.15	0.13	2.69	0.02	0.15	0.51	99.6	0	23
Cr	aerosol	0.42	0.25	0.31	2.24	0.06	0.46	0.88	99.6	0	23
Cu	aerosol	0.51	0.32	0.38	2.14	0.07	0.36	1.08	99.6	0	23
Fe	aerosol	433.45	331.11	272.58	2.72	36.70	342.60	1161.30	99.6	0	23
Hg	aerosol	4.62	4.89	3.54	2.18	0.76	3.91	24.73	99.6	0	23
Mn	aerosol	7.99	6.01	5.06	2.63	0.78	5.74	20.15	99.6	0	23
Ni	aerosol	0.42	0.34	0.31	2.33	0.04	0.37	1.46	99.6	0	23
Pb	aerosol	0.08	0.06	0.07	1.90	0.02	0.08	0.33	99.6	0	23
V	aerosol	1.58	1.11	1.03	2.62	0.14	1.25	3.75	99.6	0	23
Zn	aerosol	1.54	1.41	1.20	2.00	0.32	1.10	7.35	99.6	0	23

IT0019R Monte Martano
January 2020 - December 2020

Component	matrix	Arit mean	Arit sd	Geom mean	Geom sd	Min	50%	Max	% anal	Num bel	Num sampl
Al	pm10	130.36	191.20	41.65	5.09	5.00	34.80	762.00	27.3	0	50
As	pm10	0.12	0.12	0.08	2.15	0.02	0.07	0.69	13.7	0	50
Ba	pm10	3.06	3.01	1.63	3.54	0.25	1.50	11.00	27.3	0	50
Cd	pm10	0.03	0.03	0.02	2.03	0.01	0.02	0.16	27.3	0	50
Co	pm10	0.05	0.05	0.03	2.22	0.02	0.02	0.19	27.3	0	50
Cr	pm10	0.91	0.78	0.66	2.28	0.25	0.82	3.60	27.3	0	50
Cu	pm10	1.31	1.52	0.89	2.24	0.50	0.50	7.80	27.3	0	50
Fe	pm10	104.67	124.27	56.26	3.14	5.00	50.95	452.00	27.3	0	50
La	pm10	0.10	0.13	0.05	3.02	0.02	0.03	0.47	27.3	0	50
Mn	pm10	2.60	2.61	1.68	2.60	0.25	1.67	9.58	27.3	0	50
Mo	pm10	0.30	0.15	0.28	1.38	0.25	0.25	0.91	27.3	0	50
Ni	pm10	0.40	0.26	0.34	1.70	0.25	0.25	1.06	27.3	0	50
Pb	pm10	1.22	0.90	0.96	2.06	0.25	1.01	4.65	27.3	0	50
Sb	pm10	0.14	0.09	0.11	1.85	0.02	0.12	0.44	27.3	0	50
Sn	pm10	0.34	0.24	0.30	1.56	0.25	0.25	1.39	27.3	0	50
Sr	pm10	1.09	1.18	0.77	2.10	0.50	0.50	6.62	27.3	0	50
Ti	pm10	3.68	5.28	1.14	5.03	0.25	1.16	18.60	27.3	0	50
V	pm10	0.46	0.42	0.36	1.93	0.25	0.25	1.50	27.3	0	50
Zn	pm10	5.55	2.28	5.32	1.28	5.00	5.00	17.70	27.3	0	50

LV0010R Rucava
January 2020 - December 2020

Component	matrix	Arit mean	Arit sd	Geom mean	Geom sd	Min	50%	Max	% anal	Num bel	Num sampl
As	pm10	0.23	0.24	0.15	3.17	0.02	0.19	0.94	47.0	8	25
Cd	pm10	0.05	0.05	0.03	3.34	0.00	0.04	0.18	47.0	7	25
Ni	pm10	0.40	0.30	0.30	2.31	0.07	0.35	1.36	47.0	17	25
Pb	pm10	1.45	1.15	1.10	2.44	0.07	1.27	5.34	47.0	4	25

NL0008R Bilthoven
January 2020 - December 2020

Component	matrix	Arit mean	Arit sd	Geom mean	Geom sd	Min	50%	Max	% anal	Num bel	Num sampl
As	pm10	0.53	0.51	0.41	2.04	0.07	0.40	3.78	49.2	113	180
Cd	pm10	0.08	0.08	0.06	2.36	0.00	0.06	0.47	49.2	165	180
Ni	pm10	0.62	0.44	0.50	2.01	0.00	0.51	3.50	48.4	134	177
Pb	pm10	3.70	3.50	2.68	2.24	0.22	2.67	26.02	49.2	72	180
Zn	pm10	22.65	15.15	19.87	1.61	7.63	18.55	157.65	49.2	111	180

NL0644R Cabauw Wielsekade
January 2020 - December 2020

Component	matrix	Arit mean	Arit sd	Geom mean	Geom sd	Min	50%	Max	% anal	Num bel	Num sampl
As	pm25	0.36	0.31	0.26	2.42	0.02	0.30	1.76	22.4	65	82
Cd	pm25	0.08	0.08	0.06	2.23	0.00	0.06	0.50	23.8	82	87
Ni	pm25	0.47	0.29	0.38	2.00	0.05	0.40	1.70	23.5	77	86
Pb	pm25	3.74	3.58	2.67	2.26	0.52	2.67	18.68	23.8	28	87
Zn	pm25	18.41	10.56	16.15	1.65	5.82	15.80	61.07	23.8	65	87

NO0002R Birkenes II
January 2020 - December 2020

Component	matrix	Arit mean	Arit sd	Geom mean	Geom sd	Min	50%	Max	% anal	Num bel	Num sampl
Al	pm10	46.91	115.35	17.64	3.65	3.01	18.47	823.00	98.0	20	52
As	pm10	0.16	0.14	0.12	2.08	0.04	0.09	0.63	98.0	0	52
Cd	pm10	0.02	0.02	0.01	2.02	0.00	0.01	0.09	98.0	0	52
Co	pm10	0.02	0.03	0.01	2.79	0.00	0.01	0.23	98.0	7	52
Cr	pm10	0.19	0.22	0.15	1.79	0.06	0.12	1.59	98.0	38	52
Cu	pm10	0.33	0.29	0.24	2.19	0.07	0.25	1.39	98.0	12	52
Fe	pm10	35.44	75.67	17.11	2.93	3.62	14.65	541.00	98.0	0	52
Mn	pm10	1.07	1.97	0.65	2.35	0.11	0.59	14.30	98.0	0	52
Ni	pm10	0.15	0.15	0.10	2.26	0.04	0.12	0.93	98.0	18	52
Pb	pm10	0.57	0.50	0.43	2.07	0.10	0.40	2.80	98.0	0	52
Ti	pm10	2.16	3.26	1.04	3.46	0.12	0.97	21.60	98.0	5	52
V	pm10	0.28	0.34	0.17	2.64	0.01	0.17	2.02	98.0	0	52
Zn	pm10	4.12	5.54	2.44	2.58	0.49	1.98	30.80	98.0	0	52
Gaseous_ elemental_ mercury	air	1.50	0.17	1.49	1.12	0.90	1.48	2.30	85.2	0	7482

NO0042G Zeppelin mountain (Ny-Ålesund)
January 2020 - December 2020

Component	matrix	Arit mean	Arit sd	Geom mean	Geom sd	Min	50%	Max	% anal	Num bel	Num sampl
Al	aerosol	172.95	369.06	48.88	5.00	2.32	38.30	2230.00	28.7	4	49
As	aerosol	0.06	0.07	0.03	3.17	0.00	0.03	0.37	28.7	0	49
Cd	aerosol	0.06	0.18	0.01	4.66	0.00	0.01	1.16	28.7	0	49
Co	aerosol	0.04	0.09	0.01	4.07	0.00	0.01	0.53	28.7	1	49
Cr	aerosol	0.31	0.50	0.14	3.56	0.01	0.12	2.63	28.7	5	49
Cu	aerosol	0.31	0.34	0.18	3.03	0.02	0.18	1.47	28.7	0	49
Fe	aerosol	86.04	200.95	25.61	4.44	1.72	21.80	1260.00	28.7	0	49
Mn	aerosol	1.64	3.62	0.53	4.20	0.02	0.45	22.30	28.7	1	49
Ni	aerosol	0.79	4.59	0.10	4.13	0.01	0.07	32.60	29.2	2	50
Pb	aerosol	0.26	0.29	0.13	3.65	0.01	0.14	1.56	28.7	1	49
Ti	aerosol	4.17	7.80	1.62	4.11	0.08	1.41	47.20	28.7	3	49
V	aerosol	0.22	0.44	0.08	3.75	0.01	0.07	2.75	28.7	0	49
Zn	aerosol	1.83	2.99	0.81	3.59	0.05	0.78	13.10	28.7	2	49
gaseous_ elemental_ mercury	air	1.44	0.30	1.40	1.38	0.00	1.44	3.08	81.7	0	7180

NO0047R Svanvik

January 2020 - December 2020

Component	matrix	Arit mean	Arit sd	Geom mean	Geom sd	Min	50%	Max	% anal	Num bel	Num sampl
Al	pm10	38.32	52.29	21.61	3.12	1.86	25.10	342.00	81.4	0	47
As	pm10	0.33	0.46	0.20	3.06	0.02	0.24	2.60	81.4	0	47
Cd	pm10	0.06	0.07	0.04	3.10	0.00	0.04	0.32	81.4	0	47
Co	pm10	0.12	0.13	0.07	3.58	0.00	0.07	0.58	81.4	1	47
Cr	pm10	0.21	0.17	0.16	2.22	0.04	0.15	0.80	81.4	7	47
Cu	pm10	4.56	6.81	2.18	4.16	0.07	2.31	33.70	81.4	0	47
Fe	pm10	42.14	40.96	29.25	2.44	4.09	29.30	220.00	81.4	0	47
Mn	pm10	0.69	0.81	0.48	2.37	0.09	0.54	5.32	81.4	0	47
Ni	pm10	2.76	3.32	1.34	4.59	0.01	1.62	14.00	81.4	1	47
Pb	pm10	0.97	1.10	0.67	2.61	0.10	0.75	5.48	81.4	0	47
Ti	pm10	0.12	-	-	-	0.12	0.12	0.12	1.9	1	1
V	pm10	1.05	1.76	0.51	3.64	0.03	0.52	10.20	81.4	0	47
Zn	pm10	3.06	3.30	2.23	2.50	0.15	2.28	15.80	81.4	1	47

NO0090R Andøya

January 2020 - December 2020

Component	matrix	Arit mean	Arit sd	Geom mean	Geom sd	Min	50%	Max	% anal	Num bel	Num sampl
Al	aerosol	28.32	46.18	15.53	2.72	2.69	15.20	243.00	27.9	0	51
As	aerosol	0.03	0.06	0.02	2.61	0.01	0.02	0.39	28.4	0	52
Cd	aerosol	0.01	0.01	0.00	2.74	0.00	0.00	0.06	28.4	0	52
Co	aerosol	0.01	0.01	0.01	2.83	0.00	0.01	0.06	28.4	7	52
Cr	aerosol	0.11	0.30	0.05	2.60	0.03	0.03	2.11	28.4	37	52
Cu	aerosol	0.61	1.18	0.28	3.31	0.03	0.27	7.66	28.4	0	52
Fe	aerosol	16.10	25.66	9.23	2.67	0.75	8.76	141.00	28.4	0	52
Mn	aerosol	0.37	0.70	0.17	3.14	0.02	0.16	3.43	28.4	4	52
Ni	aerosol	0.10	0.24	0.05	2.60	0.01	0.05	1.72	28.4	0	52
Pb	aerosol	0.17	0.42	0.06	3.67	0.00	0.07	2.66	28.4	2	52
Ti	aerosol	1.07	1.43	0.67	2.55	0.11	0.67	7.54	28.4	4	52
V	aerosol	0.06	0.09	0.04	2.58	0.01	0.04	0.43	28.4	0	52
Zn	aerosol	0.69	1.28	0.30	3.39	0.05	0.31	6.86	28.4	8	52
gaseous_elemental_mercury	air	1.41	0.13	1.41	1.11	0.47	1.43	1.90	94.7	0	8322

PL0005R Diabla Gora

January 2020 - December 2020

Component	matrix	Arit mean	Arit sd	Geom mean	Geom sd	Min	50%	Max	% anal	Num bel	Num sampl
As	pm10	0.21	0.14	0.18	1.82	0.00	0.20	0.60	84.2	0	52
Cd	pm10	0.06	0.04	0.05	1.98	0.01	0.05	0.21	84.2	0	52
Cr	pm10	0.39	0.37	0.28	2.28	0.04	0.35	2.21	84.2	0	52
Cu	pm10	0.81	0.67	0.70	1.77	0.25	0.73	4.78	84.2	0	52
Ni	pm10	0.30	0.34	0.23	1.98	0.05	0.25	2.22	84.2	0	52
Pb	pm10	1.62	1.10	1.26	2.16	0.20	1.40	4.40	84.2	0	52
TGM	air	1.61	0.57	1.53	1.35	1.00	1.50	3.40	14.5	0	53
Zn	pm10	8.32	5.69	6.41	2.16	0.90	7.70	23.20	84.2	0	52

PL0009R Zielonka

January 2020 - December 2020

Component	matrix	Arit mean	Arit sd	Geom mean	Geom sd	Min	50%	Max	% anal	Num bel	Num sampl
As	pm10	0.44	0.43	0.30	2.56	0.10	0.30	1.80	82.5	0	51
Cd	pm10	0.10	0.08	0.07	2.27	0.03	0.07	0.31	82.5	0	51
Ni	pm10	0.34	0.21	0.29	1.70	0.20	0.20	1.02	82.5	0	51
Pb	pm10	2.72	2.16	2.03	2.23	0.50	2.00	8.60	82.5	0	51

SE0005R Bredkålen

January 2020 - December 2020

Component	matrix	Arit mean	Arit sd	Geom mean	Geom sd	Min	50%	Max	% anal	Num bel	Num sampl
As	aerosol	0.04	0.04	0.03	2.48	0.01	0.03	0.14	99.2	0	13
Cd	aerosol	0.01	0.01	0.00	2.46	0.00	0.01	0.03	99.2	0	13
Co	aerosol	0.01	0.01	0.01	1.38	0.00	0.01	0.02	99.2	0	13
Cr	aerosol	0.18	0.09	0.16	1.50	0.10	0.15	0.41	99.2	0	13
Cu	aerosol	0.17	0.14	0.13	2.23	0.05	0.12	0.43	99.2	0	13
Hg	air+aerosol	1.27	0.15	1.26	1.13	0.90	1.30	1.60	12.8	0	47
Mn	aerosol	0.51	0.39	0.38	1.98	0.14	0.37	1.40	99.2	0	13
Ni	aerosol	0.10	0.03	0.10	1.29	0.07	0.09	0.19	99.2	0	13
Pb	aerosol	0.22	0.25	0.14	2.44	0.04	0.13	0.96	99.2	0	13
V	aerosol	0.07	0.05	0.05	1.92	0.01	0.05	0.19	99.2	0	13
Zn	aerosol	0.91	0.82	0.66	2.04	0.31	0.49	3.20	99.2	0	13

SE0014R Råø

January 2020 - December 2020

Component	matrix	Arit mean	Arit sd	Geom mean	Geom sd	Min	50%	Max	% anal	Num bel	Num sampl
As	aerosol	0.23	0.09	0.21	1.53	0.09	0.24	0.43	98.9	0	12
Cd	aerosol	0.03	0.02	0.03	1.91	0.01	0.03	0.08	98.9	0	12
Co	aerosol	0.03	0.02	0.02	1.73	0.01	0.02	0.08	98.9	0	12
Cr	aerosol	0.40	0.11	0.38	1.39	0.17	0.40	0.57	98.9	0	12
Cu	aerosol	0.85	0.48	0.76	1.65	0.28	0.80	2.20	98.9	0	12
Hg	aerosol	4.83	4.39	3.70	2.15	0.00	3.45	21.70	9.3	0	34
Hg	air+aerosol	1.16	0.13	1.16	1.13	0.80	1.20	1.40	8.5	0	31
Mn	aerosol	1.61	1.05	1.36	1.74	0.67	1.40	4.50	98.9	0	12
Ni	aerosol	0.36	0.09	0.35	1.31	0.23	0.36	0.54	98.9	0	12
Pb	aerosol	0.79	0.55	0.66	1.93	0.21	0.68	2.30	98.9	0	12
V	aerosol	0.93	0.28	0.88	1.38	0.48	0.92	1.40	98.9	0	12
Zn	aerosol	4.30	2.03	3.88	1.70	1.10	4.10	9.10	98.9	0	12

SE0020R Hallahus
January 2020 - December 2020

Component	matrix	Arit mean	Arit sd	Geom mean	Geom sd	Min	50%	Max	% anal	Num bel	Num sampl
As	aerosol	0.20	0.09	0.17	1.75	0.07	0.20	0.33	100.0	0	12
Cd	aerosol	0.03	0.02	0.03	1.91	0.01	0.03	0.07	100.0	0	12
Co	aerosol	0.03	0.01	0.02	1.76	0.01	0.02	0.05	100.0	0	12
Cr	aerosol	0.40	0.11	0.39	1.33	0.24	0.41	0.57	100.0	0	12
Cu	aerosol	1.02	0.63	0.89	1.65	0.42	0.91	2.80	100.0	0	12
Hg	air+aerosol	1.27	0.21	1.26	1.19	0.80	1.30	1.70	13.1	0	48
Mn	aerosol	1.90	1.12	1.56	1.94	0.47	1.60	4.00	100.0	0	12
Ni	aerosol	0.32	0.11	0.30	1.54	0.10	0.35	0.49	100.0	0	12
Pb	aerosol	0.93	0.49	0.81	1.74	0.39	0.90	1.90	100.0	0	12
V	aerosol	0.61	0.24	0.57	1.49	0.33	0.56	1.00	100.0	0	12
Zn	aerosol	4.71	1.73	4.37	1.53	2.00	5.00	7.10	100.0	0	12

SE0022R Norunda Stenen
January 2020 - December 2020

Component	matrix	Arit mean	Arit sd	Geom mean	Geom sd	Min	50%	Max	% anal	Num bel	Num sampl
As	aerosol	0.14	0.07	0.13	1.60	0.07	0.12	0.27	99.2	0	12
Cd	aerosol	0.02	0.01	0.02	1.89	0.01	0.02	0.05	99.2	0	12
Co	aerosol	0.03	0.01	0.02	1.60	0.01	0.02	0.06	99.2	0	12
Cr	aerosol	0.40	0.10	0.39	1.29	0.23	0.39	0.53	99.2	0	12
Cu	aerosol	0.49	0.13	0.48	1.31	0.30	0.49	0.70	99.2	0	12
Mn	aerosol	1.48	0.83	1.32	1.55	0.78	1.20	3.70	99.2	0	12
Ni	aerosol	0.18	0.08	0.16	1.58	0.08	0.18	0.33	99.2	0	12
Pb	aerosol	0.64	0.45	0.53	1.90	0.23	0.51	1.60	99.2	0	12
V	aerosol	0.28	0.13	0.25	1.55	0.15	0.23	0.58	99.2	0	12
Zn	aerosol	3.14	1.39	2.89	1.56	1.40	2.80	6.30	99.2	0	12

SI0008R Iskrba
January 2020 - December 2020

Component	matrix	Arit mean	Arit sd	Geom mean	Geom sd	Min	50%	Max	% anal	Num bel	Num sampl
As	pm10	0.13	0.15	0.09	1.95	0.07	0.07	0.91	19.1	59	70
Cd	pm10	0.08	0.06	0.05	2.64	0.01	0.07	0.31	19.1	22	70
Cr	pm10	1.30	0.97	0.96	2.25	0.45	0.45	3.79	19.1	37	70
Cu	pm10	1.24	1.04	0.87	2.31	0.45	0.45	3.59	19.1	43	70
Hg	air	1.34	0.10	1.33	1.08	1.10	1.30	1.60	19.7	0	72
Ni	pm10	6.76	6.66	4.90	2.07	3.17	3.17	39.40	19.1	51	70
Pb	pm10	1.60	1.11	1.17	2.53	0.07	1.45	4.99	19.1	3	70
Zn	pm10	0.56	1.70	0.35	1.70	0.32	0.32	14.40	19.1	67	70

SK0002R Chopok
January 2020 - December 2020

Component	matrix	Arit mean	Arit sd	Geom mean	Geom sd	Min	50%	Max	% anal	Num bel	Num sampl
As	aerosol	0.08	0.12	0.04	3.01	0.02	0.02	0.58	95.9	35	51
Cd	aerosol	0.00	0.01	0.00	1.94	0.00	0.00	0.05	94.0	42	50
Cr	aerosol	0.12	0.14	0.08	2.21	0.05	0.05	0.76	95.9	37	51
Cu	aerosol	0.30	0.49	0.15	3.10	0.05	0.12	3.27	95.9	24	51
Ni	aerosol	0.19	0.74	0.05	3.23	0.03	0.03	5.32	95.9	35	51
Pb	aerosol	0.73	1.37	0.08	10.67	0.01	0.01	5.88	95.9	26	51
Zn	aerosol	2.03	3.02	0.78	4.51	0.04	0.90	19.03	95.9	18	51

SK0004R Stará Lesná
January 2020 - December 2020

Component	matrix	Arit mean	Arit sd	Geom mean	Geom sd	Min	50%	Max	% anal	Num bel	Num sampl
As	pm10	0.09	0.11	0.04	3.56	0.00	0.02	0.41	68.6	25	39
Cd	pm10	0.02	0.04	0.01	4.41	0.00	0.00	0.17	68.6	26	39
Cr	pm10	0.20	0.17	0.13	2.57	0.05	0.14	0.55	68.6	18	39
Cu	pm10	0.78	0.52	0.45	3.55	0.02	0.74	1.92	68.6	7	39
Ni	pm10	0.19	0.38	0.07	3.93	0.03	0.03	1.67	68.6	21	39
Pb	pm10	2.72	2.51	0.88	9.27	0.01	1.72	9.30	68.6	7	39
Zn	pm10	7.25	5.13	3.85	4.43	0.10	6.52	27.67	68.6	4	39

SK0006R Starina
January 2020 - December 2020

Component	matrix	Arit mean	Arit sd	Geom mean	Geom sd	Min	50%	Max	% anal	Num bel	Num sampl
As	pm10	0.13	0.17	0.06	3.60	0.01	0.02	0.73	97.3	29	53
Cd	pm10	0.04	0.05	0.01	5.37	0.00	0.00	0.20	95.9	31	52
Cr	pm10	0.18	0.15	0.12	2.35	0.05	0.15	0.66	97.3	23	53
Cu	pm10	0.64	0.92	0.37	3.13	0.05	0.43	5.60	97.3	8	53
Ni	pm10	0.15	0.27	0.05	3.55	0.02	0.03	1.11	97.3	37	53
Pb	pm10	2.63	3.15	1.13	4.97	0.01	1.31	14.10	95.9	3	52
Zn	pm10	6.58	2.86	5.92	1.55	2.44	6.06	15.95	97.3	0	53

SK0007R Topolniky
January 2020 - December 2020

Component	matrix	Arit mean	Arit sd	Geom mean	Geom sd	Min	50%	Max	% anal	Num bel	Num sampl
As	pm10	0.17	0.23	0.09	3.51	0.01	0.10	1.20	88.3	11	48
Cd	pm10	0.05	0.07	0.02	4.20	0.01	0.01	0.28	88.3	26	48
Cr	pm10	0.28	0.22	0.18	2.73	0.05	0.21	0.94	88.3	16	48
Cu	pm10	1.27	1.14	0.82	3.00	0.04	1.19	6.05	88.3	0	48
Ni	pm10	0.17	0.27	0.07	3.37	0.01	0.06	1.67	88.3	18	48
Pb	pm10	6.22	7.22	2.93	6.84	0.01	3.85	35.51	88.3	4	48
Zn	pm10	9.93	9.16	6.03	3.71	0.15	7.26	38.63	88.3	4	48

Appendix C

Annual statistics for POPs in precipitation

BE0013R Houtem
January 2020 - December 2020

Component	matrix	W. mean	Min	Max	Dep	Num bel	Num sampl
anthracene	precip+dry_dep	62.59	0.42	637.16	-	1	15
benz_a_anthracene	precip+dry_dep	47.37	0.84	402.41	-	1	15
benzo_a_pyrene	precip+dry_dep	20.78	0.84	134.14	-	3	15
benzo_b_fluoranthene	precip+dry_dep	39.27	0.84	268.28	-	2	15
benzo_ghi_perylene	precip+dry_dep	16.88	1.68	60.36	-	0	15
benzo_k_fluoranthene	precip+dry_dep	19.70	0.84	134.14	-	2	15
chrysene	precip+dry_dep	87.41	0.84	687.46	-	1	15
dibenzo_ah_anthracene	precip+dry_dep	6.45	0.84	30.18	-	6	15
fluoranthene	precip+dry_dep	197.11	8.38	1844.40	-	0	15
fluorene	precip+dry_dep	31.63	1.68	301.81	-	3	15
inden_123cd_pyrene	precip+dry_dep	15.59	1.68	57.01	-	0	15
naphthalene	precip+dry_dep	26.47	5.03	184.44	-	1	15
pyrene	precip+dry_dep	130.62	11.74	1089.87	-	0	15

CZ0003R Kosetice (NOAK)
January 2020 - December 2020

Component	matrix	W. mean	Min	Max	Dep	Num bel	Num sampl
HCB	precip	0.01	0.01	0.04	6.9	94	96
PCB_101	precip	0.01	0.01	0.01	5.2	96	96
PCB_118	precip	0.01	0.01	0.01	6.4	96	96
PCB_138	precip	0.01	0.01	0.01	6.4	96	96
PCB_153	precip	0.01	0.01	0.01	7.2	96	96
PCB_180	precip	0.01	0.01	0.01	6.0	96	96
PCB_28	precip	0.00	0.00	0.00	2.4	96	96
PCB_52	precip	0.01	0.01	0.03	5.4	94	96
acenaphthene	precip	0.29	0.04	3.65	229.0	69	96
acenaphthylene	precip	0.79	0.03	11.10	627.0	56	96
alpha_HCH	precip	0.05	0.01	0.19	36.4	19	96
anthracene	precip	1.01	0.02	10.50	805.7	59	96
benz_a_anthracene	precip	2.45	0.02	54.00	1956.3	22	96
benzo_a_pyrene	precip	1.69	0.04	52.20	1346.7	69	96
benzo_b_fluoranthene	precip	3.05	0.04	84.00	2433.0	59	96
benzo_ghi_perylene	precip	1.85	0.02	52.40	1478.4	58	96
benzo_k_fluoranthene	precip	1.26	0.04	35.90	1002.7	75	96
beta_HCH	precip	0.02	0.01	0.32	19.9	70	96
delta_HCH	precip	0.02	0.02	0.02	14.0	96	96
dibenzo_ah_anthracene	precip	0.09	0.04	4.61	73.9	93	96
fluoranthene	precip	13.06	0.02	166.00	10430.3	11	96
fluorene	precip	1.98	0.04	26.10	1585.0	30	96
gamma_HCH	precip	0.19	0.01	0.69	154.6	2	96
inden_123cd_pyrene	precip	2.08	0.03	64.80	1658.3	57	96
naphthalene	precip	9.31	0.01	188.00	7437.8	37	96
phenanthrene	precip	11.45	0.01	107.00	9145.5	39	96
pp_DDD	precip	0.01	0.01	0.01	4.8	96	96
pp_DDE	precip	0.01	0.01	0.14	11.3	72	96
pp_DDT	precip	0.01	0.01	0.13	6.4	92	96
pyrene	precip	13.77	0.01	144.00	10996.1	18	96

DE0001R Westerland
January 2020 - December 2020

Component	matrix	W. mean	Min	Max	Dep	Num bel	Num sampl
anthracene	precip_tot	1.26	0.49	7.74	826.9	0	13
benz_a_anthracene	precip_tot	1.87	0.46	10.69	1227.3	0	13
benzo_a_pyrene	precip_tot	2.10	0.57	13.70	1380.3	0	13
benzo_bjk_fluoranthenes	precip_tot	8.85	1.80	49.89	5806.4	0	13
benzo_ghi_perylene	precip_tot	3.06	0.58	17.50	2008.1	0	13
chrysene	precip_tot	5.98	1.43	28.98	3925.3	0	13
dibenzo_ah_anthracene	precip_tot	0.53	0.11	3.33	346.5	0	13
fluoranthene	precip_tot	11.62	5.15	41.95	7627.7	0	13
inden_123cd_pyrene	precip_tot	3.11	0.57	19.71	2040.4	0	13
phenanthrene	precip_tot	12.44	6.96	41.52	8164.7	0	13
pyrene	precip_tot	8.47	2.51	30.69	5560.6	0	13

DE0002R Waldhof
January 2020 - December 2020

Component	matrix	W. mean	Min	Max	Dep	Num bel	Num sampl
anthracene	precip_tot	2.29	0.34	82.42	1897.0	0	13
benz_a_anthracene	precip_tot	3.65	0.40	16.55	3028.5	0	13
benzo_a_pyrene	precip_tot	3.63	0.34	15.56	3013.7	0	13
benzo_bjk_fluoranthenes	precip_tot	16.01	1.77	69.62	13281.3	0	13
benzo_ghi_perylene	precip_tot	5.42	0.68	23.43	4497.4	0	13
chrysene	precip_tot	9.95	1.21	39.58	8256.3	0	13
dibenzo_ah_anthracene	precip_tot	0.93	0.08	4.54	773.5	0	13
fluoranthene	precip_tot	20.10	2.63	68.84	16676.3	0	13
inden_123cd_pyrene	precip_tot	5.66	0.73	28.20	4692.7	0	13
phenanthrene	precip_tot	53.19	2.65	412.25	44122.3	0	13
pyrene	precip_tot	14.72	1.28	55.40	12212.6	0	13

DE0003R Schauinsland
January 2020 - December 2020

Component	matrix	W. mean	Min	Max	Dep	Num bel	Num sampl
anthracene	precip_tot	0.66	0.31	2.79	828.3	0	13
benz_a_anthracene	precip_tot	1.62	0.19	9.24	2030.7	0	13
benzo_a_pyrene	precip_tot	2.18	0.33	10.68	2735.8	0	12
benzo_bjk_fluoranthenes	precip_tot	8.73	0.03	59.33	10973.3	0	13
benzo_ghi_ptylene	precip_tot	3.62	0.47	24.22	4546.3	0	13
chrysene_triphenylene	precip_tot	5.91	0.53	33.71	7432.3	0	13
dibenzo_ah_anthracene	precip_tot	0.41	0.05	3.34	515.8	0	13
fluoranthene	precip_tot	9.18	1.41	51.00	11535.5	0	13
inden_123cd_pyrene	precip_tot	3.48	0.44	25.83	4377.4	0	13
phenanthrene	precip_tot	9.70	1.59	40.60	12189.6	0	13
pyrene	precip_tot	6.56	0.67	40.00	8243.6	0	13

DE0008R Schmücke
January 2020 - December 2020

Component	matrix	W. mean	Min	Max	Dep	Num bel	Num sampl
anthracene	precip_tot	0.91	0.43	9.11	1084.8	0	13
benz_a_anthracene	precip_tot	2.99	0.95	11.37	3573.0	0	13
benzo_a_pyrene	precip_tot	3.37	0.99	14.66	4029.8	0	13
benzo_bjk_fluoranthenes	precip_tot	15.40	2.96	45.24	18429.9	0	13
benzo_ghi_ptylene	precip_tot	6.12	1.06	17.60	7323.6	0	13
chrysene_triphenylene	precip_tot	9.17	2.20	27.77	10975.5	0	13
dibenzo_ah_anthracene	precip_tot	0.75	0.17	2.84	900.3	0	13
fluoranthene	precip_tot	17.09	6.97	48.18	20456.8	0	13
inden_123cd_pyrene	precip_tot	5.99	0.95	16.18	7168.1	0	13
phenanthrene	precip_tot	18.08	6.66	55.62	21632.7	0	13
pyrene	precip_tot	13.38	4.15	37.06	16018.0	0	13

DE0009R Zingst
January 2020 - December 2020

Component	matrix	W. mean	Min	Max	Dep	Num bel	Num sampl
anthracene	precip_tot	1.14	0.50	28.15	826.8	0	13
benz_a_anthracene	precip_tot	1.54	0.40	11.15	1118.5	0	13
benzo_a_pyrene	precip_tot	1.81	0.50	16.05	1313.4	0	13
benzo_bjk_fluoranthenes	precip_tot	7.74	1.90	60.47	5619.9	0	13
benzo_ghi_ptylene	precip_tot	2.67	0.71	22.05	1938.2	0	13
chrysene_triphenylene	precip_tot	5.03	1.13	34.01	3652.4	0	13
dibenzo_ah_anthracene	precip_tot	0.36	0.13	1.77	260.8	0	13
fluoranthene	precip_tot	8.35	2.33	59.36	6064.1	0	13
inden_123cd_pyrene	precip_tot	2.67	0.65	22.73	1941.0	0	13
phenanthrene	precip_tot	8.97	2.00	83.73	6519.6	0	13
pyrene	precip_tot	5.82	1.63	37.82	4225.1	0	13

ES0001R San Pablo de los Montes
January 2020 - December 2020

Component	matrix	W. mean	Min	Max	Dep	Num bel	Num sampl
acenaphthene	precip+dry_dep	0.00	0.00	0.00	-	4	4
acenaphthylene	precip+dry_dep	0.00	0.00	0.00	-	4	4
anthracene	precip+dry_dep	0.74	0.00	2.88	-	4	4
benz_a_anthracene	precip+dry_dep	0.00	0.00	0.00	-	4	4
benzo_a_pyrene	precip+dry_dep	0.51	0.00	2.00	-	4	4
benzo_ghi_ptylene	precip+dry_dep	0.00	0.00	0.00	-	4	4
benzo_k_fluoranthene	precip+dry_dep	0.00	0.00	0.00	-	4	4
chrysene	precip+dry_dep	0.00	0.00	0.01	-	4	4
dibenzo_ah_anthracene	precip+dry_dep	0.00	0.00	0.00	-	4	4
fluoranthene	precip+dry_dep	0.04	0.00	0.07	-	4	4
fluorene	precip+dry_dep	0.57	0.00	2.00	-	4	4
inden_123cd_pyrene	precip+dry_dep	0.00	0.00	0.00	-	4	4
naphthalene	precip+dry_dep	0.86	0.00	3.19	-	4	4
phenanthrene	precip+dry_dep	1.73	0.16	6.00	-	4	4
pyrene	precip+dry_dep	0.04	0.00	0.07	-	4	4

ES0007R Viznar
January 2020 - December 2020

Component	matrix	W. mean	Min	Max	Dep	Num bel	Num sampl
acenaphthene	precip+dry_dep	0.01	0.00	0.03	-	4	4
acenaphthylene	precip+dry_dep	0.00	0.00	0.00	-	4	4
anthracene	precip+dry_dep	0.04	0.00	0.16	-	4	4
benz_a_anthracene	precip+dry_dep	0.02	0.00	0.04	-	4	4
benzo_a_pyrene	precip+dry_dep	0.10	0.00	0.40	-	4	4
benzo_ghi_ptylene	precip+dry_dep	0.01	0.00	0.03	-	4	4
benzo_k_fluoranthene	precip+dry_dep	0.00	0.00	0.00	-	4	4
chrysene	precip+dry_dep	0.01	0.00	0.03	-	4	4
dibenzo_ah_anthracene	precip+dry_dep	0.00	0.00	0.00	-	4	4
fluoranthene	precip+dry_dep	0.03	0.00	0.05	-	4	4
fluorene	precip+dry_dep	0.82	0.04	2.11	-	4	4
inden_123cd_pyrene	precip+dry_dep	0.00	0.00	0.00	-	4	4
naphthalene	precip+dry_dep	0.20	0.00	0.52	-	4	4
phenanthrene	precip+dry_dep	0.14	0.03	0.31	-	4	4
pyrene	precip+dry_dep	0.02	0.00	0.04	-	4	4

ES0008R Niembro
January 2020 - December 2020

Component	matrix	W. mean	Min	Max	Dep	Num bel	Num sampl
acenaphthene	precip+dry_dep	0.04	0.00	0.15	-	4	4
acenaphthylene	precip+dry_dep	0.00	0.00	0.00	-	4	4
anthracene	precip+dry_dep	0.54	0.00	0.91	-	4	4
benz_a_anthracene	precip+dry_dep	0.02	0.00	0.09	-	4	4
benzo_a_pyrene	precip+dry_dep	0.64	0.00	2.48	-	4	4
benzo_ghi_perylene	precip+dry_dep	0.01	0.00	0.02	-	4	4
benzo_k_fluoranthene	precip+dry_dep	0.00	0.00	0.00	-	4	4
chrysene	precip+dry_dep	0.05	0.00	0.20	-	4	4
dibenzo_ah_anthracene	precip+dry_dep	0.00	0.00	0.00	-	4	4
fluoranthene	precip+dry_dep	0.12	0.00	0.21	-	4	4
fluorene	precip+dry_dep	18.61	7.26	24.73	-	4	4
inden_123cd_pyrene	precip+dry_dep	0.00	0.00	0.00	-	4	4
naphthalene	precip+dry_dep	22.34	0.00	88.00	-	4	4
phenanthrene	precip+dry_dep	0.28	0.00	0.52	-	4	4
pyrene	precip+dry_dep	0.09	0.00	0.18	-	4	4

ES0012R Zarra
January 2020 - December 2020

Component	matrix	W. mean	Min	Max	Dep	Num bel	Num sampl
acenaphthene	precip+dry_dep	0.00	0.00	0.00	-	4	4
acenaphthylene	precip+dry_dep	0.05	0.00	0.10	-	4	4
anthracene	precip+dry_dep	0.16	0.00	0.32	-	4	4
benz_a_anthracene	precip+dry_dep	0.00	0.00	0.01	-	4	4
benzo_a_pyrene	precip+dry_dep	0.00	0.00	0.00	-	4	4
benzo_ghi_perylene	precip+dry_dep	0.01	0.00	0.01	-	4	4
benzo_k_fluoranthene	precip+dry_dep	0.00	0.00	0.00	-	4	4
chrysene	precip+dry_dep	0.00	0.00	0.01	-	4	4
dibenzo_ah_anthracene	precip+dry_dep	0.00	0.00	0.00	-	4	4
fluoranthene	precip+dry_dep	0.02	0.00	0.07	-	4	4
fluorene	precip+dry_dep	2.79	0.37	4.95	-	4	4
inden_123cd_pyrene	precip+dry_dep	0.00	0.00	0.00	-	4	4
naphthalene	precip+dry_dep	0.11	0.01	0.32	-	4	4
phenanthrene	precip+dry_dep	0.06	0.00	0.09	-	4	4
pyrene	precip+dry_dep	0.00	0.00	0.02	-	4	4

ES0014R Els Torms
January 2020 - December 2020

Component	matrix	W. mean	Min	Max	Dep	Num bel	Num sampl
acenaphthene	precip+dry_dep	2.26	0.00	7.07	-	4	4
acenaphthylene	precip+dry_dep	0.02	0.00	0.08	-	4	4
anthracene	precip+dry_dep	1.04	0.00	2.10	-	4	4
benz_a_anthracene	precip+dry_dep	0.01	0.00	0.04	-	4	4
benzo_a_pyrene	precip+dry_dep	0.03	0.00	0.11	-	4	4
benzo_ghi_perylene	precip+dry_dep	0.01	0.00	0.02	-	4	4
benzo_k_fluoranthene	precip+dry_dep	0.00	0.00	0.00	-	4	4
chrysene	precip+dry_dep	0.03	0.00	0.11	-	4	4
dibenzo_ah_anthracene	precip+dry_dep	0.00	0.00	0.00	-	4	4
fluoranthene	precip+dry_dep	0.05	0.00	0.14	-	4	4
fluorene	precip+dry_dep	10.08	0.06	27.23	-	4	4
inden_123cd_pyrene	precip+dry_dep	0.00	0.00	0.00	-	4	4
naphthalene	precip+dry_dep	0.09	0.00	0.37	-	4	4
phenanthrene	precip+dry_dep	0.29	0.00	0.71	-	4	4
pyrene	precip+dry_dep	0.02	0.00	0.08	-	4	4

FI0018R Virolahti III
January 2020 - December 2020

Component	matrix	W. mean	Min	Max	Dep	Num bel	Num sampl
acenaphthene	precip+dry_dep	5.77	2.17	20.62	-	8	12
acenaphthylene	precip+dry_dep	2.02	0.20	7.75	-	3	12
anthracene	precip+dry_dep	2.08	0.32	8.34	-	5	12
benz_a_anthracene	precip+dry_dep	11.11	0.62	61.79	-	0	12
benzo_a_pyrene	precip+dry_dep	12.42	0.62	58.67	-	0	12
benzo_bjk_fluoranthenes	precip+dry_dep	41.79	2.06	263.75	-	0	12
benzo_ghi_perylene	precip+dry_dep	20.39	1.07	110.15	-	0	12
chrysene_triphenylene	precip+dry_dep	28.83	4.16	133.81	-	0	12
dibenzo_ac_ah_anthracenes	precip+dry_dep	1.97	0.11	11.26	-	0	12
fluoranthene	precip+dry_dep	42.00	4.71	161.46	-	0	12
fluorene	precip+dry_dep	3.56	2.41	10.11	-	10	12
inden_123cd_pyrene	precip+dry_dep	13.58	0.87	81.57	-	0	12
naphthalene	precip+dry_dep	4.43	2.72	14.25	-	9	12
phenanthrene	precip+dry_dep	18.91	6.31	96.68	-	7	12
pyrene	precip+dry_dep	43.19	9.52	205.85	-	0	12

FI0036R Pallas (Matorova)
January 2020 - December 2020

Component	matrix	W. mean	Min	Max	Dep	Num bel	Num sampl
BDE_100	precip+dry_dep	0.02	0.01	0.09	-	11	12
BDE_47	precip+dry_dep	0.01	0.01	0.06	-	11	12
BDE_99	precip+dry_dep	0.01	0.01	0.01	-	12	12
HCB	precip+dry_dep	0.05	0.01	0.12	-	1	12
PCB_101	precip+dry_dep	0.03	0.03	0.03	-	12	12
PCB_118	precip+dry_dep	0.02	0.02	0.02	-	12	12
PCB_138	precip+dry_dep	0.02	0.02	0.02	-	12	12
PCB_153	precip+dry_dep	0.02	0.02	0.02	-	12	12
PCB_180	precip+dry_dep	0.02	0.02	0.02	-	12	12
PCB_28	precip+dry_dep	0.03	0.03	0.03	-	12	12
PCB_52	precip+dry_dep	0.03	0.03	0.03	-	12	12
alpha_HCH	precip+dry_dep	0.02	0.01	0.06	-	6	12
anthracene	precip+dry_dep	0.81	0.03	5.63	-	0	9
benz_a_anthracene	precip+dry_dep	1.59	0.20	6.94	-	4	11
benzo_a_pyrene	precip+dry_dep	1.84	0.14	7.62	-	0	12
benzo_b_fluoranthene	precip+dry_dep	2.84	0.24	17.07	-	0	12
benzo_ghi_perylene	precip+dry_dep	1.59	0.20	10.79	-	2	12
benzo_k_fluoranthene	precip+dry_dep	1.15	0.10	6.37	-	0	12
chrysene	precip+dry_dep	3.33	0.22	13.67	-	0	12
dibenzo_ah_anthracene	precip+dry_dep	0.46	0.10	2.47	-	4	12
fluoranthene	precip+dry_dep	7.55	0.58	29.76	-	0	12
gamma_HCH	precip+dry_dep	0.03	0.01	0.06	-	4	12
inden_123cd_pyrene	precip+dry_dep	1.99	0.40	13.01	-	3	12
phenanthrene	precip+dry_dep	8.42	1.01	35.28	-	0	12
pp_DDD	precip+dry_dep	0.02	0.01	0.05	-	8	12
pp_DDE	precip+dry_dep	0.01	0.01	0.02	-	4	6
pp_DDT	precip+dry_dep	0.02	0.01	0.16	-	9	12
pyrene	precip+dry_dep	5.87	0.41	23.45	-	0	12

FI0050R Hyytiälä
January 2020 - December 2020

Component	matrix	W. mean	Min	Max	Dep	Num bel	Num sampl
acenaphthene	precip+dry_dep	3.83	0.79	9.99	-	4	12
acenaphthylene	precip+dry_dep	0.85	0.42	2.67	-	8	12
anthracene	precip+dry_dep	1.41	0.40	3.82	-	1	12
benz_a_anthracene	precip+dry_dep	2.66	0.56	12.92	-	0	12
benzo_a_pyrene	precip+dry_dep	3.24	0.42	14.47	-	0	12
benzo_bjk_fluoranthenes	precip+dry_dep	10.04	1.86	68.40	-	0	12
benzo_ghi_perylene	precip+dry_dep	4.54	0.62	29.34	-	0	12
chrysene	precip+dry_dep	7.59	2.21	29.15	-	0	12
dibenzo_ac_ah_anthracenes	precip+dry_dep	0.46	0.08	3.24	-	0	12
fluoranthene	precip+dry_dep	22.51	4.26	105.92	-	0	12
fluorene	precip+dry_dep	3.62	1.97	11.44	-	9	12
inden_123cd_pyrene	precip+dry_dep	3.33	0.57	25.28	-	0	12
naphthalene	precip+dry_dep	4.00	2.57	13.07	-	10	12
phenanthrene	precip+dry_dep	26.55	8.21	85.20	-	0	12
pyrene	precip+dry_dep	12.60	3.62	44.27	-	0	12

FR0008R Donon
January 2020 - December 2020

Component	matrix	W. mean	Min	Max	Dep	Num bel	Num sampl
benz_a_anthracene	precip	0.94	0.49	2.43	1338.8	0	10
benzo_a_pyrene	precip	1.99	0.84	4.40	2851.3	0	10
benzo_b_fluoranthene	precip	3.75	1.68	9.63	5362.0	0	10
benzo_k_fluoranthene	precip	1.44	0.95	3.88	2062.6	0	10
dibenzo_ah_anthracene	precip	0.56	0.18	1.71	794.1	2	10
inden_123cd_pyrene	precip	2.81	1.58	7.61	4015.1	0	10

FR0009R Revin
January 2020 - December 2020

Component	matrix	W. mean	Min	Max	Dep	Num bel	Num sampl
benz_a_anthracene	precip	2.82	1.29	8.33	3259.7	0	10
benzo_a_pyrene	precip	5.05	1.80	19.70	5833.2	0	10
benzo_b_fluoranthene	precip	11.58	4.95	29.38	13384.4	0	10
benzo_k_fluoranthene	precip	4.18	1.97	11.46	4829.2	0	10
dibenzo_ah_anthracene	precip	1.91	0.68	5.56	2207.5	0	10
inden_123cd_pyrene	precip	8.37	3.21	21.00	9678.2	0	10

FR0013R Peyrusse Vieille
January 2020 - December 2020

Component	matrix	W. mean	Min	Max	Dep	Num bel	Num sampl
benz_a_anthracene	precip	0.47	0.21	2.52	320.7	1	10
benzo_a_pyrene	precip	0.92	0.33	7.54	627.3	1	10
benzo_b_fluoranthene	precip	2.33	0.65	12.57	1586.7	1	10
benzo_k_fluoranthene	precip	0.79	0.23	4.67	537.5	2	10
dibenzo_ah_anthracene	precip	0.28	0.10	1.80	190.0	9	10
inden_123cd_pyrene	precip	1.72	0.46	15.81	1171.8	1	10

FR0023R Saint-Nazaire-le-Désert
January 2020 - December 2020

Component	matrix	W. mean	Min	Max	Dep	Num bel	Num sampl
benz_a_anthracene	precip	0.81	0.20	1.56	597.7	0	9
benzo_a_pyrene	precip	1.96	0.66	4.30	1440.4	1	9
benzo_b_fluoranthene	precip	2.53	1.42	5.43	1855.1	0	9
benzo_k_fluoranthene	precip	0.79	0.54	1.30	576.6	2	9
dibenzo_ah_anthracene	precip	0.30	0.14	0.93	221.7	7	9
inden_123cd_pyrene	precip	2.50	1.07	4.89	1838.2	0	9

FR0025R Verneuil
January 2020 - December 2020

Component	matrix	W. mean	Min	Max	Dep	Num bel	Num sampl
benz_a_anthracene	precip	1.23	0.44	4.78	667.9	0	11
benzo_a_pyrene	precip	2.12	0.65	10.74	1146.7	0	11
benzo_b_fluoranthene	precip	4.46	1.35	19.89	2417.9	0	11
benzo_k_fluoranthene	precip	1.47	0.29	7.56	794.6	2	11
dibenzo_ah_anthracene	precip	0.51	0.17	1.99	276.1	8	11
inden_123cd_pyrene	precip	3.31	1.51	13.53	1792.2	0	11

FR0028R Kergoff
January 2020 - December 2020

Component	matrix	W. mean	Min	Max	Dep	Num bel	Num sampl
benz_a_anthracene	precip	0.63	0.12	4.72	867.7	0	10
benzo_a_pyrene	precip	0.98	0.24	6.65	1346.2	0	10
benzo_b_fluoranthene	precip	2.21	0.65	9.44	3027.7	0	10
benzo_k_fluoranthene	precip	0.80	0.27	3.32	1093.9	1	10
dibenzo_ah_anthracene	precip	0.30	0.10	0.98	417.9	5	10
inden_123cd_pyrene	precip	1.56	0.47	5.20	2138.0	0	10

GB0048R Auchencorth Moss
January 2020 - December 2020

Component	matrix	W. mean	Min	Max	Dep	Num bel	Num sampl
benz_a_anthracene	wetdep	6.75	2.00	9.00	-	0	14
benzo_a_pyrene	wetdep	5.37	2.00	10.00	-	0	14
benzo_b_fluoranthene	wetdep	8.36	4.40	14.00	-	0	14
benzo_e_pyrene	wetdep	7.75	4.00	12.00	-	0	14
benzo_ghi_perylene	wetdep	8.75	4.00	14.00	-	0	14
benzo_k_fluoranthene	wetdep	5.37	2.00	12.00	-	0	14
chrysene	wetdep	8.75	4.00	14.00	-	0	14
cyclopenta_cd_pyrene	wetdep	3.22	1.00	6.00	-	0	14
dibenzo_ae_pyrene	wetdep	1.23	0.60	2.50	-	0	14
dibenzo_ah_anthracene	wetdep	1.01	0.08	2.40	-	1	14
dibenzo_ah_pyrene	wetdep	0.82	0.25	0.95	-	14	14
dibenzo_ai_pyrene	wetdep	2.17	0.35	4.50	-	5	14
inden_123cd_pyrene	wetdep	5.06	2.00	8.00	-	0	14

GB1055R Chilbolton Observatory
January 2020 - December 2020

Component	matrix	W. mean	Min	Max	Dep	Num bel	Num sampl
benz_a_anthracene	wetdep	15.26	2.00	67.00	-	0	10
benzo_a_pyrene	wetdep	14.14	6.00	35.00	-	0	10
benzo_b_fluoranthene	wetdep	18.03	7.60	48.00	-	0	10
benzo_e_pyrene	wetdep	16.83	7.00	50.00	-	0	10
benzo_ghi_perylene	wetdep	16.11	7.00	39.00	-	0	10
benzo_k_fluoranthene	wetdep	10.36	4.00	28.00	-	0	10
chrysene	wetdep	18.08	6.00	43.00	-	0	10
cyclopenta_cd_pyrene	wetdep	4.54	1.00	10.00	-	0	10
dibenzo_ae_pyrene	wetdep	2.53	0.90	6.30	-	0	10
dibenzo_ah_anthracene	wetdep	2.49	0.31	8.40	-	0	10
dibenzo_ah_pyrene	wetdep	1.12	0.65	3.60	-	8	10
dibenzo_ai_pyrene	wetdep	2.42	1.10	9.60	-	2	11
inden_123cd_pyrene	wetdep	11.77	4.00	32.00	-	0	10

IS0091R Storhofdi
January 2020 - December 2020

Component	matrix	W. mean	Min	Max	Dep	Num bel	Num sampl
BDE_100	precip	0.00	0.00	0.01	2.7	8	12
BDE_47	precip	0.02	0.01	0.06	15.2	1	12
BDE_99	precip	0.02	0.01	0.05	12.7	1	12
HCb	precip	0.02	0.00	0.05	15.6	1	12
PCB_101	precip	0.01	0.00	0.03	5.4	9	12
PCB_105	precip	0.00	0.00	0.00	1.9	9	12
PCB_118	precip	0.01	0.00	0.01	5.3	2	12
PCB_138	precip	0.01	0.00	0.05	9.3	2	12
PCB_153	precip	0.01	0.00	0.04	8.1	2	12
PCB_156	precip	0.00	0.00	0.01	1.6	11	12
PCB_180	precip	0.01	0.00	0.03	6.8	2	12
PCB_28	precip	0.04	0.00	0.14	34.1	4	12
PCB_31	precip	0.03	0.00	0.10	22.5	7	12
PCB_52	precip	0.01	0.00	0.05	10.4	4	12
alpha_HCH	precip	0.04	0.03	0.07	34.9	0	12
beta_HCH	precip	0.01	0.00	0.01	6.5	0	12
cis_CD	precip	0.00	0.00	0.01	2.3	5	12
dieldrin	precip	0.02	0.01	0.04	19.1	0	12
gamma_HCH	precip	0.02	0.01	0.04	18.5	0	12
op_DDT	precip	0.00	0.00	0.00	1.1	12	12
pp_DDD	precip	0.00	0.00	0.01	1.7	10	12
pp_DDE	precip	0.00	0.00	0.01	2.4	6	12
pp_DDT	precip	0.01	0.00	0.02	5.2	8	12
trans_CD	precip	0.00	0.00	0.01	2.4	6	12
trans_NO	precip	0.00	0.00	0.01	2.8	3	12

LV0010R Rucava
January 2020 - December 2020

Component	matrix	W. mean	Min	Max	Dep	Num bel	Num sampl
benz_a_anthracene	precip	4.64	0.85	23.90	3947.5	16	24
benzo_a_pyrene	precip	4.33	0.50	33.60	3686.7	13	22
benzo_b_fluoranthene	precip	10.91	0.80	52.00	9286.9	12	23
benzo_k_fluoranthene	precip	4.68	1.00	28.40	3989.0	14	23
dibenzo_ah_anthracene	precip	1.72	1.40	6.50	1464.7	22	22
inden_123cd_pyrene	precip	8.44	1.55	49.30	7189.5	15	23

NL0091R De Zilk
January 2020 - December 2020

Component	matrix	W. mean	Min	Max	Dep	Num bel	Num sampl
acenaphthene	precip	1.40	0.68	23.87	1063.7	5	13
acenaphthylene	precip	1.03	0.55	5.00	778.8	6	13
anthracene	precip	0.83	0.39	8.20	633.0	7	13
benz_a_anthracene	precip	1.59	1.02	7.40	1207.8	0	13
benzo_a_pyrene	precip	2.81	1.49	12.08	2133.9	0	13
benzo_bjk_fluoranthenes	precip	7.85	4.68	23.80	5959.6	0	13
benzo_ghi_peryene	precip	3.27	2.11	9.44	2481.0	0	13
chrysene	precip	5.55	2.49	18.47	4213.0	0	13
dibenzo_ah_anthracene	precip	0.77	0.35	3.03	583.5	10	13
fluoranthene	precip	8.74	3.03	28.18	6632.6	0	13
fluorene	precip	1.95	0.88	4.60	1478.6	1	13
gamma_HCH	precip	0.30	0.13	0.73	230.1	6	13
inden_123cd_pyrene	precip	3.20	1.59	11.90	2430.7	0	13
naphthalene	precip	4.23	2.06	43.77	3213.5	0	13
phenanthrene	precip	7.83	1.92	24.25	5941.8	0	13
pyrene	precip	5.73	1.63	20.46	4349.8	0	13

NO0001R Birkenes
January 2020 - December 2020

Component	matrix	W. mean	Min	Max	Dep	Num bel	Num sampl
HCB	precip	0.09	0.02	3.40	185.2	30	45
PCB_101	precip	0.01	0.00	0.20	19.6	37	44
PCB_118	precip	0.01	0.00	0.15	12.6	28	44
PCB_138	precip	0.01	0.00	0.16	18.6	29	44
PCB_153	precip	0.01	0.00	0.26	27.5	36	44
PCB_180	precip	0.00	0.00	0.09	10.3	25	44
PCB_28	precip	0.01	0.00	0.12	11.5	37	44
PCB_52	precip	0.01	0.00	0.11	11.5	32	44
PCB_99	precip	0.00	0.00	0.04	4.4	30	44
alpha_HCH	precip	0.08	0.03	0.64	164.2	4	44
gamma_HCH	precip	0.18	0.04	2.07	371.3	2	44

PL0005R Diabla Gora
January 2020 - December 2020

Component	matrix	W. mean	Min	Max	Dep	Num bel	Num sampl
benz_a_anthracene	precip	13.51	1.50	58.20	7500.7	0	12
benzo_a_pyrene	precip	16.20	1.60	52.50	8993.6	0	12
benzo_b_fluoranthene	precip	24.40	2.90	87.40	13543.4	0	12
benzo_k_fluoranthene	precip	9.13	1.20	31.30	5065.8	0	12
dibenzo_ah_anthracene	precip	2.85	0.20	9.40	1583.8	0	11
inden_123cd_pyrene	precip	20.11	1.70	78.60	11161.4	0	12

SE0014R Råø
January 2020 - December 2020

Component	matrix	W. mean	Min	Max	Dep	Num bel	Num sampl
BDE_100	precip+dry_dep	0.03	0.02	0.06	-	6	12
BDE_209	precip+dry_dep	1.08	0.58	2.93	-	0	12
BDE_47	precip+dry_dep	0.06	0.02	0.18	-	2	12
BDE_99	precip+dry_dep	0.03	0.02	0.05	-	6	12
HCB	precip+dry_dep	0.05	0.04	0.08	-	0	12
PCB_101	precip+dry_dep	0.04	0.03	0.06	-	1	12
PCB_118	precip+dry_dep	0.04	0.03	0.06	-	1	12
PCB_138	precip+dry_dep	0.11	0.06	0.20	-	0	12
PCB_153	precip+dry_dep	0.08	0.05	0.14	-	0	12
PCB_180	precip+dry_dep	0.08	0.03	0.14	-	0	12
PCB_28	precip+dry_dep	0.04	0.03	0.05	-	6	12
PCB_52	precip+dry_dep	0.04	0.03	0.06	-	12	12
alpha_HCH	precip+dry_dep	0.03	0.02	0.08	-	5	12
anthracene	precip+dry_dep	0.72	0.17	4.64	-	0	12
benz_a_anthracene	precip+dry_dep	3.55	0.77	21.71	-	0	12
benzo_a_pyrene	precip+dry_dep	4.51	0.80	30.63	-	0	12
benzo_b_fluoranthene	precip+dry_dep	9.76	1.25	71.86	-	0	12
benzo_ghi_peryene	precip+dry_dep	5.05	0.82	35.85	-	0	12
benzo_k_fluoranthene	precip+dry_dep	3.92	0.54	28.69	-	0	12
chrysene	precip+dry_dep	9.74	1.28	67.76	-	0	12
dibenzo_ah_anthracene	precip+dry_dep	1.34	0.14	10.41	-	0	12
fluoranthene	precip+dry_dep	16.96	3.21	100.00	-	0	12
gamma_HCH	precip+dry_dep	0.13	0.05	0.28	-	0	12
inden_123cd_pyrene	precip+dry_dep	7.20	0.83	54.16	-	0	12
phenanthrene	precip+dry_dep	13.54	4.90	61.61	-	0	12
pp_DDD	precip+dry_dep	0.05	0.02	0.12	-	3	12
pp_DDE	precip+dry_dep	0.07	0.04	0.17	-	0	12
pp_DDT	precip+dry_dep	0.03	0.02	0.10	-	1	12
pyrene	precip+dry_dep	12.23	2.44	75.47	-	0	12

SE0020R Hallahus
January 2020 - December 2020

Component	matrix	W. mean	Min	Max	Dep	Num bel	Num sampl
anthracene	precip+dry_dep	1.63	0.28	7.10	-	0	13
benz_a_anthracene	precip+dry_dep	7.55	1.40	34.00	-	0	13
benzo_a_pyrene	precip+dry_dep	10.60	2.00	50.00	-	0	13
benzo_b_fluoranthene	precip+dry_dep	20.83	2.80	110.00	-	0	13
benzo_ghi_perylene	precip+dry_dep	12.19	1.70	67.00	-	0	13
benzo_k_fluoranthene	precip+dry_dep	8.36	1.40	41.00	-	0	13
chrysene	precip+dry_dep	19.10	2.80	93.00	-	0	13
fluoranthene	precip+dry_dep	35.85	6.40	150.00	-	0	13
inden_123cd_pyrene	precip+dry_dep	15.85	2.10	82.00	-	0	13
phenanthrene	precip+dry_dep	22.85	4.40	81.00	-	0	13
pyrene	precip+dry_dep	27.00	4.70	120.00	-	0	13

SE0022R Norunda Stenen
January 2020 - December 2020

Component	matrix	W. mean	Min	Max	Dep	Num bel	Num sampl
BDE_100	precip+dry_dep	0.01	0.01	0.04	-	9	12
BDE_47	precip+dry_dep	0.01	0.01	0.07	-	11	12
BDE_99	precip+dry_dep	0.01	0.01	0.02	-	9	12
HCB	precip+dry_dep	0.06	0.03	0.16	-	0	12
PCB_101	precip+dry_dep	0.03	0.02	0.03	-	12	12
PCB_118	precip+dry_dep	0.02	0.02	0.02	-	12	12
PCB_138	precip+dry_dep	0.02	0.02	0.06	-	9	12
PCB_153	precip+dry_dep	0.02	0.02	0.05	-	11	12
PCB_180	precip+dry_dep	0.02	0.02	0.03	-	11	12
PCB_28	precip+dry_dep	0.03	0.03	0.05	-	11	12
PCB_52	precip+dry_dep	0.03	0.03	0.05	-	11	12
alpha_HCH	precip+dry_dep	0.02	0.01	0.07	-	8	12
anthracene	precip+dry_dep	0.82	0.21	4.60	-	0	12
benz_a_anthracene	precip+dry_dep	3.28	0.62	20.00	-	0	12
benzo_a_pyrene	precip+dry_dep	5.01	0.58	33.00	-	0	12
benzo_b_fluoranthene	precip+dry_dep	9.96	0.86	70.00	-	0	12
benzo_ghi_perylene	precip+dry_dep	6.43	0.68	46.00	-	0	12
benzo_k_fluoranthene	precip+dry_dep	4.07	0.38	28.00	-	0	12
chrysene	precip+dry_dep	10.41	1.00	64.00	-	0	12
dibenzo_ah_anthracene	precip+dry_dep	1.53	0.10	11.00	-	0	12
fluoranthene	precip+dry_dep	15.30	2.50	89.00	-	0	12
gamma_HCH	precip+dry_dep	0.06	0.01	0.13	-	2	12
inden_123cd_pyrene	precip+dry_dep	8.21	0.66	58.00	-	0	12
phenanthrene	precip+dry_dep	11.38	3.00	55.00	-	0	12
pp_DDD	precip+dry_dep	0.03	0.01	0.10	-	2	12
pp_DDE	precip+dry_dep	0.05	0.02	0.14	-	0	12
pp_DDT	precip+dry_dep	0.03	0.01	0.08	-	4	12
pyrene	precip+dry_dep	11.42	1.90	73.00	-	0	12

SI0008R Iskrba
January 2020 - December 2020

Component	matrix	W. mean	Min	Max	Dep	Num bel	Num sampl
benz_a_anthracene	precip+dry_dep	15.66	0.69	98.52	-	13	37
benzo_a_pyrene	precip+dry_dep	20.13	0.66	125.42	-	11	37
benzo_bjk_fluoranthenes	precip+dry_dep	89.34	2.97	581.78	-	0	37
dibenzo_ah_anthracene	precip+dry_dep	8.65	0.52	40.93	-	23	37
inden_123cd_pyrene	precip+dry_dep	30.46	0.91	259.90	-	9	37

Appendix D

Annual statistics for POPs in air

BE0013R Houtem
January 2020 - December 2020

Component	matrix	Arit mean	Arit sd	Geom mean	Geom sd	Min	50%	Max	% anal	Num bel	Num sampl
benz_a_anthracene	pm10	0.03	0.14	0.01	4.32	0.00	0.01	1.50	32.0	37	117
benzo_a_pyrene	pm10	0.05	0.16	0.01	4.40	0.00	0.01	1.60	32.0	37	117
benzo_ghi_perylene	pm10	0.08	0.17	0.02	5.19	0.00	0.02	1.30	32.0	18	117
chrysene	pm10	0.09	0.28	0.02	4.96	0.00	0.02	2.80	32.0	23	117
fluoranthene	pm10	0.08	0.25	0.03	4.47	-0.01	0.02	2.49	32.0	2	117
indn_123cd_pyrene	pm10	0.07	0.15	0.01	6.45	0.00	0.02	1.20	32.0	23	117
pyrene	pm10	0.06	0.20	0.02	4.40	-0.00	0.02	1.90	32.0	2	117

CZ0003R Kosetice (NOAK)
January 2020 - December 2020

Component	matrix	Arit mean	Arit sd	Geom mean	Geom sd	Min	50%	Max	% anal	Num bel	Num sampl
HCB	air+pm10	66.38	14.67	64.94	1.23	41.10	64.70	109.08	14.2	0	52
PCB_101	air+pm10	0.90	0.52	0.77	1.76	0.28	0.75	2.31	14.2	0	52
PCB_118	air+pm10	0.22	0.13	0.18	2.10	0.02	0.19	0.54	14.2	0	52
PCB_138	air+pm10	0.85	0.50	0.73	1.71	0.29	0.68	2.55	14.2	0	52
PCB_153	air+pm10	0.44	0.28	0.37	1.93	0.03	0.36	1.46	14.2	0	52
PCB_180	air+pm10	0.25	0.20	0.18	2.66	0.02	0.21	1.17	14.2	0	52
PCB_28	air+pm10	1.82	0.91	1.62	1.61	0.60	1.66	5.02	14.2	0	52
PCB_52	air+pm10	1.41	0.82	1.21	1.73	0.53	1.05	3.28	14.2	0	52
acenaphthene	air+pm10	0.17	0.14	0.12	2.49	0.02	0.12	0.53	14.2	0	52
acenaphthylene	air+pm10	0.31	0.44	0.11	5.20	0.00	0.15	1.92	14.2	0	52
alpha_HCH	air+pm10	3.05	1.53	2.74	1.59	1.23	2.81	9.03	14.2	0	52
anthracene	air+pm10	0.08	0.09	0.04	3.72	0.00	0.05	0.45	14.2	1	52
benz_a_anthracene	air+pm10	0.20	0.26	0.08	4.48	0.01	0.11	1.18	14.2	0	52
benzo_a_pyrene	air+pm10	0.25	0.28	0.11	5.29	0.00	0.17	1.35	14.2	1	52
benzo_b_fluoranthene	air+pm10	0.33	0.38	0.14	5.59	0.00	0.20	1.64	14.2	1	52
benzo_ghi_perylene	air+pm10	0.23	0.23	0.13	3.36	0.01	0.16	1.09	14.2	0	52
benzo_k_fluoranthene	air+pm10	0.14	0.15	0.05	8.73	0.00	0.08	0.71	14.2	3	52
delta_HCH	air+pm10	0.11	0.08	0.09	1.91	0.05	0.10	0.32	14.2	0	52
dibenzo_ah_anthracene	air+pm10	0.02	0.02	0.01	7.89	0.00	0.01	0.09	14.2	6	52
fluoranthene	air+pm10	0.98	0.83	0.63	2.99	0.01	0.77	3.38	14.2	0	52
fluorene	air+pm10	1.13	0.90	0.84	2.23	0.17	0.88	3.77	14.2	0	52
gamma_HCH	air+pm10	4.42	2.75	3.68	1.83	1.34	3.22	10.70	14.2	0	52
indn_123cd_pyrene	air+pm10	0.29	0.29	0.16	3.38	0.01	0.19	1.42	14.2	0	52
naphthalene	air+pm10	1.08	1.15	0.54	3.82	0.04	0.64	4.59	14.2	0	52
pentachlorobenzene	air+pm10	15.78	7.96	13.77	1.73	4.10	15.31	40.35	14.2	0	52
phenanthrene	air+pm10	2.40	1.93	1.64	2.73	0.04	1.65	7.15	14.2	0	52
pp_DDD	air+pm10	0.31	0.19	0.26	1.86	0.06	0.26	0.99	14.2	0	52
pp_DDE	air+pm10	9.25	4.40	8.35	1.57	3.56	8.40	23.27	14.2	0	52
pp_DDT	air+pm10	1.97	1.05	1.73	1.68	0.65	1.77	5.47	14.2	0	52
pyrene	air+pm10	0.67	0.63	0.41	2.99	0.05	0.54	2.64	14.2	0	52

DE0001R Westerland
January 2020 - December 2020

Component	matrix	Arit mean	Arit sd	Geom mean	Geom sd	Min	50%	Max	% anal	Num bel	Num sampl
anthracene	air+pm10	0.03	0.03	0.03	2.07	0.01	0.02	0.09	99.7	0	12
benz_a_anthracene	air+pm10	0.02	0.04	0.01	3.41	0.00	0.01	0.16	99.7	0	12
benzo_a_pyrene	air+pm10	0.02	0.04	0.01	3.49	0.00	0.01	0.14	99.7	0	12
benzo_bjk_fluoranthenes	air+pm10	0.08	0.14	0.04	3.36	0.01	0.03	0.53	99.7	0	12
benzo_ghi_perylene	air+pm10	0.03	0.05	0.02	3.24	0.00	0.01	0.20	99.7	0	12
chrysene	air+pm10	0.05	0.08	0.03	2.68	0.01	0.02	0.31	99.7	0	12
chrysene_triphenylene	air+pm10	0.01	0.01	0.00	4.25	0.00	0.00	0.04	99.7	0	12
dibenzo_ah_anthracene	air+pm10	0.46	0.44	0.32	2.32	0.12	0.25	1.31	99.7	0	12
fluoranthene	air+pm10	0.03	0.06	0.01	3.41	0.00	0.01	0.20	99.7	0	12
indn_123cd_pyrene	air+pm10	0.03	0.03	0.03	2.07	0.01	0.02	0.09	99.7	0	12
phenanthrene	air+pm10	0.26	0.20	0.21	1.81	0.12	0.19	0.78	99.7	0	12
pyrene	air+pm10	0.03	0.03	0.03	2.07	0.01	0.02	0.09	99.7	0	12

DE0002R Waldhof
January 2020 - December 2020

Component	matrix	Arit mean	Arit sd	Geom mean	Geom sd	Min	50%	Max	% anal	Num bel	Num sampl
anthracene	air+pm10	0.04	0.06	0.02	2.72	0.01	0.02	0.22	99.7	0	12
benz_a_anthracene	air+pm10	0.10	0.20	0.04	4.52	0.00	0.05	0.72	99.7	0	12
benzo_a_pyrene	air+pm10	0.12	0.24	0.04	4.78	0.00	0.04	0.87	99.7	0	12
benzo_bjk_fluoranthenes	air+pm10	0.35	0.66	0.13	4.25	0.02	0.14	2.40	99.7	0	12
benzo_ghi_perylene	air+pm10	0.12	0.20	0.05	3.86	0.01	0.07	0.72	99.7	0	12
chrysene	air+pm10	0.20	0.34	0.09	3.65	0.01	0.12	1.27	99.7	0	12
chrysene_triphenylene	air+pm10	0.03	0.05	0.01	5.21	0.00	0.01	0.20	99.7	0	12
dibenzo_ah_anthracene	air+pm10	0.72	0.83	0.51	2.16	0.18	0.56	3.28	99.7	0	12
fluoranthene	air+pm10	0.15	0.26	0.06	4.31	0.01	0.07	0.96	99.7	0	12
indn_123cd_pyrene	air+pm10	0.04	0.06	0.02	2.72	0.01	0.02	0.22	99.7	0	12
phenanthrene	air+pm10	0.49	0.62	0.34	2.20	0.12	0.32	2.41	99.7	0	12
pyrene	air+pm10	0.04	0.04	0.04	2.20	0.12	0.32	2.41	99.7	0	12

DE0003R Schuainsland
January 2020 - December 2020

Component	matrix	Arit mean	Arit sd	Geom mean	Geom sd	Min	50%	Max	% anal	Num bel	Num sampl
anthracene	air+pm10	0.02	0.00	0.02	1.48	0.01	0.02	0.02	99.7	0	12
benz_a_anthracene	air+pm10	0.01	0.01	0.01	2.04	0.00	0.01	0.03	99.7	0	12
benzo_a_pyrene	air+pm10	0.01	0.01	0.01	1.69	0.00	0.01	0.03	99.7	0	12
benzo_bjk_fluoranthenes	air+pm10	0.05	0.03	0.04	1.94	0.01	0.04	0.11	99.7	0	12
benzo_ghi_perylene	air+pm10	0.02	0.01	0.02	1.90	0.01	0.02	0.04	99.7	0	12
chrysene	air+pm10	0.03	0.02	0.02	1.77	0.01	0.03	0.06	99.7	0	12
chrysene_triphenylene	air+pm10	0.00	0.00	0.00	2.30	0.00	0.00	0.00	99.7	0	12
dibenzo_ah_anthracene	air+pm10	0.20	0.05	0.19	1.30	0.13	0.19	0.29	99.7	0	12
fluoranthene	air+pm10	0.02	0.01	0.02	1.96	0.01	0.02	0.05	99.7	0	12
indn_123cd_pyrene	air+pm10	0.02	0.00	0.02	1.48	0.01	0.02	0.02	99.7	0	12
phenanthrene	air+pm10	0.11	0.04	0.10	1.43	0.06	0.10	0.18	99.7	0	12
pyrene	air+pm10	0.02	0.04	0.10	1.43	0.06	0.10	0.18	99.7	0	12

DE0008R Schm&ucke
January 2020 - December 2020

Component	matrix	Arit mean	Arit sd	Geom mean	Geom sd	Min	50%	Max	% anal	Num bel	Num sampl
anthracene	air+pm10	0.31	0.24	0.22	2.56	0.04	0.24	0.87	99.7	0	12
benz_a_anthracene	air+pm10	0.11	0.07	0.07	2.88	0.01	0.09	0.26	99.7	0	12
benzo_a_pyrene	air+pm10	0.08	0.06	0.06	2.83	0.01	0.06	0.19	99.7	0	12
benzo_bjk_fluoranthenes	air+pm10	0.25	0.15	0.19	2.40	0.03	0.20	0.49	99.7	0	12
benzo_ghi_perylene	air+pm10	0.10	0.07	0.07	2.62	0.01	0.08	0.22	99.7	0	12
chrysene	air+pm10	0.18	0.10	0.15	2.23	0.03	0.16	0.35	99.7	0	12
chrysene_triphenylene	air+pm10	0.01	0.01	0.01	2.79	0.00	0.01	0.03	99.7	0	12
dibenzo_ah_anthracene	air+pm10	0.99	0.60	0.82	2.03	0.24	0.86	2.19	99.7	0	12
fluoranthene	air+pm10	0.10	0.07	0.08	2.57	0.01	0.08	0.21	99.7	0	12
indn_123cd_pyrene	air+pm10	0.31	0.24	0.22	2.56	0.04	0.24	0.87	99.7	0	12
phenanthrene	air+pm10	0.79	0.48	0.65	2.03	0.19	0.76	1.84	99.7	0	12
pyrene	air+pm10	0.79	0.48	0.65	2.03	0.19	0.76	1.84	99.7	0	12

DE0009R Zingst
January 2020 - December 2020

Component	matrix	Arit mean	Arit sd	Geom mean	Geom sd	Min	50%	Max	% anal	Num bel	Num sampl
anthracene	air+pm10	0.05	0.08	0.02	5.56	0.00	0.02	0.30	99.7	0	12
benz_a_anthracene	air+pm10	0.14	0.38	0.03	5.28	0.00	0.03	1.35	99.7	0	12
benzo_a_pyrene	air+pm10	0.13	0.33	0.03	4.92	0.00	0.03	1.15	99.7	0	12
benzo_bjk_fluoranthenes	air+pm10	0.39	0.96	0.11	4.10	0.02	0.12	3.42	99.7	0	12
benzo_ghi_perylene	air+pm10	0.13	0.30	0.04	4.01	0.01	0.05	1.07	99.7	0	12
chrysene_triphenylene	air+pm10	0.23	0.53	0.08	3.66	0.02	0.07	1.92	99.7	0	12
dibenzo_ah_anthracene	air+pm10	0.02	0.04	0.01	4.60	0.00	0.01	0.15	99.7	0	12
fluoranthene	air+pm10	0.64	0.99	0.36	2.62	0.12	0.41	3.71	99.7	0	12
inden_123cd_pyrene	air+pm10	0.13	0.28	0.04	3.92	0.01	0.05	1.01	99.7	0	12
phenanthrene	air+pm10	0.05	0.08	0.02	5.56	0.00	0.02	0.30	99.7	0	12
pyrene	air+pm10	0.43	0.69	0.25	2.51	0.09	0.24	2.59	99.7	0	12

DK0010G Villum Research Station, Station Nord
January 2020 - December 2020

Component	matrix	Arit mean	Arit sd	Geom mean	Geom sd	Min	50%	Max	% anal	Num bel	Num sampl
HCB	air	65.95	25.59	62.10	1.42	43.30	50.80	106.10	21.0	0	11
PCB_101	air	11.70	23.93	4.61	3.24	1.66	2.83	82.56	21.0	0	11
PCB_114	air	0.09	0.08	0.03	8.67	0.00	0.06	0.27	21.0	2	11
PCB_118	air	2.37	3.15	1.47	2.53	0.48	1.21	11.48	21.0	0	11
PCB_138	air	2.01	2.90	1.20	2.52	0.42	1.03	10.40	21.0	0	11
PCB_153	air	4.03	6.98	1.93	2.93	0.72	1.39	24.16	21.0	0	11
PCB_170	air	0.00	0.00	0.00	1.00	0.00	0.00	0.00	21.0	11	11
PCB_180	air	0.03	0.11	0.00	7.33	0.00	0.00	0.37	21.0	10	11
PCB_194	air	0.00	0.00	0.00	1.00	0.00	0.00	0.00	21.0	11	11
PCB_206	air	0.00	0.00	0.00	1.00	0.00	0.00	0.00	21.0	11	11
PCB_209	air	0.00	0.00	0.00	1.00	0.00	0.00	0.00	21.0	11	11
PCB_28	air	26.57	44.55	9.60	4.03	1.97	4.63	147.60	21.0	0	11
PCB_3	air	0.76	0.93	0.45	2.94	0.08	0.42	3.35	21.0	0	11
PCB_52	air	13.68	25.67	6.37	2.94	2.52	5.09	89.98	21.0	0	11
aldrin	air	0.26	0.85	0.00	13.52	0.00	0.00	2.82	21.0	10	11
alpha_HCH	air	4.10	2.79	3.16	2.33	0.46	3.26	9.47	21.0	0	11
beta_HCH	air	0.00	0.00	0.00	1.00	0.00	0.00	0.00	21.0	11	11
cis_CD	air	0.47	0.21	0.44	1.52	0.27	0.37	0.90	21.0	0	11
cis_NO	air	0.00	0.00	0.00	1.00	0.00	0.00	0.00	21.0	11	11
dieldrin	air	0.13	0.43	0.00	11.04	0.00	0.00	1.44	21.0	10	11
endosulfan	air	0.09	0.30	0.00	6.51	0.00	0.00	1.00	21.0	10	11
endrin	air	0.00	0.00	0.00	1.00	0.00	0.00	0.00	21.0	11	11
gamma_HCH	air	2.31	2.85	1.54	2.39	0.39	1.67	10.60	21.0	0	11
heptachlor	air	0.56	1.36	0.16	3.77	0.03	0.16	4.65	21.0	0	11
heptachlorepoxyde	air	0.46	0.26	0.40	1.65	0.19	0.39	1.04	21.0	0	11
op_DDE	air	0.25	0.42	0.13	3.05	0.02	0.11	1.49	21.0	0	11
op_DDT	air	0.25	0.42	0.03	12.90	0.00	0.00	1.38	21.0	6	11
pp_DDD	air	0.19	0.31	0.03	9.82	0.00	0.07	1.01	21.0	5	11
pp_DDE	air	0.78	0.96	0.51	2.44	0.15	0.46	3.51	21.0	0	11
pp_DDT	air	0.25	0.42	0.03	12.90	0.00	0.00	1.38	21.0	6	11
trans_CD	air	0.24	0.25	0.17	2.12	0.07	0.14	0.92	21.0	0	11
trans_NO	air	0.26	0.13	0.15	6.86	0.00	0.26	0.53	21.0	1	11

EE0009R Lahemaa
January 2020 - December 2020

Component	matrix	Arit mean	Arit sd	Geom mean	Geom sd	Min	50%	Max	% anal	Num bel	Num sampl
benz_a_anthracene	pm10	0.07	0.08	0.07	2.52	0.00	0.04	0.32	82.8	9	51
benzo_a_pyrene	pm10	0.08	0.09	0.06	3.03	0.00	0.07	0.32	84.4	0	52
benzo_bjk_fluoranthenes	pm10	0.21	0.28	0.10	3.99	0.01	0.13	1.16	82.8	0	51
dibenzo_ah_anthracene	pm10	0.02	0.02	0.02	2.05	0.00	0.01	0.09	82.8	6	51
inden_123cd_perylene	pm10	0.11	0.13	0.06	3.42	0.01	0.08	0.45	82.8	0	51

ES0001R San Pablo de los Montes
January 2020 - December 2020

Component	matrix	Arit mean	Arit sd	Geom mean	Geom sd	Min	50%	Max	% anal	Num bel	Num sampl
acenaphthene	pm10	0.00	0.01	0.02	2.82	0.00	0.00	0.04	88.8	10	11
acenaphthylene	pm10	0.00	0.00	-	-	0.00	0.00	0.00	88.8	11	11
anthracene	pm10	0.00	0.00	0.00	2.46	0.00	0.00	0.01	88.8	6	11
benz_a_anthracene	pm10	0.00	0.00	0.00	1.23	0.00	0.00	0.00	88.8	11	11
benzo_a_pyrene	pm10	0.02	0.06	0.00	4.67	0.00	0.00	0.18	88.8	8	11
benzo_ghi_perylene	pm10	0.02	0.04	0.01	4.56	0.00	0.00	0.12	88.8	5	11
benzo_k_fluoranthene	pm10	0.02	0.04	0.01	4.50	0.00	0.00	0.09	88.8	6	11
chrysene	pm10	0.00	0.00	0.00	2.06	0.00	0.00	0.01	88.8	7	11
dibenzo_ah_anthracene	pm10	0.00	0.01	0.00	2.68	0.00	0.00	0.01	88.8	9	11
fluoranthene	pm10	0.01	0.02	0.01	3.00	0.00	0.00	0.05	88.8	6	11
fluorene	pm10	0.00	0.00	-	-	0.00	0.00	0.00	88.8	11	11
inden_123cd_pyrene	pm10	0.03	0.07	0.01	5.50	0.00	0.00	0.18	88.8	6	11
naphthalene	pm10	0.00	0.00	-	-	0.00	0.00	0.00	88.8	11	11
phenanthrene	pm10	0.01	0.01	0.01	1.92	0.00	0.00	0.02	88.8	5	11
pyrene	pm10	0.01	0.01	0.01	2.73	0.00	0.01	0.05	88.8	5	11

ES0007R VÄ-znar
January 2020 - December 2020

Component	matrix	Arit mean	Arit sd	Geom mean	Geom sd	Min	50%	Max	% anal	Num bel	Num sampl
acenaphthene	pm10	0.00	0.00	-	-	0.00	0.00	0.00	88.8	11	11
acenaphthylene	pm10	0.00	0.00	-	-	0.00	0.00	0.00	88.8	11	11
anthracene	pm10	0.00	0.00	0.00	1.74	0.00	0.00	0.01	88.8	4	11
benz_a_anthracene	pm10	0.00	0.00	0.00	1.44	0.00	0.00	0.01	88.8	9	11
benzo_a_pyrene	pm10	0.02	0.04	0.01	3.71	0.00	0.00	0.14	88.8	6	11
benzo_ghi_perylene	pm10	0.01	0.02	0.01	3.46	0.00	0.01	0.09	88.8	5	11
benzo_k_fluoranthene	pm10	0.02	0.04	0.01	4.50	0.00	0.00	0.12	88.8	5	11
chrysene	pm10	0.01	0.01	0.00	2.67	0.00	0.00	0.02	88.8	7	11
dibenzo_ah_anthracene	pm10	0.00	0.00	0.00	1.17	0.00	0.00	0.00	88.8	10	11
fluoranthene	pm10	0.01	0.01	0.01	2.48	0.00	0.00	0.04	88.8	7	11
fluorene	pm10	0.00	0.00	-	-	0.00	0.00	0.00	88.8	11	11
inden_123cd_pyrene	pm10	0.02	0.04	0.01	4.22	0.00	0.01	0.13	88.8	5	11
naphthalene	pm10	0.00	0.00	-	-	0.00	0.00	0.00	88.8	11	11
phenanthrene	pm10	0.00	0.01	0.01	2.23	0.00	0.00	0.02	88.8	6	11
pyrene	pm10	0.01	0.01	0.01	2.27	0.00	0.00	0.03	88.8	7	11

ES0008R Niembro
January 2020 - December 2020

Component	matrix	Arit mean	Arit sd	Geom mean	Geom sd	Min	50%	Max	% anal	Num bel	Num sampl
acenaphthene	pm10	0.00	0.01	0.01	1.63	0.00	0.00	0.02	88.8	11	11
acenaphthylene	pm10	0.00	0.00	-	-	0.00	0.00	0.00	88.8	11	11
anthracene	pm10	0.01	0.02	0.01	3.21	0.00	0.00	0.05	88.8	5	11
benz_a_anthracene	pm10	0.00	0.00	0.00	1.68	0.00	0.00	0.01	88.8	8	11
benzo_a_pyrene	pm10	0.03	0.04	0.01	5.03	0.00	0.00	0.13	88.8	7	11
benzo_ghi_peryleno	pm10	0.03	0.06	0.01	5.05	0.00	0.00	0.19	88.8	3	11
benzo_k_fluoranthene	pm10	0.04	0.06	0.01	5.83	0.00	0.01	0.20	88.8	4	11
chrysene	pm10	0.01	0.01	0.00	2.31	0.00	0.00	0.02	88.8	4	11
dibenzo_ah_anthracene	pm10	0.01	0.01	0.00	2.76	0.00	0.00	0.03	88.8	8	11
fluoranthene	pm10	0.02	0.04	0.01	4.00	0.00	0.00	0.12	88.8	7	11
fluorene	pm10	0.00	0.01	0.01	3.06	0.00	0.00	0.03	88.8	9	11
inden_123cd_pyrene	pm10	0.05	0.10	0.01	6.02	0.00	0.01	0.33	88.8	3	11
naphthalene	pm10	0.00	0.00	-	-	0.00	0.00	0.00	88.8	11	11
phenanthrene	pm10	0.03	0.02	0.03	1.84	0.00	0.02	0.07	88.8	2	11
pyrene	pm10	0.02	0.03	0.01	3.64	0.00	0.00	0.10	88.8	7	11

ES0012R Zarra
January 2020 - December 2020

Component	matrix	Arit mean	Arit sd	Geom mean	Geom sd	Min	50%	Max	% anal	Num bel	Num sampl
acenaphthene	pm10	0.00	0.00	-	-	0.00	0.00	0.00	88.8	11	11
acenaphthylene	pm10	0.00	0.00	-	-	0.00	0.00	0.00	88.8	11	11
anthracene	pm10	0.00	0.00	0.00	1.49	0.00	0.00	0.00	88.8	8	11
benz_a_anthracene	pm10	0.00	0.00	0.00	1.45	0.00	0.00	0.01	88.8	10	11
benzo_a_pyrene	pm10	0.01	0.01	0.00	2.62	0.00	0.00	0.03	88.8	7	11
benzo_ghi_peryleno	pm10	0.01	0.01	0.00	2.68	0.00	0.00	0.04	88.8	7	11
benzo_k_fluoranthene	pm10	0.01	0.01	0.00	3.00	0.00	0.00	0.04	88.8	7	11
chrysene	pm10	0.00	0.00	0.00	2.12	0.00	0.00	0.01	88.8	8	11
dibenzo_ah_anthracene	pm10	0.00	0.00	0.00	1.43	0.00	0.00	0.01	88.8	10	11
fluoranthene	pm10	0.01	0.02	0.01	3.12	0.00	0.00	0.05	88.8	8	11
fluorene	pm10	0.01	0.02	0.02	7.41	0.00	0.00	0.07	88.8	10	11
inden_123cd_pyrene	pm10	0.01	0.02	0.00	3.24	0.00	0.00	0.06	88.8	7	11
naphthalene	pm10	0.00	0.00	-	-	0.00	0.00	0.00	88.8	11	11
phenanthrene	pm10	0.00	0.01	0.01	1.77	0.00	0.00	0.02	88.8	6	11
pyrene	pm10	0.01	0.01	0.01	3.01	0.00	0.00	0.04	88.8	8	11

ES0014R Els Torms
January 2020 - December 2020

Component	matrix	Arit mean	Arit sd	Geom mean	Geom sd	Min	50%	Max	% anal	Num bel	Num sampl
acenaphthene	pm10	0.00	0.00	-	-	0.00	0.00	0.00	88.8	11	11
acenaphthylene	pm10	0.00	0.00	-	-	0.00	0.00	0.00	88.8	11	11
anthracene	pm10	0.00	0.00	0.00	2.12	0.00	0.01	0.01	88.8	4	11
benz_a_anthracene	pm10	0.00	0.00	0.00	1.69	0.00	0.00	0.01	88.8	8	11
benzo_a_pyrene	pm10	0.02	0.04	0.01	4.65	0.00	0.00	0.13	88.8	7	11
benzo_ghi_peryleno	pm10	0.01	0.03	0.00	4.00	0.00	0.00	0.09	88.8	7	11
benzo_k_fluoranthene	pm10	0.02	0.03	0.01	4.38	0.00	0.00	0.10	88.8	7	11
chrysene	pm10	0.01	0.01	0.00	2.44	0.00	0.00	0.02	88.8	6	11
dibenzo_ah_anthracene	pm10	0.00	0.00	0.00	2.35	0.00	0.00	0.01	88.8	8	11
fluoranthene	pm10	0.02	0.03	0.01	3.63	0.00	0.00	0.10	88.8	7	11
fluorene	pm10	0.00	0.00	-	-	0.00	0.00	0.00	88.8	11	11
inden_123cd_pyrene	pm10	0.02	0.05	0.01	4.93	0.00	0.00	0.15	88.8	7	11
naphthalene	pm10	0.00	0.00	-	-	0.00	0.00	0.00	88.8	11	11
phenanthrene	pm10	0.00	0.01	0.01	1.67	0.00	0.00	0.01	88.8	5	11
pyrene	pm10	0.02	0.03	0.01	3.83	0.00	0.00	0.11	88.8	7	11

FI0036R Pallas (Matorova)
January 2020 - December 2020

Component	matrix	Arit mean	Arit sd	Geom mean	Geom sd	Min	50%	Max	% anal	Num bel	Num sampl
BDE_100	air+aeerosol	0.02	0.00	0.02	1.00	0.02	0.02	0.02	98.9	12	12
BDE_153	air+aeerosol	0.03	0.00	0.03	1.00	0.03	0.03	0.03	98.9	12	12
BDE_154	air+aeerosol	0.03	0.00	0.03	1.00	0.03	0.03	0.03	98.9	12	12
BDE_209	air+aeerosol	0.14	0.07	0.13	1.46	0.10	0.10	0.33	98.9	6	12
BDE_47	air+aeerosol	0.02	0.01	0.02	1.34	0.02	0.02	0.05	98.9	9	12
BDE_85	air+aeerosol	0.03	0.00	0.03	1.00	0.03	0.03	0.03	98.9	12	12
BDE_99	air+aeerosol	0.02	0.00	0.02	1.00	0.02	0.02	0.02	98.9	12	12
FTS_6-2	air+aeerosol	0.05	0.00	0.05	1.00	0.05	0.05	0.05	98.9	0	12
HCB	air+aeerosol	14.20	5.15	13.35	1.43	10.00	10.00	20.00	98.9	0	12
PCB_101	air+aeerosol	0.25	0.15	0.22	1.72	0.12	0.18	0.52	98.9	0	12
PCB_118	air+aeerosol	0.08	0.04	0.08	1.48	0.05	0.07	0.15	98.9	0	12
PCB_138	air+aeerosol	0.07	0.04	0.06	1.72	0.03	0.07	0.14	98.9	3	12
PCB_153	air+aeerosol	0.08	0.04	0.07	1.51	0.05	0.07	0.14	98.9	0	12
PCB_180	air+aeerosol	0.03	0.00	0.03	1.00	0.03	0.03	0.03	98.9	12	12
PCB_28	air+aeerosol	0.40	0.12	0.38	1.33	0.27	0.35	0.60	98.9	0	12
PCB_52	air+aeerosol	0.44	0.24	0.38	1.68	0.20	0.35	0.90	98.9	0	12
PFBA	air+aeerosol	2.32	1.52	1.92	1.92	0.71	1.55	4.74	98.9	0	12
PFBS	air+aeerosol	0.05	0.00	0.05	1.00	0.05	0.05	0.05	98.9	0	12
PFDA	air+aeerosol	0.05	0.00	0.05	1.00	0.05	0.05	0.05	98.9	0	12
PFDCs	air+aeerosol	0.05	0.00	0.05	1.00	0.05	0.05	0.05	98.9	0	12
PFHpA	air+aeerosol	0.05	0.00	0.05	1.00	0.05	0.05	0.05	98.9	0	12
PFHXA	air+aeerosol	0.23	0.06	0.23	1.30	0.14	0.22	0.33	98.9	0	12
PFHXS	air+aeerosol	0.05	0.00	0.05	1.00	0.05	0.05	0.05	98.9	0	12
PFNA	air+aeerosol	0.05	0.00	0.05	1.00	0.05	0.05	0.05	98.9	0	12
PFOA	air+aeerosol	0.08	0.05	0.07	1.66	0.05	0.05	0.19	98.9	0	12
PFOs	air+aeerosol	0.05	0.00	0.05	1.00	0.05	0.05	0.05	98.9	0	12
PFOSA	air+aeerosol	0.05	0.00	0.05	1.00	0.05	0.05	0.05	98.9	0	12
PFUNA	air+aeerosol	0.05	0.00	0.05	1.00	0.05	0.05	0.05	98.9	0	12
alpha_HCH	air+aeerosol	2.08	0.67	1.98	1.40	1.14	1.93	2.96	98.9	0	12
alpha_endosulfan	air+aeerosol	0.25	0.15	0.21	1.82	0.09	0.21	0.53	98.9	0	12
anthracene	air+aeerosol	0.01	0.00	0.00	1.50	0.00	0.00	0.01	98.9	0	12
anthracene	pm10	0.00	0.00	0.00	2.05	0.00	0.00	0.01	100.0	7	13
benz_a_anthracene	air+aeerosol	0.00	0.00	0.00	1.77	0.00	0.00	0.01	98.9	0	12
benz_a_anthracene	pm10	0.01	0.01	0.01	3.02	0.00	0.01	0.06	100.0	5	13
benzo_a_pyrene	air+aeerosol	0.00	0.00	0.00	2.04	0.00	0.00	0.01	98.9	0	12
benzo_a_pyrene	pm10	0.02	0.02	0.01	2.08	0.01	0.01	0.10	100.0	10	13
benzo_b_fluoranthene	air+aeerosol	0.01	0.01	0.01	2.06	0.00	0.01	0.03	98.9	0	12
benzo_bjk_fluoranthenes	pm10	0.04	0.05	0.02	2.47	0.01	0.02	0.20	100.0	0	13
benzo_ghi_peryleno	air+aeerosol	0.00	0.01	0.00	2.37	0.00	0.00	0.02	98.9	0	12
benzo_k_fluoranthene	air+aeerosol	0.00	0.00	0.00	2.03	0.00	0.00	0.01	98.9	0	12
beta_endosulfan	air+aeerosol	0.05	0.00	0.05	1.00	0.05	0.05	0.05	98.9	12	12
chrysene	air+aeerosol	0.02	0.01	0.01	1.93	0.00	0.01	0.04	98.9	0	12
chrysene	pm10	0.02	0.02	0.01	1.98	0.01	0.01	0.07	100.0	0	13
dibenzo_ah_anthracene	air+aeerosol	0.00	0.00	0.00	2.29	0.00	0.00	0.00	98.9	0	12
fluoranthene	air+aeerosol	0.07	0.05	0.06	1.81	0.03	0.05	0.23	98.9	0	12
fluoranthene	pm10	0.04	0.04	0.03	2.34	0.01	0.04	0.17	100.0	5	13

FI0036R Pallas (Matorova) (cont.)
January 2020 - December 2020

Component	matrix	Arit mean	Arit sd	Geom mean	Geom sd	Min	50%	Max	% anal	Num bel	Num sampl
gamma_HCH	air+aerosol	0.55	0.30	0.47	1.74	0.19	0.43	1.07	98.9	0	12
inden_123cd_pyrene	air+aerosol	0.01	0.01	0.00	2.28	0.00	0.00	0.03	98.9	0	12
inden_123cd_pyrene	pm10	0.01	0.01	0.01	1.77	0.01	0.01	0.05	100.0	11	13
phenanthrene	air+aerosol	0.21	0.12	0.19	1.61	0.10	0.17	0.54	98.9	0	12
phenanthrene	pm10	0.02	0.02	0.01	2.18	0.01	0.01	0.07	100.0	6	13
pp_DDD	air+aerosol	0.03	0.01	0.03	1.33	0.02	0.03	0.05	98.9	11	12
pp_DDE	air+aerosol	0.25	0.15	0.22	1.77	0.11	0.22	0.58	98.9	0	12
pp_DDT	air+aerosol	0.04	0.02	0.04	1.57	0.02	0.04	0.08	98.9	1	12
pyrene	air+aerosol	0.04	0.02	0.03	1.69	0.02	0.03	0.10	98.9	0	12

FI0050R Hyttiälän
January 2020 - December 2020

Component	matrix	Arit mean	Arit sd	Geom mean	Geom sd	Min	50%	Max	% anal	Num bel	Num sampl
anthracene	pm10	0.01	0.01	0.01	2.22	0.00	0.01	0.02	100.0	4	13
benz_a_anthracene	pm10	0.06	0.03	0.05	1.82	0.01	0.06	0.15	100.0	0	13
benzo_a_pyrene	pm10	0.08	0.06	0.07	1.98	0.03	0.08	0.27	100.0	4	13
benzo_bk_fluoranthenes	pm10	0.17	0.14	0.14	1.98	0.04	0.16	0.60	100.0	0	13
benzo_ghi_perylene	pm10	0.09	0.07	0.07	2.00	0.02	0.08	0.31	100.0	1	13
chrysene	pm10	0.08	0.05	0.07	1.77	0.03	0.08	0.21	100.0	0	13
fluoranthene	pm10	0.18	0.13	0.15	2.14	0.04	0.19	0.48	100.0	0	13
inden_123cd_pyrene	pm10	0.07	0.04	0.06	1.79	0.02	0.07	0.15	100.0	0	13
phenanthrene	pm10	0.07	0.07	0.06	2.06	0.03	0.03	0.25	100.0	8	13
pyrene	pm10	0.18	0.11	0.15	1.99	0.04	0.19	0.45	100.0	0	13

FR0008R Donon
January 2020 - December 2020

Component	matrix	Arit mean	Arit sd	Geom mean	Geom sd	Min	50%	Max	% anal	Num bel	Num sampl
benz_a_anthracene	pm10	0.01	0.02	0.01	4.09	0.00	0.00	0.10	12.7	23	47
benzo_a_pyrene	pm10	0.03	0.04	0.01	3.48	0.00	0.01	0.18	12.7	16	47
benzo_b_fluoranthene	pm10	0.04	0.07	0.02	3.62	0.00	0.02	0.32	12.7	8	47
benzo_k_fluoranthene	pm10	0.02	0.03	0.01	3.00	0.00	0.01	0.12	12.7	23	47
dibenzo_ah_anthracene	pm10	0.01	0.01	0.01	2.05	0.00	0.00	0.04	12.7	32	47
inden_123cd_pyrene	pm10	0.03	0.05	0.02	3.72	0.00	0.01	0.22	12.7	16	47

FR0009R Revin
January 2020 - December 2020

Component	matrix	Arit mean	Arit sd	Geom mean	Geom sd	Min	50%	Max	% anal	Num bel	Num sampl
benz_a_anthracene	pm10	0.02	0.04	0.01	4.51	0.00	0.01	0.14	12.8	13	48
benzo_a_pyrene	pm10	0.05	0.07	0.02	4.09	0.00	0.02	0.22	12.8	12	48
benzo_b_fluoranthene	pm10	0.09	0.12	0.04	3.99	0.00	0.03	0.46	12.8	3	48
benzo_k_fluoranthene	pm10	0.03	0.05	0.02	3.66	0.00	0.01	0.17	12.8	14	48
dibenzo_ah_anthracene	pm10	0.01	0.02	0.01	2.91	0.00	0.00	0.06	12.6	28	47
inden_123cd_pyrene	pm10	0.07	0.09	0.03	4.19	0.00	0.02	0.31	12.6	7	47

FR0013R Peyrusse Vieille
January 2020 - December 2020

Component	matrix	Arit mean	Arit sd	Geom mean	Geom sd	Min	50%	Max	% anal	Num bel	Num sampl
benz_a_anthracene	pm10	0.01	0.01	0.00	3.58	0.00	0.00	0.06	12.8	24	48
benzo_a_pyrene	pm10	0.03	0.04	0.01	3.64	0.00	0.01	0.18	12.8	20	48
benzo_b_fluoranthene	pm10	0.05	0.07	0.02	4.50	0.00	0.02	0.35	12.8	15	48
benzo_k_fluoranthene	pm10	0.02	0.03	0.01	3.21	0.00	0.01	0.13	12.8	24	48
dibenzo_ah_anthracene	pm10	0.01	0.01	0.01	2.38	0.00	0.00	0.06	12.8	28	48
inden_123cd_pyrene	pm10	0.04	0.06	0.02	4.48	0.00	0.02	0.34	12.8	20	48

FR0023R Saint-Nazaire-le-Désert
January 2020 - December 2020

Component	matrix	Arit mean	Arit sd	Geom mean	Geom sd	Min	50%	Max	% anal	Num bel	Num sampl
benz_a_anthracene	pm10	0.03	0.08	0.01	5.62	0.00	0.01	0.40	12.6	17	47
benzo_a_pyrene	pm10	0.06	0.12	0.02	4.62	0.00	0.02	0.61	12.6	12	47
benzo_b_fluoranthene	pm10	0.09	0.15	0.04	4.45	0.00	0.04	0.79	12.6	6	47
benzo_k_fluoranthene	pm10	0.04	0.07	0.02	4.06	0.00	0.02	0.35	12.6	17	47
dibenzo_ah_anthracene	pm10	0.01	0.02	0.01	2.73	0.00	0.01	0.09	12.6	23	47
inden_123cd_pyrene	pm10	0.07	0.11	0.03	4.88	0.00	0.04	0.51	12.6	13	47

FR0025R Verneuil
January 2020 - December 2020

Component	matrix	Arit mean	Arit sd	Geom mean	Geom sd	Min	50%	Max	% anal	Num bel	Num sampl
benz_a_anthracene	pm10	0.03	0.13	0.01	5.46	0.00	0.00	0.82	12.0	21	45
benzo_a_pyrene	pm10	0.06	0.17	0.02	5.12	0.00	0.01	1.06	12.3	16	46
benzo_b_fluoranthene	pm10	0.10	0.22	0.03	5.56	0.00	0.02	1.12	12.3	10	46
benzo_k_fluoranthene	pm10	0.04	0.09	0.01	4.51	0.00	0.01	0.45	12.3	20	46
dibenzo_ah_anthracene	pm10	0.02	0.03	0.01	3.29	0.00	0.00	0.16	12.3	28	46
inden_123cd_pyrene	pm10	0.08	0.16	0.03	5.51	0.00	0.02	0.82	12.3	14	46

FR0028R Kergoff
January 2020 - December 2020

Component	matrix	Arit mean	Arit sd	Geom mean	Geom sd	Min	50%	Max	% anal	Num bel	Num sampl
benz_a_anthracene	pm10	0.01	0.02	0.00	3.31	0.00	0.00	0.09	11.6	28	43
benzo_a_pyrene	pm10	0.02	0.03	0.01	3.07	0.00	0.00	0.16	11.6	26	43
benzo_b_fluoranthene	pm10	0.04	0.07	0.01	4.17	0.00	0.01	0.36	11.6	18	43
benzo_k_fluoranthene	pm10	0.01	0.02	0.01	2.84	0.00	0.00	0.14	11.6	25	43
dibenzo_ah_anthracene	pm10	0.01	0.01	0.00	1.90	0.00	0.00	0.03	11.4	32	42
inden_123cd_pyrene	pm10	0.03	0.05	0.01	3.71	0.00	0.01	0.26	11.6	18	43

GB0014R High Muffles
January 2020 - December 2020

Component	matrix	Arit mean	Arit sd	Geom mean	Geom sd	Min	50%	Max	% anal	Num bel	Num sampl
benz_a_anthracene	aerosol	0.02	0.02	0.01	3.16	0.00	0.01	0.06	100.0	0	12
benzo_a_pyrene	aerosol	0.03	0.03	0.02	2.91	0.00	0.02	0.10	100.0	0	12
benzo_b_fluoranthene	aerosol	0.07	0.07	0.04	3.10	0.01	0.05	0.21	100.0	0	12
benzo_e_pyrene	aerosol	0.06	0.06	0.04	3.22	0.01	0.04	0.17	100.0	0	12
benzo_ghi_perylene	aerosol	0.07	0.07	0.05	2.83	0.01	0.06	0.20	100.0	0	12
benzo_k_fluoranthene	aerosol	0.03	0.03	0.02	3.13	0.00	0.02	0.09	100.0	0	12
chrysene	aerosol	0.05	0.04	0.03	3.23	0.01	0.03	0.12	100.0	0	12
cyclopenta_cd_pyrene	aerosol	0.01	0.01	0.01	3.35	0.00	0.01	0.02	100.0	0	12
dibenzo_ah_anthracene	aerosol	0.01	0.01	0.01	2.80	0.00	0.01	0.03	100.0	0	12
dibenzo_ai_pyrene	aerosol	0.00	0.00	0.00	2.24	0.00	0.00	0.01	100.0	0	12
inden_123cd_pyrene	aerosol	0.05	0.04	0.03	2.85	0.01	0.04	0.14	100.0	0	12

GB0048R Auchencorth Moss
January 2020 - December 2020

Component	matrix	Arit mean	Arit sd	Geom mean	Geom sd	Min	50%	Max	% anal	Num bel	Num sampl
benz_a anthracene	pm10	0.01	0.01	0.00	2.89	0.00	0.00	0.03	100.0	0	12
benzo_a pyrene	pm10	0.01	0.01	0.01	2.36	0.00	0.01	0.03	100.0	0	12
benzo_b fluoranthene	pm10	0.03	0.02	0.02	2.44	0.00	0.02	0.07	100.0	0	12
benzo_e pyrene	pm10	0.03	0.02	0.02	2.61	0.00	0.02	0.07	100.0	0	12
benzo_ghi perylene	pm10	0.03	0.02	0.03	2.20	0.01	0.03	0.07	100.0	0	12
benzo_k fluoranthene	pm10	0.01	0.01	0.01	2.47	0.00	0.01	0.03	100.0	0	12
chrysene	pm10	0.02	0.01	0.01	2.66	0.00	0.01	0.05	100.0	0	12
cyclopenta_cd pyrene	pm10	0.00	0.00	0.00	2.10	0.00	0.00	0.01	100.0	0	12
dibenzo_ae pyrene	pm10	0.00	0.00	0.00	2.20	0.00	0.00	0.01	100.0	0	12
dibenzo_ah anthracene	pm10	0.00	0.00	0.00	2.17	0.00	0.00	0.01	100.0	0	12
dibenzo_ah pyrene	pm10	0.00	0.00	0.00	1.41	0.00	0.00	0.00	100.0	3	12
dibenzo_ai pyrene	pm10	0.00	0.00	0.00	1.53	0.00	0.00	0.00	100.0	0	12
indén_123cd pyrene	pm10	0.02	0.01	0.02	2.10	0.01	0.02	0.05	100.0	0	12

GB1055R Chilbolton Observatory
January 2020 - December 2020

Component	matrix	Arit mean	Arit sd	Geom mean	Geom sd	Min	50%	Max	% anal	Num bel	Num sampl
benz_a anthracene	pm10	0.04	0.05	0.02	3.42	0.00	0.02	0.13	100.0	0	12
benzo_a pyrene	pm10	0.06	0.07	0.03	3.08	0.01	0.03	0.23	100.0	0	12
benzo_b fluoranthene	pm10	0.11	0.11	0.07	2.76	0.02	0.06	0.35	100.0	0	12
benzo_e pyrene	pm10	0.09	0.09	0.06	2.73	0.01	0.05	0.31	100.0	0	12
benzo_ghi perylene	pm10	0.10	0.10	0.07	2.48	0.02	0.06	0.34	100.0	0	12
benzo_k fluoranthene	pm10	0.05	0.05	0.03	2.89	0.01	0.03	0.17	100.0	0	12
chrysene	pm10	0.08	0.08	0.04	3.11	0.01	0.04	0.24	100.0	0	12
cyclopenta_cd pyrene	pm10	0.02	0.03	0.01	4.10	0.00	0.01	0.07	100.0	0	12
dibenzo_ae pyrene	pm10	0.01	0.01	0.01	2.39	0.00	0.01	0.05	100.0	0	12
dibenzo_ah anthracene	pm10	0.02	0.02	0.01	2.60	0.00	0.01	0.05	100.0	0	12
dibenzo_ah pyrene	pm10	0.00	0.00	0.00	1.78	0.00	0.00	0.00	100.0	0	12
dibenzo_ai pyrene	pm10	0.01	0.00	0.00	2.57	0.00	0.00	0.02	100.0	0	12
indén_123cd pyrene	pm10	0.07	0.07	0.05	2.68	0.01	0.04	0.24	100.0	0	12

HR0002R Puntijarka
January 2020 - December 2020

Component	matrix	Arit mean	Arit sd	Geom mean	Geom sd	Min	50%	Max	% anal	Num bel	Num sampl
benz_a anthracene	aerosol	0.07	0.11	0.03	3.16	0.01	0.03	0.84	89.3	124	327
benzo_a pyrene	aerosol	0.06	0.08	0.03	2.82	0.01	0.03	0.54	89.3	107	327
benzo_bjk fluoranthenes	aerosol	0.12	0.16	0.07	2.78	0.03	0.07	1.00	89.3	143	327
benzo_ghi perylene	aerosol	0.06	0.07	0.03	2.87	0.01	0.03	0.52	89.3	112	327
chrysene	aerosol	0.10	0.13	0.05	3.14	0.01	0.05	0.78	89.3	62	327
indén_123cd pyrene	aerosol	0.10	0.14	0.05	3.49	0.01	0.05	1.03	89.3	93	327

IS0091R Storzofdi
January 2020 - December 2020

Component	matrix	Arit mean	Arit sd	Geom mean	Geom sd	Min	50%	Max	% anal	Num bel	Num sampl
BDE_100	air+aerosol	0.10	0.02	0.10	1.20	0.07	0.11	0.12	67.2	15	15
BDE_47	air+aerosol	0.10	0.02	0.10	1.20	0.07	0.11	0.12	67.2	15	15
BDE_99	air+aerosol	0.10	0.02	0.10	1.20	0.07	0.11	0.12	67.2	15	15
HCB	air+aerosol	3.61	1.04	3.62	1.34	2.01	3.66	5.30	67.2	0	15
PCB_101	air+aerosol	0.74	0.14	0.74	1.21	0.55	0.79	0.97	42.1	6	10
PCB_105	air+aerosol	0.10	0.02	0.10	1.20	0.07	0.11	0.12	42.1	10	10
PCB_118	air+aerosol	0.25	0.10	0.22	1.64	0.11	0.28	0.37	42.1	3	10
PCB_138	air+aerosol	0.10	0.02	0.10	1.20	0.07	0.11	0.12	42.1	10	10
PCB_153	air+aerosol	0.21	0.04	0.22	1.21	0.15	0.22	0.32	42.1	0	10
PCB_156	air+aerosol	0.10	0.02	0.10	1.20	0.07	0.11	0.12	67.2	15	15
PCB_180	air+aerosol	0.10	0.02	0.10	1.20	0.07	0.11	0.12	67.2	15	15
PCB_28	air+aerosol	2.20	0.48	2.14	1.27	1.32	2.16	2.87	42.1	0	10
PCB_31	air+aerosol	2.78	0.55	2.73	1.24	1.75	2.81	3.57	42.1	0	10
PCB_52	air+aerosol	1.12	0.20	1.10	1.22	0.73	1.16	1.32	42.1	0	10
alpha_HCH	air+aerosol	1.71	0.45	1.72	1.30	0.97	1.77	2.53	67.2	0	15
beta_HCH	air+aerosol	0.47	0.26	0.42	1.83	0.10	0.44	0.99	67.2	1	15
cis_CD	air+aerosol	0.63	0.07	0.62	1.13	0.44	0.64	0.70	67.2	0	15
dieldrin	air+aerosol	0.52	0.08	0.51	1.18	0.35	0.54	0.64	67.2	0	15
gamma_HCH	air+aerosol	0.77	0.17	0.77	1.24	0.54	0.76	1.04	42.1	0	10
op_DDT	air+aerosol	0.10	0.02	0.10	1.20	0.07	0.11	0.12	67.2	15	15
pp_DDD	air+aerosol	0.10	0.02	0.10	1.20	0.07	0.11	0.12	67.2	15	15
pp_DDE	air+aerosol	0.16	0.10	0.15	1.69	0.07	0.11	0.41	67.2	9	15
pp_DDT	air+aerosol	0.19	0.03	0.20	1.20	0.14	0.21	0.23	67.2	15	15
trans_CD	air+aerosol	0.14	0.04	0.13	1.34	0.10	0.11	0.21	42.1	7	10
trans_NO	air+aerosol	0.49	0.09	0.48	1.19	0.35	0.47	0.64	67.2	0	15

LV0010R Rucava
January 2020 - December 2020

Component	matrix	Arit mean	Arit sd	Geom mean	Geom sd	Min	50%	Max	% anal	Num bel	Num sampl
benz_a anthracene	pm10	0.30	0.29	0.18	2.83	0.04	0.18	0.97	47.3	0	25
benzo_a pyrene	pm10	0.21	0.24	0.10	4.28	0.00	0.12	0.88	47.3	3	25
benzo_b fluoranthene	pm10	0.29	0.32	0.16	3.15	0.03	0.15	1.25	47.3	1	25
benzo_k fluoranthene	pm10	0.17	0.18	0.09	3.24	0.02	0.09	0.72	47.3	6	25
dibenzo_ah anthracene	pm10	0.03	0.04	0.02	3.21	0.01	0.01	0.17	47.3	17	25
indén_123cd pyrene	pm10	0.25	0.28	0.11	4.59	0.01	0.15	1.05	47.3	7	25

NO0002R Birkenes II
January 2020 - December 2020

Component	matrix	Arit mean	Arit sd	Geom mean	Geom sd	Min	50%	Max	% anal	Num bel	Num sampl
1-methylnaphthalene	air+aerosol	0.05	0.08	0.03	2.42	0.01	0.03	0.47	14.0	12	52
1-methylphenanthrene	air+aerosol	0.04	0.06	0.03	2.02	0.01	0.03	0.47	13.4	0	50
2-methylantracene	air+aerosol	0.00	0.00	0.00	1.36	0.00	0.00	0.01	11.5	40	43
2-methylnaphthalene	air+aerosol	0.06	0.09	0.04	2.39	0.01	0.04	0.51	14.0	7	52
2-methylphenanthrene	air+aerosol	0.05	0.04	0.04	1.92	0.01	0.04	0.28	14.0	0	52
3-methylphenanthrene	air+aerosol	0.05	0.03	0.04	1.90	0.01	0.04	0.17	14.0	0	52
9-methylphenanthrene	air+aerosol	0.02	0.01	0.01	1.79	0.01	0.01	0.07	14.0	0	52
BDE_100	air+aerosol	0.01	0.00	0.00	1.68	0.00	0.00	0.01	45.6	1	12
BDE_119	air+aerosol	0.00	0.00	0.00	1.51	0.00	0.00	0.01	45.6	9	12
BDE_138	air+aerosol	0.00	0.00	0.00	1.63	0.00	0.00	0.01	45.6	11	12
BDE_153	air+aerosol	0.01	0.01	0.00	1.91	0.00	0.00	0.02	45.6	4	12
BDE_154	air+aerosol	0.00	0.00	0.00	1.97	0.00	0.00	0.02	45.6	4	12
BDE_183	air+aerosol	0.02	0.03	0.01	3.63	0.00	0.01	0.10	41.3	3	11
BDE_196	air+aerosol	0.01	0.01	0.01	2.18	0.00	0.00	0.05	45.6	10	12
BDE_206	air+aerosol	0.07	0.04	0.06	1.45	0.05	0.05	0.20	45.6	8	12
BDE_209	air+aerosol	0.64	0.16	0.62	1.22	0.56	0.58	1.14	45.6	9	12
BDE_28	air+aerosol	0.01	0.00	0.01	1.63	0.00	0.01	0.02	45.6	0	12
BDE_47	air+aerosol	0.06	0.03	0.05	1.78	0.02	0.06	0.14	45.6	0	12
BDE_49	air+aerosol	0.01	0.01	0.01	2.01	0.00	0.01	0.04	45.6	0	12

NO0002R Birkenes II (cont.)
 January 2020 - December 2020

Component	matrix	Arit mean	Arit sd	Geom mean	Geom sd	Min	50%	Max	% anal	Num bel	Num sampl
BDE_66	air+aerosol	0.01	0.01	0.00	2.32	0.00	0.00	0.05	41.3	1	11
BDE_71	air+aerosol	0.01	0.01	0.00	3.29	0.00	0.00	0.05	45.6	6	12
BDE_77	air+aerosol	0.00	0.00	0.00	1.17	0.00	0.00	0.00	45.6	10	12
BDE_85	air+aerosol	0.00	0.00	0.00	1.48	0.00	0.00	0.00	45.6	8	12
BDE_99	air+aerosol	0.02	0.01	0.02	1.54	0.01	0.02	0.04	45.6	0	12
FTS_6-2	air+aerosol	0.05	0.04	0.05	1.52	0.04	0.04	0.17	100.0	10	12
HCB	air+aerosol	36.47	10.70	33.34	1.81	0.90	37.50	54.90	13.4	1	49
PCB_101	air+aerosol	0.44	0.35	0.33	2.16	0.02	0.32	1.53	13.4	1	49
PCB_105	air+aerosol	0.03	0.03	0.02	2.14	0.00	0.02	0.16	12.6	2	46
PCB_114	air+aerosol	0.00	0.00	0.00	1.65	0.00	0.00	0.02	12.6	25	46
PCB_118	air+aerosol	0.11	0.10	0.09	2.10	0.01	0.09	0.52	13.1	1	48
PCB_122	air+aerosol	0.00	0.00	0.00	1.61	0.00	0.00	0.01	12.0	27	44
PCB_123	air+aerosol	0.00	0.00	0.00	1.62	0.00	0.00	0.02	12.6	18	46
PCB_128	air+aerosol	0.02	0.01	0.01	2.19	0.00	0.01	0.07	12.6	7	46
PCB_138	air+aerosol	0.16	0.14	0.12	2.13	0.03	0.12	0.64	13.4	0	49
PCB_141	air+aerosol	0.04	0.04	0.03	2.35	0.00	0.03	0.20	12.6	2	46
PCB_149	air+aerosol	0.29	0.26	0.21	2.26	0.02	0.20	1.11	13.4	1	49
PCB_153	air+aerosol	0.26	0.22	0.20	2.12	0.05	0.18	0.95	13.1	0	48
PCB_156	air+aerosol	0.01	0.01	0.01	1.89	0.00	0.00	0.03	12.9	12	47
PCB_157	air+aerosol	0.00	0.00	0.00	1.22	0.00	0.00	0.01	13.4	42	49
PCB_167	air+aerosol	0.01	0.00	0.00	1.70	0.00	0.00	0.02	12.3	18	45
PCB_170	air+aerosol	0.02	0.01	0.01	2.10	0.01	0.01	0.07	13.4	9	49
PCB_18	air+aerosol	1.06	0.88	0.81	2.14	0.06	0.74	4.81	13.4	1	49
PCB_180	air+aerosol	0.05	0.04	0.04	2.18	0.01	0.03	0.21	12.6	1	46
PCB_183	air+aerosol	0.02	0.02	0.02	2.12	0.00	0.01	0.08	12.3	2	45
PCB_187	air+aerosol	0.06	0.05	0.05	2.10	0.01	0.04	0.21	13.1	1	48
PCB_189	air+aerosol	0.00	0.00	0.00	1.15	0.00	0.00	0.01	13.4	45	49
PCB_194	air+aerosol	0.00	0.00	0.00	1.60	0.00	0.00	0.02	12.9	36	47
PCB_206	air+aerosol	0.01	0.00	0.01	1.11	0.01	0.01	0.01	13.1	45	48
PCB_209	air+aerosol	0.00	0.00	0.00	1.34	0.00	0.00	0.01	13.1	34	48
PCB_28	air+aerosol	0.65	0.59	0.49	2.14	0.04	0.44	3.31	13.4	1	49
PCB_31	air+aerosol	0.60	0.50	0.46	2.10	0.04	0.41	2.80	13.4	1	49
PCB_33	air+aerosol	0.33	0.30	0.24	2.13	0.03	0.22	1.65	13.4	1	49
PCB_37	air+aerosol	0.06	0.06	0.04	2.22	0.01	0.04	0.32	13.1	1	48
PCB_47	air+aerosol	0.63	0.42	0.51	1.94	0.05	0.45	2.20	13.4	1	49
PCB_52	air+aerosol	0.69	0.49	0.55	2.01	0.04	0.50	2.31	13.4	1	49
PCB_66	air+aerosol	0.17	0.14	0.13	2.15	0.01	0.12	0.75	13.4	1	49
PCB_74	air+aerosol	0.12	0.10	0.10	2.08	0.01	0.09	0.54	13.4	1	49
PCB_99	air+aerosol	0.15	0.12	0.12	2.06	0.01	0.11	0.62	13.1	1	48
PFBS	air+aerosol	0.02	0.00	0.02	1.00	0.02	0.02	0.02	100.0	12	12
PFHpA	air+aerosol	0.07	0.04	0.06	1.51	0.05	0.05	0.20	100.0	9	12
PFHxA	air+aerosol	0.08	0.06	0.06	1.66	0.05	0.05	0.24	100.0	9	12
PFHxS	air+aerosol	0.02	0.00	0.02	1.00	0.02	0.02	0.02	100.0	12	12
PFNA	air+aerosol	0.07	0.05	0.07	1.57	0.05	0.05	0.21	100.0	8	12
PFOA	air+aerosol	0.12	0.09	0.09	1.81	0.06	0.07	0.36	100.0	0	12
TBA	air+aerosol	4.27	2.12	3.71	1.77	1.27	4.46	8.61	45.6	0	12
a_HBCD	air+aerosol	0.01	0.01	0.01	2.13	0.00	0.01	0.04	41.3	5	11
acenaphthene	air+aerosol	0.08	0.09	0.06	2.35	0.01	0.04	0.41	14.0	0	52
acenaphthylene	air+aerosol	0.02	0.03	0.01	3.36	0.00	0.01	0.18	14.0	4	52
alpha_HCH	air+aerosol	3.81	2.21	3.34	1.67	1.96	3.06	9.24	3.0	0	11
anthanthrene	air+aerosol	0.00	0.00	0.00	1.74	0.00	0.00	0.01	14.0	39	52
anthracene	air+aerosol	0.01	0.04	0.01	2.84	0.00	0.01	0.27	12.9	6	48
b_HBCD	air+aerosol	0.00	0.00	0.00	1.73	0.00	0.00	0.01	41.3	11	11
benz_a_anthracene	air+aerosol	0.01	0.01	0.01	3.03	0.00	0.01	0.07	14.0	4	52
benzo_a_fluoranthene	air+aerosol	0.00	0.00	0.00	2.04	0.00	0.00	0.03	14.0	28	52
benzo_a_fluorene	air+aerosol	0.01	0.01	0.01	2.55	0.00	0.01	0.05	14.0	4	52
benzo_a_pyrene	air+aerosol	0.01	0.01	0.00	2.98	0.00	0.00	0.09	14.0	6	52
benzo_b_fluoranthene	air+aerosol	0.04	0.04	0.02	3.06	0.00	0.02	0.19	14.0	0	52
benzo_b_fluorene	air+aerosol	0.01	0.01	0.00	2.43	0.00	0.00	0.03	13.4	6	50
benzo_e_pyrene	air+aerosol	0.02	0.02	0.01	2.84	0.00	0.02	0.10	14.0	1	52
benzo_ghi_fluoranthene	air+aerosol	-	-	-	-	-	-	0.0	0	0	0
benzo_ghi_perylene	air+aerosol	0.02	0.02	0.01	2.56	0.00	0.01	0.13	14.0	0	52
benzo_k_fluoranthene	air+aerosol	0.01	0.01	0.01	2.94	0.00	0.01	0.08	14.0	5	52
biphenyl	air+aerosol	0.12	0.18	0.07	3.01	0.01	0.08	0.95	14.0	1	52
chrysene	air+aerosol	0.03	0.03	0.02	2.54	0.00	0.02	0.15	14.0	0	52
coronene	air+aerosol	0.01	0.01	0.00	2.39	0.00	0.01	0.04	14.0	3	52
cyclopenta_cd_pyrene	air+aerosol	0.00	0.00	0.00	1.00	0.00	0.00	0.00	1.9	7	7
dibenzo_ae_pyrene	air+aerosol	0.00	0.00	0.00	2.24	0.00	0.00	0.02	13.7	12	51
dibenzo_ah_anthracene	air+aerosol	0.00	0.00	0.00	2.10	0.00	0.00	0.02	14.0	15	52
dibenzo_ah_pyrene	air+aerosol	0.00	0.00	0.00	1.41	0.00	0.00	0.01	14.0	50	52
dibenzo_ai_pyrene	air+aerosol	0.00	0.00	0.00	1.42	0.00	0.00	0.00	14.0	47	52
dibenzofuran	air+aerosol	0.49	0.61	0.33	2.39	0.04	0.36	3.47	14.0	0	52
dibenzothiophene	air+aerosol	0.03	0.02	0.02	2.34	0.00	0.02	0.07	14.0	0	52
fluoranthene	air+aerosol	0.18	0.16	0.14	2.04	0.03	0.12	0.89	14.0	0	52
fluorene	air+aerosol	0.42	0.51	0.29	2.25	0.04	0.29	2.89	14.0	0	52
g_HBCD	air+aerosol	0.01	0.01	0.00	1.84	0.00	0.00	0.02	41.3	11	11
gamma_HCH	air+aerosol	2.68	2.81	1.86	2.32	0.53	1.56	10.60	3.6	0	13
inden_123cd_pyrene	air+aerosol	0.02	0.02	0.01	2.81	0.00	0.01	0.14	14.0	1	52
naphthalene	air+aerosol	0.13	0.24	0.06	2.67	0.03	0.05	1.36	14.0	20	52
op_DDD	air+aerosol	0.02	0.01	0.02	1.79	0.01	0.02	0.06	3.6	1	13
op_DDE	air+aerosol	0.07	0.06	0.05	2.17	0.02	0.05	0.20	3.6	0	13
op_DDT	air+aerosol	0.23	0.23	0.16	2.33	0.06	0.12	0.77	3.6	0	13
perylene	air+aerosol	0.00	0.00	0.00	1.71	0.00	0.00	0.01	14.0	33	52
phenanthrene	air+aerosol	0.80	0.58	0.65	1.86	0.18	0.62	3.03	14.0	0	52
pp_DDD	air+aerosol	0.01	0.01	0.01	1.85	0.01	0.01	0.05	3.6	4	13
pp_DDE	air+aerosol	1.01	0.89	0.75	2.24	0.20	0.63	3.02	3.6	0	13
pp_DDT	air+aerosol	0.26	0.24	0.18	2.36	0.05	0.13	0.79	3.6	0	13
pyrene	air+aerosol	0.09	0.07	0.07	2.10	0.02	0.06	0.37	14.0	0	52
retene	air+aerosol	0.05	0.08	0.03	2.23	0.01	0.04	0.59	14.0	0	52
sum_DDT	air+aerosol	1.61	1.34	1.20	2.19	0.38	0.94	4.69	3.6	0	13
sum_PCB	air+aerosol	9.33	7.36	6.70	3.07	0.01	6.24	37.58	13.4	0	49
sum_heptachlor_PCB	air+aerosol	0.19	0.16	0.14	2.19	0.04	0.13	0.65	13.1	0	48
sum_hexachlor_PCB	air+aerosol	0.95	0.83	0.70	2.15	0.14	0.64	3.66	13.1	0	48
sum_pentachlor_PCB	air+aerosol	1.28	1.03	0.99	2.02	0.18	0.91	4.60	13.1	0	48
sum_tetrachlor_PCB	air+aerosol	3.11	2.20	2.58	1.80	0.95	2.27	11.30	13.1	0	48
sum_trichlor_PCB	air+aerosol	3.98	3.45	3.09	1.97	0.75	2.64	19.10	13.1	0	48

NO0042G Zeppelin mountain (Ny-Å..lesund)
 January 2020 - December 2020

Component	matrix	Arit mean	Arit sd	Geom mean	Geom sd	Min	50%	Max	% anal	Num bel	Num sampl
1-methylnaphthalene	air+aerosol	0.08	0.11	0.04	3.11	0.01	0.03	0.46	29.1	3	51
1-methylphenanthrene	air+aerosol	0.00	0.00	0.00	1.65	0.00	0.00	0.01	29.1	17	51
2-methylantracene	air+aerosol	0.00	0.00	0.00	1.27	0.00	0.00	0.00	20.8	36	37
2-methylnaphthalene	air+aerosol	0.09	0.11	0.05	2.74	0.01	0.04	0.48	29.1	0	51
2-methylphenanthrene	air+aerosol	0.00	0.00	0.00	1.74	0.00	0.00	0.01	29.1	4	51
3-methylphenanthrene	air+aerosol	0.00	0.00	0.00	1.66	0.00	0.00	0.01	29.1	9	51
9-methylphenanthrene	air+aerosol	0.00	0.00	0.00	1.41	0.00	0.00	0.00	29.1	20	51
BDE_100	air+aerosol	0.01	0.01	0.01	1.82	0.00	0.01	0.04	39.4	0	47
BDE_119	air+aerosol	0.00	0.00	0.00	1.25	0.00	0.00	0.01	43.0	50	51
BDE_138	air+aerosol	0.00	0.00	0.00	1.21	0.00	0.00	0.00	43.0	51	51
BDE_153	air+aerosol	0.00	0.00	0.00	1.42	0.00	0.00	0.02	42.1	43	50
BDE_154	air+aerosol	0.00	0.00	0.00	1.36	0.00	0.00	0.01	42.1	40	50
BDE_183	air+aerosol	0.00	0.01	0.00	1.59	0.00	0.00	0.05	41.3	44	49
BDE_196	air+aerosol	0.01	0.01	0.01	1.62	0.00	0.01	0.03	42.4	48	50
BDE_206	air+aerosol	0.31	0.41	0.17	2.79	0.06	0.11	1.97	42.4	22	50
BDE_209	air+aerosol	28.36	142.62	6.56	5.07	0.75	5.83	1020.00	43.0	5	51
BDE_28	air+aerosol	0.01	0.00	0.01	1.59	0.00	0.01	0.03	41.3	1	49
BDE_47	air+aerosol	0.12	0.07	0.10	1.79	0.03	0.12	0.36	43.0	0	51
BDE_49	air+aerosol	0.01	0.01	0.00	1.92	0.00	0.00	0.07	39.7	3	47
BDE_66	air+aerosol	0.01	0.03	0.00	2.46	0.00	0.00	0.20	41.0	26	49
BDE_71	air+aerosol	0.00	0.01	0.00	1.94	0.00	0.00	0.07	41.0	45	49
BDE_77	air+aerosol	0.00	0.00	0.00	1.10	0.00	0.00	0.00	43.0	50	51
BDE_85	air+aerosol	0.00	0.00	0.00	1.31	0.00	0.00	0.01	43.0	47	51
BDE_99	air+aerosol	0.03	0.03	0.02	2.05	0.01	0.02	0.14	43.0	2	51
FTS_6-2	air+aerosol	0.04	0.00	0.04	1.00	0.04	0.04	0.04	100.0	12	12
HCB	air+aerosol	54.52	9.04	53.81	1.19	33.40	55.10	73.70	27.9	0	51
PCB_101	air+aerosol	0.24	0.12	0.22	1.43	0.13	0.22	0.85	27.9	0	51
PCB_105	air+aerosol	0.03	0.03	0.02	1.83	0.01	0.02	0.16	27.9	1	51
PCB_114	air+aerosol	0.00	0.00	0.00	1.92	0.00	0.00	0.02	25.3	13	46
PCB_118	air+aerosol	0.09	0.08	0.07	1.73	0.03	0.07	0.41	27.9	0	51
PCB_122	air+aerosol	0.00	0.00	0.00	1.91	0.00	0.00	0.03	25.8	29	47
PCB_123	air+aerosol	0.00	0.00	0.00	1.88	0.00	0.00	0.02	26.3	14	48
PCB_128	air+aerosol	0.01	0.02	0.01	2.03	0.00	0.01	0.09	26.3	2	48
PCB_138	air+aerosol	0.07	0.08	0.06	1.82	0.02	0.05	0.38	27.4	1	50
PCB_141	air+aerosol	0.02	0.01	0.01	1.67	0.01	0.01	0.07	27.2	2	49
PCB_149	air+aerosol	0.11	0.06	0.10	1.48	0.06	0.10	0.41	27.4	0	50
PCB_153	air+aerosol	0.09	0.07	0.08	1.59	0.04	0.08	0.41	27.9	0	51
PCB_156	air+aerosol	0.01	0.01	0.00	2.33	0.00	0.00	0.05	26.3	9	48
PCB_157	air+aerosol	0.00	0.00	0.00	1.82	0.00	0.00	0.02	27.9	37	51
PCB_167	air+aerosol	0.00	0.00	0.00	1.96	0.00	0.00	0.02	27.4	22	50
PCB_170	air+aerosol	0.01	0.01	0.00	1.87	0.00	0.00	0.03	25.3	12	46
PCB_18	air+aerosol	1.00	0.82	0.84	1.67	0.35	0.72	5.91	27.9	0	51
PCB_180	air+aerosol	0.01	0.01	0.01	1.70	0.00	0.01	0.06	26.8	2	49
PCB_183	air+aerosol	0.01	0.00	0.01	1.59	0.00	0.01	0.02	26.3	4	48
PCB_187	air+aerosol	0.02	0.01	0.01	1.47	0.01	0.01	0.06	27.9	2	51
PCB_189	air+aerosol	0.00	0.00	0.00	1.56	0.00	0.00	0.01	27.4	46	50
PCB_194	air+aerosol	0.00	0.00	0.00	1.51	0.00	0.00	0.01	26.6	45	48
PCB_206	air+aerosol	0.00	0.00	0.00	1.45	0.00	0.00	0.01	27.9	51	51
PCB_209	air+aerosol	0.00	0.00	0.00	1.79	0.00	0.00	0.01	26.8	22	49
PCB_28	air+aerosol	0.96	0.89	0.80	1.64	0.44	0.71	6.24	27.9	0	51
PCB_31	air+aerosol	0.86	0.83	0.72	1.66	0.39	0.63	5.83	27.9	0	51
PCB_33	air+aerosol	0.66	0.71	0.52	1.76	0.24	0.44	4.90	27.4	0	50
PCB_37	air+aerosol	0.16	0.16	0.12	1.85	0.05	0.11	1.04	27.9	0	51
PCB_47	air+aerosol	0.29	0.19	0.25	1.55	0.15	0.23	1.27	27.9	0	51
PCB_52	air+aerosol	0.48	0.25	0.44	1.46	0.26	0.41	1.63	27.9	0	51
PCB_66	air+aerosol	0.16	0.10	0.15	1.51	0.09	0.13	0.62	27.4	0	50
PCB_74	air+aerosol	0.11	0.06	0.10	1.46	0.06	0.10	0.38	27.4	0	50
PCB_99	air+aerosol	0.09	0.05	0.09	1.50	0.04	0.09	0.41	27.9	0	51
PFBS	air+aerosol	0.02	0.00	0.02	1.04	0.02	0.02	0.02	100.0	10	12
PFHpA	air+aerosol	0.05	0.01	0.05	1.12	0.05	0.05	0.07	100.0	11	12
PFHxA	air+aerosol	0.06	0.01	0.06	1.25	0.05	0.05	0.09	100.0	9	12
PFHxS	air+aerosol	0.02	0.00	0.02	1.00	0.02	0.02	0.02	100.0	12	12
PFNA	air+aerosol	0.03	0.02	0.03	1.53	0.02	0.03	0.09	100.0	4	12
PFOA	air+aerosol	0.07	0.06	0.06	1.94	0.03	0.05	0.19	100.0	0	12
TBA	air+aerosol	8.23	7.09	5.59	2.67	0.89	6.96	29.90	43.0	0	51
a_HBCD	air+aerosol	0.32	0.72	0.10	4.43	0.01	0.11	3.69	22.6	2	26
acenaphthene	air+aerosol	0.00	0.00	0.00	1.71	0.00	0.00	0.02	29.1	32	51
acenaphthylene	air+aerosol	0.00	0.00	0.00	1.65	0.00	0.00	0.01	29.1	36	51
alpha_HCH	air+aerosol	2.67	1.04	2.61	1.42	0.87	2.56	7.73	29.5	0	52
anthanthrene	air+aerosol	0.00	0.00	0.00	1.07	0.00	0.00	0.00	29.1	47	51
anthracene	air+aerosol	0.00	0.00	0.00	1.97	0.00	0.00	0.03	28.5	44	50
b_HBCD	air+aerosol	0.06	0.13	0.02	4.22	0.00	0.02	0.66	22.6	6	26
benz_a_anthracene	air+aerosol	0.00	0.00	0.00	1.96	0.00	0.00	0.02	29.1	39	51
benzo_a_fluoranthene	air+aerosol	0.00	0.00	0.00	1.25	0.00	0.00	0.00	29.1	47	51
benzo_a_fluorene	air+aerosol	0.00	0.00	0.00	1.58	0.00	0.00	0.01	29.1	43	51
benzo_a_pyrene	air+aerosol	0.00	0.00	0.00	1.87	0.00	0.00	0.01	29.1	39	51
benzo_b_fluoranthene	air+aerosol	0.01	0.01	0.00	3.02	0.00	0.00	0.04	29.1	29	51
benzo_b_fluorene	air+aerosol	0.00	0.00	0.00	1.33	0.00	0.00	0.00	29.1	44	51
benzo_e_pyrene	air+aerosol	0.00	0.00	0.00	2.39	0.00	0.00	0.02	29.1	34	51
benzo_ghi_fluoranthene	air+aerosol	0.00	0.00	0.00	1.80	0.00	0.00	0.02	20.6	34	37
benzo_ghi_ptylene	air+aerosol	0.00	0.01	0.00	2.64	0.00	0.00	0.03	29.1	34	51
benzo_k_fluoranthene	air+aerosol	0.00	0.00	0.00	2.09	0.00	0.00	0.02	29.1	37	51
biphenyl	air+aerosol	0.31	0.44	0.10	5.39	0.01	0.12	2.10	29.1	0	51
chrysene	air+aerosol	0.00	0.01	0.00	2.87	0.00	0.00	0.04	28.0	30	49
cis_CD	air+aerosol	0.25	0.06	0.24	1.28	0.14	0.25	0.45	29.8	0	52
cis_NO	air+aerosol	0.02	0.01	0.02	1.88	0.01	0.03	0.05	29.8	5	52
coronene	air+aerosol	0.00	0.00	0.00	1.91	0.00	0.00	0.01	29.1	38	51
cyclopenta_cd_pyrene	air+aerosol	0.00	0.00	0.00	1.00	0.00	0.00	0.00	24.4	44	44
dibenzo_ae_pyrene	air+aerosol	0.00	0.00	0.00	1.30	0.00	0.00	0.00	29.1	47	51
dibenzo_ah_anthracene	air+aerosol	0.00	0.00	0.00	1.25	0.00	0.00	0.00	29.1	47	51
dibenzo_ah_pyrene	air+aerosol	0.00	0.00	0.00	1.00	0.00	0.00	0.00	29.1	51	51
dibenzo_ai_pyrene	air+aerosol	0.00	0.00	0.00	1.00	0.00	0.00	0.00	29.1	51	51
dibenzoFuran	air+aerosol	0.40	0.48	0.16	4.34	0.01	0.22	2.06	29.1	0	51
dibenzoThiophene	air+aerosol	0.00	0.00	0.00	2.32	0.00	0.00	0.02	29.1	25	51
fluoranthene	air+aerosol	0.02	0.03	0.01	3.36	0.00	0.00	0.11	29.1	11	51
fluorene	air+aerosol	0.16	0.24	0.05	4.85	0.00	0.03	0.88	29.1	0	51
g_HBCD	air+aerosol	0.04	0.07	0.02	3.46	0.00	0.01	0.33	22.6	11	26
gamma_HCH	air+aerosol	0.00	0.22	0.38	1.48	0.18	0.39	1.70	29.5	0	52
inden_123cd_pyrene	air+aerosol	0.00	0.00	0.00	2.33	0.00	0.00	0.02	29.1	35	51
naphthalene	air+aerosol	0.35	0.52	0.17	3.11	0.02	0.13	2.95	29.1	0	51
op_DDD	air+aerosol	0.01	0.01	0.01	1.71	0.00	0.01	0.03	26.8	22	47
op_DDE	air+aerosol	0.04	0.05	0.02	2.40	0.01	0.02	0.33	29.5	1	52
op_DDT	air+aerosol	0.07	0.09	0.05	2.13	0.01	0.04	0.65	26.8	0	47
perylene	air+aerosol	0.00	0.00	0.00	1.14	0.00	0.00	0.00	29.1	48	51
phenanthrene	air+aerosol	0.03	0.04	0.02	2.62	0.00	0.01	0.20	29.1	2	51
pp_DDD	air+aerosol	0.00	0.00	0.00	1.52	0.00	0.00	0.02	29.0	46	51

NO0042G Zeppelin mountain (Ny-Å.lesund) (cont.)
January 2020 - December 2020

Component	matrix	Arit mean	Arit sd	Geom mean	Geom sd	Min	50%	Max	% anal	Num bel	Num sampl
pp_DDE	air+aerosol	0.26	0.39	0.15	2.71	0.03	0.17	2.65	29.5	0	52
pp_DDT	air+aerosol	0.04	0.05	0.03	2.03	0.01	0.03	0.33	21.4	4	38
pyrene	air+aerosol	0.01	0.02	0.01	3.07	0.00	0.00	0.11	29.1	22	51
retene	air+aerosol	0.00	0.00	0.00	1.48	0.00	0.00	0.01	29.1	34	51
sum_DDT	air+aerosol	0.41	0.57	0.27	2.35	0.06	0.30	4.02	29.5	0	52
sum_PCB	air+aerosol	8.37	5.89	7.41	1.53	4.38	6.54	41.61	27.9	0	51
sum_heptachlor_PCB	air+aerosol	0.05	0.04	0.04	1.72	0.02	0.04	0.25	26.9	0	49
sum_hexachlor_PCB	air+aerosol	0.35	0.23	0.31	1.57	0.12	0.30	1.39	27.9	0	51
sum_pentachlor_PCB	air+aerosol	0.80	0.49	0.73	1.52	0.38	0.71	3.31	27.9	0	51
sum_tetrachlor_PCB	air+aerosol	2.23	1.27	2.03	1.47	1.31	1.84	8.34	27.9	0	51
sum_trichlor_PCB	air+aerosol	4.94	4.40	4.17	1.62	2.35	3.67	31.50	27.9	0	51
trans_CD	air+aerosol	0.10	0.05	0.08	1.71	0.02	0.08	0.26	29.0	0	51
trans_NO	air+aerosol	0.22	0.07	0.21	1.34	0.09	0.21	0.44	29.8	0	52

NO0090R Andøya
January 2020 - December 2020

Component	matrix	Arit mean	Arit sd	Geom mean	Geom sd	Min	50%	Max	% anal	Num bel	Num sampl
FTS_6-2	air+aerosol	0.04	0.00	0.04	1.00	0.04	0.04	0.04	100.0	12	12
HCB	air+aerosol	24.67	8.19	23.46	1.40	15.10	23.10	39.10	6.5	0	12
PCB_101	air+aerosol	0.36	0.09	0.35	1.28	0.23	0.36	0.49	6.5	0	12
PCB_105	air+aerosol	0.02	0.01	0.02	1.46	0.01	0.02	0.04	6.5	0	12
PCB_114	air+aerosol	0.00	0.00	0.00	1.58	0.00	0.00	0.01	6.5	2	12
PCB_118	air+aerosol	0.09	0.03	0.09	1.40	0.05	0.09	0.15	6.5	0	12
PCB_122	air+aerosol	0.00	0.00	0.00	1.53	0.00	0.00	0.01	6.5	2	12
PCB_123	air+aerosol	0.00	0.00	0.00	1.39	0.00	0.00	0.00	6.5	3	12
PCB_128	air+aerosol	0.01	0.01	0.01	1.63	0.01	0.01	0.02	6.5	0	12
PCB_138	air+aerosol	0.09	0.03	0.08	1.43	0.05	0.08	0.15	6.5	0	12
PCB_141	air+aerosol	0.02	0.01	0.02	1.37	0.01	0.02	0.04	6.5	0	12
PCB_149	air+aerosol	0.20	0.06	0.19	1.30	0.14	0.19	0.33	6.5	0	12
PCB_153	air+aerosol	0.15	0.05	0.14	1.41	0.08	0.14	0.26	6.5	0	12
PCB_156	air+aerosol	0.00	0.00	0.00	1.60	0.00	0.00	0.01	6.5	0	12
PCB_157	air+aerosol	0.00	0.00	0.00	1.02	0.00	0.00	0.00	6.5	12	12
PCB_167	air+aerosol	0.00	0.00	0.00	1.47	0.00	0.00	0.00	6.5	4	12
PCB_170	air+aerosol	0.01	0.00	0.01	1.60	0.00	0.01	0.01	6.5	0	12
PCB_18	air+aerosol	0.92	0.43	0.82	1.70	0.32	0.92	1.63	6.5	0	12
PCB_180	air+aerosol	0.02	0.01	0.02	1.60	0.01	0.02	0.05	6.5	0	12
PCB_183	air+aerosol	0.01	0.01	0.01	1.50	0.01	0.01	0.02	6.5	0	12
PCB_187	air+aerosol	0.03	0.02	0.03	1.48	0.02	0.03	0.07	6.5	0	12
PCB_189	air+aerosol	0.00	0.00	0.00	1.02	0.00	0.00	0.00	6.5	12	12
PCB_194	air+aerosol	0.00	0.00	0.00	1.14	0.00	0.00	0.00	6.5	9	11
PCB_206	air+aerosol	0.00	0.00	0.00	1.02	0.00	0.00	0.00	6.5	12	12
PCB_209	air+aerosol	0.00	0.00	0.00	1.17	0.00	0.00	0.00	6.5	6	12
PCB_28	air+aerosol	0.61	0.21	0.57	1.43	0.28	0.57	0.98	6.5	0	12
PCB_31	air+aerosol	0.59	0.18	0.56	1.41	0.26	0.59	0.90	6.5	0	12
PCB_33	air+aerosol	0.36	0.11	0.35	1.41	0.16	0.36	0.57	6.5	0	12
PCB_37	air+aerosol	0.06	0.02	0.06	1.38	0.03	0.07	0.10	6.5	0	12
PCB_47	air+aerosol	4.67	1.59	4.39	1.47	2.17	4.72	7.23	6.5	0	12
PCB_52	air+aerosol	0.64	0.15	0.62	1.28	0.39	0.65	0.87	6.5	0	12
PCB_66	air+aerosol	0.12	0.04	0.12	1.36	0.06	0.12	0.19	6.5	0	12
PCB_74	air+aerosol	0.10	0.03	0.09	1.33	0.05	0.09	0.15	6.5	0	12
PCB_99	air+aerosol	0.13	0.04	0.13	1.32	0.08	0.13	0.19	6.5	0	12
PFBS	air+aerosol	0.02	0.00	0.02	1.00	0.02	0.02	0.02	100.0	12	12
PFHpA	air+aerosol	0.05	0.00	0.05	1.00	0.05	0.05	0.05	100.0	12	12
PFHxA	air+aerosol	0.05	0.01	0.05	1.10	0.05	0.05	0.07	100.0	11	12
PFHxS	air+aerosol	0.02	0.00	0.02	1.00	0.02	0.02	0.02	100.0	12	12
PFNA	air+aerosol	0.05	0.00	0.05	1.00	0.05	0.05	0.05	100.0	12	12
PFOA	air+aerosol	0.05	0.01	0.05	1.30	0.04	0.05	0.08	100.0	0	12
sum_PCB	air+aerosol	12.65	3.07	12.28	1.31	6.56	12.51	17.70	6.5	0	12
sum_heptachlor_PCB	air+aerosol	0.10	0.05	0.09	1.60	0.05	0.08	0.23	6.5	0	12
sum_hexachlor_PCB	air+aerosol	0.62	0.19	0.60	1.36	0.37	0.60	1.06	6.5	0	12
sum_pentachlor_PCB	air+aerosol	1.12	0.29	1.09	1.31	0.67	1.12	1.58	6.5	0	12
sum_tetrachlor_PCB	air+aerosol	7.15	2.07	6.84	1.38	3.83	7.31	10.00	6.5	0	12
sum_trichlor_PCB	air+aerosol	3.65	1.25	3.44	1.46	1.57	3.65	5.92	6.5	0	12

PL0005R Diabla Gora
January 2020 - December 2020

Component	matrix	Arit mean	Arit sd	Geom mean	Geom sd	Min	50%	Max	% anal	Num bel	Num sampl
benz_a_anthracene	pm10	0.43	0.51	0.11	8.54	0.00	0.20	1.77	84.2	0	52
benzo_a_pyrene	pm10	0.51	0.56	0.21	4.95	0.01	0.29	1.91	84.2	0	52
benzo_b_fluoranthene	pm10	0.67	0.72	0.30	4.51	0.02	0.39	2.65	84.2	0	52
benzo_k_fluoranthene	pm10	0.26	0.28	0.11	4.78	0.01	0.16	1.04	84.2	0	52
dibenzo_ah_anthracene	pm10	0.07	0.08	0.03	4.84	0.00	0.04	0.32	84.2	0	52
inden_123cd_pyrene	pm10	0.52	0.53	0.25	4.07	0.02	0.34	1.91	84.2	0	52

PL0009R Zielonka
January 2020 - December 2020

Component	matrix	Arit mean	Arit sd	Geom mean	Geom sd	Min	50%	Max	% anal	Num bel	Num sampl
benz_a_anthracene	pm10	0.54	0.67	0.17	7.33	0.00	0.28	2.50	82.5	0	51
benzo_a_pyrene	pm10	0.65	0.72	0.27	5.33	0.01	0.38	2.76	82.5	0	51
benzo_b_fluoranthene	pm10	0.69	0.83	0.29	4.75	0.01	0.30	3.28	82.5	0	51
benzo_k_fluoranthene	pm10	0.35	0.39	0.15	5.10	0.00	0.19	1.49	82.5	0	51
dibenzo_ah_anthracene	pm10	0.04	0.05	0.01	4.90	0.00	0.02	0.25	82.5	0	51
inden_123cd_pyrene	pm10	0.54	0.59	0.24	4.75	0.01	0.31	2.32	82.5	0	51

SE0014R RÅVÅ
January 2020 - December 2020

Component	matrix	Arit mean	Arit sd	Geom mean	Geom sd	Min	50%	Max	% anal	Num bel	Num sampl
1234678_HpCDD	air+aerosol	0.12	0.13	0.07	2.72	0.03	0.06	0.30	31.7	0	4
1234678_HpCDF	air+aerosol	0.07	0.06	0.05	2.12	0.03	0.05	0.15	31.7	0	4
1234789_HpCDF	air+aerosol	0.01	0.01	0.01	2.27	0.00	0.00	0.02	31.7	0	4
123478_HxCDD	air+aerosol	0.07	0.07	0.05	2.48	0.02	0.04	0.17	31.7	0	4
123478_HxCDF	air+aerosol	0.20	0.20	0.14	2.33	0.08	0.10	0.48	31.7	0	4
123678_HxCDD	air+aerosol	0.13	0.13	0.08	2.74	0.03	0.07	0.31	31.7	0	4
123678_HxCDF	air+aerosol	0.17	0.18	0.12	2.42	0.07	0.08	0.43	31.7	0	4
123789_HxCDD	air+aerosol	0.10	0.11	0.06	2.78	0.02	0.05	0.25	31.7	0	4
123789_HxCDF	air+aerosol	0.09	0.06	0.07	1.91	0.04	0.06	0.18	31.7	0	4
12378_PeCDD	air+aerosol	0.57	0.64	0.35	2.64	0.20	0.23	1.50	31.7	0	4
12378_PeCDF	air+aerosol	0.04	0.04	0.03	2.23	0.01	0.02	0.09	31.7	0	4
234678_HxCDF	air+aerosol	0.22	0.20	0.15	2.27	0.09	0.11	0.51	31.7	0	4
23478_PeCDF	air+aerosol	0.66	0.79	0.37	2.87	0.19	0.24	1.80	31.7	0	4
2378_TCDD	air+aerosol	0.17	0.13	0.14	1.87	0.10	0.10	0.36	31.7	0	4
2378_TCDF	air+aerosol	0.20	0.16	0.15	2.10	0.07	0.12	0.43	31.7	0	4

SE0014R RÄVÅI (cont.)
January 2020 - December 2020

Component	matrix	Arit mean	Arit sd	Geom mean	Geom sd	Min	50%	Max	% anal	Num bel	Num sampl
BDE_100	air+aerosol	0.03	0.00	0.03	1.00	0.03	0.03	0.03	100.0	12	12
BDE_153	air+aerosol	0.06	0.04	0.05	1.54	0.04	0.04	0.16	100.0	8	12
BDE_154	air+aerosol	0.23	0.26	0.14	2.54	0.04	0.12	0.95	100.0	1	12
BDE_209	air+aerosol	0.57	0.32	0.49	1.71	0.27	0.41	1.15	100.0	0	12
BDE_47	air+aerosol	0.04	0.01	0.04	1.35	0.03	0.04	0.07	100.0	6	12
BDE_85	air+aerosol	0.04	0.00	0.04	1.00	0.04	0.04	0.04	100.0	12	12
BDE_99	air+aerosol	0.03	0.01	0.03	1.22	0.03	0.03	0.05	100.0	8	12
FTS_6-2	air+aerosol	0.05	0.00	0.05	1.00	0.05	0.05	0.05	100.0	0	12
HCB	air+aerosol	7.90	2.57	7.49	1.43	5.00	10.00	10.00	100.0	0	12
OCDD	air+aerosol	0.01	0.01	0.01	2.32	0.00	0.00	0.02	31.7	0	4
OCDF	air+aerosol	0.00	0.00	0.00	2.83	0.00	0.00	0.01	31.7	0	4
PCB_101	air+aerosol	0.98	0.68	0.83	1.86	0.40	0.70	2.35	100.0	0	12
PCB_118	air+aerosol	0.35	0.23	0.30	1.81	0.15	0.26	0.80	100.0	0	12
PCB_138	air+aerosol	0.62	0.56	0.47	2.16	0.20	0.43	1.89	100.0	0	12
PCB_153	air+aerosol	0.73	0.59	0.59	1.98	0.26	0.53	2.12	100.0	0	12
PCB_180	air+aerosol	0.21	0.21	0.15	2.36	0.05	0.15	0.74	100.0	2	12
PCB_28	air+aerosol	0.71	0.27	0.67	1.45	0.43	0.63	1.19	100.0	0	12
PCB_52	air+aerosol	1.05	0.58	0.94	1.63	0.55	0.79	2.21	100.0	0	12
PFBA	air+aerosol	3.60	1.41	3.27	1.57	1.28	3.41	6.15	100.0	0	12
PFBS	air+aerosol	0.05	0.00	0.05	1.00	0.05	0.05	0.05	100.0	0	12
PFDA	air+aerosol	0.13	0.07	0.12	1.65	0.05	0.12	0.27	100.0	0	12
PFDCS	air+aerosol	0.05	0.00	0.05	1.00	0.05	0.05	0.05	100.0	0	12
PFHpA	air+aerosol	0.16	0.07	0.14	1.88	0.05	0.18	0.24	100.0	0	12
PFHxA	air+aerosol	0.43	0.15	0.40	1.44	0.24	0.42	0.64	100.0	0	12
PFHXS	air+aerosol	0.05	0.00	0.05	1.00	0.05	0.05	0.05	100.0	0	12
PFNA	air+aerosol	0.23	0.06	0.22	1.36	0.11	0.24	0.35	100.0	0	12
PFOA	air+aerosol	0.52	0.15	0.50	1.40	0.23	0.54	0.75	100.0	0	12
PFOS	air+aerosol	0.43	0.17	0.40	1.55	0.18	0.40	0.75	100.0	0	12
PFOSA	air+aerosol	0.05	0.00	0.05	1.00	0.05	0.05	0.05	100.0	0	12
PFUnA	air+aerosol	0.11	0.16	0.07	2.35	0.05	0.05	0.53	100.0	0	12
aldrin	air+aerosol	0.12	0.05	0.12	1.37	0.10	0.10	0.20	100.0	5	12
alpha_HCH	air+aerosol	1.99	0.79	1.86	1.42	1.14	1.64	3.96	100.0	0	12
alpha_endosulfan	air+aerosol	0.33	0.20	0.28	1.91	0.11	0.28	0.63	66.4	0	8
anthracene	air+aerosol	0.02	0.03	0.01	2.94	0.00	0.01	0.11	100.0	0	12
benz_a anthracene	air+aerosol	0.03	0.04	0.02	2.19	0.01	0.02	0.16	100.0	0	12
benzo_a pyrene	air+aerosol	0.03	0.05	0.01	3.76	0.00	0.01	0.20	100.0	0	12
benzo_b fluoranthene	air+aerosol	0.05	0.08	0.02	3.04	0.01	0.02	0.29	100.0	0	12
benzo_ghi perylene	air+aerosol	0.02	0.04	0.01	3.25	0.00	0.01	0.13	100.0	0	12
benzo_k fluoranthene	air+aerosol	0.02	0.04	0.01	3.28	0.00	0.01	0.13	100.0	0	12
beta_endosulfan	air+aerosol	0.08	0.00	0.08	1.00	0.08	0.08	0.08	100.0	12	12
chrysene	air+aerosol	0.05	0.08	0.03	2.77	0.01	0.03	0.31	100.0	0	12
dibenzo_ah anthracene	air+aerosol	0.01	0.01	0.00	3.64	0.00	0.00	0.04	100.0	0	12
fluoranthene	air+aerosol	0.21	0.28	0.13	2.56	0.03	0.12	1.06	100.0	0	12
gamma_HCH	air+aerosol	1.89	0.98	1.73	1.53	1.18	1.48	4.40	100.0	0	12
inden_123cd pyrene	air+aerosol	0.03	0.05	0.01	3.39	0.00	0.02	0.19	100.0	0	12
phenanthrene	air+aerosol	0.56	0.63	0.41	2.08	0.14	0.35	2.49	100.0	0	12
pp_DDD	air+aerosol	0.02	0.00	0.02	1.00	0.02	0.02	0.02	100.0	12	12
pp_DDE	air+aerosol	1.40	0.92	1.16	1.83	0.53	1.11	3.40	100.0	0	12
pp_DDT	air+aerosol	0.31	0.14	0.29	1.55	0.17	0.29	0.56	100.0	0	12
pyrene	air+aerosol	0.13	0.18	0.08	2.61	0.02	0.08	0.68	100.0	0	12

SE0020R Hallahus
January 2020 - December 2020

Component	matrix	Arit mean	Arit sd	Geom mean	Geom sd	Min	50%	Max	% anal	Num bel	Num sampl
anthracene	air+aerosol	0.00	0.01	0.00	6.03	0.00	0.00	0.04	100.0	3	12
benz_a anthracene	air+aerosol	0.04	0.10	0.01	5.04	0.00	0.01	0.35	100.0	1	12
benzo_a pyrene	air+aerosol	0.05	0.11	0.01	4.30	0.00	0.01	0.38	100.0	0	12
benzo_b fluoranthene	air+aerosol	0.08	0.15	0.03	3.75	0.00	0.03	0.56	100.0	0	12
benzo_ghi perylene	air+aerosol	0.06	0.12	0.02	3.57	0.00	0.02	0.43	100.0	0	12
benzo_k fluoranthene	air+aerosol	0.03	0.07	0.01	3.95	0.00	0.01	0.25	100.0	0	12
chrysene	air+aerosol	0.06	0.12	0.02	3.93	0.00	0.02	0.44	100.0	0	12
dibenzo_ah anthracene	air+aerosol	0.01	0.03	0.00	3.76	0.00	0.00	0.09	100.0	1	12
fluoranthene	air+aerosol	0.08	0.18	0.02	5.08	0.00	0.02	0.64	100.0	0	12
inden_123cd pyrene	air+aerosol	0.06	0.11	0.02	3.67	0.00	0.02	0.41	100.0	0	12
phenanthrene	air+aerosol	0.04	0.07	0.01	3.28	0.01	0.01	0.26	100.0	4	12
pyrene	air+aerosol	0.08	0.17	0.02	5.14	0.00	0.02	0.62	100.0	1	12

SE0022R Norunda Stenen
January 2020 - December 2020

Component	matrix	Arit mean	Arit sd	Geom mean	Geom sd	Min	50%	Max	% anal	Num bel	Num sampl
1234678_HpCDD	air+aerosol	0.06	0.04	0.04	2.38	0.02	0.05	0.11	30.6	0	4
1234678_HpCDF	air+aerosol	0.99	1.87	0.15	9.32	0.03	0.08	3.80	30.6	0	4
1234789_HpCDD	air+aerosol	0.06	0.11	0.02	6.42	0.00	0.01	0.22	30.6	0	4
123478_HxCDF	air+aerosol	0.04	0.03	0.04	1.95	0.02	0.04	0.08	30.6	0	4
123478_HxCDF	air+aerosol	0.16	0.12	0.13	2.37	0.05	0.14	0.32	30.6	0	4
123678_HxCDD	air+aerosol	0.08	0.06	0.06	2.59	0.02	0.07	0.16	30.6	0	4
123678_HxCDF	air+aerosol	0.12	0.11	0.09	2.71	0.04	0.10	0.27	30.6	0	4
123789_HxCDD	air+aerosol	0.05	0.03	0.04	1.93	0.02	0.04	0.10	30.6	0	4
123789_HxCDF	air+aerosol	0.07	0.04	0.06	1.78	0.04	0.06	0.12	30.6	0	4
12378_PeCDD	air+aerosol	0.48	0.23	0.44	1.68	0.27	0.48	0.70	30.6	0	4
12378_PeCDF	air+aerosol	0.03	0.03	0.03	2.22	0.01	0.02	0.07	30.6	0	4
234678_HxCDF	air+aerosol	0.16	0.14	0.11	2.53	0.05	0.11	0.35	30.6	0	4
23478_PeCDF	air+aerosol	0.49	0.44	0.37	2.44	0.17	0.35	1.11	30.6	0	4
2378_TCDD	air+aerosol	0.29	0.27	0.21	2.34	0.10	0.18	0.68	30.6	0	4
2378_TCDF	air+aerosol	0.24	0.20	0.18	2.54	0.06	0.20	0.51	30.6	0	4
BDE_100	air+aerosol	0.03	0.00	0.03	1.17	0.02	0.03	0.03	99.2	12	12
BDE_153	air+aerosol	0.03	0.00	0.03	1.00	0.03	0.03	0.03	99.2	12	12
BDE_154	air+aerosol	0.03	0.00	0.03	1.00	0.03	0.03	0.03	99.2	12	12
BDE_47	air+aerosol	0.03	0.00	0.03	1.13	0.02	0.03	0.03	99.2	9	12
BDE_85	air+aerosol	0.03	0.00	0.03	1.00	0.03	0.03	0.03	99.2	12	12
BDE_99	air+aerosol	0.03	0.00	0.03	1.18	0.02	0.03	0.03	99.2	12	12
HCB	air+aerosol	9.60	3.96	8.78	1.57	5.00	10.00	15.00	99.2	0	12
OCDD	air+aerosol	0.00	0.00	0.00	1.98	0.00	0.00	0.01	30.6	0	4
OCDF	air+aerosol	0.44	0.86	0.03	16.75	0.00	0.01	1.74	30.6	0	4
PCB_101	air+aerosol	0.41	0.17	0.38	1.49	0.23	0.35	0.75	99.2	0	12
PCB_118	air+aerosol	0.13	0.04	0.12	1.33	0.09	0.12	0.21	99.2	0	12
PCB_138	air+aerosol	0.20	0.12	0.18	1.63	0.11	0.17	0.46	99.2	0	12
PCB_153	air+aerosol	0.27	0.14	0.25	1.61	0.14	0.24	0.54	99.2	0	12
PCB_180	air+aerosol	0.07	0.03	0.06	1.56	0.04	0.06	0.13	99.2	4	12
PCB_28	air+aerosol	0.51	0.18	0.48	1.38	0.34	0.44	0.86	99.2	0	12
PCB_52	air+aerosol	0.47	0.13	0.46	1.31	0.29	0.44	0.70	99.2	0	12
alpha_HCH	air+aerosol	2.60	1.17	2.34	1.55	0.96	2.39	5.38	99.2	0	12
anthracene	air+aerosol	0.01	0.01	0.01	2.12	0.00	0.01	0.05	99.2	0	12

SE0022R Norunda Stenen (cont.)
January 2020 - December 2020

Component	matrix	Arit mean	Arit sd	Geom mean	Geom sd	Min	50%	Max	% anal	Num bel	Num sampl
benz_a_anthracene	air+aerosol	0.02	0.02	0.01	2.10	0.00	0.01	0.07	99.2	0	12
benzo_a_pyrene	air+aerosol	0.01	0.02	0.01	3.12	0.00	0.01	0.07	99.2	0	12
benzo_b_fluoranthene	air+aerosol	0.03	0.03	0.02	2.69	0.00	0.02	0.12	99.2	0	12
benzo_ghi_perylene	air+aerosol	0.02	0.02	0.01	3.13	0.00	0.01	0.08	99.2	0	12
benzo_k_fluoranthene	air+aerosol	0.01	0.01	0.01	2.72	0.00	0.01	0.05	99.2	0	12
chrysene	air+aerosol	0.03	0.03	0.02	2.58	0.00	0.02	0.13	99.2	0	12
dibenzo_ah_anthracene	air+aerosol	0.00	0.01	0.00	3.46	0.00	0.00	0.02	99.2	0	12
fluoranthene	air+aerosol	0.17	0.17	0.13	2.12	0.04	0.12	0.67	99.2	0	12
gamma_HCH	air+aerosol	1.57	0.84	1.36	1.71	0.52	1.35	3.35	99.2	0	12
inden_123cd_pyrene	air+aerosol	0.02	0.02	0.01	3.11	0.00	0.01	0.09	99.2	0	12
phenanthrene	air+aerosol	0.59	0.47	0.49	1.78	0.23	0.42	1.98	99.2	0	12
pp_DDD	air+aerosol	0.04	0.01	0.03	1.27	0.03	0.03	0.06	99.2	9	12
pp_DDE	air+aerosol	1.08	0.69	0.93	1.75	0.44	0.85	2.51	99.2	0	12
pp_DDT	air+aerosol	0.26	0.13	0.24	1.63	0.12	0.27	0.53	99.2	0	12
pyrene	air+aerosol	0.11	0.10	0.08	2.22	0.02	0.08	0.41	99.2	0	12

SI0008R Iskrba
January 2020 - December 2020

Component	matrix	Arit mean	Arit sd	Geom mean	Geom sd	Min	50%	Max	% anal	Num bel	Num sampl
benz_a_anthracene	pm10	0.09	0.11	0.04	3.86	0.01	0.07	0.56	23.2	33	85
benzo_a_pyrene	pm10	0.17	0.22	0.07	4.82	0.01	0.11	1.35	23.2	29	85
benzo_bjk_fluoranthenes	pm10	0.51	0.45	0.37	2.33	0.03	0.38	2.69	23.2	3	85
dibenzo_ah_anthracene	pm10	0.04	0.05	0.02	3.18	0.01	0.01	0.19	23.2	51	85
inden_123cd_pyrene	pm10	0.21	0.23	0.10	4.41	0.01	0.14	1.35	23.2	20	85

Appendix E

Monthly and annual mean values for heavy metals in precipitation

Site	Comp	Matrix	Jan	Febr	Mar	Apr	May	June	July	Aug	Sept	Oct	Nov	Dec	2020	
															Annual	Capt
FI0018R	aluminium	precip	62,0	19,4	64,2	19,8	54,0	29,2	25,9	20,0	15,4	26,4	7,9	18,9	25,7	100
FI0036R	aluminium	precip	4,0	6,5	17,7	7,7	8,5	7,0	0,9	5,6	3,8	2,1	0,9	1,2	3,8	100
FI0050R	aluminium	precip	23,8	26,9	116,8	25,2	54,5	26,9	1,1	18,4	6,5	3,5	9,9	7,2	17,5	100
FI0053R	aluminium	precip	11,1	5,1	50,0	17,1	11,8	33,5	2,1	13,1	8,5	1,7	5,3	5,7	7,7	100
FI0092R	aluminium	precip	5,2	4,2	18,4	15,8	23,9	27,3	1,3	5,0	1,7	5,6	2,9	1,7	6,8	100
FI0093R	aluminium	precip	26,0	10,3	33,9	20,8	14,1	26,8	2,5	9,6	3,4	5,6	2,3	3,1	8,7	100
GB0048R	aluminium	precip	1,8	0,3	0,3	8,5	7,2	6,9	8,6	-	0,3	0,3	0,3	0,3	1,4	61
GB1055R	aluminium	precip	-	3,6	0,3	-	-	-	-	10,3	1,5	0,3	5,0	1,0	-	-
IS0091R	aluminium	precip	130,6	103,3	150,1	339,0	265,4	223,4	277,5	54,7	91,8	178,1	153,1	120,0	155,7	100
DE0001R	antimony	precip	0,062	0,052	0,049	0,165	0,098	0,080	0,048	0,046	0,089	0,025	0,081	0,080	0,060	76
DE0002R	antimony	precip	0,083	0,054	0,095	0,168	0,146	0,075	0,070	0,087	0,098	0,061	0,123	0,065	0,078	82
DE0003R	antimony	precip	0,043	0,042	0,073	0,340	0,051	0,068	0,088	0,068	0,064	0,041	0,056	0,029	0,054	51
DE0007R	antimony	precip	0,072	0,062	0,094	-	0,079	0,066	0,078	0,070	0,054	0,063	0,090	0,042	0,067	76
DE0008R	antimony	precip	0,073	0,076	0,064	0,130	0,086	0,070	0,087	0,112	0,099	0,061	0,105	0,040	0,075	85
DE0009R	antimony	precip	0,050	0,044	0,099	0,109	0,098	0,079	0,039	-	0,067	0,057	0,080	0,022	0,057	67
GB0048R	antimony	precip	0,011	0,005	0,005	0,075	0,056	0,024	0,005	0,005	-	0,005	0,005	-	0,012	47
GB1055R	antimony	precip	-	0,007	-	-	-	-	-	0,060	0,029	0,040	0,135	0,005	-	-
BE0014R	arsenic	precip	0,035	0,020	0,040	0,112	0,197	0,059	0,065	0,048	0,027	0,034	0,039	0,052	0,043	100
CZ0005R	arsenic	precip	0,030	0,030	0,058	0,128	0,030	0,070	0,033	0,053	0,040	0,065	0,030	0,030	0,048	94
DE0001R	arsenic	precip	0,038	0,034	0,044	0,124	0,061	0,044	0,031	0,022	0,056	0,032	0,044	0,101	0,041	100
DE0002R	arsenic	precip	0,039	0,020	0,077	0,117	0,134	0,098	0,047	0,057	0,028	0,025	0,046	0,089	0,055	100
DE0003R	arsenic	precip	0,030	0,027	0,028	0,055	0,035	0,033	0,056	0,024	0,026	0,025	0,026	0,015	0,028	97
DE0007R	arsenic	precip	0,044	0,033	0,059	0,092	0,109	0,085	0,041	0,106	0,034	0,063	0,045	0,041	0,060	100
DE0008R	arsenic	precip	0,032	0,029	0,039	0,085	0,039	0,056	0,039	0,064	0,033	0,022	0,049	0,020	0,037	94
DE0009R	arsenic	precip	0,035	0,024	0,054	0,068	0,103	0,061	0,037	0,038	0,076	0,036	0,062	0,014	0,044	100
DK0005R	arsenic	precip	0,027	0,013	0,270	0,597	0,214	0,080	0,034	0,085	0,395	0,102	0,599	0,079	0,104	100
DK0008R	arsenic	precip	0,184	0,076	0,448	0,824	0,259	0,102	0,065	0,067	0,067	0,081	0,243	0,173	0,153	100
DK0012R	arsenic	precip	0,002	0,164	0,146	0,255	0,239	0,605	0,424	0,110	0,155	0,068	0,117	0,074	0,160	100
DK0022R	arsenic	precip	0,022	0,009	0,057	0,277	0,078	0,032	0,033	0,027	0,263	0,263	0,343	0,133	0,071	100
DK0031R	arsenic	precip	0,022	0,007	0,046	0,318	0,035	0,011	0,013	0,030	0,031	0,013	0,036	-	0,027	100
EE0009R	arsenic	precip	0,035	0,034	0,041	0,031	0,042	0,051	0,025	0,025	0,027	0,043	0,034	0,025	0,034	100
ES0008R	arsenic	precip	0,078	0,099	0,078	-	0,075	0,124	0,072	0,070	0,126	0,054	0,081	0,035	0,083	100
ES0009R	arsenic	precip	0,043	0,025	0,086	-	0,084	0,051	0,143	0,087	0,030	0,074	0,025	0,028	0,058	100
FI0018R	arsenic	precip	0,135	0,083	0,211	0,091	0,071	0,046	0,031	0,038	0,053	0,196	0,087	0,101	0,089	100
FI0036R	arsenic	precip	0,017	0,025	0,066	0,051	0,037	0,037	0,034	0,036	0,034	0,037	0,027	0,038	0,034	100
FI0050R	arsenic	precip	0,063	0,072	0,277	0,138	0,084	0,052	0,027	0,043	0,038	0,081	0,052	0,095	0,069	100
FI0053R	arsenic	precip	0,058	0,043	0,270	0,058	0,031	0,033	0,015	0,036	0,041	0,036	0,025	0,065	0,036	100
FI0092R	arsenic	precip	0,021	0,033	0,060	0,065	0,038	0,047	0,020	0,023	0,027	0,059	0,039	0,065	0,037	100

Site	Comp	Matrix	Jan	Febr	Mar	Apr	May	June	July	Aug	Sept	Oct	Nov	Dec	2020	
															Annual	Capt
FI0093R	arsenic	precip	0,059	0,063	0,116	0,106	0,066	0,091	0,017	0,037	0,035	0,070	0,030	0,076	0,053	100
FR0008R	arsenic	precip_tot	0,019	0,019	-	-	0,122	0,100	0,247	0,465	0,105	0,035	0,039	0,019	0,084	95
FR0009R	arsenic	precip_tot	0,047	0,024	-	-	0,107	0,070	0,124	0,262	0,045	0,042	0,057	0,035	0,052	100
FR0013R	arsenic	precip_tot	0,049	0,050	-	-	0,050	0,050	0,419	0,103	0,030	0,036	0,071	0,015	0,039	98
FR0023R	arsenic	precip_tot	0,056	0,095	-	-	0,051	0,070	0,171	0,066	0,048	0,074	0,038	0,031	0,058	87
FR0025R	arsenic	precip_tot	0,037	0,032	0,042	-	0,067	0,068	0,163	0,122	0,060	0,074	0,088	0,017	0,061	99
FR0028R	arsenic	precip_tot	0,028	0,032	0,027	-	0,064	0,062	0,138	0,057	0,032	0,030	0,070	0,076	0,043	82
FR0090R	arsenic	precip	0,060	0,060	0,052	0,140	0,185	0,309	0,125	1,226	0,263	0,101	0,144	0,070	0,216	100
GB0006R	arsenic	precip	0,127	0,128	0,069	-	-	-	-	-	-	-	-	-	-	-
GB0013R	arsenic	precip	0,094	-	-	-	-	-	-	-	-	-	-	-	-	-
GB0017R	arsenic	precip	0,104	-	-	-	-	-	-	0,100	0,100	-	-	-	-	-
GB0048R	arsenic	precip	0,046	-	-	0,136	0,100	0,064	0,046	-	-	-	-	-	-	-
GB1055R	arsenic	precip	-	0,059	-	-	-	-	-	0,072	0,035	0,123	0,116	0,021	-	-
IS0091R	arsenic	precip	0,025	0,025	0,135	0,120	0,066	0,059	0,025	0,025	0,025	0,045	0,025	0,025	0,047	100
LV0010R	arsenic	precip	0,272	0,278	0,404	0,100	0,240	0,126	0,100	0,100	0,100	0,159	0,102	0,124	0,177	100
NL0010R	arsenic	precip	0,073	0,040	0,048	-	-	-	-	-	0,150	0,065	0,101	0,051	-	-
NL0091R	arsenic	precip	0,038	0,026	0,049	0,111	0,080	0,052	0,041	0,041	0,072	0,042	0,063	0,031	0,043	100
NO0001R	arsenic	precip	0,039	0,025	0,056	0,056	0,062	0,082	0,051	0,060	0,067	0,072	0,088	0,111	0,068	96
PL0005R	arsenic	precip	0,350	0,215	0,106	0,205	0,300	0,207	0,300	0,299	0,240	0,200	0,250	0,300	0,255	100
SE0005R	arsenic	precip	0,048	0,020	0,020	0,030	0,103	0,135	0,042	0,050	0,053	0,030	0,037	-	0,044	100
SE0014R	arsenic	precip	0,050	0,041	0,073	0,857	0,220	0,116	0,080	0,150	0,149	0,080	0,084	0,120	0,116	100
SE0020R	arsenic	precip	0,050	0,050	0,108	0,140	0,140	0,067	0,050	0,086	0,180	0,070	0,160	0,200	0,088	100
SE0022R	arsenic	precip	0,050	0,041	0,067	0,115	0,080	0,060	0,020	0,057	0,137	0,050	0,088	0,100	0,065	100
SI0008R	arsenic	precip	0,025	0,028	0,181	0,033	0,035	-	-	-	0,025	0,025	0,054	0,025	0,041	90
SK0002R	arsenic	precip	0,245	0,553	0,046	0,280	0,044	0,629	0,041	0,041	0,043	0,795	0,625	0,560	0,332	100
SK0004R	arsenic	precip	0,163	0,044	0,068	0,341	0,067	1,002	0,043	0,931	1,361	0,042	0,103	0,318	0,535	100
SK0006R	arsenic	precip	0,088	0,064	0,062	0,081	0,161	0,134	0,532	0,381	0,106	0,383	0,623	1,119	0,283	98
SK0007R	arsenic	precip	0,195	0,053	0,045	0,242	0,045	0,430	0,156	0,044	0,174	0,044	0,509	1,550	0,226	100
GB0048R	barium	precip	0,134	0,030	0,030	0,511	0,325	0,574	0,043	-	-	0,030	0,030	0,030	0,107	56
GB1055R	barium	precip	0,030	0,030	0,030	-	-	-	-	0,566	0,172	0,273	1,897	0,052	0,240	36
GB0048R	beryllium	precip	0,002	0,002	0,002	0,002	0,002	0,002	0,002	0,002	0,002	0,002	0,002	0,002	0,002	52
GB1055R	beryllium	precip	0,002	0,002	-	-	-	-	-	-	-	-	-	-	-	-
BE0014R	cadmium	precip	0,0181	0,0226	0,0602	0,0305	0,0556	0,0124	0,0139	0,02	0,0063	0,0121	0,0156	0,0261	0,0204	100
CZ0003R	cadmium	precip	0,0411	0,0231	0,0275	0,0283	0,0233	0,0133	0,0243	0,0247	0,0096	0,0213	0,018	0,0135	0,0208	98
CZ0005R	cadmium	precip	0,012	0,0113	0,0117	0,0537	0,0102	0,0087	0,0092	0,008	0,0109	0,0125	0,0271	0,008	0,0115	94
DE0001R	cadmium	precip	0,011	0,0075	0,0118	0,0187	0,0129	0,0128	0,0082	0,004	0,015	0,0072	0,0131	0,0236	0,0099	100
DE0002R	cadmium	precip	0,0161	0,0084	0,0135	0,0272	0,0285	0,0203	0,0135	0,0138	0,0094	0,0074	0,013	0,0191	0,0137	100
DE0003R	cadmium	precip	0,0072	0,0067	0,0065	0,0146	0,0078	0,0082	0,0098	0,0046	0,0065	0,0069	0,0063	0,0038	0,0067	97

Site	Comp	Matrix	Jan	Febr	Mar	Apr	May	June	July	Aug	Sept	Oct	Nov	Dec	2020	
															Annual	Capt
DE0007R	cadmium	precip	0,0152	0,0107	0,0167	0,0221	0,05	0,0097	0,0097	0,0264	0,0074	0,0092	0,0135	0,0071	0,0145	94
DE0008R	cadmium	precip	0,0118	0,0116	0,0106	0,0195	0,0115	0,0122	0,0112	0,0162	0,0083	0,0073	0,0165	0,0069	0,0111	100
DE0009R	cadmium	precip	0,012	0,007	0,0162	0,0174	0,019	0,0117	0,011	0,0071	0,0137	0,0111	0,0199	0,0031	0,0105	91
DK0005R	cadmium	precip	0,0135	0,0042	0,0569	0,1033	0,0517	0,0149	0,0091	0,021	0,131	0,1141	0,5896	0,066	0,0423	100
DK0008R	cadmium	precip	0,0069	0,0042	0,0492	0,0767	0,0262	0,0148	0,007	-	-	-	0,0335	0,025	0,0181	77
DK0012R	cadmium	precip	0,0099	0,035	0,1218	0,2975	0,0646	0,01	0,0108	0,0065	0,021	0,0539	0,1477	0,072	0,1558	100
DK0022R	cadmium	precip	0,0039	0,0011	0,0144	0,0362	0,0412	0,008	0,0063	0,0202	0,054	0,054	0,015	0,015	0,0118	100
DK0031R	cadmium	precip	0,0039	0,002	0,0085	0,0472	0,0096	0,0031	0,0082	0,0208	0,011	0,003	0,0108	-	0,0079	100
EE0009R	cadmium	precip	0,0192	0,0148	0,0114	0,01	0,0119	0,0178	0,01	0,0362	0,0139	0,0208	0,0112	0,01	0,0158	100
EE0011R	cadmium	precip	0,0297	0,0201	0,0101	0,0293	0,0101	0,01	0,01	0,049	0,0103	0,01	0,01	0,01	0,0151	100
ES0008R	cadmium	precip	0,0348	0,0563	0,0521	-	0,0647	0,0956	0,1056	0,1133	0,1662	0,0214	0,0385	0,0241	0,0773	100
ES0009R	cadmium	precip	0,02	0,0573	0,041	-	0,0906	0,0767	0,0454	0,0507	0,0367	0,2443	0,0616	0,1873	0,095	100
FI0018R	cadmium	precip	0,0347	0,024	0,0728	0,0199	0,018	0,016	0,0051	0,01	0,011	0,0368	0,0252	0,0498	0,0252	100
FI0036R	cadmium	precip	0,004	0,0031	0,0138	0,015	0,0065	0,0083	0,004	0,005	0,0104	0,007	0,0061	0,008	0,0066	100
FI0050R	cadmium	precip	0,0149	0,013	0,034	0,0223	0,018	0,013	0,0051	0,007	0,007	0,0179	0,0121	0,0239	0,014	100
FI0053R	cadmium	precip	0,009	0,0071	0,0626	0,014	0,0046	0,0072	0,0031	0,0084	0,0118	0,009	0,0044	0,015	0,0083	100
FI0092R	cadmium	precip	0,0063	0,0078	0,0133	0,012	0,0086	0,011	0,0031	0,0057	0,0065	0,0158	0,014	0,0218	0,0097	100
FI0093R	cadmium	precip	0,0178	0,013	0,0239	0,026	0,101	0,0301	0,003	0,01	0,006	0,0169	0,02	0,0219	0,0183	100
FR0008R	cadmium	precip_tot	0,007	0,007	-	-	0,335	0,1927	0,1852	0,4409	0,0812	0,0118	0,0149	0,01	0,0824	95
FR0009R	cadmium	precip_tot	0,0142	0,011	-	-	0,094	0,0488	0,0917	0,2072	0,0402	0,0208	0,0362	0,0141	0,0315	100
FR0013R	cadmium	precip_tot	0,0145	0,022	-	-	0,01	0,01	0,103	0,0236	0,0126	0,0231	0,0226	0,005	0,0138	98
FR0023R	cadmium	precip_tot	0,0326	0,027	-	-	0,019	0,0205	0,0358	0,0156	0,0696	0,057	0,0199	0,013	0,0358	87
FR0025R	cadmium	precip_tot	0,0174	0,0095	0,007	-	0,011	0,0141	0,0678	0,0467	0,0172	0,0203	0,0565	0,0062	0,0198	99
FR0028R	cadmium	precip_tot	0,0055	0,0031	0,011	-	0,028	0,0243	0,0509	0,019	0,013	0,0075	0,0216	0,024	0,0136	82
FR0090R	cadmium	precip	0,001	0,0049	0,0037	0,0939	0,0867	0,0948	0,0116	0,0058	0,06	0,0099	0,0058	0,015	0,029	100
GB0006R	cadmium	precip	0,002	0,001	0,001	-	-	-	-	-	-	-	-	0,001	-	-
GB0013R	cadmium	precip	0,0022	0,001	-	-	-	-	-	-	0,001	0,001	-	0,001	-	-
GB0017R	cadmium	precip	0,008	-	-	-	-	-	-	0,005	0,005	-	-	-	-	-
GB0048R	cadmium	precip	0,0013	0,001	0,001	0,0041	0,0033	0,0028	0,0011	0,001	0,001	0,001	0,001	0,001	0,0013	67
GB1055R	cadmium	precip	0,001	0,0015	-	-	-	-	-	0,0098	0,0044	0,0017	0,0082	0,001	-	-
IS0091R	cadmium	precip	0,0071	0,008	0,0105	0,05	0,0246	0,018	0,015	0,0131	0,012	0,0183	0,0032	0,012	0,0136	100
LV0010R	cadmium	precip	0,0142	0,0293	0,0345	0,0323	0,0405	0,01	0,01	0,015	0,01	0,0366	0,0262	0,0411	0,0223	100
NL0010R	cadmium	precip	0,1716	0,0286	0,0322	-	-	-	-	-	0,05	0,0441	0,0534	0,0212	-	-
NL0091R	cadmium	precip	0,0193	0,0066	0,0149	0,0138	0,0204	0,0069	0,0065	0,0085	0,0157	0,0108	0,0164	0,0072	0,0094	97
NO0001R	cadmium	precip	0,0143	0,0053	0,0131	0,0151	0,0151	0,0205	0,0088	0,0121	0,0137	0,0183	0,0159	0,0214	0,0149	96
NO0039R	cadmium	precip	0,0016	0,0015	0,0041	0,0023	0,0022	0,0145	0,0049	0,0061	0,0026	0,0026	0,009	0,0019	0,0034	100
NO0056R	cadmium	precip	0,0127	0,0168	0,0369	0,0148	0,0183	0,0097	0,0096	0,0102	0,0136	0,0105	0,0256	0,0241	0,0172	100
PL0004R	cadmium	precip	0,009	0,005	0,0188	0,0441	0,011	0,0169	0,012	0,0238	0,0101	0,011	0,0061	0,0109	0,0115	100

Site	Comp	Matrix	Jan	Febr	Mar	Apr	May	June	July	Aug	Sept	Oct	Nov	Dec	2020	
															Annual	Capt
PL0005R	cadmium	precip	0,03	0,021	0,0211	0,0435	0,03	0,0193	0,01	0,01	0,0177	0,05	0,0401	0,03	0,0267	100
SE0005R	cadmium	precip	0,01	0,01	0,0187	0,01	0,1318	0,0433	0,0557	0,01	0,0255	0,01	0,01	-	0,0206	100
SE0014R	cadmium	precip	0,01	0,01	0,0356	0,8646	0,1	0,1607	0,01	0,0557	0,2011	0,02	0,0209	0,03	0,0735	100
SE0020R	cadmium	precip	0,02	0,0105	0,0183	0,03	0,03	0,0185	0,01	0,0771	0,7265	0,04	0,04	0,04	0,0967	100
SE0022R	cadmium	precip	0,01	0,01	0,0188	0,02	0,01	0,01	0,01	0,0007	0,036	0,01	0,025	0,03	0,0128	100
SI0008R	cadmium	precip	0,0123	0,0091	0,0462	0,0111	0,0084	-	-	-	0,005	0,0064	0,0098	0,005	0,0103	90
SK0002R	cadmium	precip	0,022	0,039	0,071	0,085	0,185	0,451	0,095	0,125	0,062	0,022	0,049	0,023	0,1531	100
SK0004R	cadmium	precip	0,033	0,165	0,251	0,207	0,037	0,098	0,039	0,269	0,049	0,414	0,091	0,023	0,155	100
SK0006R	cadmium	precip	0,0503	0,0283	0,0358	0,0318	0,0625	0,1027	0,1932	0,1365	0,0308	0,0357	0,0586	0,2991	0,0922	100
SK0007R	cadmium	precip	0,028	0,026	0,023	0,613	0,064	0,097	0,042	0,023	0,04	0,162	0,029	0,199	0,0746	100
GB0048R	cesium	precip	0,001	0,001	0,001	0,001	0,001	0,0028	0,0011	0,001	0,001	0,001	0,001	0,001	0,0011	81
GB1055R	cesium	precip	0,001	0,001	0,001	-	-	-	-	0,001	0,001	0,001	0,001	0,001	-	-
BE0014R	chromium	precip	0,187	0,093	0,111	0,124	0,206	0,100	0,079	0,098	0,051	0,088	0,154	0,069	0,094	100
CZ0003R	chromium	precip	0,081	0,169	0,133	0,134	0,110	0,067	0,132	0,097	0,213	0,080	0,101	0,111	0,109	98
CZ0005R	chromium	precip	0,092	0,113	0,067	0,191	0,069	0,039	0,055	0,029	0,065	0,067	0,061	0,030	0,063	94
DE0001R	chromium	precip	0,070	0,054	0,054	0,145	0,094	0,077	0,051	0,042	0,056	0,044	0,049	0,064	0,056	100
DE0002R	chromium	precip	0,116	0,042	0,037	0,162	0,174	0,088	0,089	0,130	0,058	0,047	0,172	0,043	0,075	90
DE0003R	chromium	precip	0,184	0,081	0,042	0,122	0,075	0,054	0,104	0,037	0,032	0,049	0,060	0,021	0,057	83
DE0007R	chromium	precip	0,189	0,083	0,044	0,100	0,099	0,072	0,061	0,089	0,050	0,058	0,148	0,035	0,075	100
DE0008R	chromium	precip	0,092	0,083	0,056	0,158	0,060	0,060	0,091	0,083	0,067	0,049	0,077	0,045	0,068	98
DE0009R	chromium	precip	0,069	0,046	0,094	0,144	0,115	0,055	0,064	0,043	0,060	0,056	0,074	0,080	0,061	100
DK0005R	chromium	precip	0,062	0,080	0,939	1,534	0,395	0,091	0,069	0,429	1,058	0,745	1,114	0,118	0,301	100
DK0008R	chromium	precip	0,164	0,073	0,477	1,163	0,354	0,118	0,068	0,070	0,070	0,063	0,157	0,128	0,162	100
DK0012R	chromium	precip	0,041	0,241	1,087	4,056	0,197	0,059	0,063	0,065	0,106	0,227	0,174	0,155	1,886	100
DK0022R	chromium	precip	0,018	0,010	0,068	0,374	0,095	0,035	0,021	0,047	0,290	0,290	0,384	0,145	0,080	100
DK0031R	chromium	precip	0,023	0,012	0,108	0,402	0,067	0,023	0,015	0,028	0,039	0,006	0,027	-	0,035	100
ES0008R	chromium	precip	6,401	8,152	2,574	-	2,113	2,759	0,886	1,647	5,052	0,975	4,170	0,983	2,950	100
ES0009R	chromium	precip	1,879	1,297	0,825	-	0,326	0,379	0,688	0,634	0,357	0,875	0,169	0,354	0,547	100
FI0018R	chromium	precip	0,114	0,052	0,120	0,080	0,102	0,075	0,057	0,065	0,073	0,064	0,042	0,038	0,066	100
FI0036R	chromium	precip	0,026	0,045	0,097	0,052	0,084	0,047	0,043	0,058	0,048	0,019	0,015	0,041	0,040	100
FI0050R	chromium	precip	0,066	0,078	0,290	0,111	0,190	0,097	0,037	0,092	0,064	0,023	0,041	0,039	0,069	100
FI0053R	chromium	precip	0,073	0,080	0,727	0,415	0,100	0,176	0,040	0,101	0,059	0,024	0,049	0,089	0,077	100
FI0092R	chromium	precip	0,029	0,039	0,110	0,095	0,128	0,088	0,044	0,048	0,042	0,026	0,025	0,027	0,048	100
FI0093R	chromium	precip	0,069	0,048	0,141	0,088	0,091	0,201	0,045	0,068	0,047	0,028	0,050	0,024	0,054	100
FR0090R	chromium	precip	0,012	0,013	0,011	0,336	0,065	0,115	0,043	0,202	0,137	0,049	0,051	0,026	0,072	100
GB0006R	chromium	precip	0,022	0,026	0,040	0,020	0,020	0,020	0,020	0,020	0,020	-	0,020	0,020	0,024	77
GB0013R	chromium	precip	0,041	0,020	0,020	0,020	-	0,020	0,020	-	-	0,020	0,020	0,020	0,023	67
GB0017R	chromium	precip	0,091	0,020	0,020	-	-	0,020	0,020	0,044	0,044	-	0,020	0,020	0,027	51

Site	Comp	Matrix	Jan	Febr	Mar	Apr	May	June	July	Aug	Sept	Oct	Nov	Dec	2020	
															Annual	Capt
GB0048R	chromium	precip	0,032	0,020	0,020	0,040	0,041	0,039	0,020	0,020	0,020	0,020	0,020	0,020	0,024	70
GB1055R	chromium	precip	0,020	0,045	0,020	0,020	0,020	-	0,020	0,130	0,136	0,020	0,020	0,020	0,041	64
IS0091R	chromium	precip	0,195	0,260	0,494	0,760	0,351	0,481	0,750	0,125	0,180	0,319	0,163	0,200	0,314	100
NL0010R	chromium	precip	0,090	0,029	0,041	-	-	-	-	-	0,253	0,060	0,141	0,062	-	-
NL0091R	chromium	precip	0,204	0,059	0,053	0,099	0,139	0,093	0,060	0,057	0,069	0,018	0,042	0,039	0,063	100
NO0001R	chromium	precip	0,065	0,045	0,048	0,114	0,225	0,290	0,201	0,082	0,064	0,391	0,133	0,071	0,136	96
PL0004R	chromium	precip	0,013	0,015	0,022	0,240	0,023	0,053	0,038	0,047	0,027	0,037	0,015	0,057	0,030	100
PL0005R	chromium	precip	0,030	0,048	0,197	0,307	0,260	0,035	0,097	0,069	0,020	0,020	0,100	0,200	0,103	94
SE0005R	chromium	precip	0,061	0,100	0,125	0,060	0,117	0,088	0,047	0,070	0,040	0,040	0,040	-	0,061	100
SE0014R	chromium	precip	0,040	0,021	0,053	0,225	0,090	0,142	0,080	0,239	0,040	0,040	0,048	0,040	0,062	100
SE0020R	chromium	precip	0,080	0,042	0,048	0,110	0,110	0,108	0,040	0,043	0,074	0,040	0,040	0,040	0,056	100
SE0022R	chromium	precip	0,050	0,059	0,065	0,256	0,050	0,040	0,040	0,040	0,040	0,040	0,048	0,040	0,048	100
SI0008R	chromium	precip	0,057	0,037	0,079	0,012	0,078	-	-	-	0,030	0,034	0,010	0,008	0,031	90
SK0002R	chromium	precip	0,066	0,455	0,048	0,035	0,123	0,039	0,034	0,165	0,050	0,250	0,049	0,178	0,129	100
SK0004R	chromium	precip	0,202	0,065	0,051	0,458	0,037	0,069	0,123	0,228	0,237	0,031	0,543	0,035	0,125	100
SK0006R	chromium	precip	0,059	0,102	0,048	0,082	0,131	0,154	0,306	0,191	0,084	0,137	0,134	0,146	0,149	100
SK0007R	chromium	precip	0,055	0,068	0,034	0,954	0,209	0,242	0,364	0,098	0,302	0,033	0,157	0,033	0,155	100
CZ0003R	cobalt	precip	0,0128	0,043	0,0343	0,0482	0,0338	0,0191	0,0502	0,0252	0,007	0,017	0,012	0,0137	0,0269	98
CZ0005R	cobalt	precip	0,0448	0,0367	0,0168	0,0805	0,0261	0,0085	0,0204	0,0103	0,011	0,01	0,0119	0,0079	0,0196	94
DE0001R	cobalt	precip	0,0102	0,0132	0,011	0,0474	0,0255	0,0289	0,0138	0,0193	0,0213	0,0124	0,0217	0,0185	0,0169	76
DE0002R	cobalt	precip	0,0201	0,0163	0,0244	0,0302	0,0463	0,0335	0,0197	0,0266	0,0278	0,0226	0,0417	0,0148	0,0235	80
DE0003R	cobalt	precip	0,0225	0,0237	0,0267	0,3654	0,0421	0,0185	0,0279	0,0981	0,0164	0,0119	0,0211	0,0116	0,0219	50
DE0007R	cobalt	precip	0,0228	0,0175	0,0268	-	0,0389	0,0232	0,0238	0,0466	0,025	0,0312	0,0392	0,0133	0,0265	79
DE0008R	cobalt	precip	0,0111	0,0146	0,0092	0,0537	0,0275	0,0334	0,0371	0,0522	0,0338	0,0124	0,0205	0,0116	0,0206	73
DE0009R	cobalt	precip	0,0149	0,0131	0,0324	0,0399	0,0379	0,0286	0,011	-	0,0136	0,0242	0,0193	0,0095	0,0182	64
FI0018R	cobalt	precip	0,0391	0,0141	0,0433	0,0224	0,0369	0,0231	0,0111	0,01	0,0228	0,0458	0,0095	0,012	0,0213	100
FI0036R	cobalt	precip	0,004	0,0109	0,0201	0,015	0,0107	0,0085	0,005	0,0091	0,0076	0,005	0,0031	0,004	0,0068	100
FI0050R	cobalt	precip	0,0268	0,02	0,1412	0,0359	0,045	0,0241	0,0042	0,0187	0,01	0,011	0,0149	0,0101	0,02	100
FI0053R	cobalt	precip	0,023	0,0221	0,2691	0,065	0,0255	0,0395	0,0075	0,0249	0,0149	0,014	0,0083	0,012	0,0185	100
FI0092R	cobalt	precip	0,0056	0,0052	0,0211	0,021	0,021	0,023	0,0022	0,0066	0,0082	0,0113	0,005	0,003	0,0088	100
FI0093R	cobalt	precip	0,0563	0,011	0,04	0,0248	0,014	0,0385	0,0021	0,012	0,006	0,01	0,0041	0,004	0,0125	100
FR0090R	cobalt	precip	0,0083	0,0119	0,0078	0,0532	0,0696	0,0579	0,0184	0,01	0,0783	0,0122	0,0315	0,014	0,0264	100
GB0048R	cobalt	precip	0,0032	0,003	0,003	0,003	0,0064	0,003	0,003	0,003	0,003	0,003	0,003	0,003	0,0031	88
GB1055R	cobalt	precip	0,003	0,01	0,003	-	-	-	0,003	0,0086	0,0036	0,003	0,003	0,003	0,0049	72
IS0091R	cobalt	precip	0,0693	0,06	0,1177	0,13	0,1663	0,1416	0,19	0,0555	0,05	0,0992	0,0906	0,07	0,0966	100
NO0001R	cobalt	precip	0,0134	0,0047	0,0094	0,033	0,0622	0,0529	0,023	0,0253	0,0158	0,0476	0,0281	0,0204	0,0246	96
SE0005R	cobalt	precip	0,01	0,01	0,0273	0,01	0,0344	0,04	0,04	0,04	0,0355	0,02	0,0344	-	0,0272	100
SE0014R	cobalt	precip	0,01	0,0005	0,021	0,4023	0,05	0,04	0,04	0,0449	0,04	0,04	0,04	0,04	0,041	100

Site	Comp	Matrix	Jan	Febr	Mar	Apr	May	June	July	Aug	Sept	Oct	Nov	Dec	2020	
															Annual	Capt
SE0020R	cobalt	precip	0,02	0,0105	0,01	0,03	0,03	0,04	0,04	0,0456	0,1078	0,04	0,04	0,04	0,0377	100
SE0022R	cobalt	precip	0,01	0,0191	0,0125	0,0552	0,01	0,0393	0,04	0,04	0,04	0,04	0,04	0,04	0,0338	100
SI0008R	cobalt	precip	0,075	0,075	0,0818	0,0808	0,0884	-	-	-	0,075	0,0808	0,0779	0,15	0,0895	90
BE0014R	copper	precip	7,24	2,85	18,71	5,81	7,23	2,10	1,68	4,62	0,88	2,26	3,49	2,20	4,15	100
CZ0005R	copper	precip	0,86	1,70	1,00	2,17	0,91	0,59	0,84	0,46	0,23	0,86	1,32	0,26	0,83	94
DE0001R	copper	precip	0,37	0,28	0,40	0,77	0,52	0,41	0,41	0,31	0,42	0,29	0,35	0,36	0,35	100
DE0002R	copper	precip	0,48	0,32	0,40	1,08	1,28	0,79	0,60	0,55	0,41	0,29	0,51	0,39	0,51	100
DE0003R	copper	precip	0,27	0,29	0,29	0,66	0,40	0,51	0,77	0,54	0,30	0,21	0,20	0,13	0,35	100
DE0007R	copper	precip	0,47	0,49	0,52	1,19	2,72	0,76	0,85	1,02	0,63	0,98	0,64	0,24	0,82	100
DE0008R	copper	precip	0,60	0,52	0,42	1,24	0,64	0,71	0,73	0,86	0,61	0,64	0,61	0,22	0,61	100
DE0009R	copper	precip	0,56	0,19	0,44	1,00	0,89	0,49	0,52	0,47	0,45	0,45	0,46	0,16	0,45	100
DK0005R	copper	precip	8,09	8,64	3,30	6,86	2,75	0,48	0,38	1,18	6,54	2,40	45,29	0,83	4,29	89
DK0008R	copper	precip	0,45	0,30	3,64	5,05	2,36	0,61	0,42	0,57	0,57	0,34	1,09	0,45	0,83	100
DK0012R	copper	precip	0,43	1,74	6,70	18,38	11,93	0,30	0,42	0,40	-	1,07	1,55	0,72	9,42	98
DK0022R	copper	precip	0,23	0,06	0,49	1,66	0,87	0,22	0,25	0,30	2,24	2,24	0,57	0,36	0,37	100
DK0031R	copper	precip	0,17	0,13	0,32	2,80	0,70	0,15	0,50	0,62	0,40	0,12	0,39	-	0,37	100
EE0009R	copper	precip	2,46	0,64	0,55	1,00	1,55	2,48	1,19	4,02	3,01	1,02	1,00	0,66	1,72	100
EE0011R	copper	precip	1,58	1,40	0,51	1,47	0,50	1,78	21,91	4,07	0,52	0,50	1,09	0,51	3,64	100
ES0008R	copper	precip	4,03	6,69	32,16	-	8,27	76,66	4,11	6,91	18,76	4,92	5,48	2,35	16,63	100
ES0009R	copper	precip	2,62	7,34	4,02	-	8,90	7,39	5,04	5,50	5,31	21,50	1,76	2,45	7,63	100
FI0018R	copper	precip	1,13	0,50	1,54	0,47	0,76	0,50	0,48	0,44	0,61	0,52	0,52	0,56	0,59	100
FI0036R	copper	precip	0,32	0,71	2,85	0,97	0,77	0,93	0,28	0,31	0,25	0,28	0,44	1,04	0,55	100
FI0050R	copper	precip	0,56	0,46	2,20	1,07	0,80	0,49	0,26	0,49	0,22	0,25	0,38	0,70	0,49	100
FI0053R	copper	precip	0,35	0,60	7,06	1,84	0,46	0,58	0,20	0,80	0,28	0,67	0,44	1,41	0,55	100
FI0092R	copper	precip	0,20	0,38	1,20	1,38	0,61	0,46	0,12	0,29	0,19	0,29	0,47	0,36	0,36	100
FI0093R	copper	precip	0,71	0,36	1,00	0,69	0,36	1,89	0,29	0,48	0,34	0,42	0,27	0,38	0,43	100
FR0090R	copper	precip	0,08	0,04	0,04	0,50	1,54	3,54	0,80	5,60	4,34	1,60	1,57	1,15	1,88	100
GB0006R	copper	precip	0,15	0,25	0,71	-	-	-	-	-	-	-	-	-	-	-
GB0013R	copper	precip	0,22	-	0,01	-	-	-	-	-	-	-	-	-	-	-
GB0017R	copper	precip	0,32	-	-	-	-	-	-	0,33	0,33	-	-	-	-	-
GB0048R	copper	precip	0,13	0,01	0,01	4,02	2,62	0,10	0,09	-	-	0,01	0,01	0,01	0,39	27
GB1055R	copper	precip	-	0,09	-	-	-	-	-	0,47	0,18	0,14	0,23	0,07	-	-
IS0091R	copper	precip	0,98	-	3,89	8,50	4,73	4,48	3,76	1,33	2,57	3,26	1,25	2,26	2,88	93
NL0010R	copper	precip	2,22	1,03	1,40	-	-	-	-	-	2,45	1,23	2,67	1,15	-	-
NL0091R	copper	precip	0,43	0,35	2,07	1,01	1,17	0,83	0,43	0,54	0,98	0,41	0,51	0,36	0,56	100
NO0001R	copper	precip	0,81	0,24	0,65	1,08	1,32	5,56	3,06	1,82	1,98	5,46	4,33	2,18	2,44	96
PL0004R	copper	precip	0,39	0,33	0,72	3,19	0,80	1,43	0,43	0,40	0,41	0,57	0,66	1,20	0,59	100
PL0005R	copper	precip	0,50	0,86	0,79	3,06	1,10	0,51	0,68	1,28	0,63	1,20	0,45	0,80	0,91	100

Site	Comp	Matrix	Jan	Febr	Mar	Apr	May	June	July	Aug	Sept	Oct	Nov	Dec	2020	
															Annual	Capt
SE0005R	copper	precip	1,19	3,30	2,23	5,96	10,93	9,59	4,35	3,25	0,86	0,86	51,22	-	5,88	100
SE0014R	copper	precip	1,70	0,63	5,01	10,97	5,38	17,49	2,50	19,31	4,65	1,22	4,44	2,80	4,22	100
SE0020R	copper	precip	1,21	0,59	5,20	5,92	5,92	2,77	2,30	2,73	9,79	1,51	14,90	8,21	3,62	100
SE0022R	copper	precip	1,71	0,77	10,40	3,84	4,40	3,46	8,25	4,16	2,16	0,62	6,81	5,40	3,73	100
SI0008R	copper	precip	0,37	0,77	1,14	0,54	0,56	-	-	-	0,48	1,39	0,35	0,08	0,69	90
SK0002R	copper	precip	1,15	1,51	1,03	1,39	1,27	1,04	0,36	0,18	0,68	0,72	0,15	0,86	0,90	100
SK0004R	copper	precip	1,96	0,16	4,02	2,92	0,12	2,12	1,06	0,32	0,88	0,14	1,60	0,14	0,88	100
SK0006R	copper	precip	0,79	0,72	1,21	1,21	0,42	0,54	0,71	0,62	0,74	0,97	0,83	1,02	0,74	98
SK0007R	copper	precip	1,37	0,24	0,18	3,82	0,33	0,93	1,20	0,77	0,91	0,28	0,21	0,18	0,62	100
BE0014R	iron	precip	16,1	8,0	9,7	24,2	30,0	13,1	6,0	12,2	3,2	4,5	11,4	4,8	8,3	100
CZ0005R	iron	precip	59,5	64,4	30,0	87,9	24,2	12,2	26,5	13,7	12,6	28,6	16,1	13,5	28,1	94
DE0001R	iron	precip	8,6	7,3	11,2	36,7	19,9	23,7	9,5	9,8	14,0	8,7	9,0	11,6	11,1	96
DE0002R	iron	precip	12,1	9,9	9,6	60,1	70,0	18,4	23,6	49,8	16,1	13,7	58,1	9,1	18,2	83
DE0003R	iron	precip	19,6	9,4	8,4	29,8	19,3	12,7	34,9	7,4	5,4	4,1	18,3	4,7	11,1	84
DE0007R	iron	precip	31,6	11,4	7,9	-	39,8	18,8	19,3	38,0	13,1	21,9	53,5	8,7	20,0	89
DE0008R	iron	precip	12,6	14,4	10,0	40,4	12,1	26,7	25,0	19,7	19,6	8,1	18,0	6,6	14,1	82
DE0009R	iron	precip	9,7	5,5	11,4	50,6	39,4	24,4	14,0	10,5	18,3	10,8	10,8	16,1	14,0	82
FI0018R	iron	precip	93,5	45,1	151,1	31,6	111,5	47,4	65,5	40,7	23,0	20,1	10,2	48,9	48,4	100
FI0036R	iron	precip	3,7	7,8	17,9	9,8	12,6	6,0	1,2	7,1	4,6	1,8	1,2	1,7	4,3	100
FI0050R	iron	precip	20,6	39,8	188,6	39,2	79,0	41,1	1,6	29,7	7,6	2,9	16,9	12,0	25,4	100
FI0053R	iron	precip	14,8	8,1	78,8	24,9	21,1	51,9	3,3	22,5	10,0	1,7	6,9	6,0	10,8	100
FI0092R	iron	precip	4,4	4,5	28,8	23,6	34,9	29,9	2,2	7,9	1,6	4,1	4,1	3,4	8,4	100
FI0093R	iron	precip	24,1	14,3	49,5	31,3	20,0	32,4	3,9	14,6	2,7	4,3	3,1	4,8	11,1	100
GB0048R	iron	precip	0,6	0,5	0,5	15,5	10,6	2,0	0,7	0,5	0,5	0,5	0,5	0,5	1,1	66
GB1055R	iron	precip	0,5	4,6	0,5	-	-	-	-	4,6	1,4	1,0	0,5	0,5	2,3	50
IS0091R	iron	precip	162,5	129,3	231,0	331,2	390,7	314,2	390,8	67,7	127,8	225,6	206,4	156,2	208,3	100
NL0010R	iron	precip	12,6	12,3	13,9	-	-	-	-	-	36,3	33,7	60,5	16,6	-	-
NL0091R	iron	precip	10,7	7,9	10,8	25,1	28,1	25,7	10,9	15,7	17,7	6,5	7,4	5,2	12,3	95
BE0014R	lead	precip	0,402	0,332	0,529	0,754	0,861	0,553	0,480	0,433	0,117	0,296	0,461	0,457	0,389	100
CZ0003R	lead	precip	0,726	0,589	0,851	1,092	0,620	0,500	1,015	0,601	0,439	0,447	0,455	0,421	0,618	98
CZ0005R	lead	precip	0,273	0,399	0,365	0,968	0,247	0,264	0,296	0,209	0,065	0,366	0,563	0,111	0,294	94
DE0001R	lead	precip	0,304	0,205	0,282	0,437	0,282	0,313	0,168	0,099	0,328	0,101	0,324	0,470	0,225	100
DE0002R	lead	precip	0,273	0,209	0,251	0,750	0,932	0,657	0,362	0,504	0,193	0,168	0,207	0,419	0,368	100
DE0003R	lead	precip	0,180	0,181	0,176	0,314	0,187	0,201	0,360	0,227	0,160	0,188	0,168	0,109	0,190	100
DE0007R	lead	precip	0,279	0,256	0,395	0,647	0,679	0,574	0,332	0,669	0,192	0,202	0,240	0,147	0,366	100
DE0008R	lead	precip	0,316	0,444	0,400	0,614	0,300	0,419	0,345	0,522	0,273	0,188	0,375	0,193	0,345	94
DE0009R	lead	precip	0,178	0,109	0,279	0,304	0,548	0,318	0,265	0,248	0,337	0,168	0,190	0,050	0,235	91
DK0005R	lead	precip	1,130	1,145	3,183	4,778	1,190	0,349	0,253	1,465	2,862	4,118	6,823	0,567	1,508	89

Site	Comp	Matrix	Jan	Febr	Mar	Apr	May	June	July	Aug	Sept	Oct	Nov	Dec	2020	
															Annual	Capt
DK0008R	lead	precip	0,204	0,122	1,242	3,031	1,028	0,300	0,171	0,177	0,177	0,200	0,631	0,527	0,429	100
DK0012R	lead	precip	0,249	0,528	1,790	5,880	0,433	0,150	0,128	0,131	0,496	0,742	1,466	1,207	2,928	100
DK0022R	lead	precip	0,104	0,036	0,262	0,988	0,358	0,119	0,091	0,241	0,993	0,993	0,281	0,349	0,206	100
DK0031R	lead	precip	0,129	0,050	0,236	1,375	0,201	0,074	0,096	0,118	0,175	0,034	0,196	-	0,138	100
EE0009R	lead	precip	0,297	0,136	0,188	0,080	0,097	0,197	0,050	0,560	0,166	0,231	0,127	0,120	0,182	100
EE0011R	lead	precip	0,237	0,210	0,180	0,508	0,122	0,455	1,097	0,905	0,056	0,199	0,151	0,239	0,353	100
ES0008R	lead	precip	0,519	0,621	0,777	-	0,557	2,504	1,516	1,020	4,597	0,584	1,409	0,748	1,596	100
ES0009R	lead	precip	0,979	2,950	1,456	-	0,907	0,930	1,040	0,907	1,630	7,761	0,388	0,566	2,094	100
FI0018R	lead	precip	1,119	0,706	1,854	0,356	0,495	0,329	0,228	0,322	0,249	1,128	1,464	1,096	0,739	100
FI0036R	lead	precip	0,132	0,220	0,626	0,389	0,304	0,139	0,070	0,159	0,143	0,187	0,151	0,315	0,184	100
FI0050R	lead	precip	0,424	0,400	0,891	0,376	0,367	0,322	0,035	0,122	0,149	0,282	0,340	0,668	0,321	100
FI0053R	lead	precip	0,399	0,325	1,817	0,356	0,206	0,149	0,047	0,288	0,223	0,130	0,109	0,405	0,199	100
FI0092R	lead	precip	0,196	0,254	0,398	0,288	0,164	0,211	0,077	0,126	0,099	0,432	0,341	0,644	0,247	100
FI0093R	lead	precip	0,553	0,391	0,628	0,483	0,170	0,505	0,070	0,283	0,112	0,335	0,290	0,694	0,322	100
FR0008R	lead	precip_tot	0,267	0,267	-	-	0,463	0,444	1,028	1,437	0,513	0,288	0,396	0,269	0,446	95
FR0009R	lead	precip_tot	0,514	0,508	-	-	1,784	1,052	1,646	3,123	0,583	0,627	0,826	0,512	0,728	100
FR0013R	lead	precip_tot	0,315	0,290	-	-	0,353	0,353	2,847	0,618	0,187	0,187	0,310	0,123	0,248	98
FR0023R	lead	precip_tot	0,411	0,600	-	-	0,337	0,913	2,925	0,637	0,362	0,692	0,487	0,429	0,594	87
FR0025R	lead	precip_tot	0,312	0,217	0,186	-	0,302	0,425	1,235	0,987	0,369	0,578	0,710	0,158	0,433	99
FR0028R	lead	precip_tot	0,199	0,121	0,156	-	0,498	0,395	0,438	1,024	0,546	0,322	0,536	0,572	0,414	82
FR0090R	lead	precip	0,544	0,130	0,235	1,543	1,083	2,714	0,329	0,324	1,212	0,271	0,397	0,360	0,800	100
GB0006R	lead	precip	0,060	0,030	0,030	0,030	0,030	0,030	0,030	0,030	0,030	0,030	0,030	0,030	0,032	99
GB0013R	lead	precip	0,093	0,030	0,030	0,030	-	-	0,030	0,030	0,030	0,030	0,030	0,030	0,033	82
GB0017R	lead	precip	0,199	-	-	-	-	-	-	1,203	1,203	0,030	0,030	0,030	-	-
GB0048R	lead	precip	0,031	0,030	0,030	0,068	0,066	0,030	0,030	0,030	0,030	0,030	0,030	0,030	0,032	94
GB1055R	lead	precip	-	0,054	0,030	-	-	-	0,030	0,133	0,030	0,030	0,030	0,030	-	-
IS0091R	lead	precip	0,862	2,300	0,895	1,200	0,382	0,655	0,820	0,138	0,430	0,443	0,133	0,230	0,624	100
LV0010R	lead	precip	0,459	1,805	0,402	1,469	0,872	0,200	0,200	0,392	0,200	0,384	0,248	0,295	0,467	95
NL0010R	lead	precip	0,824	0,620	0,613	-	-	-	-	-	1,352	0,414	0,773	0,385	-	-
NL0091R	lead	precip	0,301	0,327	0,384	0,597	0,562	0,423	0,276	0,312	0,472	0,354	0,529	0,274	0,350	100
NO0001R	lead	precip	0,430	0,177	0,371	0,439	0,247	0,988	0,661	0,417	0,480	0,878	1,327	0,660	0,620	96
NO0039R	lead	precip	0,034	0,021	0,133	0,063	0,052	1,051	0,573	0,184	0,034	0,085	0,196	0,206	0,143	100
NO0056R	lead	precip	0,241	0,177	0,365	0,200	0,465	0,478	0,525	0,889	0,277	0,588	0,577	0,586	0,474	100
PL0004R	lead	precip	0,380	0,122	0,435	2,001	0,182	0,278	0,180	0,209	0,220	0,220	0,141	0,338	0,253	100
PL0005R	lead	precip	0,200	0,200	0,228	0,353	0,150	0,154	0,196	0,159	0,131	0,220	0,580	0,500	0,243	100
SE0005R	lead	precip	0,172	0,280	0,240	0,410	0,467	0,628	0,351	1,180	0,152	0,160	0,419	-	0,425	100
SE0014R	lead	precip	0,300	0,395	0,295	1,075	0,310	1,888	0,150	0,424	0,231	0,240	0,271	0,580	0,449	100
SE0020R	lead	precip	0,410	0,249	0,348	0,350	0,350	0,988	0,310	0,083	0,500	0,220	0,634	0,660	0,369	100

Site	Comp	Matrix	Jan	Febr	Mar	Apr	May	June	July	Aug	Sept	Oct	Nov	Dec	2020	
															Annual	Capt
SE0022R	lead	precip	0,480	0,196	0,361	0,677	0,260	0,382	0,140	0,038	0,332	0,150	0,293	0,320	0,243	100
SI0008R	lead	precip	0,372	0,455	1,195	0,265	0,532	-	-	-	0,380	0,317	0,121	0,162	0,368	90
SK0002R	lead	precip	2,311	1,497	1,780	1,540	6,646	12,033	0,384	0,355	2,746	0,263	0,422	0,237	3,861	100
SK0004R	lead	precip	2,579	0,343	1,919	2,593	3,324	0,260	0,622	0,459	0,517	0,278	1,651	1,437	0,795	100
SK0006R	lead	precip	0,895	0,537	0,404	1,783	0,707	1,027	0,732	0,790	0,655	0,624	0,479	1,517	0,808	100
SK0007R	lead	precip	2,175	0,419	0,511	1,978	0,927	0,748	0,486	1,246	0,450	0,703	1,436	2,407	0,913	100
GB0048R	lithium	precip	0,0236	-	-	0,028	0,0365	0,0084	0,0024	-	-	-	-	-	-	-
GB1055R	lithium	precip	-	0,0298	-	-	-	-	-	0,0156	0,011	0,026	0,023	0,032	-	-
BE0014R	manganese	precip	1,15	2,49	4,10	5,87	10,76	3,23	5,69	1,73	1,97	2,33	1,54	2,03	2,78	100
CZ0003R	manganese	precip	1,29	4,00	2,93	4,83	3,78	1,52	4,20	2,38	0,56	0,95	1,07	0,91	2,39	98
CZ0005R	manganese	precip	2,62	3,20	1,06	9,93	3,16	0,80	1,89	0,88	0,75	0,55	0,77	0,32	1,72	94
DE0001R	manganese	precip	0,54	0,50	0,61	3,17	1,58	1,55	0,79	0,70	1,26	0,60	0,76	0,93	0,81	96
DE0002R	manganese	precip	0,87	0,97	1,02	8,95	5,22	3,05	2,00	2,91	1,11	1,11	1,62	0,72	1,60	87
DE0003R	manganese	precip	1,05	1,29	0,76	4,39	1,61	1,02	2,11	0,33	0,55	0,50	0,60	0,65	0,94	76
DE0007R	manganese	precip	1,30	2,00	1,33	4,65	8,39	1,84	1,78	4,56	0,99	2,06	1,59	0,42	2,30	94
DE0008R	manganese	precip	0,62	1,42	0,67	5,64	2,22	1,56	2,48	2,24	1,97	0,53	0,91	0,31	1,25	88
DE0009R	manganese	precip	0,89	1,29	1,49	6,98	6,99	1,86	1,31	1,70	2,50	2,07	1,50	0,55	1,87	81
EE0011R	manganese	precip	0,99	0,53	2,08	1,23	1,70	0,55	0,52	0,85	1,79	2,50	0,56	0,83	1,25	100
FI0018R	manganese	precip	2,78	1,05	3,46	2,01	3,83	5,18	1,74	1,44	2,41	4,49	6,86	1,14	2,86	100
FI0036R	manganese	precip	0,91	0,64	31,90	2,19	0,88	0,86	0,46	1,08	1,20	0,45	0,79	0,15	1,50	100
FI0050R	manganese	precip	1,84	0,99	15,22	2,37	2,83	3,80	1,63	2,41	1,33	1,91	0,79	0,89	2,15	100
FI0053R	manganese	precip	0,95	0,83	8,01	2,01	1,15	4,20	0,60	1,90	1,27	0,68	0,49	0,82	1,11	100
FI0092R	manganese	precip	0,37	0,36	1,19	1,58	1,61	2,63	0,39	0,58	0,94	1,14	2,82	0,33	1,02	100
FI0093R	manganese	precip	4,50	1,43	11,10	2,83	1,90	15,77	1,45	1,50	1,00	1,56	0,43	0,63	2,03	100
GB0048R	manganese	precip	0,20	-	-	0,95	0,85	0,55	0,56	-	-	-	-	-	0,47	14
GB1055R	manganese	precip	-	2,57	-	-	-	-	-	1,05	0,51	0,12	1,12	0,44	1,43	23
IS0091R	manganese	precip	2,82	2,43	4,07	5,92	7,57	7,63	6,56	1,51	2,27	4,07	3,86	2,81	4,00	100
NO0001R	manganese	precip	0,73	0,37	0,59	2,28	4,15	4,43	1,26	1,84	2,11	2,59	0,93	0,38	1,43	96
SE0005R	manganese	precip	1,72	1,20	5,23	78,40	29,86	13,60	17,86	1,50	11,86	3,80	28,36	-	10,30	100
SE0014R	manganese	precip	1,00	1,00	2,03	11,60	4,10	11,71	1,60	9,40	16,54	1,10	1,38	1,50	3,97	100
SE0020R	manganese	precip	1,60	1,69	2,53	8,90	8,90	4,67	2,80	4,02	25,98	4,20	2,39	1,20	5,24	100
SE0022R	manganese	precip	1,40	1,67	0,86	5,21	1,10	3,20	1,10	1,19	4,89	0,90	1,43	0,70	1,85	100
SI0008R	manganese	precip	5,21	3,54	9,11	1,75	6,87	-	-	-	2,27	2,20	0,47	1,05	2,76	90
CZ0003R	mercury	precip	4,14	4,22	3,03	2,52	14,60	3,40	6,62	3,68	1,00	10,77	3,02	7,52	5,31	96
DE0001R	mercury	precip	3,88	3,79	4,96	5,59	7,29	5,88	5,31	5,96	4,02	3,52	2,62	4,17	4,49	100
DE0002R	mercury	precip	3,44	2,82	3,93	7,91	11,10	9,18	13,59	9,49	4,68	4,58	4,45	3,88	6,50	100
DE0003R	mercury	precip	7,74	5,67	5,52	4,40	6,25	6,36	11,18	6,36	2,80	3,43	4,55	3,39	5,38	100
DE0008R	mercury	precip	4,44	4,13	3,99	6,48	5,09	7,60	8,07	8,23	3,95	2,75	4,11	2,63	4,90	100

Site	Comp	Matrix	Jan	Febr	Mar	Apr	May	June	July	Aug	Sept	Oct	Nov	Dec	2020	
															Annual	Capt
DE0009R	mercury	precip	4,22	3,61	5,08	14,31	10,62	5,17	8,54	12,94	8,05	4,81	5,42	2,36	7,13	100
EE0009R	mercury	precip	2,50	2,50	2,50	2,50	2,50	2,50	2,50	2,50	2,50	2,50	2,50	2,50	2,50	100
ES0008R	mercury	precip	5,21	3,90	2,50	-	2,50	3,41	6,56	3,45	2,50	2,50	9,51	2,67	3,20	100
FI0018R	mercury	precip	1,97	3,00	3,00	9,89	3,04	8,97	1,08	3,98	7,91	5,02	1,06	1,99	4,04	100
FI0036R	mercury	precip	7,65	2,77	3,41	3,38	4,30	6,10	4,22	5,37	3,70	2,76	1,83	1,66	3,75	100
FI0050R	mercury	precip	2,00	2,00	4,51	5,18	11,00	6,02	4,02	5,07	7,00	3,04	1,02	2,98	4,07	100
FI0093R	mercury	precip	2,04	3,00	3,91	3,03	4,00	6,98	2,05	2,00	1,01	4,00	1,03	1,03	2,84	100
GB0013R	mercury	precip	3,00	3,05	4,00	5,94	5,00	3,04	8,86	11,00	5,11	4,00	4,00	1,00	3,97	100
GB0017R	mercury	precip	3,00	2,04	5,48	11,61	20,96	11,48	10,80	8,11	3,51	3,67	4,00	2,00	5,38	100
GB0048R	mercury	precip	2,85	2,00	2,78	5,15	6,00	5,06	4,64	7,59	3,34	2,00	2,00	1,03	3,51	100
GB1055R	mercury	precip	2,00	2,06	3,00	4,97	5,75	7,00	4,47	5,92	4,58	1,12	3,00	3,00	3,24	100
LV0010R	mercury	precip	4,18	1,50	15,67	1,50	3,82	10,11	5,61	3,08	2,72	11,17	3,43	1,50	5,82	87
NL0091R	mercury	precip	7,78	6,27	8,19	49,43	20,72	10,60	9,17	12,26	11,03	6,92	5,86	5,81	9,14	100
NO0001R	mercury	precip	3,15	1,61	4,62	8,40	11,60	8,41	8,07	4,60	2,20	2,66	1,67	2,05	3,71	100
PL0005R	mercury	precip	11,50	16,33	9,64	11,96	9,60	10,19	13,79	9,72	14,48	8,90	3,65	3,30	10,23	100
SE0005R	mercury	precip	4,23	1,95	4,28	4,08	4,43	18,42	3,40	4,36	2,78	1,93	2,57	2,78	3,76	100
SE0014R	mercury	precip	5,83	3,58	5,00	15,96	18,21	9,05	5,17	11,40	5,53	6,28	3,48	4,41	6,39	100
SE0020R	mercury	precip	5,04	4,80	8,01	12,71	10,60	7,37	7,54	9,78	4,76	3,97	9,77	6,68	6,41	100
SI0008R	mercury	precip	11,44	7,15	7,19	6,07	3,97	-	-	-	-	-	-	3,29	-	100
DE0001R	molybdenum	precip	0,032	0,032	0,029	0,057	0,060	0,025	0,015	0,020	0,033	0,023	0,038	0,038	0,028	100
DE0002R	molybdenum	precip	0,046	0,026	0,030	0,073	0,061	0,027	0,034	0,041	0,023	0,025	0,040	0,022	0,032	96
DE0003R	molybdenum	precip	0,018	0,018	0,023	0,018	0,026	0,021	0,021	0,013	0,011	0,013	0,016	0,008	0,016	100
DE0007R	molybdenum	precip	0,039	0,032	0,036	-	0,032	0,019	0,033	0,031	0,019	0,021	0,027	0,022	0,028	86
DE0008R	molybdenum	precip	0,029	0,042	0,039	0,049	0,028	0,026	0,032	0,030	0,025	0,021	0,038	0,016	0,030	95
DE0009R	molybdenum	precip	0,026	0,018	0,021	0,040	0,037	0,017	0,020	0,016	0,023	0,020	0,023	0,014	0,021	81
GB0048R	molybdenum	precip	0,015	0,015	0,015	0,037	0,056	0,015	0,015	0,015	0,015	0,015	0,015	0,015	0,017	89
GB1055R	molybdenum	precip	0,015	0,015	0,015	0,015	0,015	-	0,015	0,015	0,015	0,015	0,015	0,015	0,015	83
BE0014R	nickel	precip	0,225	0,232	0,412	0,467	0,954	0,208	0,259	0,259	0,062	0,125	0,239	0,192	0,215	100
CZ0003R	nickel	precip	0,321	0,152	0,232	0,373	0,249	0,116	0,205	0,123	0,068	0,082	0,165	0,225	0,155	98
CZ0005R	nickel	precip	0,087	0,114	0,084	0,316	0,114	0,105	0,097	0,087	0,068	0,098	0,131	0,063	0,102	94
DE0001R	nickel	precip	0,064	0,059	0,081	0,146	0,088	0,104	0,074	0,058	0,108	0,090	0,075	0,123	0,079	100
DE0002R	nickel	precip	0,072	0,042	0,046	0,145	0,164	0,120	0,085	0,069	0,049	0,054	0,118	0,058	0,073	100
DE0003R	nickel	precip	0,074	0,056	0,044	0,119	0,069	0,055	0,100	0,068	0,023	0,038	0,042	0,019	0,052	100
DE0007R	nickel	precip	0,082	0,063	0,040	0,131	0,136	0,141	0,062	0,130	0,057	0,087	0,113	0,028	0,085	100
DE0008R	nickel	precip	0,241	0,105	0,128	0,324	0,150	0,300	0,514	0,370	0,268	0,173	0,202	0,057	0,216	88
DE0009R	nickel	precip	0,522	0,162	0,363	0,312	0,203	0,243	0,186	0,096	0,275	0,344	0,230	0,188	0,218	95
DK0005R	nickel	precip	0,087	0,057	0,618	1,453	0,320	0,123	0,079	0,225	0,969	0,242	1,822	0,169	0,244	100
DK0008R	nickel	precip	0,178	0,218	2,883	1,580	0,852	0,178	0,137	0,212	0,212	0,111	0,425	0,102	0,329	100

Site	Comp	Matrix	Jan	Febr	Mar	Apr	May	June	July	Aug	Sept	Oct	Nov	Dec	2020	
															Annual	Capt
DK0012R	nickel	precip	0,080	0,338	1,384	4,437	0,262	0,080	0,097	0,244	0,162	0,505	0,617	0,156	2,121	100
DK0022R	nickel	precip	0,029	0,014	0,100	0,350	0,108	0,048	0,045	0,063	0,380	0,380	0,097	0,055	0,066	100
DK0031R	nickel	precip	0,033	0,019	0,121	0,396	0,097	0,040	0,043	0,050	0,098	0,024	0,143	-	0,061	100
EE0009R	nickel	precip	0,821	0,104	0,106	0,299	0,376	0,287	0,272	0,580	0,281	0,132	0,227	0,055	0,294	100
EE0011R	nickel	precip	0,425	0,450	0,056	0,050	0,050	0,395	4,680	0,977	0,056	0,050	0,924	0,061	0,836	100
ES0008R	nickel	precip	5,632	5,766	3,211	-	2,513	6,128	9,197	5,206	11,574	1,728	4,665	1,733	5,069	100
ES0009R	nickel	precip	0,510	0,510	0,510	-	1,181	0,532	0,578	0,592	0,510	0,510	0,570	0,510	0,615	100
FI0018R	nickel	precip	0,229	0,112	2,914	0,248	0,152	0,114	0,047	0,062	0,093	0,127	0,098	0,089	0,219	100
FI0036R	nickel	precip	0,075	0,492	0,892	0,617	0,186	0,151	0,097	0,065	0,051	0,035	0,050	0,169	0,158	100
FI0050R	nickel	precip	0,132	0,136	0,688	0,310	0,220	0,522	0,083	0,116	0,050	0,051	0,058	0,076	0,160	100
FI0053R	nickel	precip	0,107	0,101	0,583	0,233	0,085	0,154	0,046	0,090	0,052	0,056	0,082	0,108	0,080	100
FI0092R	nickel	precip	0,059	0,068	0,206	0,200	0,160	0,161	0,049	0,050	0,036	0,049	0,056	0,045	0,073	100
FI0093R	nickel	precip	0,142	0,155	0,489	0,514	0,101	0,230	0,052	0,082	0,056	0,056	0,060	0,070	0,118	100
FR0008R	nickel	precip_tot	0,085	0,085	-	-	0,188	0,197	0,373	0,723	0,232	0,101	0,251	0,066	0,181	95
FR0009R	nickel	precip_tot	0,115	0,096	-	-	0,426	0,362	0,600	1,122	0,225	0,162	0,289	0,135	0,216	100
FR0013R	nickel	precip_tot	0,698	0,314	-	-	0,141	0,141	1,325	0,848	0,191	0,103	0,282	0,096	0,214	98
FR0023R	nickel	precip_tot	0,215	0,288	-	-	0,192	0,272	0,702	0,205	0,196	0,268	0,409	0,123	0,232	87
FR0025R	nickel	precip_tot	0,567	0,202	0,257	-	0,118	0,237	0,648	0,685	0,221	0,294	0,487	0,096	0,294	99
FR0028R	nickel	precip_tot	0,108	0,102	0,145	-	0,197	0,210	0,383	0,198	0,139	0,093	0,144	0,153	0,145	82
FR0090R	nickel	precip	0,053	0,060	0,062	0,160	0,209	0,349	0,101	0,850	0,831	0,349	0,282	0,190	0,297	100
GB0006R	nickel	precip	0,170	0,017	0,037	-	-	-	-	-	-	-	-	-	-	-
GB0013R	nickel	precip	0,088	-	-	-	-	-	-	-	-	-	-	0,005	-	-
GB0017R	nickel	precip	0,079	-	-	-	-	-	-	0,088	0,088	-	-	-	-	-
GB0048R	nickel	precip	0,024	0,005	0,005	0,223	0,156	0,118	0,109	-	-	-	-	0,005	-	-
GB1055R	nickel	precip	-	0,053	-	-	-	-	-	0,099	0,139	0,195	0,041	0,041	-	-
IS0091R	nickel	precip	0,522	0,290	0,973	0,500	0,436	0,727	0,890	0,179	0,260	0,412	0,164	0,430	0,457	100
LV0010R	nickel	precip	0,531	1,541	0,640	0,799	0,450	0,450	0,450	0,450	0,450	0,450	0,450	0,450	0,587	100
NL0010R	nickel	precip	0,346	0,109	0,163	-	-	-	-	-	0,320	0,159	0,360	0,185	-	-
NL0091R	nickel	precip	0,128	0,129	0,123	0,140	0,298	0,199	0,268	0,154	0,464	0,180	0,309	0,162	0,192	92
NO0001R	nickel	precip	0,149	0,063	0,112	0,159	0,244	0,328	0,154	0,162	0,156	0,309	0,492	2,596	0,661	96
PL0004R	nickel	precip	0,050	0,090	0,060	0,469	0,100	0,130	0,090	0,129	0,120	0,120	0,120	0,268	0,108	100
PL0005R	nickel	precip	0,750	0,254	1,010	1,433	0,250	0,162	0,711	0,785	0,070	0,110	0,389	0,450	0,490	100
SE0005R	nickel	precip	0,120	0,090	0,057	0,160	0,095	0,116	0,076	0,160	0,050	0,050	0,050	-	0,089	100
SE0014R	nickel	precip	0,030	0,030	0,042	0,420	0,030	0,068	0,050	0,198	0,154	0,050	0,149	0,050	0,072	100
SE0020R	nickel	precip	0,160	0,037	0,030	0,050	0,050	0,118	0,050	0,077	0,381	0,050	0,117	0,050	0,104	100
SE0022R	nickel	precip	0,030	0,030	0,034	0,181	0,030	0,050	0,050	0,050	0,171	0,050	0,110	0,050	0,061	100
SI0008R	nickel	precip	0,284	0,130	0,244	0,170	0,192	-	-	-	0,094	0,057	0,150	0,150	0,134	90
SK0002R	nickel	precip	0,200	0,189	0,191	0,408	0,312	0,234	0,200	0,186	0,477	0,200	0,662	0,192	0,255	100

Site	Comp	Matrix	Jan	Febr	Mar	Apr	May	June	July	Aug	Sept	Oct	Nov	Dec	2020	
															Annual	Capt
SK0004R	nickel	precip	0,981	0,215	0,306	0,808	0,450	0,648	0,762	0,197	0,499	0,189	0,465	0,209	0,443	100
SK0006R	nickel	precip	1,120	0,391	0,277	0,624	0,433	0,430	0,824	0,502	0,449	0,460	0,584	0,677	0,531	100
SK0007R	nickel	precip	0,863	0,238	0,203	0,881	0,275	0,639	0,654	0,509	0,506	0,198	0,265	0,226	0,413	100
CZ0003R	selenium	precip	0,175	0,131	0,173	0,149	0,142	0,131	0,131	0,133	0,131	0,150	0,186	0,131	0,139	98
CZ0005R	selenium	precip	0,131	0,131	0,131	0,131	0,131	0,131	0,131	0,131	0,131	0,146	0,145	0,223	0,135	94
DE0001R	selenium	precip	0,092	0,071	0,096	0,193	0,142	0,090	0,078	0,066	0,128	0,043	0,107	0,100	0,083	91
DE0002R	selenium	precip	0,078	0,046	0,062	0,172	0,147	0,102	0,090	0,087	0,047	0,040	0,082	0,060	0,072	94
DE0003R	selenium	precip	0,027	0,026	0,030	0,080	0,058	0,056	0,079	0,033	0,046	0,029	0,036	0,021	0,036	84
DE0007R	selenium	precip	0,074	0,052	0,065	-	0,107	0,073	0,091	0,098	0,046	0,047	0,067	0,040	0,066	96
DE0008R	selenium	precip	0,081	0,061	0,061	0,158	0,081	0,090	0,097	0,111	0,050	0,053	0,089	0,036	0,071	95
DE0009R	selenium	precip	0,069	0,050	0,059	0,127	0,148	0,077	0,068	0,052	0,087	0,054	0,075	0,022	0,066	72
GB0048R	selenium	precip	0,025	-	-	0,210	0,100	0,043	0,017	0,015	0,015	0,015	0,015	-	0,034	33
GB1055R	selenium	precip	-	0,095	-	-	0,015	0,015	0,015	0,097	0,037	0,015	0,123	0,100	0,052	50
GB0048R	strontium	precip	1,142	2,152	0,857	0,519	1,078	0,488	0,216	0,422	0,799	0,608	0,566	0,898	0,918	100
GB1055R	strontium	precip	1,286	2,345	1,559	3,022	1,737	1,570	0,762	0,800	1,702	0,585	1,239	1,513	1,340	100
DE0001R	thallium	precip	0,003	0,001	0,002	0,003	0,002	0,002	0,001	0,000	0,002	0,001	0,002	0,004	0,002	96
DE0002R	thallium	precip	0,006	0,004	0,004	0,007	0,007	0,003	0,002	0,002	0,001	0,001	0,003	0,004	0,003	100
DE0003R	thallium	precip	0,002	0,002	0,001	0,002	0,001	0,001	0,002	0,002	0,001	0,001	0,001	0,001	0,001	94
DE0007R	thallium	precip	0,005	0,003	0,005	0,003	0,004	0,003	0,002	0,005	0,001	0,002	0,002	0,001	0,003	100
DE0008R	thallium	precip	0,002	0,002	0,002	0,004	0,002	0,003	0,001	0,004	0,001	0,001	0,002	0,001	0,002	95
DE0009R	thallium	precip	0,006	0,004	0,005	0,004	0,004	0,003	0,002	0,002	0,004	0,008	0,005	0,001	0,003	100
GB0048R	tin	precip	0,073	-	-	0,050	0,146	0,027	0,006	0,003	-	0,003	0,003	0,003	0,033	33
GB1055R	tin	precip	-	0,004	0,003	-	0,003	0,003	0,003	0,260	0,231	0,004	0,013	0,014	0,068	40
DE0001R	titanium	precip	0,155	0,117	0,237	0,663	0,390	0,390	0,305	0,202	0,365	0,145	0,155	0,179	0,213	90
DE0002R	titanium	precip	0,230	0,182	0,170	1,323	1,511	0,605	0,422	0,974	0,315	0,276	0,567	0,160	0,342	79
DE0003R	titanium	precip	0,428	0,191	0,150	0,116	0,348	0,289	0,722	0,107	0,122	0,091	0,439	0,110	0,217	78
DE0007R	titanium	precip	0,359	0,181	0,138	-	0,886	0,406	0,348	0,735	0,244	0,409	0,560	0,141	0,339	86
DE0008R	titanium	precip	0,207	0,246	0,164	0,828	0,213	0,530	0,492	0,401	0,592	0,127	0,279	0,086	0,245	78
DE0009R	titanium	precip	0,170	0,128	0,195	0,762	1,026	0,612	0,362	0,228	0,467	0,202	0,267	0,228	0,318	79
GB0048R	titanium	precip	0,028	0,020	0,020	0,194	0,150	0,080	0,072	0,020	0,020	0,020	0,020	0,020	0,032	64
GB1055R	titanium	precip	0,020	0,068	0,020	-	-	-	-	0,191	0,037	0,020	0,035	0,020	0,060	69
GB0048R	tungsten	precip	0,005	0,005	0,005	0,026	0,056	0,063	0,038	0,005	0,005	0,005	0,005	0,005	0,013	61
GB1055R	tungsten	precip	0,005	0,005	0,005	-	-	-	-	0,005	0,005	0,006	0,007	0,005	0,005	57
GB0048R	uranium	precip	0,001	0,001	0,001	0,001	0,003	0,001	0,001	0,001	0,001	0,001	0,001	0,001	0,001	85
GB1055R	uranium	precip	0,001	0,001	0,001	0,001	0,001	0,001	0,001	0,001	0,001	0,001	0,001	0,001	0,001	79
CZ0003R	vanadium	precip	0,065	0,144	0,121	0,153	0,104	0,075	0,116	0,077	0,044	0,050	0,070	0,073	0,088	98
CZ0005R	vanadium	precip	0,121	0,115	0,057	0,208	0,079	0,038	0,068	0,051	0,035	0,043	0,048	0,025	0,066	94
DE0001R	vanadium	precip	0,097	0,091	0,137	0,249	0,132	0,145	0,106	0,071	0,142	0,116	0,126	0,120	0,111	100

Site	Comp	Matrix	Jan	Febr	Mar	Apr	May	June	July	Aug	Sept	Oct	Nov	Dec	2020	
															Annual	Capt
DE0002R	vanadium	precip	0,074	0,056	0,071	0,375	0,398	0,238	0,134	0,219	0,084	0,086	0,131	0,043	0,129	94
DE0003R	vanadium	precip	0,092	0,058	0,043	0,133	0,070	0,051	0,136	0,080	0,022	0,056	0,057	0,017	0,059	100
DE0007R	vanadium	precip	0,102	0,055	0,054	0,210	0,244	0,080	0,088	0,153	0,067	0,110	0,118	0,030	0,095	94
DE0008R	vanadium	precip	0,045	0,050	0,062	0,159	0,063	0,064	0,080	0,108	0,060	0,043	0,056	0,020	0,060	94
DE0009R	vanadium	precip	0,095	0,146	0,213	0,350	0,397	0,107	0,166	0,119	0,246	0,207	0,233	0,066	0,167	76
FI0018R	vanadium	precip	0,502	0,232	0,486	0,222	0,255	0,127	0,072	0,113	0,128	0,227	0,218	0,275	0,208	100
FI0036R	vanadium	precip	0,057	0,044	0,203	0,193	0,136	0,130	0,039	0,061	0,053	0,062	0,031	0,057	0,069	100
FI0050R	vanadium	precip	0,152	0,162	0,547	0,206	0,242	0,152	0,047	0,134	0,076	0,104	0,103	0,128	0,133	100
FI0053R	vanadium	precip	0,192	0,226	2,155	0,292	0,134	0,243	0,091	0,199	0,088	0,055	0,081	0,358	0,145	100
FI0092R	vanadium	precip	0,070	0,089	0,166	0,180	0,174	0,129	0,031	0,060	0,048	0,078	0,091	0,107	0,084	100
FI0093R	vanadium	precip	0,202	0,131	0,301	0,201	0,119	0,178	0,052	0,101	0,060	0,081	0,066	0,119	0,108	100
FR0090R	vanadium	precip	0,301	0,163	0,160	0,181	0,259	0,349	0,145	0,361	0,419	0,390	0,354	0,280	0,306	100
GB0048R	vanadium	precip	0,055	-	0,000	0,084	0,069	0,048	0,001	0,000	-	0,000	0,000	0,000	0,016	48
GB1055R	vanadium	precip	-	0,117	-	-	-	-	-	0,128	0,090	0,089	0,053	0,037	0,105	23
IS0091R	vanadium	precip	0,527	0,360	0,834	1,120	1,293	0,838	1,190	0,219	0,400	0,700	0,664	0,500	0,658	100
NL0010R	vanadium	precip	0,087	0,094	0,107	-	-	-	-	-	0,140	0,152	0,244	0,103	0,122	91
NL0091R	vanadium	precip	0,110	0,140	0,164	0,378	0,347	0,173	0,335	0,240	0,298	0,162	0,201	0,134	0,196	100
NO0001R	vanadium	precip	0,137	0,096	0,210	0,219	0,355	0,291	0,224	0,216	0,179	0,282	0,221	0,148	0,195	96
SE0005R	vanadium	precip	0,029	0,010	0,037	0,040	0,073	0,076	0,020	0,050	0,048	0,040	0,040	-	0,040	100
SE0014R	vanadium	precip	0,160	0,094	0,171	0,395	0,200	0,153	0,100	0,199	0,113	0,130	0,129	0,120	0,139	100
SE0020R	vanadium	precip	0,150	0,150	0,325	0,240	0,240	0,129	0,120	0,143	0,210	0,210	0,265	0,140	0,174	100
SE0022R	vanadium	precip	0,080	0,117	0,217	0,226	0,080	0,175	0,070	0,061	0,165	0,070	0,123	0,090	0,108	100
SI0008R	vanadium	precip	0,231	0,249	0,269	0,096	0,242	-	-	-	0,116	0,114	0,019	0,084	0,134	90
BE0014R	zinc	precip	9,62	6,57	14,53	10,92	16,08	5,49	6,15	5,41	2,67	4,63	6,60	7,62	6,65	100
CZ0003R	zinc	precip	19,12	13,28	11,86	9,60	12,48	9,02	8,21	35,82	6,01	4,24	7,49	15,48	15,37	98
CZ0005R	zinc	precip	5,33	4,17	5,24	11,26	3,96	2,64	3,70	2,64	4,31	4,42	6,47	2,56	3,97	94
DE0001R	zinc	precip	2,10	1,59	1,81	4,15	2,72	2,21	1,41	1,94	2,31	1,64	2,53	3,27	1,97	100
DE0002R	zinc	precip	3,12	1,71	2,19	5,00	5,48	2,94	3,25	3,63	2,11	2,30	4,77	3,26	2,83	96
DE0003R	zinc	precip	1,52	1,93	1,91	3,40	1,36	2,20	5,31	2,71	1,63	0,94	1,94	0,98	1,92	99
DE0007R	zinc	precip	3,85	2,49	2,95	5,12	9,09	3,75	3,20	5,83	2,61	3,10	4,55	2,10	3,69	100
DE0008R	zinc	precip	6,37	14,96	6,92	12,85	7,02	4,09	6,82	6,23	5,78	3,41	7,86	7,52	6,58	91
DE0009R	zinc	precip	2,22	2,00	4,04	6,35	3,98	2,34	2,75	2,01	2,46	2,38	4,30	0,91	2,44	100
DK0005R	zinc	precip	5,33	11,32	27,45	99,29	15,97	4,33	3,65	11,28	35,04	17,39	124,81	21,91	16,38	100
DK0008R	zinc	precip	3,30	1,72	29,42	20,81	12,57	3,95	3,03	2,90	2,90	2,86	11,75	3,73	5,26	100
DK0012R	zinc	precip	6,47	15,74	58,14	146,75	10,52	2,31	2,46	1,86	5,05	7,61	26,07	11,13	72,25	100
DK0022R	zinc	precip	2,41	0,62	7,15	7,93	4,12	1,35	1,66	3,13	17,14	17,14	2,89	2,78	2,77	100
DK0031R	zinc	precip	0,82	1,10	2,44	11,10	2,41	0,93	1,59	4,08	3,00	0,87	4,06	-	2,03	100
EE0009R	zinc	precip	3,33	2,20	2,80	2,27	2,78	8,75	2,28	3,71	2,26	2,97	2,20	2,19	3,49	100

Site	Comp	Matrix	Jan	Febr	Mar	Apr	May	June	July	Aug	Sept	Oct	Nov	Dec	2020	
															Annual	Capt
EE0011R	zinc	precip	2,59	2,50	2,30	4,23	5,59	3,43	20,92	6,19	0,54	2,49	1,42	3,77	5,10	100
ES0008R	zinc	precip	36,92	37,18	82,57	-	35,11	51,30	95,21	64,78	87,42	39,22	45,28	10,29	50,50	100
ES0009R	zinc	precip	19,43	25,72	29,67	-	72,80	27,39	31,17	37,87	26,54	108,07	21,14	18,26	44,51	100
FI0018R	zinc	precip	4,94	3,48	8,64	3,09	3,33	4,41	1,45	1,78	2,47	4,06	3,96	3,71	3,43	100
FI0036R	zinc	precip	0,50	1,07	3,63	2,31	1,25	0,99	0,41	0,91	1,11	0,72	1,41	4,23	1,26	100
FI0050R	zinc	precip	2,17	2,05	7,64	3,35	5,11	2,96	0,94	2,08	1,36	6,07	1,80	2,78	2,92	100
FI0053R	zinc	precip	1,70	1,77	14,13	3,33	1,55	2,66	0,83	1,99	2,73	1,01	0,92	2,68	1,80	100
FI0092R	zinc	precip	0,80	1,39	2,09	2,02	1,52	1,78	0,54	0,82	0,83	1,63	1,95	1,84	1,27	100
FI0093R	zinc	precip	2,73	1,95	5,71	4,14	1,46	6,30	0,76	1,83	0,93	2,34	1,48	2,59	1,99	100
FR0090R	zinc	precip	3,14	2,11	1,70	12,62	15,65	21,76	7,79	23,89	22,22	5,30	5,08	6,00	10,25	100
GB0006R	zinc	precip	2,03	0,52	0,50	-	-	0,50	0,50	0,50	0,50	0,50	0,50	0,50	0,60	96
GB0013R	zinc	precip	0,84	0,50	0,50	-	-	-	-	-	0,50	0,50	0,50	0,50	-	-
GB0017R	zinc	precip	3,20	-	-	-	-	-	-	3,06	3,06	-	-	-	-	-
GB0048R	zinc	precip	0,54	0,50	0,50	2,99	2,78	0,91	0,52	0,50	0,50	0,50	0,50	0,50	0,63	81
GB1055R	zinc	precip	-	0,75	0,50	-	-	-	-	2,22	0,94	0,65	1,00	0,71	-	-
IS0091R	zinc	precip	20,98	7,90	12,78	12,30	9,85	10,33	7,70	7,60	12,40	20,01	12,55	21,60	12,45	100
NL0010R	zinc	precip	17,62	5,28	6,13	-	-	-	-	-	10,92	7,34	11,78	6,27	-	-
NL0091R	zinc	precip	1,84	1,83	3,08	3,82	4,03	2,45	1,39	1,85	3,05	2,59	3,20	1,78	2,18	100
NO0001R	zinc	precip	3,10	1,19	2,47	4,50	5,97	4,28	1,82	2,07	3,29	3,94	3,51	6,84	3,72	96
NO0039R	zinc	precip	1,27	0,66	1,10	0,88	0,88	6,29	1,12	1,56	1,59	2,51	2,21	1,77	1,36	100
NO0056R	zinc	precip	4,43	6,07	11,00	8,15	4,33	3,54	2,34	2,85	3,05	2,33	4,64	6,62	4,79	100
PL0004R	zinc	precip	1,28	1,13	2,80	11,39	1,97	4,52	1,66	1,75	2,13	1,65	1,22	3,11	1,92	100
PL0005R	zinc	precip	4,00	4,45	3,78	8,06	4,00	3,54	4,34	6,92	3,38	5,00	4,49	3,50	4,50	100
SE0005R	zinc	precip	4,72	8,43	5,12	5,67	8,62	11,27	13,15	4,09	4,26	1,65	6,71	-	5,43	100
SE0014R	zinc	precip	2,42	1,64	3,03	36,93	5,66	18,25	1,90	10,83	16,73	2,52	3,91	4,05	6,24	100
SE0020R	zinc	precip	3,45	2,55	4,17	9,61	9,61	3,95	2,25	13,05	41,64	5,22	9,25	6,09	8,68	100
SE0022R	zinc	precip	2,82	2,60	4,62	4,60	1,80	3,16	2,55	1,95	5,65	1,40	4,99	4,80	2,85	100
SI0008R	zinc	precip	2,63	3,07	5,79	2,14	2,69	-	-	-	1,03	1,38	6,03	0,92	2,44	90
SK0002R	zinc	precip	45,34	21,94	24,57	38,13	26,48	13,96	6,88	11,56	14,55	15,72	24,58	39,95	20,15	100
SK0004R	zinc	precip	18,80	4,71	26,18	24,22	10,38	8,21	4,27	25,57	6,91	9,63	30,20	14,02	10,42	100
SK0006R	zinc	precip	7,23	10,09	8,81	14,68	10,71	15,79	14,00	28,10	22,84	14,99	31,22	51,43	17,92	100
SK0007R	zinc	precip	10,03	110,35	10,38	77,29	44,75	41,08	17,48	54,87	24,54	107,86	25,41	30,80	47,21	100
IT0019R	aluminium	precip+dry_dep	661000	2779000	1550161	1312000	3520387	1492000	2062387	4025677	1376000	1207387	409000	586000	1752542	100
IT0019R	antimony	precip+dry_dep	340	1380	936	670	858	790	766	951	680	667	890	720	802	100
ES0001R	arsenic	precip+dry_dep	-	0,03	-	-	-	0,05	-	0,05	-	0,12	-	-	-	-
ES0007R	arsenic	precip+dry_dep	-	0,09	-	-	-	0,13	-	0,11	-	0,12	-	-	-	-
ES0008R	arsenic	precip+dry_dep	-	4,32	-	-	-	7,05	-	7,36	-	12,43	-	-	-	-

Site	Comp	Matrix	Jan	Febr	Mar	Apr	May	June	July	Aug	Sept	Oct	Nov	Dec	2020	
															Annual	Capt
ES0012R	arsenic	precip+dry_dep	-	0,03	-	-	-	0,14	-	0,15	-	0,09	-	-	-	-
ES0014R	arsenic	precip+dry_dep	-	0,02	-	-	-	0,12	-	0,08	-	0,14	-	-	-	-
IT0019R	arsenic	precip+dry_dep	180	710	476	430	938	590	654	1344	550	439	120	150	550	100
IT0019R	barium	precip+dry_dep	8400	33000	16529	21200	34284	18800	22013	45861	29700	20300	5290	5900	21788	100
ES0001R	cadmium	precip+dry_dep	-	0,01	-	-	-	0,01	-	0,02	-	0,04	-	-	-	-
ES0007R	cadmium	precip+dry_dep	-	0,01	-	-	-	0,02	-	0,01	-	0,03	-	-	-	-
ES0008R	cadmium	precip+dry_dep	-	0,07	-	-	-	0,06	-	0,04	-	0,1	-	-	-	-
ES0012R	cadmium	precip+dry_dep	-	0,01	-	-	-	0,02	-	0,01	-	0,01	-	-	-	-
ES0014R	cadmium	precip+dry_dep	-	0,01	-	-	-	0,02	-	0,01	-	0,01	-	-	-	-
IT0019R	cadmium	precip+dry_dep	20	200	42	530	123	210	73	438	70	43	130	20	158	100
ES0001R	chromium	precip+dry_dep	-	0,05	-	-	-	0,06	-	0,1	-	0,25	-	-	-	-
ES0007R	chromium	precip+dry_dep	-	0,34	-	-	-	0,42	-	0,22	-	0,17	-	-	-	-
ES0008R	chromium	precip+dry_dep	-	0,61	-	-	-	0,18	-	0,28	-	0,7	-	-	-	-
ES0012R	chromium	precip+dry_dep	-	0,11	-	-	-	0,39	-	0,48	-	0,23	-	-	-	-
ES0014R	chromium	precip+dry_dep	-	0,09	-	-	-	0,14	-	0,38	-	0,7	-	-	-	-
IT0019R	chromium	precip+dry_dep	1830	7010	6006	2290	6441	4080	4568	6605	6740	2900	2000	2130	4382	100
IT0019R	cobalt	precip+dry_dep	310	1360	657	440	995	540	794	1183	680	448	100	100	634	100
ES0001R	copper	precip+dry_dep	-	8,82	-	-	-	5,19	-	3,6	-	14,06	-	-	-	-
ES0007R	copper	precip+dry_dep	-	7,26	-	-	-	6,43	-	2,91	-	5,16	-	-	-	-
ES0008R	copper	precip+dry_dep	-	1,68	-	-	-	3,86	-	4,18	-	9,31	-	-	-	-
ES0012R	copper	precip+dry_dep	-	11,07	-	-	-	13,7	-	10,28	-	11,99	-	-	-	-
ES0014R	copper	precip+dry_dep	-	3,52	-	-	-	2,59	-	3,88	-	3,49	-	-	-	-
IT0019R	copper	precip+dry_dep	7050	18100	12423	16400	13165	18100	21161	16906	14100	14131	6050	4790	13529	100
IT0019R	iron	precip+dry_dep	566000	2246000	1686161	899000	3690871	1407000	1499129	2827129	1151000	954710	346000	523000	1487282	100
IT0019R	lanthanum	precip+dry_dep	440	2410	1066	780	2505	1170	1876	4058	1290	627	230	340	1403	100
ES0001R	lead	precip+dry_dep	-	0,06	-	-	-	0,11	-	0,05	-	0,12	-	-	-	-
ES0007R	lead	precip+dry_dep	-	0,59	-	-	-	0,52	-	0,28	-	0,37	-	-	-	-
ES0008R	lead	precip+dry_dep	-	0,09	-	-	-	0,09	-	0,13	-	0,8	-	-	-	-
ES0012R	lead	precip+dry_dep	-	0,09	-	-	-	0,49	-	0,47	-	0,39	-	-	-	-
ES0014R	lead	precip+dry_dep	-	0,07	-	-	-	0,07	-	0,31	-	0,31	-	-	-	-
IT0019R	lead	precip+dry_dep	6550	14800	10436	3070	13628	8470	8374	12000	9000	4464	2190	5500	8206	100
IT0019R	manganese	precip+dry_dep	23700	112600	45845	32600	55216	34700	50432	71439	42600	24668	11700	12500	43010	100
ES0001R	mercury	precip+dry_dep	-	0,31	-	-	-	0,3	-	2,36	-	5,89	-	-	-	-
ES0007R	mercury	precip+dry_dep	-	0,28	-	-	-	0,95	-	0,16	-	3,96	-	-	-	-
ES0008R	mercury	precip+dry_dep	-	3,97	-	-	-	4,35	-	6,54	-	16,61	-	-	-	-
ES0012R	mercury	precip+dry_dep	-	0,43	-	-	-	0,63	-	0,17	-	0,96	-	-	-	-
ES0014R	mercury	precip+dry_dep	-	0,27	-	-	-	7,69	-	0,19	-	1,97	-	-	-	-
IT0019R	molybdenum	precip+dry_dep	270	590	665	610	728	680	515	1256	1140	500	190	400	629	100

Site	Comp	Matrix	Jan	Febr	Mar	Apr	May	June	July	Aug	Sept	Oct	Nov	Dec	2020	
															Annual	Capt
ES0001R	nickel	precip+dry_dep	-	0,17	-	-	-	0,2	-	1,01	-	1,22	-	-	-	-
ES0007R	nickel	precip+dry_dep	-	0,74	-	-	-	0,75	-	0,32	-	0,82	-	-	-	-
ES0008R	nickel	precip+dry_dep	-	0,9	-	-	-	0,9	-	1,35	-	3,42	-	-	-	-
ES0012R	nickel	precip+dry_dep	-	3,41	-	-	-	0,5	-	0,62	-	0,4	-	-	-	-
ES0014R	nickel	precip+dry_dep	-	0,25	-	-	-	0,67	-	0,45	-	0,42	-	-	-	-
IT0019R	nickel	precip+dry_dep	2980	6530	5302	6730	5780	5490	4732	14390	5100	13123	1810	1700	6164	100
IT0019R	strontium	precip+dry_dep	7100	14300	12526	20200	25841	3070	8977	22705	4870	1663	560	610	10239	100
IT0019R	tin	precip+dry_dep	230	790	624	270	688	620	451	781	820	487	100	660	543	100
IT0019R	titanium	precip+dry_dep	13600	37300	25294	21800	45423	28100	41577	72552	32100	26232	9200	12100	30536	100
IT0019R	vanadium	precip+dry_dep	1110	4560	2693	2350	5146	2940	3365	6406	2700	2485	820	970	2967	100
ES0001R	zinc	precip+dry_dep	-	14,7	-	-	-	7,61	-	17,03	-	151,65	-	-	-	-
ES0007R	zinc	precip+dry_dep	-	11	-	-	-	25,7	-	3,58	-	40,32	-	-	-	-
ES0008R	zinc	precip+dry_dep	-	22,96	-	-	-	21,49	-	15,49	-	243,5	-	-	-	-
ES0012R	zinc	precip+dry_dep	-	4,03	-	-	-	11,34	-	15,29	-	7,43	-	-	-	-
ES0014R	zinc	precip+dry_dep	-	1,99	-	-	-	2,76	-	2,79	-	0,82	-	-	-	-
IT0019R	zinc	precip+dry_dep	79000	322000	164065	182000	53890	62600	75500	145806	905000	219874	36100	103000	194195	100
BE0014R	mm	precip	45	98	67	17	5	79	59	55	115	105	24	86	754	100
CZ0003R	mm (Hg)	precip	30	51	41	22	65	178	101	153	48	68	26	15	798	100
CZ0003R	mm	precip	18	66	40	24	63	176	78	175	51	66	26	15	799	100
CZ0005R	mm	precip	64	158	57	24	114	141	115	150	53	113	27	52	1069	100
DE0001R	mm (Hg)	precip	67	140	44	7	27	62	101	97	36	134	62	47	825	99
DE0001R	mm	precip	63	134	41	6	27	60	98	96	35	125	57	44	787	99
DE0002R	mm (Hg)	precip	34	117	52	9	24	81	64	72	56	59	19	35	621	99
DE0002R	mm	precip	25	104	49	8	22	77	54	71	54	58	19	36	577	99
DE0003R	mm (Hg)	precip	107	201	127	23	95	157	72	176	140	195	68	166	1526	99
DE0003R	mm	precip	101	193	120	23	95	175	72	163	129	179	61	156	1467	99
DE0007R	mm	precip	31	71	33	10	35	82	64	51	80	57	12	44	570	99
DE0008R	mm (Hg)	precip	100	148	124	13	71	124	62	130	58	210	51	79	1169	99
DE0008R	mm	precip	96	158	123	12	69	121	59	122	56	195	48	77	1138	99
DE0009R	mm (Hg)	precip	43	82	28	4	28	78	78	112	51	40	15	40	599	99
DE0009R	mm	precip	41	82	23	7	25	77	92	117	48	41	17	40	610	99
DK0005R	mm	precip	52	103	20	16	23	58	61	33	13	34	7	38	459	100
DK0008R	mm	precip	50	68	13	21	25	73	77	1	55	63	26	57	528	91
DK0012R	mm	precip	1	0	0	1	0	0	0	0	0	0	0	0	3	100
DK0022R	mm	precip	110	201	43	30	42	93	91	73	19	0	52	71	825	92
DK0031R	mm	precip	100	156	50	26	56	128	131	88	56	161	66	0	1018	91
EE0009R	mm	precip	44	66	35	44	44	115	147	74	56	58	65	43	791	86

Site	Comp	Matrix	Jan	Febr	Mar	Apr	May	June	July	Aug	Sept	Oct	Nov	Dec	2020	
															Annual	Capt
EE0009R	mm (Hg)	precip	41	71	35	49	39	134	147	54	54	63	62	45	794	100
EE0011R	mm	precip	37	77	60	19	42	32	77	33	49	95	56	49	627	100
ES0008R	mm (Hg)	precip	35	49	73	0	98	53	26	102	110	175	31	208	959	67
ES0008R	mm	precip	40	56	75	0	228	100	31	66	192	102	30	143	1064	66
ES0009R	mm	precip	14	8	26	0	50	35	17	19	78	57	44	30	378	49
FI0018R	mm (Hg)	precip	36	69	25	15	26	65	70	96	63	84	54	79	681	100
FI0018R	mm	precip	33	68	26	15	22	58	68	92	54	76	53	78	642	100
FI0036R	mm	precip	49	28	10	20	15	33	78	33	34	56	41	38	436	100
FI0036R	mm (Hg)	precip	20	21	12	13	11	17	89	72	27	31	67	44	424	87
FI0050R	mm (Hg)	precip	40	55	15	24	30	67	95	34	46	81	62	58	608	100
FI0050R	mm	precip	43	56	16	21	28	63	87	31	42	87	64	57	593	100
FI0053R	mm	precip	35	25	4	18	30	25	126	19	125	80	58	32	577	100
FI0092R	mm	precip	71	74	21	22	34	46	85	75	91	87	58	48	711	100
FI0093R	mm (Hg)	precip	42	60	27	37	35	66	70	26	60	77	66	60	626	89
FI0093R	mm	precip	40	60	27	28	31	3	123	36	53	76	66	61	604	100
FR0008R	mm	precip_tot	101	275	0	0	45	100	70	67	155	182	66	172	1234	76
FR0009R	mm	precip_tot	127	179	0	0	13	46	47	29	141	162	50	199	992	76
FR0013R	mm	precip_tot	38	15	0	0	52	67	8	36	147	123	23	174	682	76
FR0023R	mm	precip_tot	39	30	78	0	36	60	17	82	136	100	41	115	735	84
FR0025R	mm	precip_tot	43	57	37	0	21	54	33	30	87	76	19	87	542	82
FR0028R	mm	precip_tot	150	155	101	0	42	75	34	130	189	159	92	245	1372	84
FR0090R	mm	precip	81	52	29	27	15	128	19	64	48	99	58	233	852	100
GB0006R	mm	precip	120	268	214	28	41	191	185	161	103	227	195	183	1917	100
GB0013R	mm (Hg)	precip	164	221	86	61	30	114	32	128	25	213	23	264	1362	92
GB0013R	mm	precip	147	224	221	36	27	49	21	133	23	176	115	252	1425	100
GB0017R	mm (Hg)	precip	55	66	11	22	20	33	27	65	117	82	1	76	575	90
GB0017R	mm	precip	52	43	11	17	15	33	27	53	93	72	48	93	557	100
GB0048R	mm	precip	89	172	82	6	50	74	74	148	60	124	79	110	1067	100
GB0048R	mm (Hg)	precip	95	156	84	4	51	71	89	152	94	127	75	114	1112	92
GB1055R	mm	precip	47	100	56	29	26	35	34	98	28	165	60	97	775	98
GB1055R	mm (Hg)	precip	11	117	57	49	14	35	35	81	36	170	80	71	756	92
IS0091R	mm	precip	128	67	113	50	74	114	66	165	124	37	146	48	1133	99
NL0010R	mm	precip	28	128	49	0	0	0	0	51	63	31	32	383	43	
NL0091R	mm	precip	46	118	26	15	8	90	72	154	30	127	38	102	826	71
NL0091R	mm (Hg)	precip	39	102	31	7	10	155	150	115	73	116	44	94	934	92
NO0001R	mm (Hg)	precip	209	304	132	66	44	174	182	86	113	260	206	512	2288	100
NO0001R	mm	precip	208	247	146	61	56	179	175	88	101	245	161	368	2034	99
NO0039R	mm	precip	270	243	127	229	175	27	180	77	137	124	144	55	1788	96

Site	Comp	Matrix	Jan	Febr	Mar	Apr	May	June	July	Aug	Sept	Oct	Nov	Dec	2020	
															Annual	Capt
NO0056R	mm	precip	115	131	82	41	32	103	118	55	81	243	119	292	1413	100
PL0004R	mm	precip	73	67	39	4	38	20	82	33	50	53	41	28	529	100
PL0005R	mm	precip	60	39	38	28	70	63	67	46	32	63	46	41	592	99
PL0005R	mm (Hg)	precip	68	41	36	27	64	63	80	53	33	73	50	41	631	99
SE0005R	mm (Hg)	precip	31	43	44	40	18	28	94	63	79	121	35	58	655	94
SE0005R	mm	precip	29	26	16	12	8	17	31	58	26	90	21	0	332	92
SE0014R	mm (Hg)	precip	37	76	50	39	13	47	85	23	55	104	52	75	655	96
SE0014R	mm	precip	57	83	41	16	32	38	67	12	51	73	28	79	577	99
SE0020R	mm (Hg)	precip	68	114	36	15	19	53	100	62	83	143	43	55	793	95
SE0020R	mm	precip	103	125	26	4	23	37	87	63	71	111	31	39	721	99
SE0022R	mm	precip	19	21	11	8	41	60	41	56	35	71	18	14	395	99
SI0008R	mm	precip	16	76	46	79	31	0	0	0	95	167	69	128	705	52
SI0008R	mm (Hg)	precip	22	76	58	74	39	0	0	0	0	0	0	161	431	46
SK0002R	mm	precip	57	124	97	36	61	208	101	87	87	55	27	44	983	100
SK0004R	mm	precip	10	65	9	23	55	118	94	67	134	134	4	40	754	100
SK0006R	mm	precip	24	64	32	33	101	106	96	79	73	81	25	36	751	90
SK0007R	mm	precip	17	20	51	3	48	66	25	66	56	65	14	25	457	100
LV0010R	mm_off	precip	116	84	65	9	16	79	86	92	67	87	92	57	852	100

Appendix F

Monthly and annual mean values for heavy metals in air

Site	Comp	Matrix	Jan	Febr	Mar	Apr	May	June	July	Aug	Sept	Oct	Nov	Dec	2020	
															Annual	Capture
CY0002R	aluminium	pm10	159	100	462	409	926	351	361	389	701	851	145	299	431	96
ES1778R	aluminium	pm10	186	72	140	96	148	83	209	220	148	173	126	23	132	22
ES1778R	aluminium	pm1	9	5	43	48	43	50	5	66	9	16	16	5	27	22
ES1778R	aluminium	pm25	8	25	32	11	14	32	32	23	40	33	29	33	27	19
FI0018R	aluminium	pm10	59	57	99	96	308	399	278	227	191	126	26	174	173	98
FI0036R	aluminium	pm10	8	6	10	15	17	29	17	20	28	28	4	6	16	99
FI0050R	aluminium	pm10	17	35	62	42	58	146	32	73	133	92	24	32	62	99
IS0091R	aluminium	aerosol	187	229	100	418	483	394	264	153	249	252	328	338	282	100
IT0019R	aluminium	pm10	23	39	21	296	116	52	258	264	307	32	113	41	130	27
NO0002R	aluminium	pm10	13	9	33	59	42	73	14	66	68	173	9	5	47	98
NO0042G	aluminium	aerosol	203	22	14	246	160	49	25	42	85	131	1510	280	173	29
NO0090R	aluminium	aerosol	12	22	43	30	21	28	13	8	79	66	16	8	28	28
DE0001R	antimony	pm10	0,223	0,146	0,225	0,181	0,190	0,182	0,118	0,198	0,268	0,189	0,292	0,368	0,214	99
DE0002R	antimony	pm10	0,353	0,238	0,334	0,269	0,190	0,192	0,231	0,289	0,420	0,296	0,613	0,508	0,326	99
DE0003R	antimony	pm10	0,091	0,089	0,227	0,325	0,199	0,226	0,221	0,183	0,336	0,096	0,089	0,041	0,178	99
DE0007R	antimony	pm10	0,270	0,177	0,311	0,214	0,150	0,144	0,149	0,215	0,319	0,255	0,402	0,491	0,256	99
DE0008R	antimony	pm10	0,170	0,139	0,286	0,341	0,230	0,187	0,306	0,199	0,316	0,166	0,178	0,060	0,215	97
DE0009R	antimony	pm10	0,237	0,147	0,280	0,164	0,134	0,162	0,136	0,186	0,288	0,231	0,298	0,465	0,226	99
ES1778R	antimony	pm10	0,188	0,294	0,224	0,171	0,149	0,129	0,119	0,281	0,355	0,483	0,175	0,041	0,204	22
ES1778R	antimony	pm1	0,126	0,206	0,150	0,150	0,110	0,092	0,044	0,199	0,108	0,059	0,245	0,074	0,132	22
ES1778R	antimony	pm25	0,170	0,210	0,220	0,130	0,104	0,099	0,080	0,256	0,508	0,189	0,196	0,088	0,181	19
IT0019R	antimony	pm10	0,110	0,097	0,065	0,188	0,079	0,115	0,134	0,195	0,297	0,132	0,140	0,089	0,136	27
BE0014R	arsenic	pm10	0,432	0,303	0,368	0,587	0,597	0,403	0,439	0,458	0,597	0,390	0,707	0,400	0,473	100
CY0002R	arsenic	pm10	0,424	0,389	0,281	0,426	0,340	0,251	0,584	0,618	0,663	0,342	0,446	0,460	0,436	96
CZ0003R	arsenic	pm10	0,528	0,165	0,355	0,529	0,308	0,296	0,193	0,224	0,246	0,240	0,354	0,286	0,310	50
CZ0003R	arsenic	pm25	0,519	0,203	0,320	0,472	0,167	0,270	0,173	0,216	0,150	0,203	0,283	0,226	0,266	50
CZ0005R	arsenic	pm10	0,080	0,069	0,186	0,289	0,136	0,102	0,100	0,105	0,133	0,069	0,096	0,075	0,119	50
DE0001R	arsenic	pm10	0,129	0,088	0,255	0,261	0,142	0,259	0,095	0,225	0,269	0,151	0,267	0,500	0,218	99
DE0002R	arsenic	pm10	0,188	0,120	0,354	0,319	0,235	0,208	0,164	0,336	0,328	0,189	0,456	0,967	0,318	99
DE0003R	arsenic	pm10	0,055	0,049	0,136	0,208	0,103	0,113	0,097	0,103	0,146	0,059	0,110	0,025	0,101	99
DE0007R	arsenic	pm10	0,188	0,114	0,242	0,276	0,189	0,197	0,129	0,308	0,277	0,238	0,344	1,315	0,311	99
DE0008R	arsenic	pm10	0,120	0,074	0,291	0,327	0,159	0,135	0,159	0,115	0,196	0,080	0,147	0,074	0,157	99
DE0009R	arsenic	pm10	0,184	0,139	0,231	0,199	0,145	0,208	0,094	0,214	0,396	0,238	0,294	0,900	0,266	99
DK0008R	arsenic	aerosol	0,170	0,099	0,238	0,240	0,151	0,295	0,124	0,354	0,306	0,191	0,198	0,504	0,241	93
DK0010G	arsenic	aerosol	0,182	0,155	0,071	0,048	0,016	0,009	0,018	0,012	0,007	0,009	0,013	0,012	0,042	85
DK0012R	arsenic	aerosol	0,197	0,155	0,296	0,352	0,207	0,410	0,113	0,280	0,567	0,303	0,321	0,772	0,330	99
EE0009R	arsenic	pm10	0,059	0,082	0,097	0,091	0,083	0,100	0,067	0,083	0,144	0,215	0,104	0,222	0,113	86

Site	Comp	Matrix	Jan	Febr	Mar	Apr	May	June	July	Aug	Sept	Oct	Nov	Dec	2020	
															Annual	Capture
ES0001R	arsenic	pm10	0,208	0,264	0,142	-	0,174	0,223	0,304	0,218	0,128	0,340	0,158	0,086	0,205	15
ES0007R	arsenic	pm10	0,090	0,122	0,102	-	0,186	0,299	0,322	0,260	0,154	0,310	0,153	0,084	0,189	15
ES0008R	arsenic	pm10	0,136	0,380	0,088	-	0,150	0,148	0,159	0,124	0,184	0,182	0,080	0,050	0,152	15
ES0009R	arsenic	pm10	0,120	0,226	0,084	-	0,148	0,135	0,123	-	0,121	0,163	0,081	0,050	0,124	15
ES0014R	arsenic	pm10	0,261	0,186	0,207	-	0,252	0,132	0,118	0,166	0,122	0,176	0,286	0,177	0,189	14
ES1778R	arsenic	pm10	0,102	0,126	0,146	0,101	0,096	0,078	0,170	0,171	0,100	0,108	0,126	0,047	0,114	22
ES1778R	arsenic	pm1	0,047	0,063	0,109	0,100	0,084	0,063	0,117	0,107	0,087	0,048	0,101	0,030	0,080	22
ES1778R	arsenic	pm25	0,078	0,080	0,108	0,100	0,100	0,082	0,133	0,108	0,083	0,063	0,121	0,054	0,093	19
FI0018R	arsenic	pm10	0,168	0,139	0,186	0,122	0,154	0,193	0,147	0,178	0,335	0,395	0,176	0,286	0,208	98
FI0036R	arsenic	pm10	0,065	0,045	0,043	0,044	0,044	0,053	0,063	0,058	0,077	0,134	0,048	0,126	0,067	99
FI0050R	arsenic	pm10	0,194	0,135	0,242	0,144	0,114	0,170	0,155	0,231	0,361	0,391	0,168	0,249	0,213	99
FR0008R	arsenic	pm10	0,125	0,073	0,117	-	0,145	0,116	0,114	0,155	0,205	0,086	0,164	0,053	0,122	84
FR0009R	arsenic	pm10	0,221	0,129	0,181	-	0,256	0,170	0,181	0,195	0,287	0,168	0,277	0,151	0,199	80
FR0013R	arsenic	pm10	0,211	0,234	0,184	-	0,230	0,118	0,137	0,139	0,140	0,159	0,275	0,144	0,176	83
FR0023R	arsenic	pm10	0,101	0,113	0,218	-	0,140	0,091	0,115	0,144	0,179	0,092	0,115	0,045	0,120	84
FR0025R	arsenic	pm10	0,224	0,132	0,213	0,326	0,154	0,115	0,143	0,146	0,172	0,131	0,252	0,101	0,166	88
FR0028R	arsenic	pm10	0,078	0,063	0,103	-	0,249	0,120	0,123	0,169	0,186	0,074	0,184	0,057	0,122	76
GB0013R	arsenic	pm10	0,335	0,234	0,464	0,769	0,398	0,443	0,345	0,380	0,348	0,465	0,429	0,296	0,409	100
GB0017R	arsenic	pm10	0,727	0,442	0,454	0,483	0,349	0,262	0,366	0,435	0,466	0,737	0,883	0,696	0,525	100
GB0048R	arsenic	pm10	0,139	0,093	0,190	0,321	0,245	0,223	0,160	0,183	0,188	0,379	0,284	0,183	0,216	100
GB1055R	arsenic	pm10	0,633	0,334	0,668	1,123	0,586	0,583	0,515	0,568	0,605	1,125	1,420	0,901	0,755	100
IS0091R	arsenic	aerosol	0,024	0,022	0,022	0,057	0,065	0,051	0,052	0,034	0,045	0,046	0,059	0,054	0,044	100
IT0019R	arsenic	pm10	0,068	0,060	0,045	0,214	0,108	0,080	0,140	0,183	0,337	0,064	0,080	0,060	0,117	14
LV0010R	arsenic	pm10	0,140	0,340	0,158	0,184	0,069	0,185	0,016	0,257	0,336	0,368	0,069	0,610	0,232	47
NL0008R	arsenic	pm10	0,475	0,224	0,358	0,534	0,382	0,323	0,345	0,438	0,545	0,532	1,619	0,621	0,533	49
NL0644R	arsenic	pm25	0,503	0,211	0,218	0,477	0,272	0,347	0,342	0,200	0,232	0,317	0,402	0,655	0,361	22
NO0002R	arsenic	pm10	0,083	0,060	0,187	0,149	0,081	0,143	0,130	0,329	0,215	0,244	0,255	0,071	0,160	98
NO0042G	arsenic	aerosol	0,136	0,061	0,040	0,068	0,039	0,013	0,026	0,026	0,017	0,081	0,247	0,056	0,060	29
NO0090R	arsenic	aerosol	0,020	0,011	0,015	0,024	0,019	0,077	0,039	0,018	0,043	0,113	0,018	0,019	0,035	28
PL0005R	arsenic	pm10	0,370	0,136	0,192	0,100	0,100	0,154	0,119	0,127	0,235	0,256	0,288	0,422	0,211	84
PL0009R	arsenic	pm10	0,622	0,440	0,492	0,239	0,215	0,192	0,100	0,100	0,480	0,689	0,816	0,911	0,442	83
SE0005R	arsenic	aerosol	0,031	0,014	0,047	0,026	0,025	0,024	0,045	0,022	0,036	0,124	0,039	0,060	0,041	99
SE0014R	arsenic	aerosol	0,150	0,096	0,238	0,280	0,154	0,233	0,140	0,244	0,271	0,280	0,266	0,430	0,230	99
SE0020R	arsenic	aerosol	0,140	0,070	0,230	0,310	0,147	0,079	0,098	0,207	0,317	0,200	0,241	0,320	0,197	100
SE0022R	arsenic	aerosol	0,110	0,077	0,116	0,100	0,074	0,117	0,075	0,107	0,186	0,270	0,195	0,260	0,140	99
SI0008R	arsenic	pm10	0,094	0,068	0,246	0,182	0,068	-	-	-	0,245	0,068	0,068	0,068	0,126	19
SK0002R	arsenic	aerosol	0,163	0,209	0,154	0,020	0,020	0,020	0,039	0,071	0,277	0,020	0,020	0,020	0,085	96
SK0004R	arsenic	pm10	-	0,151	0,259	0,020	0,020	0,034	0,029	0,021	0,062	0,169	0,020	0,020	0,088	69

Site	Comp	Matrix	Jan	Febr	Mar	Apr	May	June	July	Aug	Sept	Oct	Nov	Dec	2020	
															Annual	Capture
SK0006R	arsenic	pm10	0,385	0,242	0,300	0,059	0,020	0,020	0,061	0,018	0,301	0,091	0,042	0,022	0,130	97
SK0007R	arsenic	pm10	1,063	0,282	0,285	0,258	0,065	0,053	0,057	0,048	0,211	0,129	0,111	0,205	0,170	88
ES1778R	barium	pm10	3,644	1,846	2,313	1,856	2,058	2,238	3,610	2,629	1,748	1,820	2,623	1,103	2,322	22
ES1778R	barium	pm1	0,250	11,019	0,747	1,309	1,224	0,774	0,249	0,845	0,366	0,688	0,586	0,496	1,582	22
ES1778R	barium	pm25	1,419	0,730	2,073	1,200	1,118	1,319	0,691	0,887	0,777	0,249	0,613	0,358	0,902	19
IT0019R	barium	pm10	1,238	2,558	6,160	3,516	2,511	0,593	2,408	5,220	8,810	5,254	1,001	0,347	3,064	27
ES1778R	bismuth	pm10	0,042	0,053	0,056	0,015	0,018	0,036	0,036	0,025	0,041	0,015	0,049	0,034	0,036	22
ES1778R	bismuth	pm1	0,031	0,039	0,054	0,015	0,015	0,030	0,025	0,020	0,036	0,015	0,038	0,015	0,028	22
ES1778R	bismuth	pm25	0,047	0,015	0,015	0,015	0,015	0,033	0,028	0,022	0,041	0,017	0,046	0,039	0,029	19
BE0014R	cadmium	pm10	0,1645	0,0724	0,1258	0,0933	0,1032	0,06	0,0516	0,0581	0,1233	0,0613	0,18	0,1387	0,1027	100
CY0002R	cadmium	pm10	0,1193	0,0753	0,0605	0,0757	0,0288	0,0264	0,1669	0,1196	0,0899	0,049	0,1072	0,1092	0,0861	96
CZ0003R	cadmium	pm10	0,1203	0,0447	0,1232	0,1111	0,0541	0,0303	0,0314	0,0595	0,0575	0,0567	0,1065	0,0717	0,0722	50
CZ0003R	cadmium	pm25	0,1127	0,0461	0,1127	0,0995	0,0354	0,0249	0,0237	0,0447	0,045	0,0486	0,0884	0,0595	0,0616	50
CZ0005R	cadmium	pm10	0,0138	0,0116	0,0572	0,0683	0,0248	0,0159	0,0183	0,0336	0,0449	0,0115	0,0281	0,0177	0,0285	50
DE0001R	cadmium	pm10	0,0463	0,0246	0,0552	0,0456	0,0237	0,0346	0,0247	0,032	0,0527	0,0426	0,0601	0,1299	0,0471	99
DE0002R	cadmium	pm10	0,0833	0,0478	0,0951	0,0676	0,0371	0,0472	0,0404	0,0519	0,093	0,0772	0,1292	0,1735	0,0779	99
DE0003R	cadmium	pm10	0,0238	0,0061	0,0366	0,0468	0,0149	0,008	0,0179	0,0183	0,0254	0,0048	0,0173	0,0028	0,0187	99
DE0007R	cadmium	pm10	0,0681	0,0377	0,09	0,0559	0,0327	0,033	0,0264	0,0465	0,0915	0,0642	0,0937	0,1802	0,0675	99
DE0008R	cadmium	pm10	0,0385	0,0275	0,087	0,0715	0,035	0,0268	0,035	0,0232	0,0753	0,0236	0,0469	0,0179	0,0425	99
DE0009R	cadmium	pm10	0,0543	0,0289	0,0768	0,0384	0,0243	0,0301	0,022	0,0339	0,0811	0,0606	0,0746	0,1764	0,0576	99
DK0008R	cadmium	aerosol	0,0276	0,0117	0,0364	0,0316	0,0111	0,026	0,0096	0,0253	0,0584	0,0296	0,026	0,0935	0,0327	93
DK0010G	cadmium	aerosol	0,0336	0,0313	0,0144	0,0061	0,0022	0,0007	0,001	0,0008	0,001	0,0013	0,0017	0,0022	0,0072	85
DK0012R	cadmium	aerosol	0,0377	0,0278	0,0522	0,0422	0,0204	0,0323	0,0164	0,0264	0,0912	0,0491	0,0512	0,1195	0,047	99
EE0009R	cadmium	pm10	0,0143	0,01	0,0308	0,0204	0,02	0,1	0,0867	0,01	0,0454	0,0948	0,0352	0,07	0,0449	86
ES0001R	cadmium	pm10	0,05	0,038	0,028	-	0,012	0,0121	0,0365	0,018	0,014	0,028	0,028	0,016	0,0256	15
ES0007R	cadmium	pm10	0,056	0,024	0,018	-	0,03	0,033	0,0368	0,03	0,02	0,0381	0,0246	0,018	0,0298	15
ES0008R	cadmium	pm10	0,06	0,132	0,078	-	0,06	0,0851	0,0792	0,046	0,104	0,0491	0,0943	0,02	0,0736	15
ES0009R	cadmium	pm10	0,022	0,024	0,018	-	0,012	0,0206	0,01	-	0,015	0,0142	0,01	0,01	0,0155	15
ES0014R	cadmium	pm10	0,0413	0,0515	0,06	-	0,038	0,022	0,018	0,062	0,014	0,03	0,048	0,0345	0,0369	14
ES1778R	cadmium	pm10	0,0281	0,0614	0,0494	0,0357	0,018	0,0213	0,0464	0,1336	0,0275	0,0325	0,0321	0,0281	0,0435	22
ES1778R	cadmium	pm1	0,0269	0,0571	0,0358	0,045	0,015	0,0169	0,0293	0,1121	0,0233	0,0213	0,0407	0,0213	0,0378	22
ES1778R	cadmium	pm25	0,038	0,04	0,0475	0,04	0,02	0,0194	0,04	0,0914	0,0292	0,025	0,0386	0,0319	0,0382	19
FI0018R	cadmium	pm10	0,0386	0,0331	0,0421	0,0239	0,0216	0,0362	0,0275	0,0247	0,1134	0,1105	0,0437	0,1018	0,0516	98
FI0036R	cadmium	pm10	0,0122	0,0074	0,0067	0,0079	0,0074	0,0071	0,0082	0,007	0,0154	0,0235	0,0062	0,0253	0,0112	99
FI0050R	cadmium	pm10	0,0374	0,0248	0,0412	0,0226	0,0173	0,0209	0,0238	0,0224	0,1026	0,0967	0,0403	0,0696	0,0434	99
FR0008R	cadmium	pm10	0,0357	0,0208	0,0338	-	0,022	0,0224	0,0257	0,0352	0,0538	0,0239	0,0452	0,0189	0,0312	84
FR0009R	cadmium	pm10	0,0971	0,0653	0,0734	-	0,085	0,0579	0,133	0,0442	0,1109	0,0618	0,1472	0,0674	0,0871	80
FR0013R	cadmium	pm10	0,0612	0,0475	0,0458	-	0,039	0,0259	0,0302	0,0425	0,0303	0,0322	0,0726	0,0358	0,0422	83

Site	Comp	Matrix	Jan	Febr	Mar	Apr	May	June	July	Aug	Sept	Oct	Nov	Dec	2020		
															Annual	Capture	
FR0023R	cadmium	pm10	0,0309	0,022	0,043	-	0,031	0,0223	0,0334	0,0631	0,0373	0,0265	0,0313	0,0217	0,033	84	
FR0025R	cadmium	pm10	0,0833	0,0455	0,0621	0,105	0,034	0,0251	0,0346	0,0315	0,0422	0,0424	0,0908	0,0377	0,0501	88	
FR0028R	cadmium	pm10	0,0263	0,0128	0,0336	-	0,055	0,025	0,0251	0,0358	0,0378	0,0226	0,0573	0,0191	0,0305	76	
GB0013R	cadmium	pm10	0,0546	0,0227	0,0567	0,1106	0,0646	0,0647	0,0628	0,091	0,0501	0,0564	0,0739	0,0586	0,064	100	
GB0017R	cadmium	pm10	0,104	0,0596	0,0825	0,0861	0,059	0,0374	0,0603	0,0782	0,1158	0,1334	0,1122	0,1104	0,0867	100	
GB0048R	cadmium	pm10	0,0123	0,01	0,0335	0,0407	0,0244	0,0187	0,0144	0,0166	0,0186	0,0478	0,0347	0,0157	0,024	100	
GB1055R	cadmium	pm10	0,1115	0,0628	0,3552	0,1838	0,0969	0,0727	0,0661	0,1083	0,1397	0,1636	0,1484	0,1025	0,1347	100	
HU0002R	cadmium	aerosol	0,0573	0,0451	0,0774	0,0716	0,0601	0,0482	0,0466	0,0639	0,075	0,0767	0,1517	0,1669	0,0787	96	
IS0091R	cadmium	aerosol	0,0019	0,0014	0,0025	0,0088	0,006	0,0036	0,0028	0,0023	0,003	0,0036	0,0049	0,0034	0,0037	100	
IT0019R	cadmium	pm10	0,0278	0,0209	0,02	0,0633	0,0144	0,02	0,0282	0,0533	0,0557	0,026	0,03	0,0214	0,0312	27	
LV0010R	cadmium	pm10	0,0205	0,0609	0,0555	0,0177	0,0134	0,0488	0,0054	0,0343	0,0833	0,0552	0,0505	0,1445	0,0497	47	
NL0008R	cadmium	pm10	0,1102	0,0407	0,0921	0,0766	0,0666	0,0413	0,0499	0,0614	0,094	0,0646	0,1901	0,1258	0,0844	49	
NL0644R	cadmium	pm25	0,1237	0,0586	0,0638	0,0502	0,0399	0,0457	0,0543	0,07	0,05	0,0839	0,1792	0,1225	0,0791	24	
NO0002R	cadmium	pm10	0,016	0,0114	0,0285	0,0208	0,0095	0,0167	0,0091	0,0247	0,025	0,0294	0,0271	0,0138	0,0192	98	
NO0042G	cadmium	aerosol	0,0256	0,0151	0,0087	0,0431	0,0138	0,0435	0,0872	0,1491	0,2854	0,019	0,0608	0,0346	0,0587	29	
NO0090R	cadmium	aerosol	0,0036	0,0018	0,0036	0,0035	0,0033	0,0043	0,0046	0,0019	0,0126	0,0168	0,0021	0,004	0,0052	28	
PL0005R	cadmium	pm10	0,1152	0,074	0,1023	0,0338	0,0462	0,0354	0,031	0,0462	0,0412	0,0378	0,0892	0,0759	0,0612	84	
PL0009R	cadmium	pm10	0,0985	0,0584	0,1946	0,0677	0,0423	0,0369	0,03	0,03	0,164	0,0978	0,144	0,2348	0,098	83	
SE0005R	cadmium	aerosol	0,0046	0,0019	0,0059	0,003	0,003	0,003	0,0046	0,0023	0,0065	0,0235	0,005	0,014	0,0064	99	
SE0014R	cadmium	aerosol	0,029	0,0169	0,0404	0,03	0,0128	0,0193	0,009	0,0184	0,0464	0,041	0,0368	0,084	0,0315	99	
SE0020R	cadmium	aerosol	0,026	0,0139	0,0451	0,034	0,0159	0,0121	0,013	0,0211	0,0658	0,037	0,0435	0,065	0,0327	100	
SE0022R	cadmium	aerosol	0,014	0,0122	0,0193	0,015	0,0098	0,0164	0,008	0,0089	0,0376	0,046	0,0273	0,049	0,0218	99	
SI0008R	cadmium	pm10	0,0994	0,0416	0,1132	0,1268	0,0135	-	-	-	0,0481	0,029	0,0937	0,0375	0,0753	19	
SK0002R	cadmium	aerosol	0,0025	0,0025	0,0025	0,0198	0,0069	0,0025	0,0025	0,0025	0,0025	0,0025	0,0048	0,0033	0,0025	0,0046	94
SK0004R	cadmium	pm10	-	0,0494	0,0112	0,131	0,055	0,0025	0,0025	0,0025	0,0025	0,0025	0,054	0,0675	0,0025	0,0243	69
SK0006R	cadmium	pm10	0,0972	0,0053	0,0025	0,0915	0,0331	0,0035	0,0025	0,0025	0,0025	0,0025	0,0793	0,1152	0,0062	0,0359	96
SK0007R	cadmium	pm10	0,152	0,0603	0,0347	0,1258	0,0467	0,005	0,005	0,005	0,005	0,0438	0,1457	0,005	0,046	88	
ES1778R	cerium	pm10	0,363	0,120	0,255	0,146	0,198	0,146	0,359	0,282	0,161	0,259	0,129	0,076	0,207	22	
ES1778R	cerium	pm1	0,078	0,031	0,102	0,231	0,096	0,087	0,038	0,124	0,038	0,047	0,032	0,045	0,080	22	
ES1778R	cerium	pm25	0,034	0,070	0,130	0,048	0,120	0,096	0,081	0,065	0,067	0,058	0,035	0,054	0,069	19	
BE0014R	chromium	pm10	0,836	0,841	0,839	1,587	2,061	0,893	0,721	1,171	1,830	1,168	1,827	1,236	1,253	99	
CY0002R	chromium	pm10	0,440	0,280	0,691	0,486	0,943	0,326	1,091	1,169	1,615	1,533	0,787	0,932	0,859	96	
CZ0003R	chromium	pm10	0,245	0,407	0,375	1,173	0,904	0,238	0,257	0,281	0,870	0,385	0,215	0,436	0,483	50	
CZ0003R	chromium	pm25	0,231	0,268	0,466	0,443	0,283	0,225	0,444	0,233	0,709	0,365	0,356	0,174	0,348	50	
CZ0005R	chromium	pm10	0,237	0,394	0,269	0,598	0,268	0,125	0,119	0,610	1,170	0,771	0,244	0,477	0,439	50	
ES0001R	chromium	pm10	1,290	0,746	0,498	-	0,680	0,468	1,195	0,666	0,658	0,582	0,594	0,718	0,740	15	
ES0007R	chromium	pm10	1,120	0,118	0,836	-	0,640	1,155	1,395	0,802	0,320	0,801	0,530	0,678	0,763	15	
ES0008R	chromium	pm10	2,346	1,312	0,680	-	0,698	0,682	0,523	2,238	0,538	0,894	1,051	0,608	1,052	15	

Site	Comp	Matrix	Jan	Febr	Mar	Apr	May	June	July	Aug	Sept	Oct	Nov	Dec	2020	
															Annual	Capture
ES0009R	chromium	pm10	1,558	1,046	0,754	-	0,498	0,438	0,242	-	0,443	0,434	0,443	1,000	0,663	15
ES0014R	chromium	pm10	1,277	0,577	0,533	-	0,714	0,196	0,636	0,674	0,534	0,386	0,218	0,195	0,540	14
ES1778R	chromium	pm10	0,065	0,093	0,061	0,354	0,170	0,583	0,569	1,229	0,015	0,074	1,900	0,202	0,458	22
ES1778R	chromium	pm1	0,015	0,015	0,015	0,366	0,346	0,733	0,053	0,566	0,015	0,488	0,457	0,598	0,305	22
ES1778R	chromium	pm25	0,015	0,015	0,646	0,345	0,053	0,764	0,168	0,642	0,015	0,015	0,441	0,408	0,329	19
FI0018R	chromium	pm10	0,292	0,263	0,209	0,033	0,219	0,508	0,257	0,280	0,673	0,339	0,252	0,600	0,328	98
FI0036R	chromium	pm10	0,037	0,328	0,167	0,091	0,203	0,245	0,154	0,190	0,174	0,143	0,023	0,125	0,156	99
FI0050R	chromium	pm10	0,109	0,322	0,248	0,271	0,534	0,345	0,143	0,247	0,403	0,265	0,108	0,330	0,277	99
GB0013R	chromium	pm10	0,280	0,343	0,753	0,587	0,404	0,621	0,492	0,615	0,473	0,486	0,466	0,390	0,493	100
GB0017R	chromium	pm10	0,569	0,216	0,217	0,513	0,546	0,306	0,503	0,762	0,388	0,300	0,300	0,220	0,405	100
GB0048R	chromium	pm10	0,525	0,350	0,350	0,575	0,223	0,350	0,460	0,557	0,227	0,157	0,398	0,353	0,377	100
GB1055R	chromium	pm10	0,330	0,144	0,637	0,869	0,385	0,323	0,432	0,582	0,995	1,071	0,703	0,417	0,575	100
IS0091R	chromium	aerosol	0,303	0,591	0,145	0,385	0,370	0,364	0,388	0,243	0,523	0,525	0,666	0,553	0,419	100
IT0019R	chromium	pm10	0,648	0,465	0,890	0,681	0,250	1,108	0,631	1,062	1,859	1,358	1,091	1,360	0,910	27
NO0002R	chromium	pm10	0,083	0,160	0,279	0,141	0,122	0,123	0,126	0,291	0,235	0,420	0,153	0,131	0,188	98
NO0042G	chromium	aerosol	0,374	0,093	0,128	0,536	0,526	0,118	0,061	0,060	0,175	0,215	1,885	0,434	0,311	29
NO0090R	chromium	aerosol	0,042	0,068	0,488	0,051	0,046	0,161	0,097	0,030	0,100	0,120	0,057	0,030	0,113	28
PL0005R	chromium	pm10	0,190	0,627	0,358	0,271	0,242	0,275	0,212	0,346	0,635	0,450	0,240	0,744	0,386	84
SE0005R	chromium	aerosol	0,181	0,174	0,286	0,170	0,118	0,168	0,138	0,150	0,121	0,360	0,100	0,140	0,176	99
SE0014R	chromium	aerosol	0,460	0,311	0,489	0,430	0,313	0,394	0,170	0,519	0,363	0,570	0,396	0,390	0,401	99
SE0020R	chromium	aerosol	0,490	0,276	0,509	0,480	0,345	0,249	0,380	0,449	0,560	0,470	0,315	0,310	0,404	100
SE0022R	chromium	aerosol	0,520	0,502	0,459	0,340	0,314	0,354	0,230	0,375	0,390	0,530	0,511	0,320	0,404	99
SI0008R	chromium	pm10	0,988	1,731	2,677	1,517	1,494	-	-	-	1,104	1,040	0,453	0,664	1,304	19
SK0002R	chromium	aerosol	0,050	0,050	0,050	0,183	0,050	0,082	0,235	0,177	0,251	0,211	0,050	0,050	0,120	96
SK0004R	chromium	pm10	-	0,050	0,050	0,543	0,287	0,240	0,279	0,267	0,312	0,282	0,136	0,082	0,203	69
SK0006R	chromium	pm10	0,050	0,050	0,050	0,414	0,078	0,166	0,218	0,397	0,199	0,253	0,162	0,069	0,176	97
SK0007R	chromium	pm10	0,050	0,050	0,050	0,600	0,276	0,251	0,436	0,362	0,491	0,185	0,249	0,169	0,278	88
CZ0003R	cobalt	pm10	0,025	0,013	0,050	0,087	0,037	0,023	0,034	0,041	0,061	0,024	0,021	0,012	0,035	50
CZ0003R	cobalt	pm25	0,013	0,005	0,023	0,038	0,009	0,008	0,014	0,013	0,018	0,012	0,010	0,005	0,014	50
CZ0005R	cobalt	pm10	0,020	0,014	0,039	0,062	0,019	0,015	0,025	0,031	0,033	0,034	0,009	0,005	0,025	50
DE0001R	cobalt	pm10	0,013	0,008	0,027	0,026	0,010	0,015	0,009	0,034	0,037	0,025	0,014	0,036	0,021	99
DE0002R	cobalt	pm10	0,034	0,025	0,053	0,058	0,033	0,037	0,031	0,049	0,058	0,032	0,026	0,041	0,040	99
DE0003R	cobalt	pm10	0,038	0,022	0,049	0,080	0,021	0,040	0,036	0,033	0,031	0,022	0,112	0,005	0,041	99
DE0007R	cobalt	pm10	0,022	0,014	0,032	0,045	0,017	0,024	0,017	0,043	0,049	0,029	0,012	0,036	0,028	99
DE0008R	cobalt	pm10	0,021	0,014	0,043	0,075	0,033	0,032	0,047	0,028	0,057	0,024	0,013	0,004	0,033	99
DE0009R	cobalt	pm10	0,020	0,040	0,042	0,024	0,013	0,024	0,016	0,029	0,053	0,056	0,047	0,034	0,033	99
ES1778R	cobalt	pm10	0,059	0,064	0,074	0,060	0,039	0,045	0,084	0,065	0,052	0,061	0,094	0,033	0,061	22
ES1778R	cobalt	pm1	0,015	0,022	0,038	0,051	0,015	0,034	0,015	0,032	0,019	0,015	0,015	0,015	0,024	22

Site	Comp	Matrix	Jan	Febr	Mar	Apr	May	June	July	Aug	Sept	Oct	Nov	Dec	2020	
															Annual	Capture
ES1778R	cobalt	pm25	0,015	0,050	0,048	0,032	0,066	0,035	0,034	0,024	0,023	0,017	0,015	0,017	0,029	19
FI0018R	cobalt	pm10	0,020	0,023	0,031	0,024	0,042	0,059	0,029	0,035	0,061	0,044	0,016	0,029	0,035	98
FI0036R	cobalt	pm10	0,010	0,010	0,008	0,010	0,011	0,017	0,013	0,014	0,014	0,012	0,004	0,014	0,012	99
FI0050R	cobalt	pm10	0,013	0,018	0,041	0,024	0,023	0,049	0,014	0,032	0,046	0,035	0,015	0,016	0,027	99
GB0048R	cobalt	pm10	0,007	0,007	0,017	0,040	0,021	0,025	0,016	0,015	0,019	0,015	0,006	0,004	0,016	100
GB1055R	cobalt	pm10	0,026	0,021	0,046	0,111	0,087	0,039	0,040	0,051	0,039	0,040	0,032	0,017	0,046	100
IS0091R	cobalt	aerosol	0,116	0,101	0,049	0,208	0,311	0,207	0,193	0,128	0,227	0,273	0,328	0,326	0,205	100
IT0019R	cobalt	pm10	0,020	0,020	0,020	0,076	0,031	0,025	0,092	0,092	0,109	0,030	0,044	0,020	0,048	27
NO0002R	cobalt	pm10	0,011	0,008	0,022	0,025	0,017	0,029	0,008	0,030	0,025	0,052	0,007	0,006	0,020	98
NO0042G	cobalt	aerosol	0,041	0,006	0,004	0,046	0,042	0,010	0,008	0,014	0,023	0,030	0,350	0,056	0,039	29
NO0090R	cobalt	aerosol	0,004	0,005	0,013	0,012	0,008	0,010	0,008	0,003	0,014	0,020	0,005	0,003	0,009	28
SE0005R	cobalt	aerosol	0,001	0,003	0,020	0,010	0,010	0,010	0,010	0,010	0,001	0,017	0,000	0,000	0,008	99
SE0014R	cobalt	aerosol	0,020	0,011	0,029	0,030	0,021	0,029	0,010	0,028	0,026	0,080	0,022	0,020	0,027	99
SE0020R	cobalt	aerosol	0,020	0,011	0,040	0,050	0,023	0,019	0,010	0,038	0,041	0,050	0,021	0,020	0,029	100
SE0022R	cobalt	aerosol	0,040	0,031	0,030	0,020	0,020	0,038	0,010	0,019	0,023	0,060	0,023	0,020	0,028	99
BE0014R	copper	pm10	3,05	1,37	2,03	3,74	2,95	2,89	1,94	3,04	4,64	3,26	4,53	2,40	2,98	100
CY0002R	copper	pm10	1,36	1,88	1,31	1,05	1,71	2,36	4,04	2,12	2,06	1,71	2,13	1,40	1,94	96
CZ0003R	copper	pm10	1,14	1,02	0,85	0,70	0,88	0,69	1,36	0,90	1,57	2,20	1,82	1,33	1,20	50
CZ0003R	copper	pm25	1,40	0,54	0,66	0,33	0,11	0,28	0,58	0,20	0,32	0,96	1,40	0,71	0,62	50
CZ0005R	copper	pm10	0,54	0,42	0,97	1,92	0,55	0,71	0,95	0,71	1,40	0,58	1,04	0,47	0,84	50
DE0001R	copper	pm10	1,91	0,11	0,65	0,56	0,50	0,88	0,29	1,44	1,95	1,43	1,72	1,68	1,09	99
DE0002R	copper	pm10	5,40	1,35	1,58	1,45	1,06	1,11	1,23	1,82	2,72	1,91	2,77	2,58	2,08	99
DE0003R	copper	pm10	0,40	0,24	1,20	1,95	0,70	4,06	2,02	1,46	2,13	0,48	0,62	0,28	1,30	99
DE0007R	copper	pm10	3,07	0,31	0,71	0,51	0,27	1,13	1,53	2,40	1,59	0,93	1,13	1,49	1,26	99
DE0008R	copper	pm10	1,18	0,95	1,66	2,46	1,92	1,68	2,33	1,74	2,45	1,35	1,10	0,67	1,63	99
DE0009R	copper	pm10	2,24	0,15	0,73	0,66	0,44	0,94	1,53	1,20	1,74	1,88	1,37	1,60	1,21	99
ES0009R	copper	pm10	2,57	4,34	9,09	-	1,71	2,19	1,32	-	1,57	1,60	0,55	2,14	2,59	15
ES0014R	copper	pm10	5,98	14,40	6,59	-	7,32	7,66	5,84	-	6,65	9,23	4,86	7,82	7,65	13
ES1778R	copper	pm10	0,99	1,54	0,27	0,87	2,62	1,89	1,97	1,55	1,90	0,93	2,85	1,94	1,59	22
ES1778R	copper	pm1	0,24	0,53	0,03	0,51	0,27	0,75	0,14	0,87	0,86	0,40	1,33	1,76	0,61	22
ES1778R	copper	pm25	0,38	0,83	0,02	0,60	0,55	1,00	0,47	0,72	1,06	0,77	1,56	1,93	0,89	19
FI0018R	copper	pm10	1,15	0,60	0,48	0,38	0,60	1,01	0,50	0,78	1,30	1,21	0,44	0,94	0,79	98
FI0036R	copper	pm10	0,55	0,20	0,21	0,28	0,33	0,39	0,62	0,26	0,34	0,31	0,12	2,50	0,51	99
FI0050R	copper	pm10	0,46	0,31	0,83	0,32	0,62	0,94	0,51	1,54	0,81	0,79	0,45	0,57	0,68	99
GB0013R	copper	pm10	0,70	0,71	0,98	1,75	0,98	1,01	0,88	0,90	0,93	1,18	0,88	0,44	0,94	100
GB0017R	copper	pm10	2,13	1,49	1,49	1,07	0,89	0,76	1,32	1,57	1,38	1,83	1,86	1,40	1,43	100
GB0048R	copper	pm10	0,30	0,44	0,78	0,73	0,67	1,10	0,66	0,71	0,80	1,01	0,66	0,45	0,69	100
GB1055R	copper	pm10	1,65	3,18	5,54	3,54	1,62	1,77	2,15	2,97	2,22	4,05	9,69	4,08	3,53	100

Site	Comp	Matrix	Jan	Febr	Mar	Apr	May	June	July	Aug	Sept	Oct	Nov	Dec	2020	
															Annual	Capture
IS0091R	copper	aerosol	0,34	0,32	0,17	0,61	0,64	0,52	0,55	0,37	0,51	0,66	0,75	0,68	0,51	100
IT0019R	copper	pm10	0,50	0,50	0,50	0,94	0,50	1,39	2,02	1,42	1,77	2,11	3,06	0,50	1,31	27
NO0002R	copper	pm10	0,18	0,15	0,48	0,22	0,22	0,61	0,17	0,64	0,35	0,40	0,29	0,24	0,33	98
NO0042G	copper	aerosol	0,23	0,10	0,37	0,40	0,21	0,47	0,40	0,18	0,26	0,16	0,76	0,35	0,31	29
NO0090R	copper	aerosol	0,30	0,80	1,88	0,11	0,18	1,02	1,83	0,11	0,31	0,22	0,22	0,17	0,61	28
PL0005R	copper	pm10	1,67	0,90	0,83	0,51	0,38	0,44	0,44	0,58	0,92	0,99	0,94	0,98	0,81	84
SE0005R	copper	aerosol	0,06	0,09	0,19	0,05	0,05	0,12	0,18	0,36	0,39	0,32	0,10	0,14	0,17	99
SE0014R	copper	aerosol	2,20	0,64	0,86	0,58	0,53	0,81	0,28	1,04	0,75	0,86	0,71	0,96	0,85	99
SE0020R	copper	aerosol	2,80	0,69	1,07	0,92	0,67	0,43	0,60	0,89	1,45	0,95	0,96	0,79	1,02	100
SE0022R	copper	aerosol	0,44	0,47	0,46	0,30	0,39	0,64	0,31	0,66	0,52	0,62	0,54	0,58	0,49	99
SI0008R	copper	pm10	1,89	0,78	1,17	1,16	1,02	-	-	-	1,89	1,26	0,45	0,77	1,24	19
SK0002R	copper	aerosol	0,17	0,85	0,22	0,25	0,44	0,13	0,61	0,37	0,39	0,08	0,05	0,05	0,30	96
SK0004R	copper	pm10	-	1,10	1,12	0,92	0,60	0,19	0,64	0,45	0,85	0,56	0,75	1,19	0,78	69
SK0006R	copper	pm10	2,69	0,93	0,80	0,57	0,24	0,05	0,36	0,36	0,43	0,50	0,32	0,34	0,64	97
SK0007R	copper	pm10	3,55	1,66	2,14	1,88	0,67	0,25	1,06	0,95	1,40	0,55	1,04	2,06	1,27	88
CY0002R	iron	pm10	118	89	358	307	650	302	368	397	595	665	154	227	354	96
CZ0003R	iron	pm10	43	39	121	225	91	67	97	109	168	59	51	25	91	50
CZ0003R	iron	pm25	17	14	44	86	19	21	38	36	54	18	15	7	31	50
CZ0005R	iron	pm10	64	39	96	156	49	46	76	88	103	67	20	11	67	50
DE0001R	iron	pm10	23	17	52	58	30	58	20	103	96	66	45	51	52	99
DE0002R	iron	pm10	86	70	103	146	76	75	70	147	165	83	91	81	100	99
DE0003R	iron	pm10	94	57	123	182	73	93	107	102	112	62	264	11	107	99
DE0007R	iron	pm10	59	40	69	110	48	57	41	113	128	77	48	60	71	99
DE0008R	iron	pm10	34	28	89	169	88	66	117	69	135	58	34	6	75	99
DE0009R	iron	pm10	45	32	64	67	40	56	40	90	122	112	52	64	65	99
ES1778R	iron	pm10	119	69	86	59	95	70	181	138	102	104	94	24	94	22
ES1778R	iron	pm1	5	5	5	11	20	9	8	40	5	5	10	7	11	22
ES1778R	iron	pm25	7	21	32	13	60	27	49	16	34	19	17	12	25	19
FI0018R	iron	pm10	55	51	87	73	212	285	195	167	154	109	27	148	133	98
FI0036R	iron	pm10	10	12	13	11	16	27	15	23	28	22	6	11	16	99
FI0050R	iron	pm10	17	31	52	34	49	114	29	66	109	75	25	37	53	99
GB0048R	iron	pm10	14	14	37	96	48	65	44	39	40	32	18	13	38	100
GB1055R	iron	pm10	76	54	115	258	101	101	101	126	101	98	74	41	104	100
IS0002R	iron	aerosol	11	72	46	94	249	293	605	234	68	195	52	59	167	96
IS0091R	iron	aerosol	258	235	115	467	703	459	358	270	482	418	706	744	433	100
IT0019R	iron	pm10	27	43	28	197	73	62	174	188	267	56	103	46	105	27
NO0002R	iron	pm10	10	6	28	41	34	54	13	58	48	118	11	8	35	98
NO0042G	iron	aerosol	95	12	7	101	72	21	14	24	39	69	827	128	86	29

Site	Comp	Matrix	Jan	Febr	Mar	Apr	May	June	July	Aug	Sept	Oct	Nov	Dec	2020	
															Annual	Capture
NO0090R	iron	aerosol	9	9	13	19	13	19	11	9	34	39	10	8	16	28
ES1778R	lanthanum	pm10	0,167	0,080	0,133	0,110	0,104	0,089	0,177	0,161	0,100	0,171	0,082	0,039	0,116	22
ES1778R	lanthanum	pm1	0,066	0,032	0,043	0,106	0,035	0,053	0,015	0,071	0,018	0,021	0,165	0,029	0,056	22
ES1778R	lanthanum	pm25	0,028	0,070	0,055	0,048	0,062	0,050	0,042	0,041	0,045	0,030	0,026	0,033	0,041	19
IT0019R	lanthanum	pm10	0,024	0,029	0,030	0,187	0,084	0,043	0,201	0,185	0,223	0,048	0,084	0,031	0,098	27
BE0014R	lead	pm10	4,774	2,462	3,071	4,120	4,032	2,217	2,307	2,252	3,613	2,039	5,107	3,387	3,281	100
CY0002R	lead	pm10	0,003	0,005	0,005	0,002	0,002	0,001	0,003	0,003	0,004	0,005	0,009	0,012	0,004	96
CZ0003R	lead	pm10	1,751	1,044	2,771	3,016	1,516	1,232	1,066	1,587	2,256	1,389	1,799	1,612	1,750	50
CZ0003R	lead	pm25	1,585	0,926	2,415	2,359	1,083	1,025	0,841	1,239	1,841	1,170	1,515	1,375	1,445	50
CZ0005R	lead	pm10	0,485	0,453	1,549	1,770	0,915	0,728	0,680	0,979	1,182	0,432	0,592	0,452	0,845	50
DE0001R	lead	pm10	1,498	0,754	1,508	1,126	0,658	0,879	0,561	0,983	1,381	1,187	1,925	3,704	1,331	99
DE0002R	lead	pm10	2,500	1,454	2,769	2,041	1,308	1,222	1,097	1,674	2,441	1,750	4,332	5,835	2,343	99
DE0003R	lead	pm10	0,810	0,452	1,292	1,631	0,772	0,817	0,821	0,819	1,265	0,600	0,784	0,349	0,871	99
DE0007R	lead	pm10	1,993	1,172	2,201	1,651	0,893	0,959	0,772	1,513	2,128	1,924	2,907	5,482	1,942	99
DE0008R	lead	pm10	1,186	0,872	2,365	2,362	1,111	1,157	1,128	0,861	1,647	0,790	1,214	0,493	1,271	99
DE0009R	lead	pm10	1,606	0,927	1,785	1,032	0,709	0,887	0,540	0,886	2,096	1,845	2,265	4,933	1,603	99
DK0008R	lead	aerosol	0,842	0,478	1,068	0,724	0,367	0,864	0,447	1,026	1,364	0,897	0,862	2,554	0,965	93
DK0010G	lead	aerosol	0,996	0,834	0,387	0,214	0,085	0,037	0,033	0,030	0,017	0,057	0,060	0,051	0,209	85
DK0012R	lead	aerosol	1,218	0,842	1,420	1,023	0,415	0,934	0,545	0,868	2,132	1,572	1,496	3,244	1,305	99
EE0009R	lead	pm10	0,716	0,968	1,281	0,915	0,878	2,308	1,256	0,769	1,800	2,000	1,272	3,433	1,467	86
ES0001R	lead	pm10	2,582	1,274	0,912	-	0,620	0,853	1,757	0,712	0,586	1,052	0,722	0,548	1,061	15
ES0007R	lead	pm10	1,396	1,468	0,766	-	0,928	1,380	2,227	1,150	0,782	2,446	0,938	0,886	1,303	15
ES0008R	lead	pm10	1,672	3,952	2,306	-	1,530	1,919	1,509	0,660	3,260	1,559	4,422	0,368	2,118	15
ES0009R	lead	pm10	1,654	1,008	0,946	-	0,662	0,664	0,581	-	1,020	0,648	0,316	0,236	0,794	15
ES0014R	lead	pm10	1,314	1,180	1,433	-	1,458	0,816	0,792	0,856	0,646	1,342	1,954	1,098	1,158	14
ES1778R	lead	pm10	1,211	1,281	1,294	1,033	0,870	0,895	1,207	0,940	1,063	0,710	1,950	1,004	1,142	22
ES1778R	lead	pm1	0,861	0,919	1,060	1,017	0,690	0,681	0,763	0,856	0,754	0,202	1,211	0,608	0,801	22
ES1778R	lead	pm25	1,382	1,580	1,320	1,018	0,876	0,834	1,081	0,743	0,904	0,346	1,283	1,043	0,970	19
FI0018R	lead	pm10	1,320	1,065	1,189	0,775	1,061	1,517	0,942	1,091	3,202	2,958	1,650	3,342	1,679	98
FI0036R	lead	pm10	0,489	0,388	0,278	0,237	0,275	0,586	0,227	0,214	0,481	0,738	0,188	1,088	0,434	99
FI0050R	lead	pm10	0,803	0,547	1,252	0,773	0,457	0,987	0,517	0,582	2,287	2,031	1,065	3,114	1,206	99
FR0008R	lead	pm10	1,454	0,866	1,238	-	1,604	0,861	0,867	1,044	1,696	0,991	1,583	0,802	1,160	84
FR0009R	lead	pm10	3,929	2,884	2,629	-	3,150	2,054	2,308	1,757	3,916	2,503	4,388	3,194	3,016	80
FR0013R	lead	pm10	1,634	1,493	1,262	-	1,444	0,906	1,038	0,796	1,177	1,217	1,941	0,956	1,249	83
FR0023R	lead	pm10	0,870	0,603	1,127	-	1,138	0,734	0,938	0,942	1,445	0,841	1,121	1,428	1,005	84
FR0025R	lead	pm10	2,206	0,804	1,585	2,619	1,099	0,673	0,798	0,645	1,382	1,073	2,223	1,008	1,265	88
FR0028R	lead	pm10	0,565	0,303	0,832	-	1,424	0,778	0,783	0,855	1,194	0,586	1,656	0,441	0,838	76
GB0013R	lead	pm10	1,657	1,044	1,926	3,985	1,673	1,694	1,132	1,419	1,398	1,866	1,906	1,088	1,731	100

Site	Comp	Matrix	Jan	Febr	Mar	Apr	May	June	July	Aug	Sept	Oct	Nov	Dec	2020	
															Annual	Capture
GB0017R	lead	pm10	4,646	2,718	2,801	3,166	1,901	1,203	1,865	2,386	2,712	4,256	4,569	4,172	3,036	100
GB0048R	lead	pm10	0,423	0,414	1,003	1,231	1,233	0,915	0,611	0,712	0,737	1,649	1,232	0,708	0,907	100
GB1055R	lead	pm10	5,724	2,586	3,417	5,476	2,471	2,249	1,883	2,300	2,972	5,179	5,177	2,891	3,527	100
HU0002R	lead	aerosol	8,947	6,558	6,157	5,836	3,998	3,398	2,948	3,338	5,455	3,953	6,952	6,674	5,382	96
IS0091R	lead	aerosol	0,065	0,068	0,117	0,203	0,125	0,078	0,051	0,033	0,037	0,082	0,090	0,059	0,084	100
IT0019R	lead	pm10	0,892	0,643	0,630	1,619	0,539	1,083	1,356	2,102	2,647	1,522	1,057	0,730	1,216	27
LV0010R	lead	pm10	0,362	1,886	1,392	1,074	0,687	2,206	0,934	0,889	3,957	1,171	0,820	2,162	1,454	47
NL0008R	lead	pm10	4,554	2,183	3,132	4,339	2,489	1,859	2,060	2,717	4,267	3,447	8,886	4,621	3,704	49
NL0644R	lead	pm25	5,686	3,924	3,811	2,847	2,000	1,401	2,266	5,595	2,115	3,511	7,756	4,731	3,742	24
NO0002R	lead	pm10	0,407	0,276	0,682	0,514	0,242	0,480	0,286	0,651	0,794	0,930	0,990	0,567	0,567	98
NO0042G	lead	aerosol	0,557	0,300	0,219	0,294	0,169	0,090	0,090	0,095	0,079	0,438	0,660	0,262	0,256	29
NO0090R	lead	aerosol	0,084	0,068	0,100	0,104	0,066	0,166	0,194	0,057	0,349	0,723	0,073	0,122	0,173	28
PL0005R	lead	pm10	2,730	2,124	2,000	0,885	0,669	0,739	0,357	0,515	2,115	2,233	2,216	2,526	1,618	84
PL0009R	lead	pm10	2,707	2,412	3,300	2,062	0,915	1,377	0,800	0,704	3,220	3,878	4,656	6,696	2,721	83
SE0005R	lead	aerosol	0,145	0,080	0,265	0,100	0,091	0,100	0,148	0,079	0,204	0,826	0,130	0,440	0,217	99
SE0014R	lead	aerosol	0,740	0,433	0,947	0,610	0,285	0,565	0,210	0,539	0,920	1,100	1,000	2,300	0,790	99
SE0020R	lead	aerosol	0,840	0,421	1,248	0,950	0,526	0,419	0,410	0,683	1,550	1,100	1,127	1,900	0,933	100
SE0022R	lead	aerosol	0,460	0,352	0,576	0,380	0,258	0,538	0,230	0,284	0,868	1,400	0,803	1,600	0,640	99
SI0008R	lead	pm10	1,721	0,856	2,595	2,063	0,918	-	-	-	1,640	0,780	2,050	0,902	1,598	19
SK0002R	lead	aerosol	1,485	1,536	2,294	1,249	0,918	0,060	0,217	0,890	0,111	0,208	0,010	0,010	0,732	96
SK0004R	lead	pm10	-	4,278	7,203	2,376	2,613	1,071	1,163	1,192	1,328	2,030	3,407	2,473	2,723	69
SK0006R	lead	pm10	11,093	4,708	6,483	2,013	1,246	0,415	0,835	1,122	0,493	1,868	2,031	0,464	2,628	96
SK0007R	lead	pm10	25,203	9,005	13,495	7,468	3,011	2,879	6,295	2,316	3,500	1,593	8,318	6,338	6,215	88
ES1778R	lithium	pm10	0,113	0,064	0,066	0,049	0,086	0,053	0,169	0,148	0,072	0,071	0,091	0,035	0,084	22
ES1778R	lithium	pm1	0,011	0,009	0,005	0,020	0,005	0,005	0,011	0,029	0,013	0,005	0,005	0,005	0,011	22
ES1778R	lithium	pm25	0,030	0,040	0,014	0,017	0,022	0,017	0,064	0,011	0,020	0,023	0,014	0,014	0,023	19
BE0014R	manganese	pm10	7,471	5,228	5,297	10,013	14,807	9,337	8,081	6,881	9,103	3,774	5,320	4,381	7,476	100
CY0002R	manganese	pm10	2,843	2,415	6,512	6,173	11,658	6,354	8,902	9,464	12,308	12,274	3,758	4,365	7,285	96
CZ0003R	manganese	pm10	2,455	1,530	3,991	6,610	2,469	2,026	3,014	3,646	4,170	1,845	1,630	1,137	2,869	50
CZ0003R	manganese	pm25	1,376	0,779	1,923	2,811	0,703	0,804	1,166	1,226	1,395	0,789	0,705	0,504	1,176	50
CZ0005R	manganese	pm10	1,287	0,814	2,354	4,090	1,217	1,115	1,692	2,247	2,197	1,326	0,535	0,319	1,580	50
DE0001R	manganese	pm10	1,068	0,818	1,987	2,294	1,277	2,144	0,981	3,515	2,871	2,028	1,403	1,968	1,864	99
DE0002R	manganese	pm10	2,458	1,879	3,214	4,955	2,324	2,311	2,169	4,585	4,939	2,347	2,663	2,707	3,048	99
DE0003R	manganese	pm10	1,700	1,169	2,906	4,940	1,800	3,317	2,667	2,329	2,496	1,284	4,739	0,248	2,476	99
DE0007R	manganese	pm10	1,468	1,238	2,242	4,353	1,757	1,966	1,473	4,252	4,657	2,253	1,481	1,939	2,426	99
DE0008R	manganese	pm10	0,906	0,882	2,436	4,863	2,432	1,808	5,448	3,489	3,449	1,220	0,875	0,210	2,356	99
DE0009R	manganese	pm10	1,204	0,921	1,918	1,993	1,121	1,722	1,216	2,594	3,333	3,040	1,436	2,191	1,891	99
ES1778R	manganese	pm10	2,054	1,787	2,063	1,607	2,690	2,034	3,564	2,866	2,495	2,815	2,419	1,290	2,255	22

Site	Comp	Matrix	Jan	Febr	Mar	Apr	May	June	July	Aug	Sept	Oct	Nov	Dec	2020	
															Annual	Capture
ES1778R	manganese	pm1	0,005	0,044	0,254	0,556	1,222	0,453	0,277	0,994	0,493	0,213	0,696	0,238	0,436	22
ES1778R	manganese	pm25	0,137	0,920	0,428	0,593	1,852	1,146	1,043	0,521	1,167	0,756	1,019	1,273	0,928	19
FI0018R	manganese	pm10	1,283	1,067	1,643	1,332	2,983	4,491	2,861	2,844	4,168	3,026	0,890	2,923	2,495	98
FI0036R	manganese	pm10	0,211	0,247	0,296	0,314	0,334	0,603	0,494	0,635	0,728	0,566	0,138	0,373	0,411	99
FI0050R	manganese	pm10	0,597	0,841	1,353	1,003	1,178	2,572	1,349	1,897	3,169	2,388	0,969	1,464	1,569	99
GB0048R	manganese	pm10	0,405	0,442	1,052	2,464	1,158	1,567	1,288	1,399	1,119	0,696	0,486	0,737	1,067	100
GB1055R	manganese	pm10	1,350	1,130	3,127	8,030	2,756	2,721	3,081	4,031	2,703	2,382	1,875	1,268	2,870	100
IS0091R	manganese	aerosol	4,415	3,868	2,024	8,158	12,737	8,149	7,744	4,549	8,328	10,399	12,723	12,904	7,989	100
IT0019R	manganese	pm10	0,847	1,271	1,015	4,882	1,887	1,935	4,510	4,862	6,091	1,210	1,678	1,403	2,605	27
NO0002R	manganese	pm10	0,419	0,360	1,056	1,277	0,896	1,348	0,431	1,499	1,375	3,380	0,552	0,260	1,067	98
NO0042G	manganese	aerosol	1,935	0,288	0,191	1,879	1,254	0,406	0,438	0,517	0,989	1,593	14,821	2,163	1,638	29
NO0090R	manganese	aerosol	0,143	0,204	0,712	0,316	0,237	0,372	0,240	0,118	0,862	0,914	0,182	0,117	0,374	28
SE0005R	manganese	aerosol	0,237	0,323	1,173	0,370	0,335	0,475	0,553	0,475	0,495	1,211	0,230	0,220	0,513	99
SE0014R	manganese	aerosol	0,800	0,679	1,570	1,600	1,329	1,911	0,670	2,079	1,800	4,500	1,015	1,300	1,613	99
SE0020R	manganese	aerosol	0,770	0,491	2,531	4,000	2,194	1,193	1,100	2,865	2,640	3,000	1,020	1,000	1,905	100
SE0022R	manganese	aerosol	0,900	1,169	1,290	1,200	1,200	2,399	0,780	1,521	1,367	3,700	1,105	1,100	1,482	99
DE0001R	molybdenum	pm10	0,108	0,080	0,075	0,051	0,050	0,049	0,041	0,093	0,109	0,124	0,195	0,226	0,099	99
DE0002R	molybdenum	pm10	0,352	0,165	0,159	0,106	0,058	0,085	0,114	0,133	0,289	0,164	0,286	0,254	0,180	99
DE0003R	molybdenum	pm10	0,075	0,047	0,112	0,135	0,091	0,060	0,089	0,052	0,154	0,039	0,047	0,026	0,078	99
DE0007R	molybdenum	pm10	0,162	0,072	0,112	0,038	0,032	0,047	0,053	0,045	0,140	0,218	0,182	0,129	0,102	99
DE0008R	molybdenum	pm10	0,080	0,101	0,140	0,143	0,098	0,092	0,124	0,085	0,138	0,081	0,126	0,026	0,103	99
DE0009R	molybdenum	pm10	0,150	0,092	0,095	0,059	0,051	0,064	0,048	0,074	0,133	0,117	0,168	0,164	0,101	99
IT0019R	molybdenum	pm10	0,250	0,250	0,250	0,346	0,250	0,250	0,250	0,250	0,250	0,326	0,372	0,536	0,297	27
BE0014R	nickel	pm10	0,936	1,041	1,497	2,367	1,816	1,236	1,668	1,469	2,990	0,977	2,747	1,697	1,704	99
CY0002R	nickel	pm10	1,226	1,344	1,497	1,054	1,113	0,841	0,961	0,652	1,344	1,061	0,440	0,230	0,986	96
CZ0003R	nickel	pm10	0,327	0,126	0,411	0,137	0,280	0,130	0,083	0,292	0,846	0,124	0,214	0,196	0,264	50
CZ0003R	nickel	pm25	0,343	0,255	0,426	0,296	0,143	0,022	0,159	0,056	0,337	0,086	0,160	0,053	0,193	50
CZ0005R	nickel	pm10	0,136	0,077	0,133	0,212	0,128	0,156	0,131	0,271	0,204	0,150	0,116	0,287	0,167	50
DE0001R	nickel	pm10	0,660	0,576	0,794	0,453	0,313	0,376	0,276	0,555	0,565	0,384	0,242	0,371	0,465	99
DE0002R	nickel	pm10	0,926	0,657	0,518	0,391	0,185	0,251	0,263	0,287	0,322	0,201	0,362	0,385	0,395	99
DE0003R	nickel	pm10	0,579	0,480	0,779	1,687	0,192	1,378	0,154	0,171	0,197	0,143	0,336	0,080	0,514	99
DE0007R	nickel	pm10	0,714	0,588	0,386	0,283	0,174	0,174	0,102	0,193	0,252	0,232	0,135	0,176	0,284	99
DE0008R	nickel	pm10	0,384	0,367	0,304	0,312	0,181	0,083	0,132	0,421	0,110	0,106	0,080	0,080	0,214	99
DE0009R	nickel	pm10	0,815	0,717	0,884	0,789	0,563	1,036	0,402	0,618	0,966	0,738	0,660	0,350	0,713	99
DK0008R	nickel	aerosol	0,289	0,201	0,455	0,602	0,401	0,628	0,298	1,006	0,551	0,354	0,328	0,446	0,462	93
DK0010G	nickel	aerosol	0,078	0,116	0,093	0,110	0,097	0,035	0,032	0,032	0,081	0,024	0,014	0,004	0,058	85
DK0012R	nickel	aerosol	0,323	0,434	0,624	0,381	0,409	0,506	0,374	0,715	0,710	0,561	0,343	0,420	0,484	99
EE0009R	nickel	pm10	0,221	0,134	0,242	0,271	0,300	1,316	1,433	0,869	0,662	0,411	0,356	0,344	0,551	84

Site	Comp	Matrix	Jan	Febr	Mar	Apr	May	June	July	Aug	Sept	Oct	Nov	Dec	2020		
															Annual	Capture	
ES0001R	nickel	pm10	0,600	0,722	1,570	-	0,270	0,393	0,813	0,414	0,362	0,392	0,484	0,288	0,576	15	
ES0007R	nickel	pm10	1,896	0,436	0,506	-	0,682	1,179	1,222	0,904	0,392	0,940	0,707	0,760	0,874	15	
ES0008R	nickel	pm10	0,520	1,244	0,486	-	0,440	0,501	0,531	1,162	1,636	0,393	0,637	0,650	0,747	15	
ES0009R	nickel	pm10	0,274	0,760	0,540	-	0,252	0,197	0,242	-	0,371	0,317	0,274	0,278	0,352	15	
ES0014R	nickel	pm10	0,750	0,590	0,534	-	0,592	0,342	0,616	0,646	0,322	0,430	0,296	0,170	0,475	14	
ES1778R	nickel	pm10	0,117	0,277	0,348	0,389	0,292	0,680	0,523	0,643	0,385	0,215	0,743	0,367	0,424	22	
ES1778R	nickel	pm1	0,015	0,026	0,253	0,416	0,486	0,428	0,389	0,757	0,397	0,212	0,264	0,194	0,316	22	
ES1778R	nickel	pm25	0,015	0,260	0,186	0,306	0,172	0,776	0,500	0,744	0,292	0,181	0,319	0,246	0,365	19	
FI0018R	nickel	pm10	0,258	0,296	0,329	0,210	0,275	0,362	0,233	0,291	0,435	0,369	0,154	0,412	0,305	98	
FI0036R	nickel	pm10	0,190	0,103	0,093	0,189	0,139	0,137	0,238	0,096	0,097	0,152	0,036	0,413	0,158	99	
FI0050R	nickel	pm10	0,207	0,157	0,298	0,124	0,189	0,308	0,166	0,165	0,308	0,254	0,127	0,201	0,209	99	
FR0008R	nickel	pm10	0,565	0,389	0,351	-	0,550	0,341	0,348	0,247	0,292	0,195	0,255	0,102	0,319	84	
FR0009R	nickel	pm10	0,551	0,561	0,451	-	0,770	0,555	0,546	0,314	0,604	0,295	0,346	0,265	0,466	80	
FR0013R	nickel	pm10	0,469	0,465	0,469	-	0,588	0,394	0,331	0,276	0,323	0,216	0,275	0,141	0,343	83	
FR0023R	nickel	pm10	0,408	0,443	0,437	-	0,533	0,451	0,244	0,266	0,358	0,112	0,176	0,055	0,302	84	
FR0025R	nickel	pm10	0,591	0,354	0,433	0,488	0,483	0,502	0,304	0,179	0,349	0,272	0,362	0,135	0,357	88	
FR0028R	nickel	pm10	1,812	-	0,989	-	-	4,222	1,293	4,225	4,470	1,908	1,419	0,717	2,144	53	
GB0013R	nickel	pm10	0,303	0,175	0,322	0,707	0,511	0,459	0,336	0,403	0,356	0,365	0,304	0,135	0,365	100	
GB0017R	nickel	pm10	0,357	0,292	0,398	0,936	0,593	0,534	0,586	0,617	0,390	0,440	0,459	0,323	0,494	100	
GB0048R	nickel	pm10	0,055	0,078	0,137	0,218	0,134	0,165	0,125	0,143	0,132	0,123	0,156	0,177	0,137	100	
GB1055R	nickel	pm10	0,265	0,240	0,387	0,847	0,495	0,486	0,616	0,951	0,407	0,457	0,538	0,314	0,501	100	
IS0091R	nickel	aerosol	0,234	0,458	0,204	0,463	0,362	0,316	0,280	0,670	0,781	0,321	0,532	0,493	0,425	100	
IT0019R	nickel	pm10	0,250	0,250	0,250	0,521	0,250	0,250	0,507	0,637	0,569	0,490	0,417	0,419	0,399	27	
LV0010R	nickel	pm10	0,472	0,520	0,586	0,187	0,652	0,549	0,142	0,310	0,835	0,302	0,085	0,289	0,403	47	
NL0008R	nickel	pm10	0,675	0,318	0,778	0,617	0,905	0,474	0,421	0,564	0,746	0,537	0,738	0,615	0,619	48	
NL0644R	nickel	pm25	0,559	0,247	0,453	0,311	0,611	0,521	0,639	0,568	0,425	0,462	0,463	0,370	0,467	23	
NO0002R	nickel	pm10	0,097	0,078	0,191	0,124	0,100	0,221	0,099	0,331	0,172	0,238	0,077	0,088	0,149	98	
NO0042G	nickel	aerosol	0,173	0,039	0,065	0,291	0,340	0,064	0,057	0,069	0,149	0,126	10,533	0,253	0,792	29	
NO0090R	nickel	aerosol	0,087	0,059	0,406	0,060	0,062	0,107	0,142	0,024	0,080	0,075	0,050	0,031	0,103	28	
PL0005R	nickel	pm10	0,291	0,192	0,340	0,237	0,332	0,329	0,172	0,147	0,389	0,253	0,180	0,679	0,299	84	
PL0009R	nickel	pm10	0,408	0,218	0,290	0,253	0,327	0,200	0,256	0,490	0,524	0,200	0,635	0,326	0,336	83	
SE0005R	nickel	aerosol	0,103	0,124	0,187	0,080	0,089	0,076	0,075	0,106	0,095	0,088	0,075	0,095	0,099	99	
SE0014R	nickel	aerosol	0,380	0,259	0,370	0,430	0,331	0,519	0,230	0,406	0,366	0,420	0,241	0,360	0,360	99	
SE0020R	nickel	aerosol	0,320	0,115	0,414	0,350	0,233	0,229	0,360	0,361	0,409	0,490	0,351	0,230	0,323	100	
SE0022R	nickel	aerosol	0,210	0,219	0,114	0,160	0,108	0,230	0,080	0,103	0,237	0,330	0,227	0,105	0,177	99	
SI0008R	nickel	pm10	7,237	5,120	7,458	7,565	3,175	-	-	-	6,400	6,040	12,385	4,871	6,756	19	
SK0002R	nickel	aerosol	0,025	1,303	0,030	0,251	0,174	0,052	0,025	0,025	0,025	0,025	0,089	0,055	0,181	0,187	96
SK0004R	nickel	pm10	-	0,025	0,406	0,240	0,140	0,146	0,096	0,241	0,106	0,268	0,475	0,025	0,194	69	

Site	Comp	Matrix	Jan	Febr	Mar	Apr	May	June	July	Aug	Sept	Oct	Nov	Dec	2020	
															Annual	Capture
SK0006R	nickel	pm10	0,312	0,025	0,025	0,261	0,276	0,025	0,025	0,271	0,025	0,059	0,430	0,072	0,149	97
SK0007R	nickel	pm10	0,181	0,030	0,369	0,504	0,144	0,027	0,080	0,137	0,025	0,157	0,257	0,054	0,166	88
ES1778R	rubidium	pm10	0,301	0,216	0,291	0,221	0,258	0,184	0,481	0,381	0,245	0,300	0,453	0,341	0,307	22
ES1778R	rubidium	pm1	0,064	0,066	0,095	0,107	0,062	0,048	0,077	0,129	0,052	0,043	0,076	0,050	0,073	22
ES1778R	rubidium	pm25	0,088	0,130	0,178	0,120	0,102	0,084	0,164	0,080	0,093	0,091	0,083	0,063	0,101	19
CZ0003R	selenium	pm10	0,196	0,100	0,227	0,246	0,273	0,236	0,214	0,269	0,350	0,211	0,247	0,133	0,225	50
CZ0003R	selenium	pm25	0,236	0,117	0,223	0,270	0,155	0,218	0,161	0,271	0,232	0,207	0,187	0,143	0,201	50
CZ0005R	selenium	pm10	0,069	0,074	0,113	0,196	0,137	0,134	0,161	0,157	0,177	0,081	0,078	0,067	0,120	50
DE0001R	selenium	pm10	0,314	0,225	0,316	0,368	0,407	0,358	0,299	0,475	0,388	0,294	0,389	0,474	0,358	99
DE0002R	selenium	pm10	0,416	0,227	0,323	0,366	0,389	0,373	0,336	0,536	0,490	0,308	0,594	0,622	0,414	99
DE0003R	selenium	pm10	0,074	0,069	0,155	0,247	0,192	0,206	0,186	0,206	0,254	0,085	0,071	0,038	0,150	99
DE0007R	selenium	pm10	0,349	0,187	0,293	0,233	0,269	0,273	0,251	0,375	0,407	0,283	0,465	0,595	0,330	99
DE0008R	selenium	pm10	0,476	0,214	0,492	0,548	0,338	0,512	0,394	0,282	0,321	0,133	0,266	0,086	0,341	99
DE0009R	selenium	pm10	0,320	0,186	0,261	0,275	0,320	0,320	0,261	0,392	0,418	0,274	0,346	0,599	0,329	99
ES1778R	selenium	pm10	0,055	0,079	0,114	0,056	0,053	0,079	0,071	0,145	0,019	0,019	0,026	0,022	0,064	22
ES1778R	selenium	pm1	0,019	0,050	0,071	0,111	0,076	0,070	0,025	0,055	0,021	0,015	0,015	0,019	0,045	22
ES1778R	selenium	pm25	0,050	0,060	0,063	0,079	0,072	0,079	0,049	0,069	0,015	0,015	0,021	0,033	0,049	19
GB0048R	selenium	pm10	0,141	0,154	0,241	0,329	0,314	0,262	0,225	0,260	0,255	0,274	0,231	0,210	0,241	100
GB1055R	selenium	pm10	0,307	0,289	0,387	0,670	0,547	0,508	0,496	0,554	0,469	0,464	0,476	0,353	0,460	100
ES1778R	strontium	pm10	1,955	0,717	1,103	0,504	0,760	0,576	1,390	1,269	0,700	0,765	0,540	0,246	0,891	22
ES1778R	strontium	pm1	0,057	0,050	0,108	0,111	0,122	0,076	0,028	0,295	0,032	0,048	0,040	0,085	0,086	22
ES1778R	strontium	pm25	0,104	0,180	0,265	0,055	0,372	0,156	0,311	0,163	0,203	0,112	0,083	0,124	0,170	19
IT0019R	strontium	pm10	0,500	0,838	0,500	2,296	1,056	0,500	1,730	1,625	1,866	0,666	0,791	0,500	1,090	27
DE0001R	thallium	pm10	0,0135	0,0083	0,0133	0,0092	0,0038	0,0063	0,0037	0,0087	0,0103	0,0073	0,012	0,0279	0,0102	99
DE0002R	thallium	pm10	0,022	0,0132	0,02	0,014	0,0099	0,0074	0,0074	0,0102	0,0124	0,0087	0,0162	0,044	0,0152	99
DE0003R	thallium	pm10	0,0099	0,0076	0,0109	0,0152	0,0055	0,0101	0,0049	0,0063	0,0057	0,0024	0,0067	0,0014	0,0072	99
DE0007R	thallium	pm10	0,0115	0,0067	0,0166	0,0117	0,005	0,0052	0,0031	0,011	0,0108	0,0081	0,0136	0,0501	0,0125	99
DE0008R	thallium	pm10	0,0123	0,0094	0,0174	0,0173	0,0051	0,006	0,0076	0,0047	0,008	0,0037	0,0056	0,0032	0,0084	99
DE0009R	thallium	pm10	0,0118	0,0081	0,0126	0,0073	0,0033	0,0045	0,0023	0,0048	0,0101	0,0069	0,0102	0,0431	0,0102	99
ES1778R	thallium	pm10	0,015	0,015	0,015	0,015	0,015	0,015	0,015	0,015	0,015	0,015	0,015	0,015	0,015	22
ES1778R	thallium	pm1	0,015	0,015	0,015	0,015	0,015	0,015	0,015	0,015	0,015	0,015	0,015	0,015	0,015	22
ES1778R	thallium	pm25	0,015	0,015	0,015	0,015	0,015	0,015	0,015	0,015	0,015	0,015	0,015	0,015	0,015	19
ES1778R	thorium	pm10	0,0587	0,0221	0,0694	0,0307	0,05	0,0375	0,0557	0,0579	0,0325	0,035	0,0336	0,0375	0,044	22
ES1778R	thorium	pm1	0,0206	0,015	0,0525	0,02	0,045	0,0362	0,015	0,0257	0,02	0,0213	0,0171	0,0275	0,0256	22
ES1778R	thorium	pm25	0,015	0,015	0,0375	0,015	0,06	0,0262	0,0171	0,0221	0,0233	0,025	0,015	0,0344	0,0255	19
ES1778R	tin	pm10	0,1675	0,2471	0,21	0,1543	0,184	0,2013	0,3829	0,24	0,3767	0,13	0,2307	0,0813	0,2166	22
ES1778R	tin	pm1	0,0762	0,1157	0,1517	0,15	0,146	0,13	0,1471	0,1829	0,2567	0,1181	0,1536	0,07	0,1412	22
ES1778R	tin	pm25	0,14	0,12	0,14	0,1617	0,172	0,1525	0,2086	0,1557	0,2833	0,1743	0,1857	0,11	0,1701	19

Site	Comp	Matrix	Jan	Febr	Mar	Apr	May	June	July	Aug	Sept	Oct	Nov	Dec	2020	
															Annual	Capture
IT0019R	tin	pm10	0,25	0,25	0,25	0,25	0,25	0,32	0,25	0,515	0,4229	0,458	0,4211	0,5757	0,3426	27
DE0001R	titanium	pm10	1,32	0,81	2,95	4,94	2,36	3,30	2,46	5,54	3,82	2,29	0,85	1,00	2,65	99
DE0002R	titanium	pm10	1,48	1,34	3,39	8,19	4,00	3,91	2,94	6,81	6,50	1,88	1,37	1,35	3,61	99
DE0003R	titanium	pm10	5,06	2,56	5,00	7,59	2,46	3,71	4,05	3,88	3,06	2,60	13,87	0,29	4,53	99
DE0007R	titanium	pm10	1,09	0,90	2,64	6,17	2,40	2,67	1,77	5,06	4,49	2,36	0,94	1,35	2,66	99
DE0008R	titanium	pm10	1,04	0,48	3,54	7,57	3,04	2,34	6,58	4,03	4,79	1,87	0,70	0,05	3,03	99
DE0009R	titanium	pm10	1,03	0,62	2,48	3,80	1,86	2,35	2,22	3,73	4,52	3,95	0,95	1,75	2,45	99
ES1778R	titanium	pm10	12,48	5,44	8,38	5,54	7,93	5,10	16,26	11,74	8,30	9,00	6,91	1,81	8,16	22
ES1778R	titanium	pm1	0,57	0,26	0,68	0,96	0,97	0,61	0,21	3,39	0,60	0,40	4,73	0,88	1,19	22
ES1778R	titanium	pm25	1,02	1,56	2,09	0,97	1,99	1,74	4,17	1,26	1,50	1,95	0,96	1,09	1,70	19
IT0019R	titanium	pm10	0,82	1,38	0,25	7,65	3,13	1,31	7,78	7,74	8,82	0,78	3,11	1,01	3,68	27
NO0002R	titanium	pm10	0,80	0,44	1,74	3,35	3,32	3,86	1,04	3,39	2,57	4,78	0,52	0,26	2,16	98
NO0042G	titanium	aerosol	4,12	0,78	0,48	5,75	5,45	1,69	0,81	1,47	2,50	3,62	31,89	6,19	4,17	29
NO0090R	titanium	aerosol	0,55	0,69	0,92	1,55	1,00	1,38	0,71	0,57	2,05	2,25	0,73	0,41	1,07	28
ES1778R	uranium	pm10	0,076	0,034	0,050	0,081	0,039	0,054	0,044	0,059	0,018	0,048	0,038	0,066	0,052	22
ES1778R	uranium	pm1	0,066	0,046	0,039	0,063	0,059	0,079	0,032	0,069	0,047	0,059	0,034	0,051	0,054	22
ES1778R	uranium	pm25	0,020	0,015	0,024	0,073	0,060	0,044	0,019	0,069	0,036	0,036	0,034	0,071	0,045	19
CY0002R	vanadium	pm10	0,666	0,976	1,772	1,022	1,790	1,105	1,652	1,616	2,321	2,500	1,537	1,846	1,565	96
CZ0003R	vanadium	pm10	0,109	0,100	0,326	0,562	0,247	0,189	0,213	0,244	0,357	0,151	0,111	0,073	0,223	50
CZ0003R	vanadium	pm25	0,058	0,058	0,174	0,290	0,114	0,114	0,115	0,108	0,138	0,081	0,060	0,037	0,112	50
CZ0005R	vanadium	pm10	0,134	0,105	0,268	0,424	0,146	0,127	0,177	0,193	0,204	0,166	0,056	0,037	0,168	50
DE0001R	vanadium	pm10	0,376	0,279	0,610	0,921	0,790	0,851	0,452	0,942	0,848	0,415	0,497	0,477	0,623	99
DE0002R	vanadium	pm10	0,219	0,190	0,384	0,669	0,463	0,495	0,319	0,559	0,510	0,280	0,289	0,179	0,381	99
DE0003R	vanadium	pm10	0,238	0,147	0,325	0,469	0,205	0,230	0,260	0,246	0,245	0,176	0,688	0,043	0,274	99
DE0007R	vanadium	pm10	0,179	0,157	0,441	0,497	0,413	0,520	0,335	0,420	0,433	0,280	0,201	0,154	0,338	99
DE0008R	vanadium	pm10	0,108	0,079	0,283	0,506	0,293	0,208	0,347	0,193	0,315	0,182	0,105	0,019	0,221	99
DE0009R	vanadium	pm10	1,011	0,838	1,484	2,486	1,757	3,193	1,417	2,081	1,542	0,614	0,684	0,312	1,459	99
ES1778R	vanadium	pm10	0,499	0,336	0,441	0,340	0,416	0,485	0,733	0,736	0,582	0,448	0,351	0,320	0,473	22
ES1778R	vanadium	pm1	0,093	0,086	0,175	0,213	0,218	0,321	0,303	0,516	0,302	0,079	0,158	0,053	0,213	22
ES1778R	vanadium	pm25	0,157	0,200	0,195	0,208	0,306	0,388	0,449	0,456	0,387	0,185	0,189	0,259	0,295	19
FI0018R	vanadium	pm10	0,488	0,561	1,053	0,453	0,673	0,688	0,537	0,654	0,926	0,774	0,339	0,919	0,680	98
FI0036R	vanadium	pm10	0,423	0,112	0,100	0,128	0,179	0,126	0,126	0,124	0,140	0,165	0,037	0,523	0,183	99
FI0050R	vanadium	pm10	0,196	0,222	0,406	0,218	0,267	0,436	0,225	0,337	0,565	0,429	0,219	0,401	0,328	99
GB0048R	vanadium	pm10	0,103	0,092	0,171	0,400	0,208	0,338	0,207	0,191	0,187	0,174	0,143	0,081	0,191	100
GB1055R	vanadium	pm10	0,357	0,305	0,557	1,981	1,177	0,801	0,708	1,009	0,691	0,917	0,830	0,570	0,826	100
IS0091R	vanadium	aerosol	0,885	0,843	0,414	1,588	2,372	1,553	1,466	1,010	1,717	2,133	2,500	2,454	1,576	100
IT0019R	vanadium	pm10	0,250	0,250	0,250	0,648	0,357	0,250	0,794	0,873	0,824	0,342	0,501	0,250	0,465	27
NO0002R	vanadium	pm10	0,099	0,113	0,312	0,234	0,259	0,372	0,193	0,809	0,289	0,474	0,188	0,104	0,280	98

Site	Comp	Matrix	Jan	Febr	Mar	Apr	May	June	July	Aug	Sept	Oct	Nov	Dec	2020	
															Annual	Capture
NO0042G	vanadium	aerosol	0,254	0,046	0,040	0,263	0,239	0,058	0,053	0,070	0,095	0,192	1,804	0,304	0,217	29
NO0090R	vanadium	aerosol	0,089	0,037	0,046	0,062	0,059	0,070	0,068	0,028	0,108	0,118	0,031	0,031	0,063	28
SE0005R	vanadium	aerosol	0,062	0,031	0,108	0,031	0,042	0,054	0,065	0,063	0,057	0,164	0,029	0,083	0,066	99
SE0014R	vanadium	aerosol	0,690	0,495	0,991	1,400	0,921	1,175	0,830	1,173	1,087	0,970	0,581	0,770	0,926	99
SE0020R	vanadium	aerosol	0,370	0,333	0,828	0,910	0,621	0,383	0,430	0,783	0,976	0,760	0,533	0,390	0,610	100
SE0022R	vanadium	aerosol	0,150	0,204	0,246	0,190	0,173	0,422	0,170	0,315	0,412	0,580	0,207	0,260	0,278	99
BE0014R	zinc	pm10	16,1	9,4	11,4	15,4	13,8	10,4	7,4	9,4	14,4	8,6	18,6	12,9	12,3	100
CY0002R	zinc	pm10	8,4	11,4	11,6	8,2	6,2	6,9	16,3	15,2	15,5	11,4	20,7	15,5	12,2	96
CZ0003R	zinc	pm10	9,1	4,3	11,2	9,6	5,8	3,2	4,4	5,7	7,4	6,1	9,4	6,3	6,9	50
CZ0003R	zinc	pm25	8,8	4,8	9,9	8,3	3,1	2,4	2,9	4,0	4,6	4,5	7,5	5,0	5,5	50
CZ0005R	zinc	pm10	1,0	2,1	6,1	7,8	3,4	2,6	3,6	4,3	5,1	1,9	3,6	2,5	3,6	50
DE0001R	zinc	pm10	5,9	6,6	13,0	4,4	1,0	5,3	7,3	22,5	5,7	7,3	20,5	14,1	9,4	99
DE0002R	zinc	pm10	14,1	8,7	11,2	7,0	4,2	5,4	6,7	10,5	14,2	11,4	18,6	22,5	11,1	99
DE0003R	zinc	pm10	42,7	14,0	17,1	41,6	9,2	69,4	2,0	1,2	4,1	0,6	1,2	7,0	17,5	99
DE0007R	zinc	pm10	11,9	22,2	23,3	28,3	21,5	4,3	4,1	10,4	33,4	60,2	18,9	17,4	21,4	99
DE0008R	zinc	pm10	4,2	3,0	8,4	8,7	4,1	10,8	16,9	7,6	6,0	3,5	11,7	2,4	7,3	99
DE0009R	zinc	pm10	6,7	4,5	8,3	10,2	3,3	5,7	13,3	4,4	7,5	7,7	11,7	18,1	8,4	99
ES0001R	zinc	pm10	15,6	4,8	5,7	-	2,2	2,0	1,9	1,3	1,8	2,9	5,0	7,0	4,6	15
ES0007R	zinc	pm10	5,0	2,1	4,8	-	18,8	7,3	1,4	1,4	2,6	2,3	4,7	12,3	5,7	15
ES0008R	zinc	pm10	12,4	18,2	13,3	-	9,3	11,8	6,1	6,9	11,4	3,6	14,5	12,9	11,0	15
ES0009R	zinc	pm10	6,9	4,8	6,7	-	4,2	2,8	0,6	-	3,7	1,4	3,6	6,9	4,1	15
ES0014R	zinc	pm10	14,7	14,5	9,7	-	13,6	8,2	3,5	3,8	4,0	8,4	9,2	10,4	9,1	14
ES1778R	zinc	pm10	3,1	5,5	6,2	2,4	5,8	5,0	6,2	5,1	6,5	6,2	7,6	3,9	5,2	22
ES1778R	zinc	pm1	1,1	1,4	4,7	6,6	4,9	3,0	3,5	10,8	4,1	3,3	5,0	2,7	4,2	22
ES1778R	zinc	pm25	10,1	8,2	8,7	5,8	14,0	8,8	11,3	6,8	11,5	11,5	12,5	8,0	9,8	19
FI0018R	zinc	pm10	6,1	4,6	6,1	3,3	3,9	5,6	3,5	4,3	10,9	10,9	6,5	9,3	6,3	98
FI0036R	zinc	pm10	1,0	1,3	0,9	0,9	0,8	0,7	0,9	1,2	1,3	1,7	0,8	3,0	1,2	99
FI0050R	zinc	pm10	3,2	3,2	5,2	3,4	2,6	3,2	3,2	4,6	8,2	7,5	6,0	7,8	4,9	99
GB0013R	zinc	pm10	3,7	2,8	6,5	10,8	6,0	4,8	4,1	3,7	3,5	5,2	6,5	3,0	5,1	100
GB0017R	zinc	pm10	8,9	7,5	8,1	7,8	5,6	3,7	5,8	6,3	7,1	10,5	10,7	7,4	7,4	100
GB0048R	zinc	pm10	1,1	4,1	3,0	4,4	3,0	3,7	3,1	2,0	1,9	3,2	2,5	1,5	2,8	100
GB1055R	zinc	pm10	7,0	14,0	11,2	15,5	7,5	6,7	6,2	10,1	10,3	32,9	83,8	33,3	19,8	100
ISO091R	zinc	aerosol	1,1	1,3	0,9	2,0	2,0	1,4	3,6	0,9	1,1	1,1	1,6	1,5	1,5	100
IT0019R	zinc	pm10	5,0	5,0	5,0	5,0	5,0	5,0	5,0	7,1	11,0	5,0	5,0	5,0	5,5	27
NL0008R	zinc	pm10	21,9	16,4	24,3	21,7	22,1	18,8	16,3	17,9	21,7	20,1	41,7	28,9	22,6	49
NL0644R	zinc	pm25	22,2	13,1	18,6	13,6	19,4	15,2	15,9	16,9	14,0	19,4	28,2	23,6	18,4	24
NO0002R	zinc	pm10	1,5	1,3	3,0	2,5	1,4	2,0	1,2	3,1	3,6	9,9	6,4	13,0	4,1	98
NO0042G	zinc	aerosol	1,6	0,8	0,8	3,2	1,0	0,5	1,0	1,4	2,9	1,4	6,9	4,0	1,8	29

Site	Comp	Matrix	Jan	Febr	Mar	Apr	May	June	July	Aug	Sept	Oct	Nov	Dec	2020	
															Annual	Capture
NO0090R	zinc	aerosol	0,5	0,3	1,7	0,3	0,2	1,0	0,5	0,3	1,2	1,4	0,3	0,4	0,7	28
PL0005R	zinc	pm10	12,9	10,5	12,5	3,7	2,5	3,8	2,9	3,9	7,7	9,5	13,1	15,5	8,3	84
SE0005R	zinc	aerosol	0,4	0,6	1,2	0,3	0,4	0,6	0,7	0,6	0,6	2,8	1,0	1,8	0,9	99
SE0014R	zinc	aerosol	5,3	3,3	5,7	3,9	2,5	3,0	1,1	4,0	4,1	5,0	5,3	9,1	4,3	99
SE0020R	zinc	aerosol	4,4	2,7	6,9	5,8	5,1	2,0	2,4	3,7	6,3	5,0	5,3	6,8	4,7	100
SE0022R	zinc	aerosol	2,7	2,8	3,3	2,7	1,7	2,7	1,4	1,9	4,0	4,7	3,9	6,3	3,1	99
SI0008R	zinc	pm10	0,3	0,7	0,4	3,1	0,3	-	-	-	0,3	0,3	0,3	0,3	0,6	19
SK0002R	zinc	aerosol	0,6	4,7	2,1	1,6	1,9	1,9	3,8	3,4	3,2	0,7	0,4	0,3	2,0	96
SK0004R	zinc	pm10	-	6,9	8,9	8,0	7,1	4,3	6,4	5,1	6,5	6,4	10,9	10,1	7,3	69
SK0006R	zinc	pm10	12,1	6,4	6,5	6,0	5,2	3,7	6,9	6,1	6,1	6,6	8,0	5,0	6,6	97
SK0007R	zinc	pm10	30,5	8,7	20,6	11,3	5,1	5,2	7,3	5,0	10,3	5,0	15,5	10,2	9,9	88
DE0002R	total_gaseous_mercury	air	1,73	1,73	1,83	-	-	-	-	-	-	-	-	-	-	-
DE0003R	total_gaseous_mercury	air	1,28	1,31	1,35	1,41	1,32	1,20	1,20	1,28	1,21	1,19	1,21	1,28	1,29	66
DE0008R	total_gaseous_mercury	air	-	1,58	1,47	1,40	1,47	1,85	-	1,38	1,46	1,38	1,40	1,45	1,45	37
DE0009R	total_gaseous_mercury	air	1,40	1,45	1,31	1,41	1,40	1,40	1,38	1,44	1,39	1,31	1,34	1,40	1,39	95
DK0010G	mercury	air	1,27	1,19	1,10	1,16	1,10	1,48	1,61	1,28	1,15	1,12	1,15	1,12	1,23	95
EE0009R	mercury	air	1,55	1,58	1,54	1,48	1,42	1,42	1,32	1,21	1,28	1,30	1,34	1,35	1,40	100
ES0008R	total_gaseous_mercury	air	0,39	0,38	0,34	0,33	0,42	0,41	0,39	0,36	0,33	0,30	0,29	0,67	0,39	81
FI0018R	total_gaseous_mercury	air	1,35	1,36	1,31	1,25	1,21	1,19	1,15	1,10	1,11	1,04	1,09	1,23	1,21	87
FI0036R	mercury	air+aerosol	1,20	1,42	1,35	1,15	1,29	1,31	1,33	1,23	1,18	1,39	1,24	1,32	1,29	23
FI0036R	total_gaseous_mercury	air	1,31	1,37	1,30	1,18	1,15	1,28	1,22	1,21	1,13	1,11	1,17	1,25	1,22	95
FI0050R	total_gaseous_mercury	air	1,22	1,26	1,27	1,20	1,11	1,09	1,03	0,95	0,97	1,00	1,05	1,16	1,11	95
GB0048R	mercury	air	1,20	1,36	1,41	1,42	1,37	1,44	1,35	1,39	-	1,26	1,30	1,32	1,36	45
GB0048R	mercury	pm25	-	0,63	1,82	2,89	2,51	1,73	1,11	0,76	-	-	-	-	1,71	29
GB0048R	reactive_gaseous_mercury	air	-	1,09	0,54	0,92	0,78	0,70	-	-	-	-	-	-	-	-
GB1055R	total_gaseous_mercury	air	1,35	-	-	-	-	-	-	-	-	-	-	-	-	-
IS0091R	mercury	aerosol	3,43	6,95	5,60	3,29	2,88	5,50	5,16	4,41	2,99	1,17	1,32	13,12	4,62	100
NO0002R	gaseous_elemental_mercury	air	1,45	1,46	1,49	1,46	1,40	1,48	1,49	1,32	1,47	1,67	1,75	1,62	1,50	85
NO0042G	gaseous_elemental_mercury	air	1,54	1,56	1,25	1,39	1,24	1,63	1,54	1,32	1,34	1,42	1,50	1,50	1,44	82
NO0090R	gaseous_elemental_mercury	air	1,52	1,55	1,53	1,39	1,34	1,44	1,43	1,36	1,27	1,30	1,36	1,48	1,41	95
PL0005R	total_gaseous_mercury	air	2,08	1,30	2,42	1,15	1,15	1,58	1,44	1,75	1,68	1,15	2,04	1,42	1,61	14
SE0005R	mercury	air+aerosol	1,30	1,37	1,38	1,27	1,40	1,32	1,28	1,26	1,11	1,13	1,10	1,26	1,27	13
SE0014R	mercury	air+aerosol	1,15	1,18	1,19	1,13	-	-	-	-	-	-	-	-	-	-
SE0014R	mercury	aerosol	2,42	2,71	9,24	5,33	-	-	-	-	-	-	-	-	-	-
SE0020R	mercury	air+aerosol	1,30	1,00	1,17	1,34	1,13	1,38	1,44	1,30	1,26	1,25	1,33	1,40	1,27	13
SI0008R	mercury	air	-	1,33	1,33	1,36	1,32	-	-	-	-	-	-	-	-	-

Appendix G

Monthly and annual mean values for POPs in precipitation

Site	Comp	Matrix	Jan	Febr	Mar	Apr	May	June	July	Aug	Sept	Oct	Nov	Dec	2020	
															Annual	Capture
BE0013R	anthracene	precip+dry_dep	578,2035	26,4186	7,7316	5,478	6,71	16,1523	25,0419	13,5748	2,808	18,2652	8,9447	32,3977	62,5883	100
BE0013R	benz_a_anthracene	precip+dry_dep	365,6306	19,4259	12,4365	6,3693	4,1116	15,1473	25,2581	18,2277	10,564	26,9374	20,2293	37,9142	47,3734	100
BE0013R	benzo_a_pyrene	precip+dry_dep	122,3487	11,5662	10,06	7,6013	5,3003	14,138	12,4939	4,409	0,84	11,8723	13,634	33,0465	20,7849	100
BE0013R	benzo_b_fluoranthene	precip+dry_dep	244,6429	22,9497	17,4665	10,058	5,8965	19,4493	29,4752	20,1748	17,606	31,8026	5,4227	41,9168	39,2739	100
BE0013R	benzo_ghi_perylene	precip+dry_dep	55,1674	4,3907	12,4365	9,276	9,9552	4,5303	6,8723	10,7103	11,236	23,4226	15,1993	37,6977	16,8817	100
BE0013R	benzo_k_fluoranthene	precip+dry_dep	122,3487	11,3924	8,0568	5,1447	3,5155	9,836	14,3361	10,6042	9,055	16,5477	3,1867	20,1232	19,6955	100
BE0013R	chrysene	precip+dry_dep	625,421	44,8686	24,5577	11,29	7,6813	35,3777	63,9855	45,3774	23,81	60,7419	38,6727	56,5797	87,4054	100
BE0013R	dibenzo_ah_anthracene	precip+dry_dep	18,4974	1,4472	6,3848	3,9127	2,3268	3,2143	0,84	5,4613	4,859	1,4068	0,84	27,4758	6,4506	100
BE0013R	fluoranthene	precip+dry_dep	1672,995	64,8148	41,0506	19,446	19,6852	48,9587	107,095	68,6952	27,333	104,549	92,3313	70,4265	197,1069	100
BE0013R	fluorene	precip+dry_dep	273,36	7,0566	9,7348	6,5933	3,4648	4,5303	6,0052	8,0068	13,752	5,0874	10,3987	27,0403	31,6299	100
BE0013R	inden_123cd_pyrene	precip+dry_dep	52,0339	2,5469	10,06	10,9533	11,6252	6,9283	8,4932	9,6806	13,077	12,4965	10,284	37,3735	15,5896	100
BE0013R	naphthalene	precip+dry_dep	168,3755	14,2779	18,8794	7,6033	10,06	7,8803	9,3552	10,3271	14,253	12,8758	10,284	30,5616	26,4704	100
BE0013R	pyrene	precip+dry_dep	989,5913	49,7248	28,2329	17,8853	20,6642	55,779	96,0568	52,0848	25,653	93,7877	67,2907	53,9839	130,6194	100
CZ0003R	HCb	precip	0,008	0,0094	0,0088	0,0241	0,008	0,008	0,008	0,008	0,008	0,008	0,008	0,008	0,008	85
CZ0003R	precipitation_amount	precip	17,925	66,15	39,65	23,75	63,425	175,9	78,1	175,425	50,775	65,95	26,25	15,4	798,7	100
CZ0003R	PCB_101	precip	0,0065	0,0065	0,0065	0,0065	0,0065	0,0065	0,0065	0,0065	0,0065	0,0065	0,0065	0,0065	0,0065	85
CZ0003R	PCB_118	precip	0,008	0,008	0,008	0,008	0,008	0,008	0,008	0,008	0,008	0,008	0,008	0,008	0,008	85
CZ0003R	PCB_138	precip	0,008	0,008	0,008	0,008	0,008	0,008	0,008	0,008	0,008	0,008	0,008	0,008	0,008	85
CZ0003R	PCB_153	precip	0,009	0,009	0,009	0,009	0,009	0,009	0,009	0,009	0,009	0,009	0,009	0,009	0,009	85
CZ0003R	PCB_180	precip	0,0075	0,0075	0,0075	0,0075	0,0075	0,0075	0,0075	0,0075	0,0075	0,0075	0,0075	0,0075	0,0075	85
CZ0003R	PCB_28	precip	0,003	0,003	0,003	0,003	0,003	0,003	0,003	0,003	0,003	0,003	0,003	0,003	0,003	85
CZ0003R	PCB_52	precip	0,0065	0,0074	0,0092	0,0065	0,0065	0,0065	0,0065	0,0065	0,0065	0,0065	0,0065	0,0065	0,0065	85
CZ0003R	acenaphthene	precip	1,8007	1,1954	1,7041	1,0137	0,04	0,04	0,04	0,04	0,2666	0,1402	0,04	0,04	0,2868	85
CZ0003R	acenaphthylene	precip	4,3091	1,7198	2,9662	0,5872	0,6974	0,0879	0,025	0,025	0,5622	2,6751	3,2957	0,9062	0,785	85
CZ0003R	alpha_HCH	precip	0,0402	0,025	0,0451	0,0639	0,0396	0,0598	0,0489	0,0338	0,0459	0,051	0,0353	0,0356	0,0455	85
CZ0003R	anthracene	precip	2,0184	0,3355	1,8545	0,8793	2,7584	0,6154	0,0175	0,2892	1,7005	3,0813	2,0467	0,2323	1,0087	85
CZ0003R	benz_a_anthracene	precip	10,2448	4,663	9,1528	1,5465	2,0157	0,0639	0,2451	0,5167	1,3184	11,5626	6,123	3,7433	2,4494	85
CZ0003R	benzo_a_pyrene	precip	8,63	2,971	6,4638	0,9074	1,6335	0,0425	0,0425	0,0695	0,5346	8,8449	4,7397	1,6385	1,6861	85
CZ0003R	benzo_b_fluoranthene	precip	16,294	6,7424	12,5692	0,5706	0,036	0,1949	0,4785	1,6027	14,814	10,3564	5,503	3,0462	85	
CZ0003R	benzo_ghi_perylene	precip	8,0846	3,699	6,0657	1,5471	1,4542	0,0257	0,0225	0,282	1,1393	9,0266	5,6205	2,7923	1,851	85
CZ0003R	benzo_k_fluoranthene	precip	7,1711	2,3737	4,6378	0,2921	0,036	0,036	0,036	0,036	0,5103	7,2883	4,8205	1,3116	1,2554	85
CZ0003R	beta_HCH	precip	0,014	0,014	0,0185	0,0324	0,069	0,0198	0,031	0,0174	0,0215	0,0158	0,0392	0,014	0,0249	85
CZ0003R	delta_HCH	precip	0,0175	0,0175	0,0175	0,0175	0,0175	0,0175	0,0175	0,0175	0,0175	0,0175	0,0175	0,0175	0,0175	85
CZ0003R	dibenzo_ah_anthracene	precip	0,5089	0,0395	0,3926	0,0395	0,0395	0,0395	0,0395	0,0395	0,0395	0,0395	0,4716	0,0395	0,0395	85
CZ0003R	fluoranthene	precip	50,8135	26,8016	50,0174	12,6485	8,5767	5,489	0,5983	2,2206	11,5279	43,1676	24,4639	22,2614	13,0591	85
CZ0003R	fluorene	precip	13,5472	5,5168	6,8826	3,304	1,3102	0,4663	0,358	0,4136	2,2022	4,0292	3,8329	2,7277	1,9845	85
CZ0003R	gamma_HCH	precip	0,1337	0,1207	0,18	0,3104	0,251	0,1908	0,3069	0,1781	0,161	0,1089	0,1662	0,0909	0,1935	85
CZ0003R	inden_123cd_pyrene	precip	9,3488	3,8608	6,457	0,8925	1,6375	0,0367	0,1367	0,2839	1,2877	10,7136	6,5838	3,2529	2,0762	85
CZ0003R	naphthalene	precip	77,3551	36,0086	38,5096	27,9436	3,2375	5,0222	0,007	0,9563	4,2698	5,5141	6,9779	2,2408	9,3123	85
CZ0003R	phenanthrene	precip	63,7809	32,2709	47,4596	25,279	15,4752	0,1091	0,008	0,6609	11,9228	25,4459	22,275	20,2084	11,4504	85
CZ0003R	pp_DDD	precip	0,006	0,006	0,006	0,006	0,006	0,006	0,006	0,006	0,006	0,006	0,006	0,006	0,006	85
CZ0003R	pp_DDE	precip	0,0435	0,0303	0,0165	0,0307	0,0134	0,0065	0,0098	0,0103	0,0264	0,0306	0,0338	0,0141	85	
CZ0003R	pp_DDT	precip	0,006	0,006	0,006	0,048	0,0105	0,006	0,006	0,006	0,006	0,0122	0,006	0,006	0,0081	85
CZ0003R	pyrene	precip	38,7888	20,2631	39,9226	9,6656	6,1218	13,704	0,8884	2,1326	8,36	47,416	23,0495	19,9096	13,7675	85
DE0001R	anthracene	precip_tot	0,9963	0,6232	1,229	7,1701	2,9217	1,2518	0,7034	0,6898	2,2146	2,1536	2,9779	1,5249	2,5999	100
DE0001R	precipitation_amount	precip_tot	71,854	113,362	52,6061	9,8907	22,1321	56,5767	100,994	96,6619	31,0535	33,9697	21,6656	45,5406	656,3071	100
DE0001R	benz_a_anthracene	precip_tot	1,1733	0,7743	1,6175	5,4626	1,7132	0,6679	0,8467	0,4579	1,3993	3,5246	10,6885	6,937	1,8701	100
DE0001R	benzo_a_pyrene	precip_tot	0,972	0,8191	1,8075	6,3776	2,3255	1,0624	1,0052	0,5713	2,2805	3,5887	13,6971	6,6236	2,1031	100
DE0001R	benzo_bjk_fluoranthenes	precip_tot	5,0824	3,2021	8,0484	23,0305	8,2566	3,4675	3,2448	1,8	6,9129	15,6629	49,8865	37,7437	8,8471	100
DE0001R	benzo_ghi_perylene	precip_tot	1,9743	1,3486	2,9385	7,8121	2,467	1,1231	0,9903	0,5802	2,5283	5,2202	17,4952	12,5695	3,0598	100
DE0001R	chrysene_triphenylene	precip_tot	3,9471	2,4059	5,6115	16,8473	6,2179	4,0054	2,3068	1,4301	4,3293	12,8915	28,9817	21,3302	5,9809	100

Site	Comp	Matrix	Jan	Febr	Mar	Apr	May	June	July	Aug	Sept	Oct	Nov	Dec	2020	
															Annual	Capture
DE0001R	dibenzo_ah_anthracene	precip_tot	0,2487	0,2026	0,4147	1,4256	0,4481	0,1803	0,2026	0,1125	0,3824	1,0369	3,3317	2,1745	0,528	100
DE0001R	fluoranthene	precip_tot	6,6631	5,298	10,8254	38,975	14,2264	9,5557	5,7601	5,608	12,3371	28,7164	38,8269	31,0557	11,6222	100
DE0001R	inden_123cd_pyrene	precip_tot	1,6344	1,0765	2,496	7,1841	2,2642	1,0712	0,9535	0,5702	2,4541	5,4995	19,7115	14,1923	3,1089	100
DE0001R	phenanthrene	precip_tot	8,3064	8,3342	16,5119	39,125	19,066	7,1578	7,4853	8,3764	19,9501	23,5488	27,4135	21,1126	12,4404	100
DE0001R	pyrene	precip_tot	3,9308	2,6131	6,5476	27,2579	8,1132	6,2366	3,8997	3,1737	10,1189	23,5075	28,8462	30,6778	8,4725	100
DE0002R	anthracene	precip_tot	2,0865	0,6668	1,1643	72,4843	2,5809	6,7508	1,3563	0,8065	1,2576	0,361	1,5485	0,8883	2,2869	100
DE0002R	precipitation_amount	precip_tot	34,8466	105,9496	55,5276	8,8749	25,0536	83,318	56,0547	82,6634	54,6885	202,6817	41,6625	78,1851	829,5062	100
DE0002R	benz_a_anthracene	precip_tot	2,4859	2,7456	10,006	13,3135	3,6633	2,4185	0,9624	1,0745	1,5426	0,4207	2,008	16,4721	3,651	100
DE0002R	benzo_a_pyrene	precip_tot	2,1459	2,5183	9,7162	14,4778	4,1542	3,2587	1,2879	1,431	2,0824	0,367	2,2675	14,7763	3,6331	100
DE0002R	benzo_bjk_fluoranthenes	precip_tot	14,5956	12,1761	47,2489	45,9886	14,3183	9,9965	4,885	4,3182	7,1357	1,8829	10,491	69,3171	16,0111	100
DE0002R	benzo_ghi_perylene	precip_tot	5,3183	3,7657	15,0357	13,4669	4,5958	4,6768	1,4787	1,2852	2,4103	0,7184	3,9275	23,3261	5,4218	100
DE0002R	chrysene_triphenylene	precip_tot	10,7532	8,0779	28,8124	33,765	10,2008	7,6899	3,2802	2,7711	4,0393	1,2715	6,1705	39,41	9,9532	100
DE0002R	dibenzo_ah_anthracene	precip_tot	0,5935	0,5597	2,4267	3,1452	0,9208	0,6122	0,2782	0,2799	0,3963	0,0854	0,6075	4,5239	0,9324	100
DE0002R	fluoranthene	precip_tot	18,3094	12,0598	36,1579	51,2848	17,3167	68,1993	7,4193	6,4271	8,0098	2,7255	9,24	49,3568	20,1039	100
DE0002R	inden_123cd_pyrene	precip_tot	4,8018	3,5173	15,6015	11,7065	3,775	2,6559	1,3828	1,2812	2,5169	0,782	4,605	28,0778	5,6573	100
DE0002R	phenanthrene	precip_tot	22,7764	11,361	25,906	137,6492	9,2583	407,199	15,2433	7,4766	13,3882	2,743	8,305	28,1282	53,1911	100
DE0002R	pyrene	precip_tot	17,3159	8,0586	29,8496	48,0429	14,75	54,8917	4,95	4,1536	4,8471	1,3327	5,05	30,2118	14,7227	100
DE0003R	anthracene	precip_tot	0,691	0,3156	0,4983	2,3797	0,6807	0,3767	0,6182	0,5406	0,556	1,2507	2,7901	1,8491	0,659	100
DE0003R	precipitation_amount	precip_tot	109,0086	216,858	134,0138	28,855	94,9821	193,540	98,6066	142,188	119,7871	58,4816	23,1281	37,5549	1257,005	99
DE0003R	benz_a_anthracene	precip_tot	1,9713	2,4303	2,4575	1,2592	0,687	0,4032	0,5222	0,2351	1,0406	2,5585	3,2486	9,1999	1,6155	100
DE0003R	benzo_a_pyrene	precip_tot	2,8479	3,5383	2,9042	1,7674	0,7571	0,5349	0,8792	0,3714	-	2,7575	3,3288	10,6375	2,1764	90
DE0003R	benzo_bjk_fluoranthenes	precip_tot	13,808	12,9329	15,0467	5,5439	3,3147	1,8331	2,8906	1,1328	0,031	11,5136	20,5243	59,1022	8,7297	100
DE0003R	benzo_ghi_perylene	precip_tot	5,5142	5,0282	5,3955	2,4365	1,256	0,801	1,0629	0,5489	2,1715	4,6492	7,1937	24,1213	3,6168	100
DE0003R	chrysene_triphenylene	precip_tot	8,3004	8,701	9,6631	3,7665	2,1848	1,5389	1,7028	0,6805	3,5442	8,2788	12,8297	33,5898	5,9127	100
DE0003R	dibenzo_ah_anthracene	precip_tot	0,489	0,5734	0,4482	0,324	0,1593	0,1183	0,1647	0,0599	0,1643	0,6797	0,9324	3,3278	0,4104	100
DE0003R	fluoranthene	precip_tot	10,3548	10,9909	12,4659	7,5042	5,0066	3,1343	4,2076	1,7069	6,1185	20,7426	23,4054	50,8348	9,177	100
DE0003R	inden_123cd_pyrene	precip_tot	4,8299	4,6273	5,223	2,3223	1,1868	0,6317	0,988	0,5145	1,939	4,9694	8,036	25,7268	3,4824	100
DE0003R	phenanthrene	precip_tot	9,8616	8,7497	13,9642	14,061	5,9143	4,5199	3,9741	1,8739	7,1293	31,5695	26,9459	40,5194	9,6973	100
DE0003R	pyrene	precip_tot	7,8458	7,5224	8,8994	6,1598	3,6264	2,2358	3,2236	0,8938	2,2801	16,9664	17,3874	39,8646	6,5582	100
DE0008R	anthracene	precip_tot	0,9502	1,495	0,5443	6,8443	0,8749	0,5638	1,1602	0,5303	2,7337	0,5575	0,7463	0,43	0,9064	100
DE0008R	precipitation_amount	precip_tot	83,592	165,3148	118,777	10,3661	73,9021	125,614	61,2276	125,724	51,796	132,5301	86,4562	161,5105	1196,811	100
DE0008R	benz_a_anthracene	precip_tot	5,212	4,7182	5,2752	9,1049	1,496	0,9694	0,9491	0,9702	1,7496	3,7993	2,2713	2,6833	2,9854	100
DE0008R	benzo_a_pyrene	precip_tot	6,9744	5,2114	6,0536	11,6677	1,9788	1,6816	1,0453	1,7885	2,0058	2,892	2,5169	2,4409	3,3671	100
DE0008R	benzo_bjk_fluoranthenes	precip_tot	37,9314	23,2265	28,4151	37,1933	6,9723	5,4392	3,1379	5,7332	5,6889	14,886	12,5017	13,6155	15,3992	100
DE0008R	benzo_ghi_perylene	precip_tot	16,4031	9,5578	11,4227	14,5162	2,7443	2,0279	1,1226	1,8998	2,2165	6,0111	4,9867	4,6897	6,1193	100
DE0008R	chrysene_triphenylene	precip_tot	19,2149	15,1414	16,6153	22,7664	4,4466	3,181	2,2736	3,3803	3,6846	9,8397	6,5882	8,0478	9,1706	100
DE0008R	dibenzo_ah_anthracene	precip_tot	1,482	0,973	1,3946	2,2918	0,4393	0,3409	0,1793	0,3091	0,2981	0,9055	0,6711	0,666	0,7522	100
DE0008R	fluoranthene	precip_tot	27,1796	26,8533	28,0281	39,8766	10,5593	7,2431	13,1679	6,9658	20,1612	18,7315	12,5253	12,5146	17,0927	100
DE0008R	inden_123cd_pyrene	precip_tot	15,6249	8,528	10,8787	13,3839	2,5395	1,9362	1,009	1,7979	2,1738	6,3854	5,5663	5,34	5,9893	100
DE0008R	phenanthrene	precip_tot	31,8966	26,5255	25,2742	45,7764	15,2853	8,993	21,3648	6,6627	38,4357	16,3394	12,4602	9,0785	18,0753	100
DE0008R	pyrene	precip_tot	19,5615	22,7993	22,5308	30,666	7,4294	4,2277	8,0771	6,3613	16,7146	15,5209	8,9639	9,5818	13,3839	100
DE0009R	anthracene	precip_tot	1,5812	0,8795	3,4033	21,791	2,3462	0,9435	1,0375	0,4987	1,4904	0,5827	1,1912	1,4182	1,1379	100
DE0009R	precipitation_amount	precip_tot	45,2804	80,3193	18,9945	3,2483	27,5524	75,067	68,4757	133,687	46,1471	124,6353	54,1688	48,9666	726,5429	100
DE0009R	benz_a_anthracene	precip_tot	1,8727	1,7051	4,4901	9,595	5,0348	1,55	0,8605	0,3987	1,778	0,5358	1,4638	3,7758	1,5395	100
DE0009R	benzo_a_pyrene	precip_tot	1,7458	1,6897	5,4011	13,5547	6,2159	2,2799	0,9697	0,6401	2,8475	0,5315	1,5019	3,6487	1,8078	100
DE0009R	benzo_bjk_fluoranthenes	precip_tot	14,3694	9,8298	30,4198	50,3118	16,5773	6,0217	3,1126	1,8973	8,4831	2,5802	9,4931	17,0654	7,7351	100
DE0009R	benzo_ghi_perylene	precip_tot	3,8596	3,4291	8,7198	18,2355	6,1705	2,751	1,0366	0,7126	3,1641	0,852	3,525	5,6625	2,6678	100
DE0009R	chrysene_triphenylene	precip_tot	7,6856	7,9491	19,3857	28,6894	10,7129	5,7148	2,021	1,1322	4,4707	1,7149	5,0927	10,102	5,0271	100
DE0009R	dibenzo_ah_anthracene	precip_tot	0,4624	0,4659	0,8846	1,475	0,4886	0,2668	0,1887	0,1264	0,4874	0,1397	0,5673	0,9568	0,3589	100
DE0009R	fluoranthene	precip_tot	9,1222	9,0272	28,8791	51,3024	26,4242	10,1574	4,0709	9,209	4,0709	9,209	5,8385	15,7092	8,3465	100
DE0009R	inden_123cd_pyrene	precip_tot	3,5376	2,8406	8,978	18,7171	5,9394	2,1892	0,9707	0,6473	3,1361	1,0344	4,3077	6,8077	2,6716	100

Site	Comp	Matrix	Jan	Febr	Mar	Apr	May	June	July	Aug	Sept	Oct	Nov	Dec	2020	
															Annual	Capture
DE0009R	phenanthrene	precip_tot	13,5572	9,1846	27,9231	67,8962	17,8864	5,0828	7,1828	9,8728	11,0027	2,1062	4,9269	14,1701	8,9734	100
DE0009R	pyrene	precip_tot	6,5527	6,2839	18,6813	32,5778	16,2121	4,3216	4,0548	2,9388	8,6631	1,7427	5,0385	12,8962	5,8154	100
ES0001R	acenaphthene	precip+dry_dep	-	0	-	-	-	0	-	0	-	0	-	-	-	-
ES0001R	acenaphthylene	precip+dry_dep	-	0	-	-	-	0	-	0	-	0	-	-	-	-
ES0001R	anthracene	precip+dry_dep	-	0	-	-	-	0	-	0	-	2,885	-	-	-	-
ES0001R	benz_a_anthracene	precip+dry_dep	-	0	-	-	-	0	-	0	-	0	-	-	-	-
ES0001R	benzo_a_pyrene	precip+dry_dep	-	0	-	-	-	0	-	0	-	2,005	-	-	-	-
ES0001R	benzo_ghi_perylene	precip+dry_dep	-	0	-	-	-	0	-	0	-	0	-	-	-	-
ES0001R	benzo_k_fluoranthene	precip+dry_dep	-	0	-	-	-	0	-	0	-	0	-	-	-	-
ES0001R	chrysene	precip+dry_dep	-	0,01	-	-	-	0	-	0	-	0	-	-	-	-
ES0001R	dibenzo_ah_anthracene	precip+dry_dep	-	0	-	-	-	0	-	0	-	0	-	-	-	-
ES0001R	fluoranthene	precip+dry_dep	-	0,02	-	-	-	0,07	-	0,07	-	0	-	-	-	-
ES0001R	fluorene	precip+dry_dep	-	2	-	-	-	0,18	-	0,18	-	0	-	-	-	-
ES0001R	inden_123cd_pyrene	precip+dry_dep	-	0	-	-	-	0	-	0	-	0	-	-	-	-
ES0001R	naphthalene	precip+dry_dep	-	0,16	-	-	-	0	-	0	-	3,195	-	-	-	-
ES0001R	phenanthrene	precip+dry_dep	-	6	-	-	-	0,16	-	0,16	-	0,825	-	-	-	-
ES0001R	pyrene	precip+dry_dep	-	0,02	-	-	-	0,065	-	0,065	-	0	-	-	-	-
ES0007R	acenaphthene	precip+dry_dep	-	0,03	-	-	-	0	-	0	-	0	-	-	-	-
ES0007R	acenaphthylene	precip+dry_dep	-	0	-	-	-	0	-	0	-	0	-	-	-	-
ES0007R	anthracene	precip+dry_dep	-	0	-	-	-	0	-	0	-	0,16	-	-	-	-
ES0007R	benz_a_anthracene	precip+dry_dep	-	0,04	-	-	-	0,03	-	0	-	0	-	-	-	-
ES0007R	benzo_a_pyrene	precip+dry_dep	-	0	-	-	-	0	-	0	-	0,4	-	-	-	-
ES0007R	benzo_ghi_perylene	precip+dry_dep	-	0	-	-	-	0	-	0,025	-	0	-	-	-	-
ES0007R	benzo_k_fluoranthene	precip+dry_dep	-	0	-	-	-	0	-	0	-	0	-	-	-	-
ES0007R	chrysene	precip+dry_dep	-	0,03	-	-	-	0	-	0	-	0	-	-	-	-
ES0007R	dibenzo_ah_anthracene	precip+dry_dep	-	0	-	-	-	0	-	0	-	0	-	-	-	-
ES0007R	fluoranthene	precip+dry_dep	-	0,03	-	-	-	0,05	-	0,035	-	0	-	-	-	-
ES0007R	fluorene	precip+dry_dep	-	0,36	-	-	-	0,74	-	0,035	-	2,11	-	-	-	-
ES0007R	inden_123cd_pyrene	precip+dry_dep	-	0	-	-	-	0	-	0	-	0	-	-	-	-
ES0007R	naphthalene	precip+dry_dep	-	0,27	-	-	-	0	-	0	-	0,52	-	-	-	-
ES0007R	phenanthrene	precip+dry_dep	-	0,06	-	-	-	0,14	-	0,025	-	0,31	-	-	-	-
ES0007R	pyrene	precip+dry_dep	-	0,04	-	-	-	0,04	-	0,01	-	0	-	-	-	-
ES0008R	acenaphthene	precip+dry_dep	-	0	-	-	-	0,15	-	0	-	0	-	-	-	-
ES0008R	acenaphthylene	precip+dry_dep	-	0	-	-	-	0	-	0	-	0	-	-	-	-
ES0008R	anthracene	precip+dry_dep	-	0,67	-	-	-	0,605	-	0,91	-	0	-	-	-	-
ES0008R	benz_a_anthracene	precip+dry_dep	-	0,09	-	-	-	0	-	0	-	0	-	-	-	-
ES0008R	benzo_a_pyrene	precip+dry_dep	-	0	-	-	-	0	-	0	-	2,485	-	-	-	-
ES0008R	benzo_ghi_perylene	precip+dry_dep	-	0	-	-	-	0	-	0,02	-	0	-	-	-	-
ES0008R	benzo_k_fluoranthene	precip+dry_dep	-	0	-	-	-	0	-	0	-	0	-	-	-	-
ES0008R	chrysene	precip+dry_dep	-	0,2	-	-	-	0	-	0	-	0	-	-	-	-
ES0008R	dibenzo_ah_anthracene	precip+dry_dep	-	0	-	-	-	0	-	0	-	0	-	-	-	-
ES0008R	fluoranthene	precip+dry_dep	-	0,21	-	-	-	0,14	-	0,155	-	0	-	-	-	-
ES0008R	fluorene	precip+dry_dep	-	24,725	-	-	-	20,865	-	7,26	-	22,08	-	-	-	-
ES0008R	inden_123cd_pyrene	precip+dry_dep	-	0	-	-	-	0	-	0	-	0	-	-	-	-
ES0008R	naphthalene	precip+dry_dep	-	88	-	-	-	0	-	0	-	4,985	-	-	-	-
ES0008R	phenanthrene	precip+dry_dep	-	0,395	-	-	-	0,225	-	0,515	-	0	-	-	-	-
ES0008R	pyrene	precip+dry_dep	-	0,18	-	-	-	0,105	-	0,09	-	0	-	-	-	-
ES0012R	acenaphthene	precip+dry_dep	-	0	-	-	-	0	-	0	-	0	-	-	-	-
ES0012R	acenaphthylene	precip+dry_dep	-	0	-	-	-	0,095	-	0,095	-	0	-	-	-	-
ES0012R	anthracene	precip+dry_dep	-	0	-	-	-	0,32	-	0,32	-	0	-	-	-	-
ES0012R	benz_a_anthracene	precip+dry_dep	-	0,01	-	-	-	0	-	0	-	0	-	-	-	-

Site	Comp	Matrix	Jan	Febr	Mar	Apr	May	June	July	Aug	Sept	Oct	Nov	Dec	2020	
															Annual	Capture
ES0012R	benzo_a_pyrene	precip+dry_dep	-	0	-	-	-	0	-	0	-	0	-	-	-	-
ES0012R	benzo_ghi_perylene	precip+dry_dep	-	0	-	-	-	0,015	-	0,015	-	0	-	-	-	-
ES0012R	benzo_k_fluoranthene	precip+dry_dep	-	0	-	-	-	0	-	0	-	0	-	-	-	-
ES0012R	chrysene	precip+dry_dep	-	0,015	-	-	-	0	-	0	-	0	-	-	-	-
ES0012R	dibenzo_ah_anthracene	precip+dry_dep	-	0	-	-	-	0	-	0	-	0	-	-	-	-
ES0012R	fluoranthene	precip+dry_dep	-	0,075	-	-	-	0	-	0	-	0	-	-	-	-
ES0012R	fluorene	precip+dry_dep	-	0,37	-	-	-	4,95	-	4,95	-	0,81	-	-	-	-
ES0012R	inden_123cd_pyrene	precip+dry_dep	-	0	-	-	-	0	-	0	-	0	-	-	-	-
ES0012R	naphthalene	precip+dry_dep	-	0,105	-	-	-	0,015	-	0,015	-	0,315	-	-	-	-
ES0012R	phenanthrene	precip+dry_dep	-	0,05	-	-	-	0,09	-	0,09	-	0	-	-	-	-
ES0012R	pyrene	precip+dry_dep	-	0,02	-	-	-	0	-	0	-	0	-	-	-	-
ES0014R	acenaphthene	precip+dry_dep	-	1,425	-	-	-	0,445	-	0	-	7,065	-	-	-	-
ES0014R	acenaphthylene	precip+dry_dep	-	0	-	-	-	0,08	-	0	-	0	-	-	-	-
ES0014R	anthracene	precip+dry_dep	-	1,45	-	-	-	2,1	-	0	-	0,655	-	-	-	-
ES0014R	benz_a_anthracene	precip+dry_dep	-	0	-	-	-	0,045	-	0	-	0	-	-	-	-
ES0014R	benzo_a_pyrene	precip+dry_dep	-	0	-	-	-	0	-	0	-	0,11	-	-	-	-
ES0014R	benzo_ghi_perylene	precip+dry_dep	-	0	-	-	-	0	-	0,02	-	0	-	-	-	-
ES0014R	benzo_k_fluoranthene	precip+dry_dep	-	0	-	-	-	0	-	0	-	0	-	-	-	-
ES0014R	chrysene	precip+dry_dep	-	0,01	-	-	-	0,11	-	0	-	0	-	-	-	-
ES0014R	dibenzo_ah_anthracene	precip+dry_dep	-	0	-	-	-	0	-	0	-	0	-	-	-	-
ES0014R	fluoranthene	precip+dry_dep	-	0,04	-	-	-	0,135	-	0,03	-	0	-	-	-	-
ES0014R	fluorene	precip+dry_dep	-	27,235	-	-	-	6,49	-	0,06	-	7,55	-	-	-	-
ES0014R	inden_123cd_pyrene	precip+dry_dep	-	0	-	-	-	0	-	0	-	0	-	-	-	-
ES0014R	naphthalene	precip+dry_dep	-	0	-	-	-	0	-	0	-	0,37	-	-	-	-
ES0014R	phenanthrene	precip+dry_dep	-	0	-	-	-	0,71	-	0,095	-	0,34	-	-	-	-
ES0014R	pyrene	precip+dry_dep	-	0	-	-	-	0,08	-	0	-	0	-	-	-	-
FI0018R	acenaphthene	precip+dry_dep	20,4302	12,5459	7,579	6,3581	2,297	2,1759	2,2165	2,1764	2,3797	2,4948	2,9845	2,99	5,7697	92
FI0018R	acenaphthylene	precip+dry_dep	5,8269	6,4228	2,8064	0,4846	0,823	1,2433	0,2182	0,203	0,2218	1,328	2,8342	2,851	2,0222	92
FI0018R	anthracene	precip+dry_dep	6,1794	8,3139	1,626	2,5271	0,3557	0,3211	0,3269	0,3211	0,3507	1,0751	1,8306	1,839	2,0845	92
FI0018R	benz_a_anthracene	precip+dry_dep	31,9791	37,3903	14,3343	2,2529	1,7134	0,7478	0,6242	1,1898	1,5945	11,5835	19,7979	19,889	11,114	92
FI0018R	benzo_a_pyrene	precip+dry_dep	31,616	31,5958	16,1084	3,3564	3,034	10,2094	0,724	1,7626	2,7322	15,165	21,1137	21,179	12,4246	92
FI0018R	benzo_bjk_fluoranthenes	precip+dry_dep	121,9147	124,6117	45,0266	10,6545	5,8669	5,0269	2,0958	5,4937	5,5745	53,6603	82,5898	82,909	41,7869	92
FI0018R	benzo_ghi_perylene	precip+dry_dep	49,2757	54,81	49,4748	4,4967	3,8416	1,88	1,0785	2,5717	3,7687	22,5352	31,3542	31,451	20,3889	92
FI0018R	chrysene_triphenylene	precip+dry_dep	71,8089	92,4719	36,0015	11,3421	5,9724	4,8391	4,1662	5,7814	5,8999	33,4634	47,8715	48,03	28,8348	92
FI0018R	dibenzo_ac_ah_anthracenes	precip+dry_dep	5,461	5,4791	2,0058	0,5588	0,4856	0,4059	0,1161	0,299	0,3643	2,8213	3,7934	3,804	1,9702	92
FI0018R	fluoranthene	precip+dry_dep	95,4772	138,6437	64,1146	15,6583	11,2511	6,5118	4,7308	7,1238	7,6237	49,4316	65,0239	65,194	41,9968	92
FI0018R	fluorene	precip+dry_dep	4,5841	9,5693	3,6905	3,1998	2,5015	2,409	2,4525	2,4095	2,6335	2,7616	3,3029	3,309	3,5647	92
FI0018R	inden_123cd_pyrene	precip+dry_dep	38,697	35,4543	12,1747	3,0309	1,7785	1,3141	0,8737	2,2173	1,8879	21,7936	30,8279	30,927	13,5802	92
FI0018R	naphthalene	precip+dry_dep	11,0141	9,2976	4,1517	3,6144	2,8255	2,7211	2,7714	2,7215	2,9751	3,1195	3,7311	3,738	4,4339	92
FI0018R	phenanthrene	precip+dry_dep	39,8408	71,8822	28,7045	8,5887	6,5527	6,3095	6,4257	6,3113	6,8984	7,2334	21,6154	21,777	18,9105	92
FI0018R	pyrene	precip+dry_dep	90,1902	108,5509	72,0453	30,5765	19,258	14,6781	9,5789	12,9953	10,009	45,6136	63,8949	64,096	43,1935	92
FI0036R	BDE_100	precip+dry_dep	0,01	0,01	0,01	0,01	0,01	0,01	0,01	0,01	0,01	0,01	0,0128	0,094	0,0165	99
FI0036R	BDE_47	precip+dry_dep	0,01	0,01	0,01	0,01	0,01	0,01	0,01	0,01	0,01	0,01	0,0117	0,062	0,014	99
FI0036R	BDE_99	precip+dry_dep	0,01	0,01	0,01	0,01	0,01	0,01	0,01	0,01	0,01	0,01	0,01	0,01	0,01	99
FI0036R	HCB	precip+dry_dep	0,084	0,1138	0,0809	0,0473	0,01	0,0258	0,045	0,0236	0,0283	0,04	0,0573	0,083	0,0527	99
FI0036R	PCB_101	precip+dry_dep	0,03	0,03	0,03	0,03	0,03	0,03	0,03	0,03	0,03	0,03	0,03	0,03	0,03	99
FI0036R	PCB_118	precip+dry_dep	0,02	0,02	0,02	0,02	0,02	0,02	0,02	0,02	0,02	0,02	0,02	0,02	0,02	99
FI0036R	PCB_138	precip+dry_dep	0,02	0,02	0,02	0,02	0,02	0,02	0,02	0,02	0,02	0,02	0,02	0,02	0,02	99
FI0036R	PCB_153	precip+dry_dep	0,02	0,02	0,02	0,02	0,02	0,02	0,02	0,02	0,02	0,02	0,02	0,02	0,02	99
FI0036R	PCB_180	precip+dry_dep	0,02	0,02	0,02	0,02	0,02	0,02	0,02	0,02	0,02	0,02	0,02	0,02	0,02	99
FI0036R	PCB_28	precip+dry_dep	0,03	0,03	0,03	0,03	0,03	0,03	0,03	0,03	0,03	0,03	0,03	0,03	0,03	99

Site	Comp	Matrix	Jan	Febr	Mar	Apr	May	June	July	Aug	Sept	Oct	Nov	Dec	2020		
															Annual	Capture	
FI0036R	PCB_52	precip+dry_dep	0,03	0,03	0,03	0,03	0,03	0,03	0,03	0,03	0,03	0,03	0,03	0,03	0,03	0,03	99
FI0036R	alpha_HCH	precip+dry_dep	0,01	0,01	0,0114	0,0291	0,01	0,0409	0,055	0,021	0,0116	0,026	0,0348	0,01	0,0226	99	
FI0036R	anthracene	precip+dry_dep	0,36	5,2666	0,8171	0,056	0,03	0,052	0,09	0,034	0,83	0,83	0,83	-	0,8138	76	
FI0036R	benz_a_anthracene	precip+dry_dep	1,48	6,5634	1,2465	0,2	0,2	0,216	0,44	0,2177	0,27	-	1,2883	6	1,592	89	
FI0036R	benzo_a_pyrene	precip+dry_dep	1,22	3,8176	1,2487	0,32	0,19	0,1717	0,59	0,1858	1,085	4,91	1,407	7,62	1,836	99	
FI0036R	benzo_b_fluoranthene	precip+dry_dep	3,11	4,5997	2,21	0,744	0,38	0,3367	1,08	0,3216	1,178	1,97	2,884	17,07	2,8447	99	
FI0036R	benzo_ghi_perylene	precip+dry_dep	1,67	2,3683	1,1677	0,4047	0,24	0,22	0,48	0,23	0,582	0,69	1,4	10,79	1,594	99	
FI0036R	benzo_k_fluoranthene	precip+dry_dep	1,19	2,1024	0,9087	0,28	0,15	0,1327	0,43	0,1335	0,537	1,05	1,1153	6,37	1,1454	99	
FI0036R	chrysene	precip+dry_dep	3,12	7,8497	2,4155	0,6493	0,32	0,3597	1,05	0,2994	1,572	6,54	3,4737	13,67	3,3272	99	
FI0036R	dibenzo_ah_anthracene	precip+dry_dep	0,42	0,5224	0,3261	0,1	0,1	0,1013	0,12	0,1023	0,203	0,86	0,4003	2,47	0,4579	99	
FI0036R	fluoranthene	precip+dry_dep	9,18	27,6517	6,5342	2,2047	1,13	1,058	2,21	0,7442	2,528	3,59	7,589	29,76	7,5465	99	
FI0036R	gamma_HCH	precip+dry_dep	0,01	0,0277	0,0147	0,049	0,01	0,0325	0,05	0,0325	0,0112	0,022	0,0395	0,044	0,0284	99	
FI0036R	inden_123cd_pyrene	precip+dry_dep	2,09	2,0807	1,6561	0,556	0,4	0,4147	0,62	0,4281	0,868	1,21	1,818	13,01	1,9885	99	
FI0036R	phenanthrene	precip+dry_dep	9,18	33,48	7,9329	2,9907	1,5	1,555	2,73	1,1852	3,461	7,61	8,4833	24,01	8,4204	99	
FI0036R	pp_DDD	precip+dry_dep	0,038	0,0287	0,0133	0,0308	0,01	0,01	0,01	0,0443	0,01	0,01	0,01	0,01	0,0188	99	
FI0036R	pp_DDE	precip+dry_dep	-	-	-	-	-	0,016	0,016	0,0158	0,01	0,01	0,01	0,01	0,0121	50	
FI0036R	pp_DDT	precip+dry_dep	0,01	0,01	0,01	0,01	0,01	0,01	0,01	0,0136	0,0129	0,039	0,016	0,16	0,0247	99	
FI0036R	pyrene	precip+dry_dep	6,29	18,3097	4,3206	1,394	0,64	0,6353	1,38	0,5135	2,348	8,36	5,4283	23,45	5,87	99	
FI0050R	acenaphthene	precip+dry_dep	9,9803	4,5779	5,2223	4,4221	1,8795	0,964	3,1115	0,8192	5,1253	1,0736	4,9559	5	3,8264	92	
FI0050R	acenaphthylene	precip+dry_dep	2,667	1,4689	0,6141	0,4586	0,4293	0,5042	0,4348	0,4202	0,4368	1,4718	0,4427	0,431	0,8504	92	
FI0050R	anthracene	precip+dry_dep	3,8044	1,3527	1,324	0,7673	1,3822	0,406	1,2962	0,8955	1,4121	2,248	0,5324	0,513	1,4087	92	
FI0050R	benz_a_anthracene	precip+dry_dep	8,7889	4,7494	3,417	1,0455	0,6916	0,5594	1,0952	0,6885	1,2724	3,8619	3,1127	3,104	2,6639	92	
FI0050R	benzo_a_pyrene	precip+dry_dep	7,8035	3,5101	2,8477	0,9156	0,9286	0,4237	1,3202	0,5168	1,4554	12,7563	2,9377	2,826	3,2388	92	
FI0050R	benzo_bk_fluoranthenes	precip+dry_dep	30,216	13,5944	8,989	4,0589	3,0157	1,8737	2,6237	2,7171	4,8807	26,5705	11,4861	11,314	10,0351	92	
FI0050R	benzo_ghi_perylene	precip+dry_dep	11,4969	6,0906	10,3055	1,4441	1,4479	0,6282	1,2066	0,939	2,1741	10,2326	3,7528	3,679	4,5397	92	
FI0050R	chrysene_triphenylene	precip+dry_dep	20,3991	12,7538	8,3578	3,6405	3,8571	2,2333	3,9116	3,0703	4,0262	13,055	8,0741	8,017	7,5863	92	
FI0050R	dibenzo_ac_ah_anthracenes	precip+dry_dep	1,4119	0,5775	0,1357	0,1547	0,1253	0,0775	0,1542	0,1065	0,2019	1,4959	0,6111	0,601	0,4611	92	
FI0050R	fluoranthene	precip+dry_dep	34,8805	24,0941	18,4935	7,2902	8,4659	5,2493	8,9138	4,3095	8,1572	104,8742	21,4887	20,54	22,5125	92	
FI0050R	fluorene	precip+dry_dep	11,3923	5,2618	2,8663	2,1527	2,0184	2,369	2,0406	1,9747	2,0501	5,6014	2,0662	2,026	3,6236	92	
FI0050R	inden_123cd_pyrene	precip+dry_dep	8,8892	4,2637	2,6915	1,2698	0,9533	0,5782	0,9994	0,6726	1,115	10,9323	4,1583	4,081	3,3338	92	
FI0050R	naphthalene	precip+dry_dep	13,0703	2,6937	3,9589	3,0118	2,8229	3,3135	2,8541	2,7619	2,8678	3,5733	2,8433	2,835	3,9973	92	
FI0050R	phenanthrene	precip+dry_dep	53,458	32,305	31,3141	13,0808	28,4695	8,433	25,3239	11,2896	20,6966	44,5064	22,2727	22,02	26,5523	92	
FI0050R	pyrene	precip+dry_dep	28,0295	17,7613	13,0302	6,3989	11,0655	4,4539	7,228	3,6591	6,5194	26,9582	13,1872	13,03	12,6003	92	
FR0008R	benz_a_anthracene	precip	1,693	0,605	-	-	1,121	0,8336	0,8985	1,2156	0,9747	1,0542	1,4513	0,5802	0,9361	86	
FR0008R	precipitation_amount	precip	101,025	300,1644	168,6544	1,9835	44,8188	100,372	70,3956	67,4055	155,1571	181,5629	66,4761	172,1413	1430,157	86	
FR0008R	benzo_a_pyrene	precip	3,2015	1,441	-	-	2,402	1,6899	1,9575	2,5601	1,6629	2,8857	3,0662	0,9749	1,9937	86	
FR0008R	benzo_bk_fluoranthene	precip	6,9373	2,983	-	-	2,85	2,3176	2,8579	3,457	2,6274	4,9697	6,8551	3,1745	3,7492	86	
FR0008R	benzo_k_fluoranthene	precip	2,759	1,108	-	-	1,345	1,1954	1,374	1,4807	1,0185	1,8755	2,3665	0,9534	1,4422	86	
FR0008R	dibenzo_ah_anthracene	precip	1,2044	0,464	-	-	0,608	0,4107	0,3906	0,3555	0,4579	0,7616	0,9264	0,263	0,5553	86	
FR0008R	inden_123cd_pyrene	precip	5,4499	2,277	-	-	2,434	2,0435	2,1503	2,309	1,7517	3,7878	4,8951	2,2223	2,8075	86	
FR0009R	benz_a_anthracene	precip	2,2216	1,289	-	-	5,231	3,3059	3,7811	4,1552	2,1963	2,1744	6,834	3,8461	2,8198	86	
FR0009R	precipitation_amount	precip	127,4578	199,6057	140,8686	1,7041	12,8955	45,7311	47,493	29,1936	140,6557	161,6473	49,7903	198,9335	1155,976	86	
FR0009R	benzo_a_pyrene	precip	3,2316	1,801	-	-	19,7	9,2576	9,2921	10,6528	3,7953	4,4044	9,814	5,5829	5,0461	86	
FR0009R	benzo_b_fluoranthene	precip	12,1697	4,953	-	-	29,382	14,8641	12,1118	13,4114	6,9297	7,1293	23,5026	18,7658	11,5784	86	
FR0009R	benzo_k_fluoranthene	precip	4,2939	1,972	-	-	11,464	6,0432	5,13	5,4333	2,7435	2,7674	7,8639	6,0094	4,1776	86	
FR0009R	dibenzo_ah_anthracene	precip	1,9007	0,683	-	-	5,565	2,9288	2,2011	2,1403	1,5638	1,3374	3,4005	2,7795	1,9097	86	
FR0009R	inden_123cd_pyrene	precip	8,046	3,214	-	-	13,69	9,2994	10,1293	9,8007	5,2821	6,0761	17,4154	13,8173	8,3723	86	
FR0013R	benz_a_anthracene	precip	0,9828	0,457	-	-	0,251	0,3566	2,515	0,409	0,2267	0,3151	1,5176	0,5888	0,47	99	
FR0013R	precipitation_amount	precip	38,3229	15,1647	0	0	51,5371	65,8337	8,9972	36,4015	146,7657	122,9959	22,646	173,5729	682,2376	74	
FR0013R	benzo_a_pyrene	precip	1,345	0,9135	-	-	0,724	1,0422	7,545	0,75	0,3606	0,6529	3,1984	1,014	0,9194	99	
FR0013R	benzo_b_fluoranthene	precip	4,1811	0,9135	-	-	1,337	1,8611	12,574	1,5	0,7212	1,3533	5,866	3,915	2,3257	99	

Site	Comp	Matrix	Jan	Febr	Mar	Apr	May	June	July	Aug	Sept	Oct	Nov	Dec	2020	
															Annual	Capture
FR0013R	benzo_k_fluoranthene	precip	1,2625	0,9135	-	-	0,501	0,6955	4,67	0,341	0,2393	0,4861	2,0177	1,2688	0,7879	99
FR0013R	dibenzo_ah_anthracene	precip	0,4881	0,9135	-	-	0,139	0,2163	1,7965	0,341	0,1161	0,1432	0,7529	0,3498	0,2785	99
FR0013R	inden_123cd_pyrene	precip	3,0672	0,9135	-	-	1,337	2,012	15,808	0,818	0,4891	1,0431	6,5667	2,0835	1,7176	99
FR0023R	benz_a_anthracene	precip	1,148	0,926	-	-	0,664	0,737	0,957	0,202	0,4182	0,478	1,392	1,5602	0,8137	76
FR0023R	precipitation_amount	precip	39,3328	30,0509	77,7328	0	36,4052	60,053	16,7817	81,7682	136,5365	100,1169	40,9842	114,7623	734,5245	84
FR0023R	benzo_a_pyrene	precip	1,2292	0,926	-	-	4,297	4,1275	3,617	1,04	0,9366	0,908	2,97	2,0674	1,961	76
FR0023R	benzo_b_fluoranthene	precip	3,3266	3,889	-	-	2,461	3,2002	5,426	1,415	1,5043	1,529	4,362	3,0445	2,5255	76
FR0023R	benzo_k_fluoranthene	precip	0,5778	0,926	-	-	0,781	0,9047	1,277	0,578	0,5561	0,55	1,299	1,0323	0,785	76
FR0023R	dibenzo_ah_anthracene	precip	0,5258	0,926	-	-	0,1955	0,2794	0,532	0,1445	0,3493	0,406	0,464	0,1411	0,3018	76
FR0023R	inden_123cd_pyrene	precip	2,5519	3,148	-	-	3,672	3,9766	4,894	1,069	1,1865	1,219	4,64	3,1852	2,5026	76
FR0025R	benz_a_anthracene	precip	1,4345	0,706	-	-	1,693	1,4097	1,6954	2,4779	0,8067	0,9192	2,4689	1,0347	1,2329	91
FR0025R	precipitation_amount	precip	42,5432	57,4458	36,7421	0	21,122	53,7875	32,5041	29,5507	86,561	76,0372	18,7366	86,7009	541,7311	82
FR0025R	benzo_a_pyrene	precip	1,6747	0,647	-	-	3,251	2,8738	3,7665	4,844	1,6146	1,3871	2,5862	1,8798	2,1168	91
FR0025R	benzo_b_fluoranthene	precip	3,2636	1,353	-	-	8,195	5,4605	5,4902	7,3043	2,5712	3,0512	9,0013	6,0103	4,4633	91
FR0025R	benzo_k_fluoranthene	precip	1,1684	0,294	-	-	2,709	1,4523	1,3864	2,9273	0,9455	1,1811	2,8919	1,9537	1,4669	91
FR0025R	dibenzo_ah_anthracene	precip	0,4402	0,294	-	-	0,948	0,605	0,5444	0,6036	0,523	0,3207	0,9101	0,5165	0,5097	91
FR0025R	inden_123cd_pyrene	precip	2,5267	1,647	-	-	4,538	3,6715	4,4795	4,739	2,0705	2,4423	6,2853	4,4966	3,3083	91
FR0028R	benz_a_anthracene	precip	0,497	0,123	-	-	0,64	0,6559	2,0076	0,5809	0,3384	0,6576	1,6353	0,6597	0,6323	91
FR0028R	precipitation_amount	precip	150,4542	155,3306	100,7673	0	42,2378	75,2814	34,119	129,985	188,7606	158,7696	91,8884	244,7576	1372,352	84
FR0028R	benzo_a_pyrene	precip	0,7929	0,245	-	-	1,516	1,6025	3,3813	0,7214	0,4699	1,1671	2,4666	0,7418	0,981	91
FR0028R	benzo_b_fluoranthene	precip	2,2889	0,653	-	-	2,526	2,3673	4,4348	1,3594	0,9976	2,6508	5,8737	2,3216	2,2062	91
FR0028R	benzo_k_fluoranthene	precip	0,8955	0,265	-	-	1,112	0,8778	1,3178	0,451	0,3519	1,0296	2,1412	0,7529	0,7971	91
FR0028R	dibenzo_ah_anthracene	precip	0,4542	0,102	-	-	0,1685	0,2228	0,5185	0,1373	0,226	0,3869	0,9092	0,213	0,3045	91
FR0028R	inden_123cd_pyrene	precip	1,5632	0,47	-	-	1,65	1,6745	2,0786	1,0892	0,8026	2,1328	4,8405	1,2623	1,5579	91
GB0048R	benz_a_anthracene	wetdep	7,7312	7,5106	5,0484	9	7,8871	7,3524	8,4681	6,7384	5,2802	5	5	5,9494	6,7473	100
GB0048R	benzo_a_pyrene	wetdep	3,9104	4	4,629	7,85	7,7742	4	6,1277	5,4767	6,8792	4,8324	4	4,9494	5,3749	100
GB0048R	benzo_b_fluoranthene	wetdep	8,0841	7,6165	7,0758	11,1333	10,8468	6,4467	9,4085	9,0444	8,2599	7,0538	5,5494	9,7673	8,3609	100
GB0048R	benzo_e_pyrene	wetdep	7,8208	7,7553	6,8387	10,5667	9,7742	6,9016	9,5958	8,4767	7	6,2081	4,2299	7,7977	7,7531	100
GB0048R	benzo_ghi_perylene	wetdep	7,8208	7,7553	6,4194	9,4167	10,7742	7,4508	11,1915	10,2151	8,7198	8,2081	6,2299	10,7471	8,7514	100
GB0048R	benzo_k_fluoranthene	wetdep	3,9928	4,7553	3,629	6,5667	9,4839	8,3935	5,0638	6	4,5604	4	4	4	5,374	100
GB0048R	chrysene	wetdep	9,776	9,7553	9,2581	14	11,0323	7,8032	10	7,4767	6	5,2081	4,1149	10,646	8,751	100
GB0048R	cyclopenta_cd_pyrene	wetdep	5,6935	4,633	2,2097	2,7167	2	3,3524	3,9362	3	3	2,2081	2,8851	3	3,2153	100
GB0048R	dibenzo_ae_pyrene	wetdep	1,2529	1,0122	1,121	1,5683	1,9435	1	1,4787	1,2692	0,9	1,0584	0,6575	1,4545	1,2287	100
GB0048R	dibenzo_ah_anthracene	wetdep	0,8715	0,9768	0,9547	1,755	1,7545	0,9936	1,2936	0,8783	0,2527	0,9674	0,4034	0,9646	1,0075	100
GB0048R	dibenzo_ah_pyrene	wetdep	0,9145	0,9	0,9	0,9	0,9	0,9	0,9	0,7738	0,7	0,7	0,7	0,7	0,8244	100
GB0048R	dibenzo_ai_pyrene	wetdep	1,1866	1,4511	1,6661	3,9983	3,2387	1,1	0,8872	3,0341	2,3126	3,0046	2,6919	1,4607	2,1723	100
GB0048R	inden_123cd_pyrene	wetdep	4,7832	4	4,4194	6,5667	6,5161	4,4508	6,0638	4,4767	4,4396	5,7919	3,3448	5,8483	5,0648	100
GB1055R	benz_a_anthracene	wetdep	20	20	-	10	11,4946	13,5465	41,6815	27,0958	6,8759	8,6863	2	6,7485	15,2647	77
GB1055R	benzo_a_pyrene	wetdep	11	11	-	12	13,4946	14,1861	24,2162	16,6314	21,0986	13,4641	7	6,0503	14,1399	77
GB1055R	benzo_b_fluoranthene	wetdep	13	13	-	15	17,2419	18,2792	32,5276	22,4106	25,1431	16,0697	8,1	9,3346	18,0303	77
GB1055R	benzo_e_pyrene	wetdep	12	12	-	12	13,8683	17,4535	34,9964	22,7638	22,0986	13,6706	7	7,9497	16,8337	77
GB1055R	benzo_ghi_perylene	wetdep	12	12	-	14	15,4946	16,1861	27,2784	19,3646	23,8176	15,6399	7	7,9497	16,1105	77
GB1055R	benzo_k_fluoranthene	wetdep	7	7	-	8	9,4946	10,6396	19,0916	12,7984	15,5037	9,6535	5	4,0503	10,3575	77
GB1055R	chrysene	wetdep	16	16	-	14	18,1102	22,2792	31,7473	19,5642	21,0986	12,7165	9	12,7988	18,079	77
GB1055R	cyclopenta_cd_pyrene	wetdep	3	3	-	2	2,3737	3,4535	7,1868	4,2994	3,8759	5,046	8	4,2012	4,5386	77
GB1055R	dibenzo_ae_pyrene	wetdep	1,8	1,8	-	2,2	2,5737	3,2	4,8465	2,943	3,5164	1,9546	0,9	0,995	2,5316	77
GB1055R	dibenzo_ah_anthracene	wetdep	1,8	1,8	-	2,3	2,5616	3,4988	6,3839	3,4911	2,5553	0,9323	0,63	0,4496	2,4937	77
GB1055R	dibenzo_ah_pyrene	wetdep	0,9	0,9	-	0,9	1,9089	2,3756	0,9	0,7733	0,9876	0,8986	0,65	0,6975	1,1169	77
GB1055R	dibenzo_ai_pyrene	wetdep	2,1	1,9803	1,1	1,6	4,5892	5,8815	1,2672	1,1817	2,638	1,7076	2,3	1,5402	2,4168	84
GB1055R	inden_123cd_pyrene	wetdep	8	8	-	9	10,121	11,0931	21,685	14,2648	16,9417	10,8753	7	6,0503	11,7695	77
IS0091R	BDE_100	precip	0,0015	0,0026	0,0118	0,004	0,0025	0,004	0,005	0,002	0,002	0,0039	0,0021	0,009	0,0033	100

Site	Comp	Matrix	Jan	Febr	Mar	Apr	May	June	July	Aug	Sept	Oct	Nov	Dec	2020	
															Annual	Capture
IS0091R	precipitation_amount	precip	93,7112	67,7933	27,1786	38,3505	63,6864	40,6841	80,6078	82,1872	152,5297	39,7653	82,2541	42,2519	811	100
IS0091R	BDE_47	precip	0,016	0,0241	0,0543	0,0257	0,0159	0,0096	0,025	0,013	0,0091	0,0217	0,0142	0,04	0,0187	100
IS0091R	BDE_99	precip	0,015	0,0211	0,0511	0,0169	0,012	0,0093	0,018	0,0081	0,007	0,0159	0,0133	0,041	0,0156	100
IS0091R	HCB	precip	0,01	0,015	0,0258	0,0178	0,0089	0,0034	0,03	0,0117	0,0231	0,0523	0,0083	0,044	0,0192	100
IS0091R	PCB_101	precip	0,008	0,0016	0,0035	0,0025	0,0015	0,0028	0,012	0,0018	0,0051	0,0247	0,0032	0,0235	0,0066	100
IS0091R	PCB_105	precip	0,004	0,0016	0,0035	0,0025	0,0015	0,0026	0,004	0,0015	0,002	0,0024	0,001	0,0025	0,0024	100
IS0091R	PCB_118	precip	0,013	0,0062	0,0108	0,0026	0,005	0,0065	0,007	0,0031	0,004	0,0097	0,0031	0,015	0,0066	100
IS0091R	PCB_138	precip	0,047	0,0078	0,0167	0,005	0,0051	0,0123	0,007	0,0051	0,006	0,0068	0,0011	0,015	0,0115	100
IS0091R	PCB_153	precip	0,038	0,0096	0,0166	0,0025	0,004	0,0027	0,008	0,0078	0,004	0,0068	0,0031	0,013	0,01	100
IS0091R	PCB_156	precip	0,006	0,0016	0,0035	0,0025	0,0015	0,0024	0,001	0,0015	0,0005	0,0024	0,001	0,0025	0,002	100
IS0091R	PCB_180	precip	0,034	0,0085	0,0138	0,006	0,005	0,0026	0,005	0,0049	0,003	0,0026	0,004	0,008	0,0084	100
IS0091R	PCB_28	precip	0,007	0,0177	0,0094	0,0064	0,004	0,0099	0,104	0,0143	0,0683	0,136	0,01	0,116	0,0421	100
IS0091R	PCB_31	precip	0,0025	0,0128	0,0094	0,0064	0,004	0,0084	0,063	0,0054	0,0472	0,0935	0,0037	0,083	0,0277	100
IS0091R	PCB_52	precip	0,005	0,0079	0,0079	0,0025	0,0015	0,0031	0,021	0,0049	0,0221	0,0443	0,0013	0,035	0,0128	100
IS0091R	alpha_HCH	precip	0,033	0,0458	0,0571	0,0614	0,0381	0,0463	0,026	0,0518	0,0312	0,0671	0,0443	0,072	0,043	100
IS0091R	beta_HCH	precip	0,007	0,0078	0,0109	0,0089	0,006	0,0081	0,01	0,0071	0,008	0,0145	0,0031	0,011	0,008	100
IS0091R	cis_CD	precip	0,001	0,0039	0,0035	0,0049	0,0015	0,0025	0,003	0,0015	0,002	0,005	0,004	0,006	0,0028	100
IS0091R	dieldrin	precip	0,024	0,0318	0,0223	0,0345	0,015	0,0139	0,012	0,0284	0,02	0,0287	0,0222	0,045	0,0235	100
IS0091R	gamma_HCH	precip	0,018	0,0317	0,026	0,0248	0,0181	0,0241	0,027	0,0146	0,0251	0,0361	0,0131	0,027	0,0228	100
IS0091R	op_DDT	precip	0,001	0,0015	0,0035	0,0025	0,0015	0,0024	0,001	0,0015	0,0005	0,0024	0,001	0,0025	0,0014	100
IS0091R	pp_DDD	precip	0,001	0,0015	0,0035	0,0025	0,0015	0,0026	0,004	0,0048	0,0005	0,0024	0,001	0,0025	0,0021	100
IS0091R	pp_DDE	precip	0,004	0,005	0,0088	0,0025	0,0015	0,0025	0,003	0,0048	0,0005	0,0024	0,001	0,006	0,003	100
IS0091R	pp_DDT	precip	0,0055	0,0075	0,0074	0,0054	0,003	0,0051	0,007	0,0051	0,008	0,0049	0,0026	0,017	0,0064	100
IS0091R	trans_CD	precip	0,003	0,004	0,0035	0,0025	0,0015	0,0025	0,003	0,0015	0,002	0,0068	0,0011	0,009	0,0029	100
IS0091R	trans_NO	precip	0,003	0,004	0,0079	0,0059	0,0015	0,0026	0,005	0,0039	0,001	0,0026	0,004	0,006	0,0034	100
LV0010R	benz_a_anthracene	precip	3,9523	16,2363	6,5102	-	-	0,85	0,85	0,85	1,3212	2,4971	7,664	14,3	4,6354	80
LV0010R	precipitation_amount_off	precip	115,6762	83,6238	65,4095	8,6762	16,4905	79,2429	85,9905	92,3857	67	87,481	92,3333	57,3	851,6095	100
LV0010R	benzo_a_pyrene	precip	2,502	17,1244	5,485	-	-	0,8132	0,9782	0,5	0,5	2,7116	6,9942	10,1	4,3291	76
LV0010R	benzo_b_fluoranthene	precip	6,4154	29,4337	12,5031	-	-	9,2248	2,5412	0,8	0,8	18,853	14,9442	27,7	10,9051	79
LV0010R	benzo_k_fluoranthene	precip	2,5025	15,0572	5,3654	-	-	4,8951	2,2637	1	1	2,9076	6,1047	10,8	4,6841	79
LV0010R	dibenzo_ah_anthracene	precip	1,4	1,4	1,4	-	-	2,409	3,1419	1,4	1,4	1,4	1,4	1,4	1,7199	76
LV0010R	inden_123cd_pyrene	precip	3,909	25,2263	8,9246	-	-	11,6749	3,2406	1,55	1,55	5,8416	12,4646	16,8	8,4422	79
NL0091R	gamma_HCH	precip	0,3275	0,2	0,2021	0,6256	0,6864	0,5627	0,2209	0,3981	0,1727	0,1615	0,2846	0,51	0,3031	100
NL0091R	precipitation_amount	precip	43,8528	82,3554	57,6269	10,0628	14,7223	51,0723	73,701	128,841	69,9722	118,0521	51,9204	56,7573	758,9369	98
NL0091R	acenaphthene	precip	1,2987	0,9897	1,0296	5,2165	4,3442	1,137	0,7603	0,6838	1,2215	0,8237	2,2981	4,32	1,4015	100
NL0091R	acenaphthylene	precip	1,0967	0,8533	0,8634	1,4743	1,1676	0,5882	0,597	0,647	0,9382	1,1318	1,9691	2,11	1,0262	100
NL0091R	anthracene	precip	0,946	0,7922	0,8471	2,8503	2,1237	0,6264	0,4225	0,5102	0,7267	1,0634	0,9814	1,08	0,834	100
NL0091R	benz_a_anthracene	precip	1,434	1,553	1,3831	3,3195	2,6891	1,3829	1,2316	1,2562	2,2018	1,3177	1,7585	2,47	1,5915	100
NL0091R	benzo_a_pyrene	precip	5,1137	3,5928	3,3516	9,7389	9,2861	2,2541	1,8027	2,1528	3,2289	1,4997	1,9873	2,72	2,8117	100
NL0091R	benzo_bjk_fluoranthenes	precip	6,3533	6,9354	6,3035	16,2032	13,0776	5,433	6,5133	9,5083	8,6475	5,3459	9,2745	12,17	7,8526	100
NL0091R	benzo_ghi_perylene	precip	2,9785	3,1104	2,7205	5,5758	5,4742	2,6273	2,1727	2,8218	4,173	2,4833	3,7997	6,35	3,269	100
NL0091R	chrysene	precip	4,3588	5,6148	5,6148	10,751	8,5241	4,0002	3,49	4,4083	6,0831	4,4353	6,8092	11,79	5,5512	100
NL0091R	dibenzo_ah_anthracene	precip	0,5225	0,5654	0,4735	1,1677	0,9858	0,4319	0,3608	0,5626	0,6796	0,479	1,2194	3,03	0,7689	100
NL0091R	fluoranthene	precip	7,5841	10,0951	9,2288	18,3079	13,9044	6,4939	5,2518	6,3396	9,6433	7,2064	10,0537	17	8,7393	100
NL0091R	fluorene	precip	1,685	2,0529	1,7994	3,0769	2,707	1,6323	1,4838	1,2659	1,7522	1,7714	2,7344	4,08	1,9482	100
NL0091R	inden_123cd_pyrene	precip	1,9925	1,9872	1,6759	4,6411	3,7449	2,0593	1,8703	2,4778	3,4505	2,0531	5,003	11,9	3,2027	100
NL0091R	naphthalene	precip	2,3185	2,1044	2,493	11,4272	7,5002	4,4391	3,7993	2,6147	5,5323	3,6366	7,3597	9,29	4,2342	100
NL0091R	phenanthrene	precip	5,2263	7,3227	7,0702	15,3087	13,3441	6,4549	5,0347	4,8062	7,7689	7,2034	11,1542	18,65	7,8291	100
NL0091R	pyrene	precip	4,3038	5,8614	5,497	12,5811	9,726	4,2671	3,3931	4,4587	6,9287	4,5648	6,8878	11,77	5,7315	100
NO0001R	HCB	precip	0,466	0,0629	0,0496	0,1252	0,0676	0,0797	0,0547	0,0684	0,0723	0,0367	0,0755	0,0548	0,0884	97
NO0001R	precipitation_amount	precip	185,6226	319,9536	138,3018	41,6524	68,247	154,616	186,372	103,324	120,5703	263,7713	194,3301	319,0146	2095,777	87

Site	Comp	Matrix	Jan	Febr	Mar	Apr	May	June	July	Aug	Sept	Oct	Nov	Dec	2020	
															Annual	Capture
NO0001R	PCB_101	precip	0,0295	0,0049	0,0072	0,0192	0,01	0,0093	0,0082	0,0105	0,0111	0,0059	0,0072	0,0079	0,0093	96
NO0001R	PCB_118	precip	0,0216	0,0037	0,0062	0,0123	0,0054	0,0049	0,0044	0,0056	0,0061	0,0032	0,0042	0,0057	0,006	96
NO0001R	PCB_138	precip	0,0241	0,0046	0,0088	0,0155	0,0081	0,0076	0,0067	0,0085	0,009	0,005	0,0084	0,0112	0,0089	96
NO0001R	PCB_153	precip	0,0399	0,0067	0,0111	0,0259	0,0136	0,0125	0,0111	0,0141	0,0149	0,0078	0,0107	0,0128	0,0131	96
NO0001R	PCB_180	precip	0,0135	0,0025	0,0047	0,0057	0,003	0,0031	0,0026	0,0031	0,0034	0,002	0,0056	0,0094	0,0049	96
NO0001R	PCB_28	precip	0,0191	0,0032	0,0041	0,0117	0,0061	0,0056	0,005	0,0064	0,0068	0,0034	0,0036	0,0037	0,0055	96
NO0001R	PCB_52	precip	0,0186	0,004	0,0042	0,011	0,0057	0,0053	0,0047	0,006	0,0063	0,0032	0,0037	0,0041	0,0055	96
NO0001R	PCB_99	precip	0,0065	0,0013	0,0017	0,004	0,0021	0,002	0,0017	0,0023	0,0026	0,0013	0,0015	0,0019	0,0021	96
NO0001R	alpha_HCH	precip	0,1241	0,0455	0,0483	0,0598	0,0649	0,0877	0,0592	0,0592	0,1064	0,1147	0,0818	0,0772	0,0784	97
NO0001R	gamma_HCH	precip	0,3907	0,1158	0,1263	0,1173	0,2389	0,1112	0,1534	0,2234	0,2427	0,177	0,2186	0,1398	0,1772	96
PL0005R	benz_a_anthracene	precip	38,2	37,9292	7,9542	7,8268	2,6	3,1699	1,6866	3,3759	6,4606	3,2	19,9738	58,2	13,5136	100
PL0005R	precipitation_amount	precip	50,3971	33,4336	31,7036	25,2629	66,2514	70,0643	73,45	46,5929	30,0471	57,3943	33,905	36,5464	555,0486	99
PL0005R	benzo_a_pyrene	precip	43,6	51,6345	17,2562	13,9459	2,5	7,2458	3,1665	7,3597	12,849	1,6	18,7242	49,5	16,2033	100
PL0005R	benzo_b_fluoranthene	precip	71,5	85,8537	28,0554	16,6	3,5	7,6314	3,0037	4,1414	13,8969	3,3	27,4102	83,3	24,4004	100
PL0005R	benzo_k_fluoranthene	precip	26,2	29,2693	10,1325	7,0576	1,5	3,0554	1,2622	1,8798	5,1791	2	10,5946	31,3	9,1267	90
PL0005R	dibenzo_ah_anthracene	precip	9,4	8,9486	3,264	1,4909	0,3	0,6639	0,2	2	1,7042	0,4	3,4585	6,7	2,8535	96
PL0005R	inden_123cd_pyrene	precip	57,6	59,1347	27,7026	14,4722	2,1	5,7964	1,8793	1,8168	6,7757	2,7	30,6306	78,6	20,1089	100
SE0014R	BDE_100	precip+dry_dep	0,017	0,0552	0,0446	0,0241	0,064	0,02	0,02	0,02	0,02	0,02	0,0219	0,02	0,0288	100
SE0014R	BDE_209	precip+dry_dep	0,791	1,2183	1,5003	0,6439	1,066	0,81	0,6	0,7062	1,0544	0,725	0,9461	2,933	1,0845	100
SE0014R	BDE_47	precip+dry_dep	0,177	0,0532	0,0325	0,0333	0,035	0,0844	0,02	0,0276	0,0331	0,034	0,0236	0,113	0,0557	100
SE0014R	BDE_99	precip+dry_dep	0,026	0,0325	0,0309	0,0305	0,047	0,02	0,02	0,02	0,02	0,02	0,0208	0,043	0,0276	100
SE0014R	HCB	precip+dry_dep	0,069	0,0569	0,0552	0,044	0,044	0,045	0,045	0,0435	0,0561	0,057	0,0464	0,076	0,0532	100
SE0014R	PCB_101	precip+dry_dep	0,04	0,0493	0,0487	0,0327	0,05	0,058	0,03	0,0484	0,04	0,04	0,0403	0,05	0,0439	100
SE0014R	PCB_118	precip+dry_dep	0,04	0,0307	0,039	0,0327	0,05	0,0393	0,03	0,039	0,031	0,04	0,0313	0,06	0,0387	100
SE0014R	PCB_138	precip+dry_dep	0,06	0,0786	0,1239	0,0667	0,11	0,1267	0,08	0,1258	0,101	0,11	0,0757	0,2	0,1051	100
SE0014R	PCB_153	precip+dry_dep	0,05	0,05	0,0952	0,0553	0,09	0,1087	0,09	0,1081	0,089	0,08	0,054	0,14	0,0845	100
SE0014R	PCB_180	precip+dry_dep	0,03	0,0486	0,0939	0,0353	0,07	0,098	0,07	0,1068	0,089	0,08	0,054	0,1	0,0765	100
SE0014R	PCB_28	precip+dry_dep	0,03	0,03	0,03	0,0313	0,04	0,0307	0,04	0,0403	0,05	0,05	0,04	0,03	0,0369	100
SE0014R	PCB_52	precip+dry_dep	0,04	0,04	0,04	0,0413	0,05	0,058	0,03	0,03	0,03	0,03	0,03	0,03	0,0374	100
SE0014R	alpha_HCH	precip+dry_dep	0,033	0,0246	0,0228	0,0217	0,033	0,0704	0,02	0,02	0,026	0,08	0,0226	0,038	0,0344	100
SE0014R	anthracene	precip+dry_dep	0,47	0,4793	0,4548	0,2393	0,3	0,228	0,2	0,1823	0,477	0,36	0,568	4,64	0,7216	100
SE0014R	benz_a_anthracene	precip+dry_dep	2,22	2,0803	3,1177	1,4033	1,62	1,442	0,77	0,8481	2,314	1,99	2,8433	21,71	3,5545	100
SE0014R	benzo_a_pyrene	precip+dry_dep	2,77	2,1928	2,2861	1,736	1,71	1,5933	0,8	0,9668	3,047	1,94	4,0723	30,63	4,5116	100
SE0014R	benzo_b_fluoranthene	precip+dry_dep	5,89	4,7355	4,5545	3,03	3,03	2,4913	1,25	1,8106	4,559	3,92	9,078	71,86	9,7646	100
SE0014R	benzo_ghi_perylene	precip+dry_dep	3,2	2,1666	2,5913	1,8333	1,53	1,7067	0,82	1,0729	2,176	1,78	5,3517	35,85	5,0465	100
SE0014R	benzo_k_fluoranthene	precip+dry_dep	2,3	1,8531	1,7542	1,2213	1,23	1,1093	0,54	0,7352	2,058	1,59	3,632	28,69	3,9245	100
SE0014R	chrysene	precip+dry_dep	6,53	5,7107	4,6319	2,7273	2,58	6,6	1,28	1,4577	4,021	4,3	8,5153	67,76	9,7439	100
SE0014R	dibenzo_ah_anthracene	precip+dry_dep	0,79	0,6131	0,4665	0,3487	0,34	0,308	0,14	0,1897	0,555	0,51	1,316	10,41	1,3438	100
SE0014R	fluoranthene	precip+dry_dep	16,45	15,5376	11,6106	6,822	6,38	5,6647	3,21	3,5635	8,485	10,24	14,4453	100	16,9622	100
SE0014R	gamma_HCH	precip+dry_dep	0,146	0,1227	0,0833	0,1413	0,156	0,1417	0,123	0,0584	0,1514	0,281	0,1088	0,099	0,1344	100
SE0014R	inden_123cd_pyrene	precip+dry_dep	4,26	3,4221	2,7471	1,9693	1,9	1,6513	0,83	1,1139	3,165	2,94	7,4753	54,16	7,1955	100
SE0014R	phenanthrene	precip+dry_dep	14,86	12,9886	11,0016	6,552	7,15	6,4087	5,13	5,031	8,747	10,97	11,37	61,61	13,5446	100
SE0014R	pp_DDD	precip+dry_dep	0,078	0,0221	0,0307	0,0441	0,025	0,0248	0,092	0,1139	0,0902	0,02	0,0199	0,017	0,0483	100
SE0014R	pp_DDE	precip+dry_dep	0,043	0,0532	0,0657	0,0936	0,078	0,0459	0,044	0,0479	0,1048	0,076	0,0653	0,174	0,0744	100
SE0014R	pp_DDT	precip+dry_dep	0,024	0,0203	0,0234	0,0171	0,018	0,0315	0,024	0,0324	0,0569	0,029	0,0228	0,096	0,033	100
SE0014R	pyrene	precip+dry_dep	10,08	9,5493	8,2087	5,0013	4,88	4,3067	2,44	2,6606	6,5	6,68	10,1117	75,47	12,2337	100
SE0020R	anthracene	precip+dry_dep	1,5258	1,7655	1,1052	0,798	0,59	0,298	0,55	0,4897	0,647	0,71	4,647	7,1	1,6262	99
SE0020R	benz_a_anthracene	precip+dry_dep	6,9177	5,5172	3,6065	2,74	3	1,4867	2,7	3,7903	2,96	3,5	23,65	34	7,5471	99
SE0020R	benzo_a_pyrene	precip+dry_dep	7,4016	6,8897	4,6258	3,8267	4	2,08	3,2	6,3	4,16	4,7	34,9567	50	10,601	99
SE0020R	benzo_b_fluoranthene	precip+dry_dep	14,3306	10,931	7,3677	5,1267	5,3	2,92	4,6	7,9742	5,81	7,7	79,0567	110	20,8283	99
SE0020R	benzo_ghi_perylene	precip+dry_dep	8,0097	4,3552	3,4226	3,1	1,8	1,7533	2,5	5,429	3,84	5,1	46,7367	67	12,1887	99

Site	Comp	Matrix	Jan	Febr	Mar	Apr	May	June	July	Aug	Sept	Oct	Nov	Dec	2020	
															Annual	Capture
SE0020R	benzo_k_fluoranthene	precip+dry_dep	6,3774	5,0586	3,3903	2,4267	2,6	1,4533	2,2	3,8387	2,68	3,4	29,9467	41	8,3561	99
SE0020R	chrysene	precip+dry_dep	18,6774	14	7,9935	5,06	6,1	2,96	5,2	6,8645	4,1	8,6	65,92	93	19,1014	99
SE0020R	fluoranthene	precip+dry_dep	42,3661	37	21,8387	12,2667	14	6,7067	11	15,5161	11,8	19	103,1667	150	35,8468	99
SE0020R	inden_123cd_pyrene	precip+dry_dep	10,9871	8,9379	5,4065	3,7267	3,9	2,1667	3,1	6,1194	4,55	6,8	60,8267	82	15,8481	99
SE0020R	phenanthrene	precip+dry_dep	33,3016	31,069	17,7548	8,14	11	4,72	9,2	8,5226	6	15	55,9333	81	22,8452	99
SE0020R	pyrene	precip+dry_dep	28,2661	24	15,8323	9,6133	11	5	9,2	11,6258	6,7	13	81,4333	120	27,0029	99
SE0022R	BDE_100	precip+dry_dep	0,01	0,01	0,01	0,01	0,01	0,01	0,01	0,01	0,0175	0,039	0,0297	0,01	0,0147	99
SE0022R	BDE_47	precip+dry_dep	0,01	0,01	0,01	0,01	0,01	0,0613	0,01	0,01	0,01	0,01	0,01	0,01	0,0142	99
SE0022R	BDE_99	precip+dry_dep	0,01	0,01	0,01	0,01	0,01	0,0102	0,017	0,0107	0,0137	0,01	0,01	0,017	0,0115	99
SE0022R	HCB	precip+dry_dep	0,0339	0,047	0,0745	0,0608	0,068	0,155	0,046	0,0415	0,0383	0,042	0,0299	0,052	0,0574	99
SE0022R	PCB_101	precip+dry_dep	0,03	0,03	0,021	0,03	0,03	0,03	0,03	0,03	0,03	0,03	0,03	0,03	0,0292	99
SE0022R	PCB_118	precip+dry_dep	0,02	0,02	0,02	0,02	0,02	0,02	0,02	0,02	0,02	0,02	0,02	0,02	0,02	99
SE0022R	PCB_138	precip+dry_dep	0,02	0,02	0,0213	0,056	0,02	0,02	0,02	0,02	0,02	0,02	0,02	0,02	0,0231	99
SE0022R	PCB_153	precip+dry_dep	0,02	0,02	0,021	0,047	0,02	0,02	0,02	0,02	0,02	0,02	0,02	0,02	0,0223	99
SE0022R	PCB_180	precip+dry_dep	0,02	0,02	0,0203	0,029	0,02	0,02	0,02	0,02	0,02	0,02	0,02	0,02	0,0208	99
SE0022R	PCB_28	precip+dry_dep	0,03	0,03	0,0481	0,03	0,03	0,03	0,03	0,03	0,03	0,03	0,03	0,03	0,0315	99
SE0022R	PCB_52	precip+dry_dep	0,03	0,03	0,0481	0,03	0,03	0,03	0,03	0,03	0,03	0,03	0,03	0,03	0,0315	99
SE0022R	alpha_HCH	precip+dry_dep	0,01	0,01	0,0101	0,0161	0,035	0,0713	0,031	0,012	0,01	0,01	0,01	0,01	0,0197	99
SE0022R	anthracene	precip+dry_dep	0,3884	0,58	0,3703	0,493	0,25	0,2257	0,64	0,4955	0,4813	0,78	0,8267	4,6	0,8184	99
SE0022R	benz_a_anthracene	precip+dry_dep	1,5548	2,6	1,3903	1,45	1	0,991	0,73	0,6306	2,7467	3,4	4,3333	20	3,2807	99
SE0022R	benzo_a_pyrene	precip+dry_dep	2,3903	3	1,7	1,82	1,1	1,3627	0,58	0,7787	4,4533	5,2	7,16	33	5,0113	99
SE0022R	benzo_b_fluoranthene	precip+dry_dep	3,9516	7	3,7387	3,69	1,8	2,2353	0,86	1,4381	6,2667	10	13,7333	70	9,962	99
SE0022R	benzo_ghi_perylene	precip+dry_dep	1,9194	3,4	2,4548	2,03	1,4	1,5627	0,68	0,7884	4,2933	7	8,96	46	6,4284	99
SE0022R	benzo_k_fluoranthene	precip+dry_dep	1,6548	2,7	1,4903	1,519	0,79	0,9723	0,38	0,5877	2,8933	4,2	5,6933	28	4,0684	99
SE0022R	chrysene	precip+dry_dep	5,9935	10	4,1387	7,45	7	5,2133	1	1,5419	5,3867	8	9,8667	64	10,4061	99
SE0022R	dibenzo_ah_anthracene	precip+dry_dep	0,6658	0,84	0,4648	0,394	0,25	0,273	0,1	0,1632	0,8693	1,7	2,4467	11	1,5303	99
SE0022R	fluoranthene	precip+dry_dep	8,0677	20	11,4871	7,8	5,1	4,8267	2,5	3,4935	10,1067	13	14,8667	89	15,2978	99
SE0022R	gamma_HCH	precip+dry_dep	0,0148	0,047	0,036	0,0472	0,103	0,1301	0,104	0,0435	0,082	0,054	0,0223	0,01	0,0581	99
SE0022R	inden_123cd_pyrene	precip+dry_dep	3,2194	4,7	2,7323	2,39	1,4	1,562	0,66	0,9671	5,0133	9,4	12,76	58	8,2143	99
SE0022R	phenanthrene	precip+dry_dep	6,7226	17	10,3355	6,37	6,1	4,94	4,9	3,1839	5,9867	10	10	55	11,3785	99
SE0022R	pp_DDD	precip+dry_dep	0,0096	0,014	0,0292	0,0659	0,065	0,0939	0,035	0,0124	0,0186	0,013	0,0102	0,016	0,032	99
SE0022R	pp_DDE	precip+dry_dep	0,0299	0,043	0,0371	0,1278	0,027	0,04	0,024	0,0204	0,0783	0,04	0,0213	0,071	0,0462	99
SE0022R	pp_DDT	precip+dry_dep	0,01	0,01	0,0122	0,0755	0,062	0,025	0,015	0,0186	0,0462	0,021	0,0107	0,03	0,028	99
SE0022R	pyrene	precip+dry_dep	5,4258	11	6,6742	5,48	3,5	3,3533	1,9	2,5323	7,6667	10	11,8667	73	11,4187	99
SI0008R	benz_a_anthracene	precip+dry_dep	11,4083	10,6903	23,4308	7,905	3,2785	-	-	-	2,4549	10,1867	14,7352	47,6932	15,6631	69
SI0008R	benzo_a_pyrene	precip+dry_dep	12,6209	16,3332	33,6447	9,0493	2,2977	-	-	-	3,9673	12,4988	20,6343	57,8449	20,1291	69
SI0008R	benzo_bjk_fluoranthenes	precip+dry_dep	50,9529	71,4266	122,1211	41,6063	18,7487	-	-	-	27,0792	49,0653	91,1441	283,454	89,343	69
SI0008R	dibenzo_ah_anthracene	precip+dry_dep	5,2072	7,9445	12,6801	5,6592	2,2637	-	-	-	4,8089	6,2318	7,586	21,5685	8,65	69
SI0008R	inden_123cd_pyrene	precip+dry_dep	13,3605	21,6647	44,8941	9,3786	1,7725	-	-	-	5,7554	14,9255	30,8682	111,7837	30,4586	69

Appendix H

Monthly and annual mean values for POPs in air

Site	Comp	Matrix	Jan	Febr	Mar	Apr	May	June	July	Aug	Sept	Oct	Nov	Dec	2020	
															Annual	Capt.
BE0013R	benz_a_anthracene	pm10	0,1588	0,0226	0,0321	0,0223	0,0078	0,0105	0,0095	0,0103	0,0086	0,0151	0,0698	0,0336	0,034	32
BE0013R	benzo_a_pyrene	pm10	0,1727	0,032	0,0581	0,0356	0,0109	0,0156	0,0115	0,0129	0,0159	0,024	0,1429	0,0626	0,0505	32
BE0013R	benzo_ghi_perylene	pm10	0,1632	0,0518	0,0951	0,0583	0,0131	0,0251	0,0169	0,0207	0,0211	0,0446	0,2451	0,1483	0,077	32
BE0013R	chrysene	pm10	0,317	0,0573	0,1268	0,0719	0,0222	0,0259	0,0239	0,0183	0,0292	0,0452	0,18	0,1161	0,0875	32
BE0013R	fluoranthene	pm10	0,2731	0,0362	0,1598	0,0835	0,034	0,0345	0,0209	0,0188	0,0355	0,0523	0,1053	0,0637	0,0768	32
BE0013R	inden_123cd_pyrene	pm10	0,1458	0,0434	0,0706	0,0449	0,0106	0,0223	0,0134	0,0095	0,0156	0,0412	0,2285	0,1179	0,0651	32
BE0013R	pyrene	pm10	0,2105	0,0271	0,1322	0,0587	0,0195	0,0224	0,0156	0,0154	0,0271	0,041	0,1243	0,0656	0,0637	32
CZ0003R	HCB	air+pm10	56,077	50,732	67,341	75,42	74,501	65,390	58,998	67,317	88,044	63,756	58,621	72,521	66,381	14
CZ0003R	PCB_101	air+pm10	0,4876	0,4012	0,7077	0,6598	0,7373	1,148	1,668	1,56	1,7167	0,7298	0,5658	0,498	0,8959	14
CZ0003R	PCB_118	air+pm10	0,1644	0,1113	0,2282	0,2114	0,198	0,201	0,3808	0,4197	0,3972	0,1352	0,1175	0,099	0,2201	14
CZ0003R	PCB_138	air+pm10	0,4834	0,363	0,6105	0,6656	0,7103	1,067	1,5986	1,5325	1,5593	0,6613	0,5132	0,519	0,8496	14
CZ0003R	PCB_153	air+pm10	0,2684	0,1885	0,325	0,3562	0,3488	0,3745	0,8706	0,816	0,8506	0,381	0,2888	0,2874	0,444	14
CZ0003R	PCB_180	air+pm10	0,1768	0,049	0,135	0,2452	0,2268	0,1938	0,5326	0,4735	0,4486	0,1672	0,1797	0,187	0,2525	14
CZ0003R	PCB_28	air+pm10	1,0694	0,8335	1,4205	1,733	2,01	3,1225	2,078	2,3425	3,5573	1,4139	1,295	1,3094	1,8153	14
CZ0003R	PCB_52	air+pm10	0,7836	0,707	1,1402	1,1724	1,2625	2,2655	2,3936	2,5635	2,464	0,9176	0,7615	0,736	1,4109	14
CZ0003R	acenaphthene	air+pm10	0,4096	0,2307	0,2577	0,1256	0,1335	0,0893	0,0522	0,0345	0,0386	0,1015	0,1982	0,3198	0,1709	14
CZ0003R	acenaphthylene	air+pm10	0,8492	0,2268	0,3682	0,1882	0,1323	0,0413	0,0136	0,0195	0,0281	0,2479	0,4005	0,991	0,3101	14
CZ0003R	alpha_HCH	air+pm10	1,67	1,56	2,4875	2,526	2,825	5,1775	3,874	5,2725	4,544	3,0353	2,1975	2,084	3,0537	14
CZ0003R	anthracene	air+pm10	0,2028	0,06	0,1222	0,0538	0,0362	0,0168	0,0174	0,0248	0,0125	0,0716	0,0782	0,2132	0,0796	14
CZ0003R	benz_a_anthracene	air+pm10	0,5478	0,1673	0,3168	0,2396	0,0912	0,0275	0,0082	0,0203	0,0291	0,1044	0,1785	0,5102	0,1978	14
CZ0003R	benzo_a_pyrene	air+pm10	0,5332	0,197	0,4008	0,2984	0,121	0,0306	0,0102	0,027	0,0582	0,1992	0,3032	0,7056	0,2523	14
CZ0003R	benzo_b_fluoranthene	air+pm10	0,7662	0,226	0,5365	0,3952	0,1245	0,046	0,024	0,0492	0,075	0,2185	0,386	0,9346	0,3324	14
CZ0003R	benzo_ghi_perylene	air+pm10	0,4312	0,1605	0,3558	0,2494	0,1363	0,0467	0,019	0,0345	0,068	0,1958	0,2933	0,6268	0,2274	14
CZ0003R	benzo_k_fluoranthene	air+pm10	0,2908	0,098	0,227	0,1682	0,063	0,0185	0,0062	0,0145	0,0298	0,0916	0,1557	0,3814	0,1354	14
CZ0003R	delta_HCH	air+pm10	0,05	0,05	0,0982	0,1066	0,079	0,1495	0,1648	0,214	0,2395	0,1151	0,0643	0,0698	0,1147	14
CZ0003R	dibenzo_ah_anthracene	air+pm10	0,0372	0,0152	0,0323	0,0246	0,0143	0,0043	0,0004	0,0033	0,0049	0,0168	0,0233	0,0522	0,0199	14
CZ0003R	fluoranthene	air+pm10	2,162	0,868	1,5127	0,987	0,5948	0,301	0,1622	0,1952	0,2822	0,7475	1,2265	2,2566	0,9782	14
CZ0003R	fluorene	air+pm10	2,4584	0,89	1,3905	0,9132	0,892	0,5985	0,2856	0,3205	0,4301	0,7861	1,659	2,5204	1,1316	14
CZ0003R	gamma_HCH	air+pm10	2,2418	2,3478	4,9425	4,048	5,015	4,72	7,7114	6,8775	7,5787	3,08	2,82	2,2388	4,4154	14
CZ0003R	inden_123cd_pyrene	air+pm10	0,5654	0,1935	0,4202	0,295	0,1722	0,0558	0,025	0,0485	0,0839	0,2493	0,3742	0,7932	0,2851	14
CZ0003R	naphthalene	air+pm10	2,6854	1,5028	1,5462	1,1446	0,5917	0,3008	0,0936	0,1	0,1013	0,5379	1,4225	2,4432	1,0838	14
CZ0003R	pentachlorobenzene	air+pm10	24,303	23,592	20,035	19,705	14,032	12,265	6,6256	6,5058	8,0253	12,528	18,4678	20,904	15,781	14
CZ0003R	phenanthrene	air+pm10	5,263	1,9257	3,1938	1,8364	1,6003	0,9782	0,5662	0,5555	0,7433	1,9618	3,5842	5,5814	2,3983	14
CZ0003R	pp_DDD	air+pm10	0,1628	0,0927	0,213	0,3052	0,4037	0,4955	0,4726	0,6217	0,2825	0,1891	0,204	0,2516	0,3067	14
CZ0003R	pp_DDE	air+pm10	5,6058	4,4775	8,721	6,8598	7,525	10,68	7,9492	12,725	16,308	11,174	8,383	12,002	9,2458	14
CZ0003R	pp_DDT	air+pm10	1,0258	0,8605	1,6897	2,0328	1,9325	3	2,4648	3,5445	3,1964	1,6356	1,218	1,3882	1,9707	14
CZ0003R	pyrene	air+pm10	1,6016	0,6038	1,0745	0,6936	0,3802	0,178	0,0852	0,1143	0,1669	0,5149	0,7918	1,5578	0,6745	14
DE0001R	anthracene	air+pm10	0,0271	0,0152	0,0159	0,0137	0,0187	0,0084	0,0347	0,0564	0,0624	0,0161	0,0406	0,092	0,0336	100

Site	Comp	Matrix	Jan	Febr	Mar	Apr	May	June	July	Aug	Sept	Oct	Nov	Dec	2020	
															Annual	Capt.
DE0001R	benz_a_anthracene	air+pm10	0,0144	0,0054	0,0061	0,0022	0,0024	0,0041	0,0046	0,0051	0,0163	0,0253	0,0256	0,1628	0,0231	100
DE0001R	benzo_a_pyrene	air+pm10	0,0056	0,0059	0,0067	0,0025	0,0026	0,005	0,0016	0,0067	0,0217	0,022	0,0224	0,145	0,0208	100
DE0001R	benzo_bjk_fluoranthene	air+pm10	0,0492	0,0236	0,0278	0,0107	0,0119	0,0217	0,0072	0,0234	0,0728	0,0994	0,1128	0,5267	0,083	100
DE0001R	benzo_ghi_perylene	air+pm10	0,0196	0,0098	0,0103	0,0037	0,0046	0,0079	0,0052	0,0087	0,0297	0,0441	0,0464	0,2002	0,0328	100
DE0001R	chrysene_triphenylene	air+pm10	0,0372	0,0169	0,0241	0,0114	0,0125	0,0202	0,0093	0,0232	0,0503	0,0625	0,0698	0,3115	0,0545	100
DE0001R	dibenzo_ah_anthracene	air+pm10	0,0021	0,001	0,0011	0,0006	0,0008	0,0013	0,0002	0,0006	0,0025	0,0072	0,0075	0,0388	0,0054	100
DE0001R	fluoranthene	air+pm10	0,2577	0,1487	0,15	0,1232	0,2347	0,2076	0,1567	1,2819	0,8328	0,4136	0,3362	1,3083	0,4576	100
DE0001R	inden_123cd_pyrene	air+pm10	0,0215	0,0096	0,0104	0,0038	0,0047	0,0077	0,0032	0,0097	0,0331	0,043	0,0475	0,2022	0,0333	100
DE0001R	phenanthrene	air+pm10	0,0271	0,0152	0,0159	0,0137	0,0187	0,0084	0,0347	0,0564	0,0624	0,0161	0,0406	0,092	0,0336	100
DE0001R	pyrene	air+pm10	0,137	0,1152	0,1235	0,1324	0,2166	0,1419	0,259	0,5105	0,3082	0,1833	0,1961	0,7759	0,2601	100
DE0002R	anthracene	air+pm10	0,0201	0,0167	0,0186	0,0197	0,0096	0,0797	0,0075	0,0074	0,0145	0,0235	0,0519	0,2203	0,041	100
DE0002R	benz_a_anthracene	air+pm10	0,0364	0,0579	0,0709	0,0777	0,0135	0,0062	0,0039	0,0059	0,0262	0,0906	0,1286	0,7157	0,1036	100
DE0002R	benzo_a_pyrene	air+pm10	0,0217	0,0451	0,0633	0,1081	0,0177	0,004	0,0045	0,0095	0,0343	0,1017	0,1795	0,8663	0,1223	100
DE0002R	benzo_bjk_fluoranthene	air+pm10	0,1263	0,1558	0,2109	0,2871	0,0611	0,017	0,0156	0,0312	0,1111	0,2829	0,4996	2,3965	0,3523	100
DE0002R	benzo_ghi_perylene	air+pm10	0,0589	0,0742	0,0784	0,1022	0,0221	0,0078	0,007	0,0122	0,0416	0,1	0,1796	0,7204	0,1177	100
DE0002R	chrysene_triphenylene	air+pm10	0,1248	0,1289	0,1245	0,2159	0,0409	0,0178	0,0129	0,0224	0,0742	0,1576	0,2437	1,2712	0,2041	100
DE0002R	dibenzo_ah_anthracene	air+pm10	0,0072	0,0092	0,0089	0,0195	0,0042	0,001	0,0007	0,0013	0,0051	0,0254	0,0446	0,1954	0,0271	100
DE0002R	fluoranthene	air+pm10	0,5765	0,4765	0,5836	0,6784	0,2076	0,5439	0,1809	0,2395	0,34	0,636	0,8821	3,2769	0,7214	100
DE0002R	inden_123cd_pyrene	air+pm10	0,0639	0,0751	0,0941	0,1179	0,0239	0,0059	0,0079	0,0136	0,0503	0,1284	0,243	0,9605	0,1497	100
DE0002R	phenanthrene	air+pm10	0,0201	0,0167	0,0186	0,0197	0,0096	0,0797	0,0075	0,0074	0,0145	0,0235	0,0519	0,2203	0,041	100
DE0002R	pyrene	air+pm10	0,2839	0,2939	0,349	0,4026	0,1481	0,4685	0,1162	0,1802	0,206	0,4145	0,5837	2,4106	0,4903	100
DE0003R	anthracene	air+pm10	0,0143	0,0211	0,013	0,0152	0,0052	0,0151	0,016	0,0209	0,0199	0,0232	0,0177	0,0184	0,0166	100
DE0003R	benz_a_anthracene	air+pm10	0,0091	0,0086	0,0294	0,0098	0,0076	0,0042	0,0021	0,0028	0,004	0,0092	0,0077	0,0126	0,0089	100
DE0003R	benzo_a_pyrene	air+pm10	0,0139	0,0106	0,0338	0,0167	0,0119	0,0062	0,0048	0,0067	0,0077	0,0101	0,0113	0,016	0,0125	100
DE0003R	benzo_bjk_fluoranthene	air+pm10	0,0587	0,042	0,1082	0,0523	0,0395	0,0193	0,0121	0,0176	0,0199	0,0418	0,0504	0,0803	0,0453	100
DE0003R	benzo_ghi_perylene	air+pm10	0,0262	0,0182	0,0419	0,0177	0,0151	0,0083	0,0052	0,0072	0,0089	0,0178	0,021	0,0339	0,0185	100
DE0003R	chrysene_triphenylene	air+pm10	0,0369	0,0252	0,0613	0,0323	0,0246	0,0138	0,0095	0,0129	0,0135	0,0252	0,0279	0,0486	0,0277	100
DE0003R	dibenzo_ah_anthracene	air+pm10	0,0021	0,0016	0,0043	0,0028	0,0021	0,0012	0,0004	0,0004	0,0006	0,0022	0,0029	0,0044	0,0021	100
DE0003R	fluoranthene	air+pm10	0,2543	0,2176	0,2913	0,1986	0,1418	0,1295	0,1345	0,1805	0,1606	0,1911	0,1784	0,2618	0,1951	100
DE0003R	inden_123cd_pyrene	air+pm10	0,0257	0,0175	0,0485	0,0192	0,0155	0,0085	0,0051	0,0074	0,0087	0,0193	0,0227	0,0368	0,0196	100
DE0003R	phenanthrene	air+pm10	0,0143	0,0211	0,013	0,0152	0,0052	0,0151	0,016	0,0209	0,0199	0,0232	0,0177	0,0184	0,0166	100
DE0003R	pyrene	air+pm10	0,1525	0,1342	0,1787	0,1097	0,082	0,0586	0,0628	0,0815	0,0795	0,122	0,096	0,1465	0,1087	100
DE0008R	anthracene	air+pm10	0,5712	0,8687	0,295	0,1156	0,2054	0,0439	0,2619	0,043	0,195	0,2214	0,5508	0,3464	0,3062	100
DE0008R	benz_a_anthracene	air+pm10	0,1427	0,2549	0,1797	0,0418	0,0632	0,0077	0,0834	0,0142	0,0715	0,0879	0,1457	0,1784	0,1051	100
DE0008R	benzo_a_pyrene	air+pm10	0,0895	0,1892	0,1405	0,0654	0,0532	0,005	0,0547	0,015	0,0596	0,0573	0,1046	0,1827	0,0841	100
DE0008R	benzo_bjk_fluoranthene	air+pm10	0,318	0,4864	0,4045	0,17	0,1445	0,0268	0,2006	0,0525	0,1761	0,1948	0,3228	0,4734	0,2464	100
DE0008R	benzo_ghi_perylene	air+pm10	0,123	0,2105	0,1478	0,0665	0,0524	0,0089	0,075	0,0175	0,0557	0,0842	0,1383	0,2194	0,0994	100
DE0008R	chrysene_triphenylene	air+pm10	0,233	0,3466	0,2748	0,1422	0,1209	0,0252	0,1862	0,0393	0,1362	0,1347	0,2294	0,3088	0,1806	100

Site	Comp	Matrix	Jan	Febr	Mar	Apr	May	June	July	Aug	Sept	Oct	Nov	Dec	2020	
															Annual	Capt.
DE0008R	dibenzo_ah_anthracene	air+pm10	0,015	0,0234	0,0157	0,0113	0,0094	0,0012	0,0061	0,0015	0,0059	0,0155	0,021	0,0309	0,013	100
DE0008R	fluoranthene	air+pm10	1,626	2,191	1,3991	0,6768	0,5778	0,2404	0,9607	0,2422	0,5967	0,7606	1,1968	1,524	0,993	100
DE0008R	inden_123cd_pyrene	air+pm10	0,1309	0,2136	0,1688	0,0734	0,0589	0,0095	0,0796	0,0193	0,0673	0,0879	0,1411	0,2127	0,1047	100
DE0008R	phenanthrene	air+pm10	0,5712	0,8687	0,295	0,1156	0,2054	0,0439	0,2619	0,043	0,195	0,2214	0,5508	0,3464	0,3062	100
DE0008R	pyrene	air+pm10	1,1818	1,8358	1,0198	0,4636	0,4526	0,1996	0,9115	0,1912	0,4953	0,6091	1,0224	1,1661	0,7899	100
DE0009R	anthracene	air+pm10	0,0135	0,0211	0,0528	0,0445	0,0228	0,0164	0,0359	0,0224	0,0135	0,0002	0,0459	0,297	0,0492	100
DE0009R	benz_a_anthracene	air+pm10	0,0207	0,0342	0,0382	0,1223	0,0075	0,0033	0,0066	0,0044	0,0117	0,0466	0,0499	1,3492	0,143	100
DE0009R	benzo_a_pyrene	air+pm10	0,0172	0,035	0,0387	0,1341	0,0055	0,0041	0,0059	0,009	0,0127	0,0496	0,0471	1,1541	0,1275	100
DE0009R	benzo_bjk_fluoranthene	air+pm10	0,1074	0,1403	0,1482	0,3499	0,0367	0,0184	0,0324	0,0275	0,0602	0,159	0,1836	3,4226	0,3948	100
DE0009R	benzo_ghi_perylene	air+pm10	0,039	0,059	0,0586	0,1232	0,012	0,0079	0,0144	0,0104	0,0167	0,0814	0,0902	1,0664	0,1329	100
DE0009R	chrysene_triphenylene	air+pm10	0,0627	0,0867	0,0967	0,2525	0,0294	0,0198	0,0202	0,0199	0,0604	0,1021	0,1155	1,9178	0,2343	100
DE0009R	dibenzo_ah_anthracene	air+pm10	0,0048	0,007	0,006	0,0226	0,0017	0,0009	0,0016	0,001	0,0018	0,0159	0,0166	0,1522	0,0195	100
DE0009R	fluoranthene	air+pm10	0,4264	0,3925	0,4263	0,7755	0,139	0,1181	0,1304	0,1698	0,2687	0,4659	0,5919	3,7054	0,6379	100
DE0009R	inden_123cd_pyrene	air+pm10	0,0416	0,0663	0,0609	0,1408	0,0129	0,0076	0,0151	0,0115	0,0188	0,0789	0,0868	1,0126	0,1306	100
DE0009R	phenanthrene	air+pm10	0,0135	0,0211	0,0528	0,0445	0,0228	0,0164	0,0359	0,0224	0,0135	0,0002	0,0459	0,297	0,0492	100
DE0009R	pyrene	air+pm10	0,2401	0,2448	0,2825	0,5235	0,0998	0,0942	0,1281	0,1118	0,1551	0,3124	0,3517	2,5938	0,431	100
DK0010G	HCB	air	49,9	-	-	50,8	43,3	46,3	63,2	49,787	52,366	86,74	104,175	104,8	65,954	21
DK0010G	PCB_101	air	1,66	-	-	82,56	17,19	2,77	7,3	4,3625	2,1833	2,296	2,9638	2,77	11,700	21
DK0010G	PCB_114	air	0,06	-	-	0,19	0,1	0,05	0,09	0,0587	0,06	0,194	0,0342	0,0005	0,0865	21
DK0010G	PCB_118	air	0,97	-	-	11,48	3,39	0,64	2,04	0,91	1,11	1,61	1,9888	0,48	2,3673	21
DK0010G	PCB_138	air	0,62	-	-	10,4	3,27	0,86	1,91	1,0075	0,7567	0,958	0,995	0,42	2,01	21
DK0010G	PCB_153	air	0,72	-	-	24,16	7,94	1,7	2,43	1,885	1,0233	1,102	1,335	0,8	4,0291	21
DK0010G	PCB_170	air	0,0005	-	-	0,0005	0,0005	0,0005	0,0005	0,0005	0,0005	0,0005	0,0005	0,0005	0,0005	21
DK0010G	PCB_180	air	0,0005	-	-	0,0005	0,0005	0,0005	0,0005	0,0005	0,0005	0,0005	0,2222	0,0467	0,0005	21
DK0010G	PCB_194	air	0,0005	-	-	0,0005	0,0005	0,0005	0,0005	0,0005	0,0005	0,0005	0,0005	0,0005	0,0005	21
DK0010G	PCB_206	air	0,0005	-	-	0,0005	0,0005	0,0005	0,0005	0,0005	0,0005	0,0005	0,0005	0,0005	0,0005	21
DK0010G	PCB_209	air	0,0005	-	-	0,0005	0,0005	0,0005	0,0005	0,0005	0,0005	0,0005	0,0005	0,0005	0,0005	21
DK0010G	PCB_28	air	4,05	-	-	147,6	53,45	4,59	52,45	8,6362	4,25	3,034	3,5537	6,41	26,570	21
DK0010G	PCB_3	air	0,64	-	-	3,35	0,42	0,08	1,08	0,1975	0,18	0,35	1	0,7	0,7609	21
DK0010G	PCB_52	air	2,67	-	-	89,98	13,86	3,05	14,58	5,8037	2,95	2,908	4,7687	6,35	13,683	21
DK0010G	aldrin	air	0,0005	-	-	2,82	0,0005	0,0005	0,0005	0,0005	0,0005	0,0005	0,0005	0,0005	0,2568	21
DK0010G	alpha_HCH	air	2,53	-	-	0,46	2,37	1,98	1,89	3,5575	3,9567	7,822	7,1075	7,46	4,1036	21
DK0010G	beta_HCH	air	0,0005	-	-	0,0005	0,0005	0,0005	0,0005	0,0005	0,0005	0,0005	0,0005	0,0005	0,0005	21
DK0010G	cis_CD	air	0,32	-	-	0,8	0,54	0,37	0,27	0,2913	0,3167	0,446	0,5625	0,9	0,4745	21
DK0010G	cis_NO	air	0,001	-	-	0,001	0,001	0,001	0,001	0,001	0,001	0,001	0,001	0,001	0,001	21
DK0010G	dieldrin	air	0,0005	-	-	1,44	0,0005	0,0005	0,0005	0,0005	0,0005	0,0005	0,0005	0,0005	0,1314	21
DK0010G	endosulfan	air	0,002	-	-	1	0,002	0,002	0,002	0,002	0,002	0,002	0,002	0,002	0,0927	21
DK0010G	endrin	air	0,0015	-	-	0,0015	0,0015	0,0015	0,0015	0,0015	0,0015	0,0015	0,0015	0,0015	0,0015	21

Site	Comp	Matrix	Jan	Febr	Mar	Apr	May	June	July	Aug	Sept	Oct	Nov	Dec	2020	
															Annual	Capt.
DK0010G	gamma_HCH	air	1,06	-	-	10,6	1,43	0,39	2,12	0,7425	1,0167	1,736	2,9525	1,76	2,3064	21
DK0010G	heptachlor	air	0,09	-	-	4,65	0,4	0,07	0,19	0,0737	0,04	0,12	0,2125	0,16	0,5555	21
DK0010G	heptachlorepoxyde	air	0,25	-	-	0,4	0,39	0,29	0,19	0,33	0,3533	0,616	0,655	1,04	0,4564	21
DK0010G	op_DDE	air	0,11	-	-	1,49	0,16	0,1	0,02	0,075	0,0533	0,152	0,2175	0,27	0,2518	21
DK0010G	op_DDT	air	0,16	-	-	1,38	0,0035	0,0035	0,0035	0,0035	0,0035	0,2354	0,3375	0,5	0,2528	21
DK0010G	pp_DDD	air	0,0035	-	-	1,01	0,44	0,1	0,07	0,0617	0,0035	0,2414	0,0531	0,0035	0,1916	21
DK0010G	pp_DDE	air	0,37	-	-	3,51	0,88	0,25	0,46	0,2412	0,2167	0,468	0,6012	1,15	0,7755	21
DK0010G	pp_DDT	air	0,16	-	-	1,38	0,0035	0,0035	0,0035	0,0035	0,0035	0,2354	0,3375	0,5	0,2528	21
DK0010G	trans_CD	air	0,13	-	-	0,92	0,23	0,1	0,13	0,1313	0,0733	0,158	0,175	0,43	0,2373	21
DK0010G	trans_NO	air	0,21	-	-	0,28	0,41	0,28	0,29	0,165	0,22	0,1043	0,2188	0,53	0,261	21
EE0009R	benz_a_anthracene	pm10	0,1333	0,1217	0,1062	0,085	0,03	0	0	0	0,0146	0,0604	0,0876	0,1811	0,0662	83
EE0009R	benzo_a_pyrene	pm10	0,1075	0,1309	0,1235	0,0481	0,0367	0,0072	0,0067	0,0046	0,04	0,0978	0,1216	0,2733	0,0829	84
EE0009R	benzo_bjk_fluoranthene	pm10	0,1933	0,2917	0,2581	0,115	0,0878	0,022	0,0167	0,0146	0,0931	0,2478	0,31	0,8456	0,209	83
EE0009R	dibenzo_ah_anthracene	pm10	0,0267	0,0226	0,0242	0,01	0,0056	0	0	0	0,0085	0,0237	0,028	0,07	0,0181	83
EE0009R	indeno_123cd_perylene	pm10	0,0767	0,19	0,1254	0,0504	0,0489	0,022	0,0122	0,0146	0,0646	0,1667	0,2088	0,3822	0,1143	83
ES0001R	acenaphthene	pm10	0	0	0	-	0	0	0	0	0	0,009	0,039	0	0,0043	89
ES0001R	acenaphthylene	pm10	0	0	0	-	0	0	0	0	0	0	0	0	0	89
ES0001R	anthracene	pm10	0,002	0,005	0,012	-	0	0,007	0	0	0	0,001	0,003	0,01	0,0036	89
ES0001R	benz_a_anthracene	pm10	0,002	0,002	0,004	-	0,002	0,002	0,002	0,002	0,002	0,002	0,002	0,002	0,0022	89
ES0001R	benzo_a_pyrene	pm10	0,006	0,002	0,004	-	0,003	0,002	0,002	0,002	0,002	0,002	0,05	0,185	0,0238	89
ES0001R	benzo_ghi_perylene	pm10	0,01	0,005	0,003	-	0,006	0,002	0,002	0,002	0,002	0,004	0,11	0,118	0,024	89
ES0001R	benzo_k_fluoranthene	pm10	0,013	0,017	0,004	-	0,002	0,002	0,002	0,002	0,002	0,005	0,091	0,092	0,021	89
ES0001R	chrysene	pm10	0,008	0,01	0,011	-	0,004	0,002	0,002	0,002	0,002	0,002	0,002	0,002	0,0043	89
ES0001R	dibenzo_ah_anthracene	pm10	0,002	0,002	0	-	0,002	0	0,002	0	0	0	0,014	0,013	0,0032	89
ES0001R	fluoranthene	pm10	0,008	0,012	0,021	-	0,004	0,003	0,003	0	0	0,003	0,03	0,053	0,0125	89
ES0001R	fluorene	pm10	0	0	0	-	0	0	0	0	0	0	0	0	0	89
ES0001R	inden_123cd_pyrene	pm10	0,015	0,007	0,004	-	0,002	0,002	0,002	0,002	0,002	0,005	0,181	0,156	0,0343	89
ES0001R	naphthalene	pm10	0	0	0	-	0	0	0	0	0	0	0	0	0	89
ES0001R	phenanthrene	pm10	0,006	0,017	0,016	-	0	0	0	0	0	0,004	0,008	0,02	0,0064	89
ES0001R	pyrene	pm10	0,006	0,009	0,016	-	0,008	0,003	0	0	0	0,003	0,03	0,047	0,0111	89
ES0007R	acenaphthene	pm10	0	0	0	-	0	0	0	0	0	0	0	0	0	89
ES0007R	acenaphthylene	pm10	0	0	0	-	0	0	0	0	0	0	0	0	0	89
ES0007R	anthracene	pm10	0,004	0,008	0,007	-	0,004	0,003	0	0	0	0,002	0,002	0,007	0,0034	89
ES0007R	benz_a_anthracene	pm10	0,005	0,004	0,004	-	0,002	0,002	0,002	0,002	0,002	0,002	0,002	0,002	0,0026	89
ES0007R	benzo_a_pyrene	pm10	0,011	0,006	0,004	-	0,003	0,002	0,004	0,002	0,002	0	0,013	0,143	0,0174	89
ES0007R	benzo_ghi_perylene	pm10	0,013	0,007	0,016	-	0,002	0,002	0,005	0,002	0,002	0,002	0,013	0,087	0,0138	89
ES0007R	benzo_k_fluoranthene	pm10	0,017	0,017	0,052	-	0,002	0,002	0,004	0,002	0,002	0,002	0,015	0,125	0,022	89
ES0007R	chrysene	pm10	0,019	0,016	0,016	-	0,002	0,002	0,002	0,002	0,002	0,003	0,002	0,002	0,0062	89

Site	Comp	Matrix	Jan	Febr	Mar	Apr	May	June	July	Aug	Sept	Oct	Nov	Dec	2020	
															Annual	Capt.
ES0007R	dibenzo_ah_anthracene	pm10	0,002	0,002	0,003	-	0,002	0	0,002	0,002	0	0	0,002	0	0,0014	89
ES0007R	fluoranthene	pm10	0,009	0,009	0,007	-	0,004	0,003	0,003	0,003	0	0,003	0,02	0,04	0,0092	89
ES0007R	fluorene	pm10	0	0	0,004	-	0	0	0	0	0	0	0	0	0,0004	89
ES0007R	inden_123cd_pyrene	pm10	0,019	0,011	0,021	-	0,002	0,002	0,005	0,002	0,002	0,002	0,028	0,128	0,0203	89
ES0007R	naphthalene	pm10	0	0	0	-	0	0	0	0	0	0	0	0	0	89
ES0007R	phenanthrene	pm10	0,008	0,011	0,02	-	0	0	0	0	0	0,004	0,002	0,007	0,0047	89
ES0007R	pyrene	pm10	0,013	0,01	0,006	-	0,004	0,003	0	0	0	0,003	0,014	0,029	0,0075	89
ES0008R	acenaphthene	pm10	0	0,009	0,018	-	0	0	0	0	0	0	0	0	0,0024	89
ES0008R	acenaphthylene	pm10	0	0	0	-	0	0	0	0	0	0	0	0	0	89
ES0008R	anthracene	pm10	0,003	0,005	0,002	-	0	0	0	0,054	0	0	0,008	0,004	0,007	89
ES0008R	benz_a_anthracene	pm10	0,006	0,007	0,004	-	0,002	0,002	0,002	0,002	0,002	0,002	0,002	0,005	0,0033	89
ES0008R	benzo_a_pyrene	pm10	0,022	0,015	0,004	-	0,003	0,002	0,002	0,002	0,002	0,002	0,133	0,093	0,0253	89
ES0008R	benzo_ghi_perylene	pm10	0,034	0,029	0,003	-	0,002	0,002	0,004	0,005	0,004	0,003	0,187	0,09	0,0327	89
ES0008R	benzo_k_fluoranthene	pm10	0,054	0,106	0,004	-	0,002	0,002	0,002	0,006	0,005	0,004	0,195	0,069	0,0402	89
ES0008R	chrysene	pm10	0,017	0,021	0,006	-	0,002	0,002	0,002	0,003	0,004	0,004	0,002	0,004	0,006	89
ES0008R	dibenzo_ah_anthracene	pm10	0,002	0,005	0	-	0,002	0,002	0,002	0,002	0	0,002	0,031	0,012	0,0054	89
ES0008R	fluoranthene	pm10	0,02	0,017	0,007	-	0,004	0,003	0,003	0,003	0,003	0,003	0,076	0,124	0,0239	89
ES0008R	fluorene	pm10	0	0	0,004	-	0	0	0	0	0,006	0,002	0,028	0	0,0036	89
ES0008R	inden_123cd_pyrene	pm10	0,06	0,046	0,004	-	0,002	0,002	0,004	0,006	0,005	0,005	0,328	0,141	0,0543	89
ES0008R	naphthalene	pm10	0	0	0	-	0	0	0	0	0	0	0	0	0	89
ES0008R	phenanthrene	pm10	0,016	0,017	0,015	-	0,032	0,052	0,022	0	0,049	0,043	0,07	0,013	0,0297	89
ES0008R	pyrene	pm10	0,013	0,013	0,006	-	0,004	0,003	0,003	0,003	0,003	0,003	0,062	0,105	0,0198	89
ES0012R	acenaphthene	pm10	0	0	0	-	0	0	0	0	0	0	0	0	0	89
ES0012R	acenaphthylene	pm10	0	0	0	-	0	0	0	0	0	0	0	0	0	89
ES0012R	anthracene	pm10	0,002	0,002	0,001	-	0	0	0	0	0	0	0	0	0,0004	89
ES0012R	benz_a_anthracene	pm10	0,002	0,006	0,004	-	0,002	0,002	0,002	0,002	0,002	0,002	0,002	0,002	0,0025	89
ES0012R	benzo_a_pyrene	pm10	0,007	0,01	0,004	-	0,003	0,002	0,002	0,002	0,002	0,002	0,018	0,026	0,0071	89
ES0012R	benzo_ghi_perylene	pm10	0,006	0,006	0,003	-	0,002	0,002	0,002	0,002	0,002	0,002	0,013	0,038	0,0071	89
ES0012R	benzo_k_fluoranthene	pm10	0,009	0,018	0,004	-	0,002	0,002	0,002	0,002	0,002	0,002	0,014	0,037	0,0085	89
ES0012R	chrysene	pm10	0,01	0,012	0,008	-	0,002	0,002	0,002	0,002	0,002	0,002	0,002	0,002	0,0042	89
ES0012R	dibenzo_ah_anthracene	pm10	0,002	0,002	0,003	-	0,002	0	0,002	0	0	0	0,002	0,005	0,0016	89
ES0012R	fluoranthene	pm10	0,009	0,003	0,007	-	0,004	0,003	0	0,003	0	0,003	0,043	0,049	0,0113	89
ES0012R	fluorene	pm10	0	0	0,004	-	0	0	0	0	0	0	0,068	0	0,0064	89
ES0012R	inden_123cd_pyrene	pm10	0,009	0,009	0,004	-	0,002	0,002	0,002	0,002	0,002	0,002	0,023	0,055	0,0102	89
ES0012R	naphthalene	pm10	0	0	0	-	0	0	0	0	0	0	0	0	0	89
ES0012R	phenanthrene	pm10	0,005	0,004	0,007	-	0	0	0	0	0	0,005	0,018	0,011	0,0045	89
ES0012R	pyrene	pm10	0,006	0,003	0,006	-	0,004	0,003	0	0	0	0,003	0,042	0,037	0,0094	89
ES0014R	acenaphthene	pm10	0	0	0	-	0	0	0	0	0	0	0	0	0	89

Site	Comp	Matrix	Jan	Febr	Mar	Apr	May	June	July	Aug	Sept	Oct	Nov	Dec	2020		
															Annual	Capt.	
ES0014R	acenaphthylene	pm10	0	0	0	-	0	0	0	0	0	0	0	0	0	0	89
ES0014R	anthracene	pm10	0,001	0,005	0,004	-	0,005	0,005	0,006	0,008	0	0,002	0	0,013	0,0045	89	
ES0014R	benz_a_anthracene	pm10	0,008	0,004	0,004	-	0,002	0,002	0,002	0,002	0,002	0,002	0,002	0,006	0,0033	89	
ES0014R	benzo_a_pyrene	pm10	0,019	0,007	0,004	-	0,003	0,002	0,002	0,002	0,002	0,002	0,074	0,126	0,0221	89	
ES0014R	benzo_ghi_perylene	pm10	0,016	0,004	0,003	-	0,002	0,002	0,002	0,002	0,002	0,002	0,04	0,088	0,0149	89	
ES0014R	benzo_k_fluoranthene	pm10	0,023	0,011	0,004	-	0,002	0,002	0,002	0,002	0,002	0,002	0,046	0,103	0,0181	89	
ES0014R	chrysene	pm10	0,024	0,01	0,01	-	0,002	0,002	0,002	0,002	0,002	0,004	0,002	0,006	0,006	89	
ES0014R	dibenzo_ah_anthracene	pm10	0,003	0,001	0,003	-	0,002	0	0	0	0	0,002	0,007	0,013	0,0028	89	
ES0014R	fluoranthene	pm10	0,015	0,006	0,007	-	0,004	0,003	0	0	0	0,003	0,045	0,095	0,0162	89	
ES0014R	fluorene	pm10	0	0	0,004	-	0	0	0	0	0	0	0	0	0,0004	89	
ES0014R	inden_123cd_pyrene	pm10	0,021	0,006	0,004	-	0,002	0,002	0,002	0,002	0,002	0,002	0,07	0,152	0,0242	89	
ES0014R	naphthalene	pm10	0	0	0	-	0	0	0	0	0	0	0	0	0	89	
ES0014R	phenanthrene	pm10	0,007	0,005	0,006	-	0	0	0	0	0	0,004	0,014	0,013	0,0044	89	
ES0014R	pyrene	pm10	0,012	0,007	0,006	-	0,004	0,003	0	0	0	0,003	0,053	0,108	0,0179	89	
FI0036R	anthracene	pm10	0,002	0,004	0,001	0,001	0,001	0,001	0,001	0,001	0,001	0,002	0,003	0,0089	0,0022	100	
FI0036R	benz_a_anthracene	pm10	0,011	0,0199	0,0081	0,0021	0,002	0,002	0,002	0,002	0,0089	0,008	0,0149	0,0546	0,0113	100	
FI0036R	benzo_a_pyrene	pm10	0,008	0,0238	0,0082	0,008	0,008	0,008	0,008	0,008	0,008	0,008	0,0169	0,0942	0,0173	100	
FI0036R	benzo_bjk_fluoranthene	pm10	0,035	0,0637	0,0294	0,0092	0,009	0,008	0,0149	0,0101	0,0229	0,021	0,0299	0,1972	0,0376	100	
FI0036R	chrysene	pm10	0,019	0,0328	0,0142	0,0071	0,008	0,007	0,008	0,009	0,0149	0,013	0,0179	0,0744	0,0188	100	
FI0036R	fluoranthene	pm10	0,0461	0,0865	0,0375	0,0133	0,013	0,013	0,013	0,013	0,0328	0,0379	0,0568	0,1737	0,0447	100	
FI0036R	inden_123cd_pyrene	pm10	0,008	0,0218	0,0082	0,008	0,008	0,008	0,008	0,008	0,008	0,008	0,008	0,0515	0,0128	100	
FI0036R	phenanthrene	pm10	0,02	0,0506	0,0213	0,0081	0,0258	0,0082	0,008	0,008	0,008	0,008	0,008	0,0713	0,0204	100	
FI0036R	BDE_100	air+aerosol	0,02	0,02	0,02	0,02	0,02	0,02	0,02	0,02	0,02	0,02	0,02	0,02	0,02	99	
FI0036R	BDE_153	air+aerosol	0,03	0,03	0,03	0,03	0,03	0,03	0,03	0,03	0,03	0,03	0,03	0,03	0,03	99	
FI0036R	BDE_154	air+aerosol	0,03	0,03	0,03	0,03	0,03	0,03	0,03	0,03	0,03	0,03	0,03	0,03	0,03	99	
FI0036R	BDE_209	air+aerosol	0,2	0,1721	0,1177	0,136	0,11	0,3073	0,1	0,1	0,1	0,1	0,1	0,1	0,1369	99	
FI0036R	BDE_47	air+aerosol	0,02	0,02	0,02	0,02	0,02	0,0475	0,028	0,0314	0,02	0,02	0,02	0,02	0,0239	99	
FI0036R	BDE_85	air+aerosol	0,03	0,03	0,03	0,03	0,03	0,03	0,03	0,03	0,03	0,03	0,03	0,03	0,03	99	
FI0036R	BDE_99	air+aerosol	0,02	0,02	0,02	0,02	0,02	0,02	0,02	0,02	0,02	0,02	0,02	0,02	0,02	99	
FI0036R	FTS_6-2	air+aerosol	0,05	0,05	0,05	0,05	0,05	0,05	0,05	0,05	0,05	0,05	0,05	0,05	0,05	99	
FI0036R	HCB	air+aerosol	20	20	20	18,6667	10	10	10	10	11	20	10,3333	10	14,1989	99	
FI0036R	PCB_101	air+aerosol	0,116	0,1393	0,1544	0,1483	0,202	0,4869	0,52	0,422	0,256	0,283	0,1449	0,143	0,253	99	
FI0036R	PCB_118	air+aerosol	0,055	0,0503	0,055	0,0521	0,072	0,1374	0,148	0,0984	0,0716	0,122	0,0727	0,07	0,084	99	
FI0036R	PCB_138	air+aerosol	0,03	0,03	0,0518	0,034	0,06	0,1314	0,118	0,1119	0,0729	0,099	0,0714	0,056	0,0726	99	
FI0036R	PCB_153	air+aerosol	0,046	0,0488	0,0582	0,0507	0,068	0,1331	0,14	0,1309	0,0833	0,095	0,0585	0,064	0,0817	99	
FI0036R	PCB_180	air+aerosol	0,03	0,03	0,03	0,03	0,03	0,03	0,03	0,03	0,03	0,03	0,03	0,03	0,03	99	
FI0036R	PCB_28	air+aerosol	0,306	0,2986	0,3298	0,2911	0,337	0,5865	0,597	0,4504	0,382	0,544	0,2813	0,363	0,3983	99	
FI0036R	PCB_52	air+aerosol	0,201	0,2243	0,301	0,2535	0,4	0,8793	0,853	0,6746	0,4016	0,497	0,2655	0,301	0,4402	99	

Site	Comp	Matrix	Jan	Febr	Mar	Apr	May	June	July	Aug	Sept	Oct	Nov	Dec	2020	
															Annual	Capt.
FI0036R	PFBA	air+aerosol	0,712	1,0528	1,4272	1,3549	1,939	4,6187	4,362	4,1225	3,9034	1,567	1,5254	1,076	2,3196	99
FI0036R	PFBS	air+aerosol	0,05	0,05	0,05	0,05	0,05	0,05	0,05	0,05	0,05	0,05	0,05	0,05	0,05	99
FI0036R	PFDCa	air+aerosol	0,05	0,05	0,05	0,05	0,05	0,05	0,05	0,05	0,05	0,05	0,05	0,05	0,05	99
FI0036R	PFDCs	air+aerosol	0,05	0,05	0,05	0,05	0,05	0,05	0,05	0,05	0,05	0,05	0,05	0,05	0,05	99
FI0036R	PFHpA	air+aerosol	0,05	0,05	0,05	0,05	0,05	0,05	0,05	0,05	0,05	0,05	0,05	0,05	0,05	99
FI0036R	PFHxA	air+aerosol	0,136	0,1639	0,1889	0,2192	0,201	0,3127	0,27	0,2134	0,2276	0,269	0,2608	0,331	0,2318	99
FI0036R	PFHxS	air+aerosol	0,05	0,05	0,05	0,05	0,05	0,05	0,05	0,05	0,05	0,05	0,05	0,05	0,05	99
FI0036R	PFNA	air+aerosol	0,05	0,05	0,05	0,05	0,05	0,05	0,05	0,05	0,05	0,05	0,05	0,05	0,05	99
FI0036R	PFOA	air+aerosol	0,19	0,1434	0,0587	0,05	0,05	0,05	0,05	0,05	0,0568	0,118	0,1073	0,05	0,0814	99
FI0036R	PFOS	air+aerosol	0,05	0,05	0,05	0,05	0,05	0,05	0,05	0,05	0,05	0,05	0,05	0,05	0,05	99
FI0036R	PFOSA	air+aerosol	0,05	0,05	0,05	0,05	0,05	0,05	0,05	0,05	0,05	0,05	0,05	0,05	0,05	99
FI0036R	PFUnA	air+aerosol	0,05	0,05	0,05	0,05	0,05	0,05	0,05	0,05	0,05	0,05	0,05	0,05	0,05	99
FI0036R	alpha_HCH	air+aerosol	1,68	1,1772	1,6471	1,3687	1,62	2,159	2,82	2,9477	2,843	2,69	2,517	1,42	2,0847	99
FI0036R	alpha_endosulfan	air+aerosol	0,09	0,09	0,1532	0,2767	0,19	0,3977	0,47	0,5158	0,214	0,25	0,2083	0,12	0,25	99
FI0036R	anthracene	air+aerosol	0,0054	0,0051	0,0046	0,003	0,0025	0,0038	0,0051	0,0039	0,0049	0,0072	0,0073	0,0115	0,0053	99
FI0036R	benz_a_anthracene	air+aerosol	0,0076	0,0051	0,0035	0,0019	0,0017	0,0022	0,003	0,0043	0,0044	0,0052	0,0058	0,012	0,0047	99
FI0036R	benzo_a_pyrene	air+aerosol	0,0082	0,0054	0,0031	0,0021	0,0018	0,001	0,0014	0,0022	0,0025	0,0037	0,0031	0,0113	0,0038	99
FI0036R	benzo_b_fluoranthene	air+aerosol	0,0182	0,0148	0,0082	0,0048	0,0045	0,0026	0,0042	0,0069	0,0069	0,0094	0,0101	0,0347	0,0102	99
FI0036R	benzo_ghi_perylene	air+aerosol	0,0081	0,0068	0,003	0,002	0,0017	0,0009	0,0015	0,0024	0,0024	0,005	0,0046	0,0187	0,0046	99
FI0036R	benzo_k_fluoranthene	air+aerosol	0,0075	0,006	0,0031	0,0019	0,0018	0,0011	0,0017	0,003	0,003	0,0038	0,0039	0,013	0,0041	99
FI0036R	beta_endosulfan	air+aerosol	0,05	0,05	0,05	0,05	0,05	0,05	0,05	0,05	0,05	0,05	0,05	0,05	0,05	99
FI0036R	chrysene	air+aerosol	0,02	0,0181	0,0114	0,0139	0,0075	0,0038	0,0112	0,014	0,0118	0,0203	0,0247	0,0423	0,0163	99
FI0036R	dibenzo_ah_anthracene	air+aerosol	0,0023	0,0017	0,0009	0,0006	0,0005	0,0002	0,0004	0,0007	0,0006	0,0011	0,0011	0,0045	0,0012	99
FI0036R	fluoranthene	air+aerosol	0,098	0,0999	0,0616	0,0373	0,033	0,0324	0,038	0,0398	0,0402	0,06	0,0832	0,225	0,0691	99
FI0036R	gamma_HCH	air+aerosol	0,29	0,2528	0,3739	0,3647	0,46	0,8967	1,07	0,9532	0,546	0,69	0,412	0,19	0,5469	99
FI0036R	inden_123cd_pyrene	air+aerosol	0,0119	0,0098	0,0048	0,0029	0,0027	0,0013	0,0022	0,0036	0,0038	0,0062	0,0063	0,0254	0,0065	99
FI0036R	phenanthrene	air+aerosol	0,224	0,2519	0,1719	0,1033	0,125	0,1598	0,148	0,1321	0,1412	0,224	0,3269	0,539	0,2088	99
FI0036R	pp_DDD	air+aerosol	0,02	0,02	0,0452	0,02	0,02	0,0207	0,03	0,03	0,03	0,03	0,03	0,03	0,0272	99
FI0036R	pp_DDE	air+aerosol	0,27	0,3072	0,2719	0,1113	0,12	0,167	0,15	0,14	0,149	0,41	0,4157	0,58	0,2544	99
FI0036R	pp_DDT	air+aerosol	0,02	0,0293	0,0294	0,0213	0,03	0,0507	0,07	0,0603	0,053	0,08	0,0413	0,04	0,0439	99
FI0036R	pyrene	air+aerosol	0,058	0,0571	0,0373	0,0242	0,019	0,0184	0,023	0,0249	0,0273	0,039	0,0458	0,102	0,039	99
FI0050R	anthracene	pm10	0,0071	0,0139	0,0091	0,006	0,004	0,002	0,002	0,002	0,002	0,006	0,005	0,0198	0,0066	100
FI0050R	benz_a_anthracene	pm10	0,0652	0,0828	0,0642	0,0531	0,0352	0,0152	0,0288	0,029	0,0419	0,0835	0,0603	0,1451	0,0587	100
FI0050R	benzo_a_pyrene	pm10	0,0852	0,0969	0,0762	0,0622	0,0294	0,029	0,029	0,029	0,0597	0,1263	0,0865	0,2631	0,0812	100
FI0050R	benzo_bjk_fluoranthenes	pm10	0,1952	0,2049	0,1902	0,1198	0,0794	0,0444	0,0727	0,0681	0,1184	0,2189	0,1607	0,6002	0,1732	100
FI0050R	benzo_ghi_perylene	pm10	0,0852	0,0919	0,0772	0,0572	0,0392	0,0182	0,0417	0,039	0,0697	0,1303	0,0905	0,3066	0,0875	100
FI0050R	chrysene	pm10	0,0962	0,1118	0,0922	0,0712	0,0492	0,0263	0,0369	0,038	0,0617	0,1085	0,0774	0,2086	0,0816	100
FI0050R	fluoranthene	pm10	0,2594	0,2837	0,2157	0,1675	0,1086	0,0427	0,0549	0,052	0,1014	0,2336	0,1875	0,4818	0,1825	100

Site	Comp	Matrix	Jan	Febr	Mar	Apr	May	June	July	Aug	Sept	Oct	Nov	Dec	2020	
															Annual	Capt.
FI0050R	inden_123cd_pyrene	pm10	0,0841	0,088	0,0672	0,0472	0,0341	0,0202	0,0338	0,038	0,0677	0,1244	0,0736	0,1521	0,0693	100
FI0050R	phenanthrene	pm10	0,0838	0,1245	0,0904	0,0346	0,034	0,034	0,034	0,034	0,034	0,034	0,034	0,2447	0,0681	100
FI0050R	pyrene	pm10	0,2066	0,2752	0,2018	0,1654	0,1136	0,0408	0,0657	0,065	0,1224	0,2526	0,1887	0,4511	0,1791	100
FR0008R	benz_a_anthracene	pm10	0,0227	0,0061	-	-	0,0043	0,0015	0,0015	0,0021	0,0022	0,017	0,0262	0,0459	0,0135	13
FR0008R	benzo_a_pyrene	pm10	0,0469	0,0165	-	-	0,0083	0,0042	0,0035	0,0065	0,0065	0,0332	0,0534	0,0879	0,0278	13
FR0008R	benzo_b_fluoranthene	pm10	0,0734	0,022	-	-	0,017	0,0072	0,0055	0,0124	0,0127	0,0534	0,0828	0,1433	0,0445	13
FR0008R	benzo_k_fluoranthene	pm10	0,0274	0,0081	-	-	0,0068	0,0035	0,0035	0,0049	0,0053	0,0208	0,0309	0,0519	0,0169	13
FR0008R	dibenzo_ah_anthracene	pm10	0,012	0,0049	-	-	0,0035	0,0035	0,0035	0,0035	0,0035	0,0063	0,0113	0,018	0,0072	13
FR0008R	inden_123cd_pyrene	pm10	0,0569	0,0195	-	-	0,0098	0,005	0,0042	0,0064	0,0062	0,0396	0,0642	0,1067	0,0332	13
FR0009R	benz_a_anthracene	pm10	0,0657	0,0132	-	-	0,0015	0,0036	0,0052	0,0018	0,0061	0,0133	0,0564	0,0552	0,0246	13
FR0009R	benzo_a_pyrene	pm10	0,12	0,0292	-	-	0,0035	0,0107	0,0104	0,0035	0,0175	0,0295	0,1191	0,1055	0,0496	13
FR0009R	benzo_b_fluoranthene	pm10	0,2047	0,0417	-	-	0,012	0,0161	0,0179	0,0087	0,0424	0,0532	0,2084	0,1994	0,0884	13
FR0009R	benzo_k_fluoranthene	pm10	0,0813	0,0165	-	-	0,0035	0,0069	0,0074	0,0035	0,0155	0,0203	0,0749	0,0707	0,0331	13
FR0009R	dibenzo_ah_anthracene	pm10	0,0322	0,0065	-	-	0,0035	0,0035	0,0035	0,0035	0,0035	0,0075	0,0336	0,0278	0,0139	13
FR0009R	inden_123cd_pyrene	pm10	0,1507	0,0343	-	-	0,008	0,0119	0,0115	0,0048	0,0114	0,0428	0,1633	0,1536	0,0664	13
FR0013R	benz_a_anthracene	pm10	0,024	0,0079	-	-	0,0015	0,0015	0,0015	0,0015	0,0015	0,0075	0,02	0,0284	0,0103	13
FR0013R	benzo_a_pyrene	pm10	0,0654	0,0234	-	-	0,0058	0,0063	0,0035	0,0035	0,0046	0,0165	0,051	0,0807	0,0281	13
FR0013R	benzo_b_fluoranthene	pm10	0,1217	0,0467	-	-	0,0085	0,007	0,0035	0,0035	0,0084	0,0245	0,103	0,1563	0,0522	13
FR0013R	benzo_k_fluoranthene	pm10	0,0463	0,0174	-	-	0,0035	0,0035	0,0035	0,0035	0,0035	0,0103	0,035	0,0552	0,0196	13
FR0013R	dibenzo_ah_anthracene	pm10	0,0207	0,0096	-	-	0,0035	0,0035	0,0035	0,0035	0,0035	0,0044	0,0188	0,0267	0,0104	13
FR0013R	inden_123cd_pyrene	pm10	0,0949	0,0377	-	-	0,0083	0,0048	0,0035	0,0035	0,0046	0,0253	0,0861	0,1388	0,0439	13
FR0023R	benz_a_anthracene	pm10	0,1712	0,0223	-	-	0,004	0,0027	0,0015	0,0015	0,0033	0,0172	0,0457	0,0417	0,034	13
FR0023R	benzo_a_pyrene	pm10	0,2762	0,0457	-	-	0,011	0,0079	0,0035	0,007	0,01	0,0392	0,0982	0,0776	0,062	13
FR0023R	benzo_b_fluoranthene	pm10	0,3453	0,0755	-	-	0,01	0,0193	0,0084	0,0135	0,0181	0,057	0,115	0,1384	0,0871	13
FR0023R	benzo_k_fluoranthene	pm10	0,159	0,0302	-	-	0,0035	0,0083	0,0035	0,0048	0,008	0,0226	0,0473	0,0536	0,0373	13
FR0023R	dibenzo_ah_anthracene	pm10	0,051	0,0121	-	-	0,0035	0,0044	0,0035	0,0035	0,0048	0,0093	0,0184	0,0187	0,0138	13
FR0023R	inden_123cd_pyrene	pm10	0,2594	0,0582	-	-	0,015	0,0153	0,0052	0,0044	0,018	0,0464	0,0957	0,1141	0,068	13
FR0025R	benz_a_anthracene	pm10	0,0304	0,0258	-	-	0,0015	0,0022	0,0015	0,0015	0,0026	0,0139	0,0268	0,192	0,0311	12
FR0025R	benzo_a_pyrene	pm10	0,1089	0,0553	-	-	0,0035	0,0055	0,0035	0,0044	0,0065	0,0368	0,0862	0,2908	0,0638	12
FR0025R	benzo_b_fluoranthene	pm10	0,2506	0,0978	-	-	0,011	0,009	0,0094	0,0057	0,0124	0,0524	0,131	0,3946	0,1039	12
FR0025R	benzo_k_fluoranthene	pm10	0,0927	0,0413	-	-	0,0035	0,0035	0,0049	0,0035	0,005	0,0192	0,0492	0,1547	0,0402	12
FR0025R	dibenzo_ah_anthracene	pm10	0,0377	0,0157	-	-	0,0035	0,0035	0,0035	0,0035	0,0035	0,0087	0,0211	0,0605	0,0171	12
FR0025R	inden_123cd_pyrene	pm10	0,1775	0,0755	-	-	0,0068	0,0067	0,0074	0,0044	0,0077	0,048	0,1172	0,3104	0,0812	12
FR0028R	benz_a_anthracene	pm10	0,0213	0,0089	-	-	0,0015	0,0015	0,0015	0,0015	0,0026	0,0031	0,011	0,0202	0,0083	12
FR0028R	benzo_a_pyrene	pm10	0,0441	0,0154	-	-	0,0035	0,0035	0,0044	0,0035	0,0066	0,0056	0,0262	0,0386	0,0171	12
FR0028R	benzo_b_fluoranthene	pm10	0,0993	0,0339	-	-	0,0093	0,0069	0,0059	0,0035	0,0109	0,0159	0,0561	0,1022	0,0391	12
FR0028R	benzo_k_fluoranthene	pm10	0,0371	0,0131	-	-	0,0035	0,0046	0,0035	0,0035	0,0061	0,0059	0,0203	0,0337	0,0147	12
FR0028R	dibenzo_ah_anthracene	pm10	0,0059	0,0064	-	-	0,0035	0,0035	0,0035	0,0035	0,0035	0,0035	0,0116	0,0139	0,0064	11

Site	Comp	Matrix	Jan	Febr	Mar	Apr	May	June	July	Aug	Sept	Oct	Nov	Dec	2020	
															Annual	Capt.
FR0028R	inden_123cd_pyrene	pm10	0,0759	0,0249	-	-	0,0063	0,0069	0,0042	0,0035	0,0074	0,0135	0,051	0,0702	0,0302	12
GB0014R	benz_a_anthracene	aerosol	0,057	0,025	0,031	0,016	0,007	0,003	0,003	0,002	0,006	0,011	0,047	0,031	0,0199	100
GB0014R	benzo_a_pyrene	aerosol	0,096	0,032	0,039	0,027	0,011	0,005	0,005	0,004	0,009	0,019	0,065	0,043	0,0296	100
GB0014R	benzo_b_fluoranthene	aerosol	0,16	0,076	0,083	0,051	0,022	0,01	0,01	0,008	0,021	0,047	0,21	0,12	0,0681	100
GB0014R	benzo_e_pyrene	aerosol	0,15	0,08	0,078	0,045	0,019	0,009	0,01	0,006	0,018	0,045	0,17	0,13	0,0633	100
GB0014R	benzo_ghi_perylene	aerosol	0,17	0,086	0,085	0,05	0,023	0,012	0,015	0,012	0,024	0,06	0,2	0,15	0,0739	100
GB0014R	benzo_k_fluoranthene	aerosol	0,078	0,033	0,038	0,022	0,01	0,004	0,004	0,004	0,009	0,02	0,087	0,052	0,0301	100
GB0014R	chrysene	aerosol	0,12	0,058	0,08	0,035	0,013	0,007	0,006	0,005	0,012	0,025	0,11	0,073	0,0453	100
GB0014R	cyclopenta_cd_pyrene	aerosol	0,024	0,007	0,011	0,011	0,003	0,001	0,001	0,001	0,002	0,007	0,022	0,014	0,0087	100
GB0014R	dibenzo_ah_anthracene	aerosol	0,028	0,013	0,011	0,007	0,004	0,002	0,002	0,002	0,004	0,008	0,033	0,023	0,0114	100
GB0014R	dibenzo_ai_pyrene	aerosol	0,012	0,004	0,004	0,002	0,002	0,001	0,001	0,001	0,002	0,002	0,007	0,005	0,0036	100
GB0014R	inden_123cd_pyrene	aerosol	0,11	0,049	0,055	0,034	0,016	0,007	0,009	0,007	0,016	0,038	0,14	0,075	0,0463	100
GB0048R	benz_a_anthracene	pm10	0,009	0,006	0,014	0,005	0,003	0,001	0,001	0,002	0,003	0,004	0,03	0,015	0,0077	100
GB0048R	benzo_a_pyrene	pm10	0,015	0,009	0,018	0,01	0,005	0,002	0,002	0,004	0,005	0,007	0,027	0,019	0,0102	100
GB0048R	benzo_b_fluoranthene	pm10	0,028	0,024	0,047	0,022	0,013	0,006	0,004	0,008	0,014	0,02	0,073	0,055	0,0262	100
GB0048R	benzo_e_pyrene	pm10	0,03	0,024	0,044	0,021	0,012	0,005	0,003	0,007	0,013	0,019	0,065	0,057	0,025	100
GB0048R	benzo_ghi_perylene	pm10	0,038	0,03	0,054	0,027	0,017	0,008	0,007	0,012	0,02	0,03	0,075	0,072	0,0325	100
GB0048R	benzo_k_fluoranthene	pm10	0,012	0,01	0,02	0,01	0,005	0,002	0,002	0,004	0,006	0,009	0,032	0,025	0,0114	100
GB0048R	chrysene	pm10	0,016	0,014	0,032	0,012	0,007	0,003	0,002	0,005	0,006	0,009	0,051	0,031	0,0157	100
GB0048R	cyclopenta_cd_pyrene	pm10	0,004	0,002	0,003	0,005	0,002	0,001	0	0,001	0,001	0,002	0,008	0,006	0,0029	100
GB0048R	dibenzo_ae_pyrene	pm10	0,006	0,004	0,007	0,004	0,002	0,001	0,001	0,002	0,003	0,004	0,01	0,01	0,0045	100
GB0048R	dibenzo_ah_anthracene	pm10	0,006	0,004	0,007	0,003	0,002	0,001	0,001	0,002	0,003	0,004	0,01	0,009	0,0043	100
GB0048R	dibenzo_ah_pyrene	pm10	0,001	0	0	0,0005	0	0	0	0	0	0	0,001	0,001	0,0003	100
GB0048R	dibenzo_ai_pyrene	pm10	0,002	0,001	0,002	0,001	0,001	0	0	0,001	0,001	0,001	0,003	0,002	0,0013	100
GB0048R	inden_123cd_pyrene	pm10	0,023	0,018	0,033	0,017	0,011	0,005	0,005	0,008	0,013	0,019	0,047	0,04	0,0199	100
GB1055R	benz_a_anthracene	pm10	0,11	0,022	0,028	0,032	0,011	0,005	0,005	0,004	0,014	0,015	0,13	0,11	0,0405	100
GB1055R	benzo_a_pyrene	pm10	0,16	0,029	0,038	0,059	0,021	0,01	0,009	0,008	0,023	0,023	0,23	0,12	0,0608	100
GB1055R	benzo_b_fluoranthene	pm10	0,24	0,065	0,087	0,11	0,041	0,019	0,022	0,016	0,051	0,059	0,35	0,22	0,1066	100
GB1055R	benzo_e_pyrene	pm10	0,2	0,053	0,075	0,095	0,037	0,018	0,019	0,014	0,045	0,054	0,31	0,2	0,0933	100
GB1055R	benzo_ghi_perylene	pm10	0,2	0,06	0,075	0,097	0,043	0,022	0,029	0,019	0,052	0,068	0,34	0,21	0,1012	100
GB1055R	benzo_k_fluoranthene	pm10	0,12	0,028	0,038	0,049	0,018	0,008	0,01	0,007	0,022	0,026	0,17	0,11	0,0505	100
GB1055R	chrysene	pm10	0,19	0,041	0,067	0,074	0,025	0,011	0,012	0,009	0,03	0,03	0,24	0,18	0,0758	100
GB1055R	cyclopenta_cd_pyrene	pm10	0,052	0,005	0,008	0,023	0,005	0,002	0,002	0,001	0,005	0,006	0,074	0,051	0,0195	100
GB1055R	dibenzo_ae_pyrene	pm10	0,029	0,007	0,012	0,015	0,007	0,004	0,004	0,003	0,009	0,01	0,047	0,03	0,0147	100
GB1055R	dibenzo_ah_anthracene	pm10	0,036	0,009	0,01	0,014	0,006	0,003	0,004	0,003	0,008	0,01	0,052	0,034	0,0157	100
GB1055R	dibenzo_ah_pyrene	pm10	0,003	0,001	0,001	0,001	0	0	0	0	0,001	0,001	0,004	0,002	0,0012	100
GB1055R	dibenzo_ai_pyrene	pm10	0,012	0,002	0,004	0,004	0,003	0,001	0,001	0,001	0,004	0,003	0,016	0,009	0,005	100
GB1055R	inden_123cd_pyrene	pm10	0,16	0,04	0,053	0,071	0,03	0,013	0,017	0,011	0,033	0,047	0,24	0,14	0,0712	100

Site	Comp	Matrix	Jan	Febr	Mar	Apr	May	June	July	Aug	Sept	Oct	Nov	Dec	2020	
															Annual	Capt.
HR0002R	benz_a_anthracene	aerosol	0,147	0,0722	0,1737	0,0578	0,0252	0,0104	0,0126	0,0148	0,0434	0,031	0,0888	0,1413	0,068	89
HR0002R	benzo_a_pyrene	aerosol	0,1407	0,0678	0,125	0,0457	0,0248	0,0114	0,0194	0,0219	0,0241	0,0283	0,0631	0,1127	0,0567	89
HR0002R	benzo_bjk_fluoranthenes	aerosol	0,2678	0,1194	0,2633	0,1015	0,06	0,0275	0,0303	0,0381	0,0652	0,0567	0,1465	0,2582	0,1198	89
HR0002R	benzo_ghi_perylene	aerosol	0,13	0,0711	0,125	0,0457	0,0271	0,0111	0,0121	0,0168	0,0297	0,0348	0,0754	0,119	0,0574	89
HR0002R	chrysene	aerosol	0,22	0,0911	0,2177	0,0939	0,0458	0,0125	0,0232	0,0277	0,0579	0,0397	0,125	0,1947	0,096	89
HR0002R	inden_123cd_pyrene	aerosol	0,2197	0,11	0,235	0,0796	0,041	0,0118	0,0142	0,0235	0,0514	0,0576	0,1565	0,2147	0,1006	89
IS0091R	BDE_100	air+aerosol	-	-	-	0,11	0,0881	0,1103	0,1034	0,0873	0,11	0,0892	0,0913	0,0878	0,096	67
IS0091R	BDE_47	air+aerosol	-	-	-	0,11	0,0881	0,1103	0,1034	0,0873	0,11	0,0892	0,0913	0,0878	0,096	67
IS0091R	BDE_99	air+aerosol	-	-	-	0,11	0,0881	0,1103	0,1034	0,0873	0,11	0,0892	0,0913	0,0878	0,096	67
IS0091R	HCB	air+aerosol	-	-	-	5,3	3,3748	3,5032	3,4638	2,5922	4,5463	3,4398	3,9746	3,8706	3,6063	67
IS0091R	PCB_101	air+aerosol	-	-	-	0,55	0,6002	0,8234	0,8596	0,7511	0,6892	-	-	-	-	-
IS0091R	PCB_105	air+aerosol	-	-	-	0,11	0,0881	0,1103	0,1034	0,0873	0,11	-	-	-	-	-
IS0091R	PCB_118	air+aerosol	-	-	-	0,11	0,2103	0,303	0,3325	0,2712	0,1124	-	-	-	-	-
IS0091R	PCB_138	air+aerosol	-	-	-	0,11	0,0881	0,1103	0,1034	0,0873	0,11	-	-	-	-	-
IS0091R	PCB_153	air+aerosol	-	-	-	0,22	0,1761	0,2718	0,2067	0,1973	0,22	-	-	-	-	-
IS0091R	PCB_156	air+aerosol	-	-	-	0,11	0,0881	0,1103	0,1034	0,0873	0,11	0,0892	0,0913	0,0878	0,096	67
IS0091R	PCB_180	air+aerosol	-	-	-	0,11	0,0881	0,1103	0,1034	0,0873	0,11	0,0892	0,0913	0,0878	0,096	67
IS0091R	PCB_28	air+aerosol	-	-	-	2,74	2,508	2,7071	2,1352	2,0531	1,4903	-	-	-	-	-
IS0091R	PCB_31	air+aerosol	-	-	-	3,34	3,0327	3,276	2,8867	2,6392	1,9599	-	-	-	-	-
IS0091R	PCB_52	air+aerosol	-	-	-	1,16	1,2102	1,2916	1,1763	1,1327	0,7828	-	-	-	-	-
IS0091R	alpha_HCH	air+aerosol	-	-	-	2,34	1,6815	1,8021	1,5445	1,3107	2,1817	1,8474	1,6025	1,6498	1,7073	67
IS0091R	beta_HCH	air+aerosol	-	-	-	0,99	0,7705	0,8219	0,5266	0,3776	0,4088	0,3569	0,2547	0,1685	0,4673	67
IS0091R	cis_CD	air+aerosol	-	-	-	0,65	0,6563	0,6681	0,5685	0,6573	0,5975	0,6881	0,625	0,5379	0,6255	67
IS0091R	dieldrin	air+aerosol	-	-	-	0,43	0,5303	0,5836	0,5376	0,5969	0,5595	0,3947	0,4449	0,4953	0,517	67
IS0091R	gamma_HCH	air+aerosol	-	-	-	1	0,7554	0,9749	0,7674	0,6263	0,7107	-	-	-	-	-
IS0091R	op_DDT	air+aerosol	-	-	-	0,11	0,0881	0,1103	0,1034	0,0873	0,11	0,0892	0,0913	0,0878	0,096	67
IS0091R	pp_DDD	air+aerosol	-	-	-	0,11	0,0881	0,1103	0,1034	0,0873	0,11	0,0892	0,0913	0,0878	0,096	67
IS0091R	pp_DDE	air+aerosol	-	-	-	0,11	0,1727	0,2684	0,1689	0,1839	0,1243	0,2112	0,0913	0,0878	0,1635	67
IS0091R	pp_DDT	air+aerosol	-	-	-	0,22	0,1792	0,2185	0,2047	0,1745	0,22	0,1755	0,1821	0,1781	0,1918	67
IS0091R	trans_CD	air+aerosol	-	-	-	0,21	0,2037	0,1173	0,1164	0,1555	0,11	-	-	-	-	-
IS0091R	trans_NO	air+aerosol	-	-	-	0,44	0,4525	0,5515	0,3763	0,4614	0,4501	0,5332	0,5598	0,5443	0,49	67
LV0010R	benz_a_anthracene	pm10	0,4907	0,5368	0,2922	0,1775	0,1161	0,0617	0,0502	0,0597	0,0818	0,2337	0,6878	0,7369	0,2998	47
LV0010R	benzo_a_pyrene	pm10	0,3728	0,4166	0,1675	0,1235	0,0611	0,0224	0,0096	0,0267	0,0688	0,1623	0,6256	0,4643	0,2144	47
LV0010R	benzo_b_fluoranthene	pm10	0,4301	0,492	0,2298	0,1464	0,0714	0,0425	0,0375	0,0528	0,1034	0,2376	0,8455	0,7734	0,2943	47
LV0010R	benzo_k_fluoranthene	pm10	0,2372	0,26	0,1206	0,0878	0,0422	0,0215	0,0192	0,0306	0,0552	0,1509	0,5	0,4476	0,1676	47
LV0010R	dibenzo_ah_anthracene	pm10	0,0438	0,0478	0,0302	0,0065	0,0065	0,0065	0,0065	0,0065	0,0065	0,0196	0,0984	0,1247	0,0346	47
LV0010R	inden_123cd_pyrene	pm10	0,3985	0,44	0,2138	0,1464	0,0568	0,0253	0,0145	0,0222	0,0798	0,1831	0,7025	0,6236	0,2462	47
NO0002R	FTS_6-2	air+aerosol	0,04	0,04	0,04	0,04	0,042	0,171	0,04	0,04	0,04	0,04	0,04	0,04	0,0509	100

Site	Comp	Matrix	Jan	Febr	Mar	Apr	May	June	July	Aug	Sept	Oct	Nov	Dec	2020		
															Annual	Capt.	
NO0002R	PFBS	air+aerosol	0,02	0,02	0,02	0,02	0,02	0,02	0,02	0,02	0,02	0,02	0,02	0,02	0,02	0,02	100
NO0002R	PFHpA	air+aerosol	0,05	0,05	0,05	0,05	0,203	0,074	0,05	0,075	0,05	0,05	0,05	0,05	0,05	0,067	100
NO0002R	PFHxA	air+aerosol	0,05	0,05	0,05	0,05	0,241	0,119	0,05	0,095	0,05	0,05	0,05	0,05	0,05	0,0756	100
NO0002R	PFHxS	air+aerosol	0,02	0,02	0,02	0,02	0,02	0,02	0,02	0,02	0,02	0,02	0,02	0,02	0,02	0,02	100
NO0002R	PFNA	air+aerosol	0,05	0,05	0,05	0,05	0,212	0,081	0,05	0,095	0,05	0,05	0,093	0,05	0,0736	100	
NO0002R	PFOA	air+aerosol	0,057	0,058	0,061	0,071	0,364	0,17	0,058	0,185	0,078	0,081	0,128	0,067	0,1152	100	
NO0002R	a_HBCD	air+aerosol	0,037	0,0049	0,036	0,0067	-	0,0066	0,005	0,005	0,005	0,0068	0,0059	0,0087	0,0126	41	
NO0002R	b_HBCD	air+aerosol	0,0078	0,0022	0,0097	0,0022	-	0,0043	0,0022	0,0023	0,0024	0,0022	0,0024	0,0026	0,0038	41	
NO0002R	g_HBCD	air+aerosol	0,008	0,0031	0,0202	0,0031	-	0,0059	0,0032	0,0032	0,0032	0,0032	0,0031	0,0031	0,0056	41	
NO0002R	1-methylnaphthalene	air+aerosol	0,1022	0,0366	0,0431	0,0281	0,0177	0,0146	0,0148	0,0212	0,025	0,0431	0,0712	0,1976	0,0535	14	
NO0002R	1-methylphenanthrene	air+aerosol	0,0374	0,0256	0,0342	0,0271	0,0217	0,1101	0,015	0,016	0,03	0,0449	0,0529	0,0579	0,0406	13	
NO0002R	2-methylantracene	air+aerosol	0,0031	0,0017	0,0019	0,0021	0,0019	0,0027	0,002	0,0019	0,0021	0,0026	0,0033	0,0025	0,0024	12	
NO0002R	2-methylnaphthalene	air+aerosol	0,1227	0,0466	0,0516	0,0391	0,0248	0,0202	0,0168	0,0239	0,0312	0,0514	0,0823	0,2103	0,0624	14	
NO0002R	2-methylphenanthrene	air+aerosol	0,0548	0,0308	0,055	0,0299	0,0275	0,0872	0,022	0,0391	0,0513	0,0678	0,0774	0,091	0,0544	14	
NO0002R	3-methylphenanthrene	air+aerosol	0,0499	0,0281	0,0471	0,0236	0,0242	0,0615	0,0203	0,036	0,0478	0,0615	0,0737	0,0767	0,0469	14	
NO0002R	9-methylphenanthrene	air+aerosol	0,0184	0,0107	0,0159	0,0093	0,0102	0,0223	0,0091	0,011	0,0169	0,0204	0,0262	0,0303	0,0172	14	
NO0002R	BDE_100	air+aerosol	0,0069	0,0025	0,0096	0,0034	0,004	0,0029	0,0037	0,002	0,0049	0,0062	0,0074	0,0095	0,0055	46	
NO0002R	BDE_119	air+aerosol	0,0023	0,002	0,002	0,002	0,002	0,006	0,0021	0,0058	0,0021	0,0021	0,002	0,002	0,002	46	
NO0002R	BDE_138	air+aerosol	0,0093	0,002	0,005	0,002	0,002	0,0021	0,0021	0,003	0,0021	0,0021	0,002	0,002	0,003	46	
NO0002R	BDE_153	air+aerosol	0,0208	0,0027	0,004	0,004	0,0023	0,0034	0,0023	0,0079	0,0025	0,0047	0,0047	0,0023	0,005	46	
NO0002R	BDE_154	air+aerosol	0,0182	0,0019	0,002	0,0057	0,0019	0,0033	0,0019	0,0061	0,0033	0,0052	0,0033	0,0023	0,0046	46	
NO0002R	BDE_183	air+aerosol	0,0967	0,0024	0,003	0,0172	0,0025	0,005	-	0,059	0,0119	0,0171	0,0048	0,003	0,0188	41	
NO0002R	BDE_196	air+aerosol	0,0463	0,0039	0,007	0,0039	0,004	0,004	0,004	0,012	0,004	0,0128	0,0039	0,0039	0,0094	46	
NO0002R	BDE_206	air+aerosol	0,198	0,0532	0,0721	0,0633	0,054	0,0547	0,0545	0,0713	0,0546	0,0545	0,0535	0,0536	0,071	46	
NO0002R	BDE_209	air+aerosol	1,14	0,562	0,678	0,656	0,57	0,578	0,576	0,582	0,576	0,575	0,566	0,566	0,6442	46	
NO0002R	BDE_28	air+aerosol	0,0083	0,0025	0,0202	0,0052	0,0045	0,006	0,0047	0,0072	0,0048	0,006	0,0068	0,0057	0,0068	46	
NO0002R	BDE_47	air+aerosol	0,0388	0,0179	0,136	0,0277	0,0295	0,066	0,0453	0,0637	0,0545	0,0632	0,0764	0,104	0,0591	46	
NO0002R	BDE_49	air+aerosol	0,0088	0,0021	0,0128	0,0049	0,044	0,0078	0,0055	0,0072	0,0067	0,0068	0,0072	0,0066	0,0104	46	
NO0002R	BDE_66	air+aerosol	0,0047	0,0014	0,007	0,0032	0,0462	0,0048	-	0,004	0,0035	0,0038	0,0042	0,0039	0,0085	41	
NO0002R	BDE_71	air+aerosol	0,0018	0,001	0,0039	0,001	0,0456	0,001	0,0052	0,001	0,001	0,0012	0,0067	0,001	0,0064	46	
NO0002R	BDE_77	air+aerosol	0,0014	0,001	0,0016	0,001	0,001	0,001	0,001	0,001	0,001	0,001	0,001	0,001	0,0011	46	
NO0002R	BDE_85	air+aerosol	0,0022	0,001	0,002	0,001	0,001	0,001	0,001	0,003	0,001	0,0011	0,0014	0,001	0,0013	46	
NO0002R	BDE_99	air+aerosol	0,0284	0,0114	0,0397	0,0134	0,0104	0,0246	0,0136	0,019	0,0172	0,0207	0,0294	0,0318	0,0214	46	
NO0002R	HCB	air+aerosol	46,2911	45,1521	48,6299	42,4109	39,0031	24,4661	20,7021	22,4333	32,7289	36,1214	35,695	42,2529	36,4728	13	
NO0002R	PCB_101	air+aerosol	0,5069	0,2941	0,2425	0,1905	0,329	0,8155	0,254	1,1712	0,2792	0,5586	0,3702	0,5944	0,4354	13	
NO0002R	PCB_105	air+aerosol	0,0338	0,0215	0,0156	0,0141	0,0232	0,0534	0,016	0,0762	0,0212	0,0532	0,0247	0,0448	0,0311	13	
NO0002R	PCB_114	air+aerosol	0,0048	0,0031	0,0025	0,0027	0,0035	0,0055	0,004	0,0057	0,0047	0,0076	0,0026	0,0075	0,0045	13	
NO0002R	PCB_118	air+aerosol	0,1235	0,0773	0,0575	0,0463	0,0805	0,1903	0,0745	0,2727	0,0703	0,18	0,0945	0,1563	0,1135	13	

Site	Comp	Matrix	Jan	Febr	Mar	Apr	May	June	July	Aug	Sept	Oct	Nov	Dec	2020	
															Annual	Capt.
NO0002R	PCB_122	air+aerosol	0,0051	0,0035	0,0025	0,0029	0,0036	0,0047	0,0039	0,0057	0,0049	0,0061	0,004	0,0065	0,0044	12
NO0002R	PCB_123	air+aerosol	0,0053	0,0037	0,0033	0,0036	0,0032	0,0058	0,0054	0,0144	0,0047	0,0037	0,0038	0,0066	0,0049	13
NO0002R	PCB_128	air+aerosol	0,0232	0,0141	0,0085	0,0073	0,0182	0,0248	0,009	0,0522	0,0085	0,0241	0,0192	0,0306	0,0177	13
NO0002R	PCB_138	air+aerosol	0,1768	0,106	0,0818	0,0628	0,1163	0,3511	0,1048	0,4318	0,1113	0,2075	0,1277	0,2189	0,1637	13
NO0002R	PCB_141	air+aerosol	0,0423	0,0239	0,0224	0,0167	0,0324	0,1106	0,0191	0,13	0,025	0,053	0,034	0,0544	0,0441	13
NO0002R	PCB_149	air+aerosol	0,3279	0,1972	0,1477	0,1114	0,2133	0,6571	0,1732	0,8674	0,1909	0,3164	0,2426	0,3647	0,2915	13
NO0002R	PCB_153	air+aerosol	0,3028	0,1787	0,14	0,1029	0,1838	0,5512	0,1658	0,7362	0,1705	0,3016	0,218	0,3485	0,2641	13
NO0002R	PCB_156	air+aerosol	0,009	0,0055	0,0049	0,0039	0,0062	0,0101	0,0034	0,0147	0,0037	0,0105	0,0062	0,0129	0,0071	13
NO0002R	PCB_157	air+aerosol	0,0025	0,0025	0,0028	0,0025	0,0026	0,0026	0,0031	0,0034	0,0026	0,0028	0,0026	0,0039	0,0028	13
NO0002R	PCB_167	air+aerosol	0,0075	0,0042	0,0035	0,0031	0,0041	0,0055	0,0038	0,0065	0,0032	0,0064	0,0043	0,0084	0,005	12
NO0002R	PCB_170	air+aerosol	0,0147	0,0086	0,0095	0,007	0,0116	0,0363	0,0082	0,0345	0,0083	0,0222	0,0128	0,0268	0,016	13
NO0002R	PCB_18	air+aerosol	1,318	0,8881	1,0182	0,6282	0,8085	1,3808	0,3472	1,2321	0,4464	1,6443	0,9486	2,1983	1,0648	13
NO0002R	PCB_180	air+aerosol	0,0444	0,0257	0,0267	0,0186	0,0359	0,1171	0,0299	0,113	0,0328	0,0553	0,0369	0,0767	0,0497	13
NO0002R	PCB_183	air+aerosol	0,0214	0,0131	0,0114	0,0086	0,0158	0,0448	0,0071	0,0621	0,0134	0,0237	0,0178	0,0303	0,0203	12
NO0002R	PCB_187	air+aerosol	0,078	0,0485	0,0349	0,0276	0,047	0,117	0,0375	0,1628	0,0367	0,0577	0,0585	0,0919	0,0621	13
NO0002R	PCB_189	air+aerosol	0,0026	0,0026	0,0027	0,0026	0,0026	0,0026	0,0028	0,0028	0,0028	0,0027	0,0026	0,0037	0,0028	13
NO0002R	PCB_194	air+aerosol	0,0042	0,0032	0,0043	0,0032	0,0035	0,0077	0,0032	0,0051	0,0034	0,0055	0,0032	0,0125	0,0047	13
NO0002R	PCB_206	air+aerosol	0,0056	0,0056	0,0056	0,0056	0,0056	0,0057	0,0057	0,0057	0,0057	0,0058	0,0056	0,0074	0,0058	13
NO0002R	PCB_209	air+aerosol	0,0039	0,003	0,0037	0,0029	0,0034	0,0029	0,0028	0,0032	0,0031	0,0033	0,0028	0,006	0,0035	13
NO0002R	PCB_28	air+aerosol	0,6287	0,4205	0,4516	0,3146	0,4219	1,1303	0,2829	1,0436	0,3225	1,0996	0,5644	1,2493	0,6508	13
NO0002R	PCB_31	air+aerosol	0,6459	0,4231	0,4436	0,3098	0,428	0,99	0,2531	0,9723	0,2943	0,9459	0,5121	1,102	0,5973	13
NO0002R	PCB_33	air+aerosol	0,3397	0,2194	0,2295	0,144	0,2163	0,5121	0,1429	0,5291	0,1688	0,5435	0,2896	0,6624	0,3279	13
NO0002R	PCB_37	air+aerosol	0,0586	0,0364	0,0246	0,0184	0,0368	0,0787	0,0276	0,0948	0,0437	0,1048	0,0621	0,134	0,0603	13
NO0002R	PCB_47	air+aerosol	0,7197	0,359	0,3347	0,3263	0,5532	1,2785	0,5973	1,3798	0,6381	0,6068	0,4528	0,6366	0,6264	13
NO0002R	PCB_52	air+aerosol	0,8206	0,4987	0,4786	0,3778	0,5498	1,1494	0,3607	1,5223	0,4156	0,92	0,599	1,0026	0,6876	13
NO0002R	PCB_66	air+aerosol	0,1822	0,1086	0,0929	0,0705	0,1146	0,2778	0,0984	0,3561	0,1188	0,2735	0,1601	0,2754	0,1708	13
NO0002R	PCB_74	air+aerosol	0,1339	0,0808	0,0693	0,0559	0,087	0,2038	0,0671	0,2498	0,0845	0,1961	0,1115	0,2007	0,1239	13
NO0002R	PCB_99	air+aerosol	0,1901	0,118	0,0889	0,0708	0,1066	0,2335	0,0936	0,3567	0,0893	0,2376	0,1344	0,2234	0,1547	13
NO0002R	TBA	air+aerosol	6,15	4,39	3,67	1,27	1,87	2,13	2,28	4,52	5,32	5,44	5,29	8,61	4,2718	46
NO0002R	acenaphthene	air+aerosol	0,1625	0,1036	0,0792	0,1061	0,039	0,0444	0,0317	0,0996	0,0679	0,0447	0,1336	0,0933	0,083	14
NO0002R	acenaphthylene	air+aerosol	0,0039	0,0295	0,0081	0,0192	0,0501	0,0066	0,0071	0,0034	0,0053	0,0241	0,0266	0,0372	0,0184	14
NO0002R	alpha_HCH	air+aerosol	2,03	1,9725	2,16	2,08	4,26	9,24	-	4,9	5,03	4,85	3,06	2,26	3,8057	3
NO0002R	anthanthrene	air+aerosol	0,0011	0,0011	0,0022	0,001	0,0012	0,0014	0,001	0,0011	0,0013	0,0015	0,0019	0,0044	0,0017	14
NO0002R	anthracene	air+aerosol	0,0047	0,0127	0,006	0,014	0,0192	0,0565	0,005	0,003	0,007	0,0066	0,0176	0,0061	0,0142	13
NO0002R	benz_a_anthracene	air+aerosol	0,0068	0,0068	0,012	0,0024	0,0031	0,0105	0,0015	0,0029	0,0114	0,0117	0,017	0,024	0,0097	14
NO0002R	benzo_a_fluoranthene	air+aerosol	0,0013	0,0015	0,003	0,001	0,0015	0,0013	0,001	0,001	0,0015	0,0017	0,0032	0,0088	0,0024	14
NO0002R	benzo_a_fluorene	air+aerosol	0,0078	0,0052	0,0085	0,003	0,0061	0,008	0,0019	0,0024	0,0095	0,0103	0,0137	0,0209	0,0085	14
NO0002R	benzo_a_pyrene	air+aerosol	0,003	0,0052	0,0138	0,0031	0,0054	0,007	0,0012	0,005	0,0096	0,0076	0,0126	0,0259	0,0087	14

Site	Comp	Matrix	Jan	Febr	Mar	Apr	May	June	July	Aug	Sept	Oct	Nov	Dec	2020	
															Annual	Capt.
NO0002R	benzo_b_fluoranthene	air+aerosol	0,0266	0,0229	0,0454	0,0144	0,0188	0,0424	0,0035	0,0168	0,0786	0,0328	0,0578	0,0575	0,0366	14
NO0002R	benzo_b_fluorene	air+aerosol	0,0057	0,003	0,0047	0,0018	0,0051	0,0053	0,0014	0,0018	0,0057	0,0051	0,0095	0,0104	0,0051	13
NO0002R	benzo_e_pyrene	air+aerosol	0,0164	0,0133	0,0262	0,009	0,0117	0,0255	0,003	0,0116	0,0416	0,0241	0,0347	0,0326	0,0217	14
NO0002R	benzo_ghi_perylene	air+aerosol	0,0156	0,0144	0,0257	0,01	0,0111	0,0175	0,0064	0,0092	0,0285	0,0254	0,0311	0,0422	0,0206	14
NO0002R	benzo_k_fluoranthene	air+aerosol	0,0076	0,0066	0,0154	0,0039	0,0052	0,0103	0,0013	0,0045	0,017	0,0107	0,0183	0,0241	0,011	14
NO0002R	biphenyl	air+aerosol	0,2122	0,1461	0,1355	0,0693	0,0534	0,0235	0,0193	0,02	0,0446	0,1089	0,1292	0,4429	0,1226	14
NO0002R	chrysene	air+aerosol	0,0238	0,0211	0,0445	0,0127	0,0157	0,042	0,0049	0,0166	0,0509	0,0382	0,048	0,0526	0,0323	14
NO0002R	coronene	air+aerosol	0,0055	0,0055	0,0114	0,0036	0,0034	0,0054	0,0023	0,0035	0,0098	0,0103	0,0115	0,0074	0,0068	14
NO0002R	cyclopenta_cd_pyrene	air+aerosol	0,001	-	0,001	0,001	-	-	0,001	0,001	-	-	-	-	0,001	2
NO0002R	dibenzo_ae_pyrene	air+aerosol	0,0031	0,0024	0,0043	0,0025	0,0023	0,0041	0,001	0,0026	0,0066	0,0052	0,0053	0,0075	0,0041	14
NO0002R	dibenzo_ah_anthracene	air+aerosol	0,0021	0,0017	0,0033	0,0014	0,0015	0,0026	0,001	0,0019	0,0037	0,0037	0,0039	0,0061	0,0028	14
NO0002R	dibenzo_ah_pyrene	air+aerosol	0,0012	0,001	0,001	0,0012	0,0013	0,0014	0,001	0,0013	0,001	0,0012	0,001	0,0018	0,0012	14
NO0002R	dibenzo_ai_pyrene	air+aerosol	0,0012	0,001	0,0012	0,001	0,001	0,0014	0,001	0,001	0,001	0,0012	0,0011	0,0021	0,0012	14
NO0002R	dibenzofuran	air+aerosol	0,6573	0,4649	0,5529	0,3344	0,2769	0,2012	0,1149	0,1714	0,2504	0,4254	0,4855	1,7305	0,4944	14
NO0002R	dibenzothiophene	air+aerosol	0,0257	0,0115	0,0321	0,009	0,0096	0,0424	0,0142	0,031	0,0375	0,0349	0,0282	0,023	0,0254	14
NO0002R	fluoranthene	air+aerosol	0,1922	0,1157	0,2103	0,0997	0,0883	0,197	0,0548	0,1009	0,177	0,1725	0,2626	0,4454	0,1838	14
NO0002R	fluorene	air+aerosol	0,5683	0,3291	0,3959	0,2379	0,1835	0,2059	0,1135	0,2204	0,261	0,3504	0,4898	1,4647	0,4193	14
NO0002R	gamma_HCH	air+aerosol	1,5	0,7039	1,56	1,07	5,79	4,33	2,66	10,6	1,3126	1,54	0,93	1,71	2,684	4
NO0002R	inden_123cd_pyrene	air+aerosol	0,0132	0,0139	0,0264	0,009	0,0096	0,0154	0,0024	0,0059	0,022	0,0215	0,0286	0,044	0,0185	14
NO0002R	naphthalene	air+aerosol	0,2325	0,104	0,1001	0,043	0,0397	0,0279	0,0278	0,0292	0,0412	0,0909	0,1347	0,5719	0,1273	14
NO0002R	op_DDD	air+aerosol	0,0181	0,0121	0,0127	0,0065	0,0257	0,0392	0,0184	0,059	0,0163	0,0172	0,0158	0,0315	0,0221	4
NO0002R	op_DDE	air+aerosol	0,0679	0,0526	0,0458	0,0191	0,0638	0,186	0,0329	0,12	0,0236	0,0625	0,0438	0,199	0,072	4
NO0002R	op_DDT	air+aerosol	0,133	0,0814	0,118	0,0717	0,369	0,766	0,108	0,67	0,0773	0,171	0,0886	0,241	0,2279	4
NO0002R	perylene	air+aerosol	0,0011	0,0013	0,002	0,001	0,0012	0,0012	0,001	0,0011	0,0017	0,0011	0,0022	0,0044	0,0017	14
NO0002R	phenanthrene	air+aerosol	0,797	0,4879	0,6147	0,4806	0,4407	1,0752	0,3499	0,6662	0,7938	0,7861	1,1795	1,6384	0,7971	14
NO0002R	pp_DDD	air+aerosol	0,0092	0,0074	0,0093	0,0069	0,0166	0,0209	0,0096	0,0316	0,0107	0,007	0,01	0,0451	0,0149	4
NO0002R	pp_DDE	air+aerosol	1,2	0,6402	0,633	0,315	1,15	1,17	0,367	3,02	0,316	0,962	0,543	2,68	1,0135	4
NO0002R	pp_DDT	air+aerosol	0,132	0,0619	0,124	0,0941	0,437	0,674	0,143	0,787	0,1065	0,185	0,104	0,401	0,2571	4
NO0002R	pyrene	air+aerosol	0,0844	0,0584	0,1023	0,0431	0,0428	0,0921	0,0276	0,038	0,0904	0,1079	0,1334	0,1852	0,087	14
NO0002R	retene	air+aerosol	0,0442	0,0247	0,0315	0,026	0,0149	0,1572	0,0217	0,0145	0,0531	0,0543	0,0595	0,0529	0,0489	14
NO0002R	sum_DDT	air+aerosol	1,5602	0,8557	0,9428	0,5133	2,0621	2,8561	0,6789	4,6876	0,5504	1,4047	0,8052	3,5976	1,6076	4
NO0002R	sum_PCB	air+aerosol	10,6945	6,548	6,3548	4,6025	6,9925	15,2649	4,3512	17,9614	5,2342	13,66	8,3341	16,1453	9,3329	13
NO0002R	sum_heptachlor_PCB	air+aerosol	0,2143	0,1262	0,0995	0,0793	0,1586	0,4134	0,106	0,4654	0,0732	0,1928	0,1753	0,3214	0,191	13
NO0002R	sum_hexachlor_PCB	air+aerosol	1,1109	0,6422	0,5148	0,3673	0,7127	2,1165	0,5843	2,664	0,4729	0,9987	0,8071	1,2736	0,9486	13
NO0002R	sum_pentachlor_PCB	air+aerosol	1,4523	0,838	0,6788	0,5534	0,9623	2,2818	0,8643	3,1642	0,6976	1,7742	1,0899	1,7952	1,2756	13
NO0002R	sum_tetrachlor_PCB	air+aerosol	3,6185	2,0743	1,9432	1,5954	2,4063	4,9045	2,2255	6,3733	2,1276	4,2491	2,6603	4,5202	3,1131	13
NO0002R	sum_trichlor_PCB	air+aerosol	4,2849	2,8556	3,1049	1,9955	2,7397	5,5324	1,6889	5,2804	1,8508	6,4308	3,5899	8,2089	3,9842	13
NO0042	BDE_100	air+aerosol	0,004	0,0033	0,0042	0,0122	0,0181	0,0118	0,0099	0,0088	0,0074	0,01	0,0113	0,0084	0,0093	39

Site	Comp	Matrix	Jan	Febr	Mar	Apr	May	June	July	Aug	Sept	Oct	Nov	Dec	2020	
															Annual	Capt.
NO0042	BDE_119	air+aerosol	0,0029	0,0026	0,0026	0,0027	0,0027	0,0027	0,0028	0,003	0,0027	0,0024	0,0026	0,0021	0,0026	43
NO0042	BDE_138	air+aerosol	0,0021	0,0026	0,0026	0,0027	0,0027	0,0027	0,0028	0,003	0,0027	0,0024	0,0026	0,0021	0,0026	43
NO0042	BDE_153	air+aerosol	0,0024	0,0029	0,003	0,0032	0,0035	0,0032	0,0032	0,0035	0,0034	0,0039	0,005	0,0024	0,0033	42
NO0042	BDE_154	air+aerosol	0,002	0,0024	0,0025	0,0025	0,0026	0,003	0,0028	0,0029	0,0027	0,0031	0,0037	0,002	0,0026	42
NO0042	BDE_183	air+aerosol	0,0026	0,0031	0,0032	0,0034	0,0042	0,0037	0,0034	0,0037	0,0035	0,0029	0,011	0,0026	0,0039	41
NO0042	BDE_196	air+aerosol	0,0047	0,0055	0,0062	0,0086	0,0128	0,0065	0,0054	0,006	0,0093	0,0103	0,0076	0,0103	0,0079	42
NO0042	BDE_206	air+aerosol	0,2679	0,182	0,4055	0,3483	0,5484	0,1657	0,075	0,1059	0,4843	0,4912	0,2372	0,2836	0,3055	42
NO0042	BDE_209	air+aerosol	16,1925	10,2203	24,4678	19,3615	25,5561	6,5403	1,1796	3,2974	24,8104	25,7422	170,2303	14,6679	28,3629	43
NO0042	BDE_28	air+aerosol	0,004	0,0128	0,0039	0,0063	0,0079	0,0088	0,0099	0,0082	0,008	0,0089	0,0089	0,0066	0,0077	41
NO0042	BDE_47	air+aerosol	0,056	0,0437	0,0612	0,1364	0,1701	0,1728	0,1674	0,1545	0,1169	0,1315	0,1284	0,0969	0,1181	43
NO0042	BDE_49	air+aerosol	0,0188	0,0021	0,0028	0,0052	0,0058	0,0057	0,0066	0,0059	0,0055	0,0081	0,0061	0,0044	0,0066	40
NO0042	BDE_66	air+aerosol	0,0174	0,0019	0,0019	0,0454	0,0034	0,0035	0,0037	0,0037	0,0035	0,0025	0,0042	0,0022	0,008	41
NO0042	BDE_71	air+aerosol	0,0176	0,001	0,001	0,0021	0,001	0,001	0,001	0,0011	0,0011	0,001	0,0011	0,0011	0,0026	41
NO0042	BDE_77	air+aerosol	0,001	0,001	0,001	0,001	0,001	0,001	0,001	0,0011	0,001	0,0011	0,0011	0,001	0,001	43
NO0042	BDE_85	air+aerosol	0,001	0,001	0,001	0,0011	0,0011	0,0011	0,0012	0,0013	0,0011	0,001	0,0017	0,0011	0,0011	43
NO0042	BDE_99	air+aerosol	0,0099	0,0089	0,0114	0,0279	0,061	0,0409	0,0403	0,0319	0,0254	0,0369	0,0437	0,0206	0,0294	43
NO0042	FTS_6-2	air+aerosol	0,04	0,04	0,04	0,04	0,04	0,04	0,04	0,04	0,04	0,04	0,04	0,04	0,04	100
NO0042	PFBS	air+aerosol	0,02	0,02	0,02	0,02	0,02	0,02	0,02	0,02	0,02	0,02	0,023	0,02	0,0202	100
NO0042	PFHpA	air+aerosol	0,05	0,05	0,05	0,075	0,05	0,05	0,05	0,05	0,05	0,05	0,05	0,05	0,052	100
NO0042	PFHxA	air+aerosol	0,05	0,05	0,05	0,083	0,05	0,05	0,05	0,065	0,05	0,05	0,092	0,05	0,0574	100
NO0042	PFHxS	air+aerosol	0,02	0,02	0,02	0,02	0,02	0,02	0,02	0,02	0,02	0,02	0,02	0,02	0,02	100
NO0042	PFNA	air+aerosol	0,02	0,029	0,026	0,088	0,02	0,02	0,034	0,021	0,02	0,026	0,036	0,035	0,0312	100
NO0042	PFOA	air+aerosol	0,039	0,128	0,055	0,193	0,033	0,027	0,046	0,041	0,032	0,05	0,161	0,084	0,0735	100
NO0042	TBA	air+aerosol	3,1033	3,1467	1,8353	1,1437	3,3248	9,8168	13,1986	12,3441	17,7948	12,801	11,0562	9,1827	8,2274	43
NO0042	a_HBCD	air+aerosol	0,1197	0,3092	0,8377	0,8442	0,1397	0,4259	0,0145	0,0906	0,1653	0,4816	0,2554	0,0755	0,3228	23
NO0042	b_HBCD	air+aerosol	0,017	0,0529	0,1498	0,1521	0,0252	0,0827	0,0046	0,0207	0,0316	0,0832	0,0447	0,0144	0,058	23
NO0042	g_HBCD	air+aerosol	0,0136	0,0408	0,0763	0,0792	0,0124	0,0513	0,0135	0,0162	0,0183	0,0594	0,0297	0,0278	0,0375	23
NO0042	1-methylnaphthalene	air+aerosol	0,2681	0,2094	0,0551	0,0282	0,0186	0,0101	0,0121	0,0214	0,0141	0,0423	0,049	0,158	0,076	29
NO0042	1-methylphenanthrene	air+aerosol	0,0045	0,0034	0,0012	0,0011	0,0011	0,0012	0,0015	0,0016	0,0011	0,0013	0,0019	0,0016	0,0018	29
NO0042	2-methylantracene	air+aerosol	0,001	0,001	0,0012	0,001	0,001	0,001	0,001	0,001	0,0011	0,001	0,002	0,001	0,0011	21
NO0042	2-methylnaphthalene	air+aerosol	0,2984	0,2164	0,0757	0,0446	0,0292	0,016	0,0197	0,0343	0,021	0,0591	0,0656	0,1682	0,0899	29
NO0042	2-methylphenanthrene	air+aerosol	0,0056	0,0048	0,0017	0,0014	0,0013	0,0019	0,0023	0,0027	0,0017	0,0021	0,0035	0,0028	0,0027	29
NO0042	3-methylphenanthrene	air+aerosol	0,0045	0,0036	0,0014	0,0012	0,0011	0,0015	0,002	0,0022	0,0014	0,0016	0,0027	0,0021	0,0021	29
NO0042	9-methylphenanthrene	air+aerosol	0,0024	0,0018	0,0012	0,001	0,001	0,0011	0,0015	0,0018	0,0011	0,0011	0,0017	0,0011	0,0014	29
NO0042	acenaphthene	air+aerosol	0,009	0,0047	0,0044	0,0018	0,0019	0,0023	0,003	0,0028	0,0035	0,0035	0,0054	0,0036	0,0039	29
NO0042	acenaphthylene	air+aerosol	0,0035	0,0033	0,0022	0,0012	0,001	0,001	0,0012	0,0016	0,0013	0,0012	0,0015	0,0017	0,0018	29
NO0042	anthanthrene	air+aerosol	0,0011	0,001	0,001	0,001	0,001	0,001	0,001	0,001	0,001	0,001	0,001	0,001	0,001	29
NO0042	anthracene	air+aerosol	0,0014	0,001	0,001	0,001	0,001	0,001	0,001	0,001	0,0064	0,0066	0,0017	0,001	0,002	29

Site	Comp	Matrix	Jan	Febr	Mar	Apr	May	June	July	Aug	Sept	Oct	Nov	Dec	2020	
															Annual	Capt.
NO0042	benz_a_anthracene	air+aerosol	0,0072	0,0047	0,001	0,001	0,001	0,001	0,001	0,001	0,001	0,001	0,001	0,0016	0,002	29
NO0042	benzo_a_fluoranthene	air+aerosol	0,0017	0,0012	0,001	0,001	0,001	0,001	0,001	0,001	0,001	0,001	0,001	0,001	0,0011	29
NO0042	benzo_a_fluorene	air+aerosol	0,0038	0,0026	0,001	0,001	0,001	0,001	0,001	0,001	0,001	0,001	0,001	0,0012	0,0014	29
NO0042	benzo_a_pyrene	air+aerosol	0,0058	0,0047	0,0011	0,0014	0,001	0,0011	0,001	0,001	0,001	0,0011	0,001	0,001	0,0018	29
NO0042	benzo_b_fluoranthene	air+aerosol	0,0206	0,0208	0,0033	0,0012	0,001	0,001	0,001	0,001	0,0011	0,0015	0,0012	0,0035	0,005	29
NO0042	benzo_b_fluorene	air+aerosol	0,0022	0,0015	0,001	0,001	0,001	0,001	0,001	0,001	0,001	0,001	0,001	0,001	0,0012	29
NO0042	benzo_e_pyrene	air+aerosol	0,011	0,0098	0,0019	0,0021	0,001	0,0014	0,001	0,001	0,001	0,0012	0,001	0,0021	0,003	29
NO0042	benzo_ghi_fluoranthene	air+aerosol	-	-	0,001	0,0046	0,001	0,0025	0,001	0,001	0,001	0,001	0,001	0,001	0,0016	21
NO0042	benzo_ghi_perylene	air+aerosol	0,0113	0,0096	0,0018	0,0064	0,001	0,0033	0,001	0,001	0,001	0,0012	0,001	0,0021	0,0036	29
NO0042	benzo_k_fluoranthene	air+aerosol	0,0079	0,0073	0,0013	0,001	0,001	0,001	0,001	0,001	0,001	0,001	0,001	0,0014	0,0023	29
NO0042	biphenyl	air+aerosol	0,8821	1,0692	0,5027	0,1359	0,0217	0,0113	0,0161	0,014	0,038	0,2244	0,2493	0,5693	0,3138	29
NO0042	chrysene	air+aerosol	0,0179	0,0163	0,0011	0,0012	0,001	0,001	0,001	0,001	0,001	0,0015	0,001	0,0033	0,0043	28
NO0042	coronene	air+aerosol	0,0056	0,0052	0,0011	0,0018	0,001	0,0012	0,001	0,001	0,001	0,001	0,001	0,0012	0,0019	29
NO0042	cyclopenta_cd_pyrene	air+aerosol	0,001	-	0,001	0,001	0,001	0,001	0,001	0,001	0,001	0,001	0,001	0,001	0,001	24
NO0042	dibenzo_ae_pyrene	air+aerosol	0,0019	0,0015	0,001	0,001	0,001	0,001	0,001	0,001	0,001	0,001	0,001	0,001	0,0011	29
NO0042	dibenzo_ah_anthracene	air+aerosol	0,0018	0,0012	0,001	0,001	0,001	0,001	0,001	0,001	0,001	0,001	0,001	0,001	0,0011	29
NO0042	dibenzo_ah_pyrene	air+aerosol	0,001	0,001	0,001	0,001	0,001	0,001	0,001	0,001	0,001	0,001	0,001	0,001	0,001	29
NO0042	dibenzo_ai_pyrene	air+aerosol	0,001	0,001	0,001	0,001	0,001	0,001	0,001	0,001	0,001	0,001	0,001	0,001	0,001	29
NO0042	dibenzofuran	air+aerosol	1,0354	1,4071	0,6243	0,2213	0,0385	0,0264	0,0327	0,0313	0,0734	0,2486	0,3938	0,6981	0,4037	29
NO0042	dibenzothiophene	air+aerosol	0,0084	0,009	0,0016	0,0012	0,001	0,001	0,0011	0,001	0,001	0,001	0,0025	0,0054	0,0029	29
NO0042	fluoranthene	air+aerosol	0,0608	0,0623	0,0102	0,0109	0,0033	0,0058	0,0034	0,0026	0,0029	0,0052	0,0118	0,0262	0,0176	29
NO0042	fluorene	air+aerosol	0,5461	0,5859	0,0965	0,0258	0,0115	0,0108	0,01	0,0112	0,0209	0,0554	0,1593	0,3426	0,1589	29
NO0042	inden_123cd_pyrene	air+aerosol	0,011	0,0102	0,0016	0,0013	0,001	0,001	0,001	0,001	0,001	0,0011	0,001	0,0019	0,0029	29
NO0042	naphthalene	air+aerosol	1,0539	1,1984	0,3707	0,1387	0,0913	0,0528	0,0657	0,0814	0,0649	0,1851	0,2031	0,6849	0,354	29
NO0042	perylene	air+aerosol	0,0014	0,001	0,001	0,001	0,001	0,001	0,001	0,001	0,001	0,001	0,001	0,001	0,001	29
NO0042	phenanthrene	air+aerosol	0,0889	0,095	0,0185	0,0109	0,0064	0,0096	0,0124	0,0124	0,0121	0,0197	0,0406	0,0596	0,0325	29
NO0042	pyrene	air+aerosol	0,0311	0,03	0,0055	0,0287	0,003	0,0153	0,0028	0,0025	0,0022	0,003	0,0034	0,0071	0,0116	29
NO0042	retene	air+aerosol	0,0048	0,0018	0,0017	0,0023	0,0016	0,0018	0,0016	0,0015	0,0015	0,0015	0,0015	0,0017	0,002	29
NO0042	HCB	air+aerosol	51,913	52,346	56,372	55,053	53,040	55,288	50,610	58,156	66,371	59,786	38,0577	49,139	54,519	28
NO0042	PCB_101	air+aerosol	0,2157	0,265	0,2427	0,2097	0,1721	0,1729	0,2999	0,3002	0,1843	0,3534	0,2282	0,2246	0,2399	28
NO0042	PCB_105	air+aerosol	0,0234	0,0302	0,0208	0,0231	0,0156	0,0162	0,025	0,0517	0,017	0,0512	0,0442	0,023	0,0282	28
NO0042	PCB_114	air+aerosol	0,0032	0,0052	0,0072	0,0021	0,0024	0,0028	0,0021	0,0032	0,0015	0,0052	0,0049	0,0028	0,0035	25
NO0042	PCB_118	air+aerosol	0,0756	0,097	0,0779	0,0674	0,0477	0,0504	0,0855	0,1389	0,054	0,1487	0,1136	0,0745	0,0858	28
NO0042	PCB_122	air+aerosol	0,0013	0,0031	0,0093	0,0019	0,0012	0,0018	0,0017	0,0035	0,0015	0,003	0,0021	0,0021	0,0025	26
NO0042	PCB_123	air+aerosol	0,0022	0,0034	0,0071	0,0025	0,0017	0,0022	0,0018	0,0036	0,0027	0,0046	0,0038	0,0026	0,0032	26
NO0042	PCB_128	air+aerosol	0,0086	0,0087	0,0113	0,0094	0,0068	0,0065	0,0095	0,026	0,0097	0,028	0,0245	0,0098	0,0129	26
NO0042	PCB_138	air+aerosol	0,0581	0,0657	0,0453	0,0648	0,0464	0,0387	0,0675	0,1274	0,0463	0,1263	0,1126	0,0606	0,0709	27
NO0042	PCB_141	air+aerosol	0,013	0,0123	0,0131	0,0109	0,0106	0,0098	0,0161	0,0248	0,0141	0,0253	0,0243	0,0149	0,0158	27

Site	Comp	Matrix	Jan	Febr	Mar	Apr	May	June	July	Aug	Sept	Oct	Nov	Dec	2020	
															Annual	Capt.
NO0042	PCB_149	air+aerosol	0,0901	0,0981	0,0959	0,1091	0,0819	0,074	0,1335	0,1527	0,0893	0,1716	0,1261	0,1037	0,1103	27
NO0042	PCB_153	air+aerosol	0,0811	0,0842	0,0884	0,0855	0,0627	0,0525	0,0945	0,1238	0,0645	0,1545	0,1133	0,0899	0,091	28
NO0042	PCB_156	air+aerosol	0,0035	0,0046	0,008	0,0032	0,0021	0,0024	0,0029	0,0118	0,0032	0,0089	0,0124	0,0039	0,0054	26
NO0042	PCB_157	air+aerosol	0,0013	0,0021	0,0044	0,0014	0,0011	0,0012	0,0012	0,0028	0,0012	0,0023	0,0037	0,0013	0,002	28
NO0042	PCB_167	air+aerosol	0,0021	0,0028	0,0048	0,002	0,0013	0,0017	0,0016	0,004	0,0015	0,0042	0,0053	0,0018	0,0027	27
NO0042	PCB_170	air+aerosol	0,0038	0,0051	0,0065	0,0044	0,0036	0,0032	0,0041	0,0089	0,0035	0,009	0,01	0,0042	0,0056	25
NO0042	PCB_18	air+aerosol	1,0036	1,4673	1,0419	0,7083	0,6203	0,599	1,0663	2,1935	0,7373	0,8823	0,6822	0,8747	1,0032	28
NO0042	PCB_180	air+aerosol	0,011	0,0103	0,0113	0,0113	0,0094	0,0073	0,0113	0,0176	0,0077	0,0234	0,0198	0,0123	0,0126	27
NO0042	PCB_183	air+aerosol	0,0046	0,0056	0,0065	0,0069	0,0046	0,0042	0,0055	0,0063	0,004	0,0093	0,0084	0,0056	0,0059	26
NO0042	PCB_187	air+aerosol	0,0151	0,0127	0,0158	0,0189	0,013	0,0106	0,0153	0,015	0,0122	0,0257	0,0198	0,0157	0,0157	28
NO0042	PCB_189	air+aerosol	0,0012	0,0025	0,0033	0,0013	0,0012	0,0012	0,0013	0,0013	0,0012	0,0017	0,002	0,0013	0,0016	27
NO0042	PCB_194	air+aerosol	0,0016	0,0021	0,0038	0,0017	0,0014	0,0016	0,0016	0,0018	0,0015	0,0022	0,0023	0,0016	0,0019	27
NO0042	PCB_206	air+aerosol	0,0024	0,0052	0,0047	0,0028	0,0024	0,0027	0,0027	0,0027	0,0027	0,0028	0,0032	0,0028	0,0031	28
NO0042	PCB_209	air+aerosol	0,0043	0,0058	0,0048	0,0023	0,0019	0,0018	0,0018	0,0014	0,0013	0,0023	0,0026	0,0026	0,0027	27
NO0042	PCB_28	air+aerosol	0,705	0,9411	0,7898	0,627	0,6275	0,8739	1,511	2,2569	0,9807	0,8434	0,5453	0,6161	0,9628	28
NO0042	PCB_31	air+aerosol	0,6391	0,847	0,707	0,556	0,5624	0,7798	1,325	2,0923	0,8885	0,7254	0,4816	0,5478	0,8644	28
NO0042	PCB_33	air+aerosol	0,4373	0,583	0,5065	0,4001	0,4174	0,6423	1,0527	1,7114	0,7041	0,4826	0,3437	0,3925	0,6574	27
NO0042	PCB_37	air+aerosol	0,0858	0,101	0,0942	0,099	0,105	0,1838	0,2821	0,3927	0,2265	0,1248	0,0907	0,1008	0,1606	28
NO0042	PCB_47	air+aerosol	0,224	0,2843	0,3627	0,2106	0,1867	0,2653	0,3688	0,4896	0,2777	0,2485	0,2202	0,2486	0,2856	28
NO0042	PCB_52	air+aerosol	0,4681	0,5826	0,5289	0,4088	0,3383	0,3409	0,5653	0,6927	0,4142	0,566	0,3836	0,4492	0,4821	28
NO0042	PCB_66	air+aerosol	0,1247	0,1504	0,1527	0,1319	0,114	0,163	0,2186	0,2709	0,1808	0,1935	0,1241	0,1243	0,1649	27
NO0042	PCB_74	air+aerosol	0,0947	0,1142	0,1173	0,0918	0,0783	0,102	0,1396	0,1707	0,1227	0,1456	0,0877	0,0919	0,1146	27
NO0042	PCB_99	air+aerosol	0,0961	0,1215	0,1056	0,0876	0,0665	0,056	0,0969	0,0893	0,0628	0,1559	0,0891	0,0919	0,0936	28
NO0042	alpha_HCH	air+aerosol	2,0003	2,534	2,3943	2,4468	2,7301	2,3568	3,2022	3,706	3,4859	3,7137	3,2376	1,2853	2,6718	30
NO0042	cis_CD	air+aerosol	0,2356	0,1592	0,2696	0,3311	0,2489	0,2027	0,2131	0,2431	0,2703	0,287	0,3144	0,2579	0,2504	30
NO0042	cis_NO	air+aerosol	0,013	0,0089	0,0129	0,029	0,0253	0,0309	0,0345	0,037	0,044	0,0256	0,0248	0,0135	0,0242	30
NO0042	gamma_HCH	air+aerosol	0,2979	0,4841	0,4718	0,4192	0,3501	0,2695	0,4557	0,414	0,4581	0,6693	0,4798	0,2127	0,4025	30
NO0042	op_DDD	air+aerosol	0,0108	0,0077	0,0056	0,0063	0,004	0,0034	0,0039	0,0035	0,0045	0,0122	0,0065	0,0051	0,0061	27
NO0042	op_DDE	air+aerosol	0,0561	0,079	0,0583	0,0287	0,0125	0,0083	0,0127	0,0116	0,0111	0,0872	0,0328	0,0272	0,0358	30
NO0042	op_DDT	air+aerosol	0,0758	0,1165	0,078	0,0801	0,0238	0,0164	0,0531	0,0346	0,0366	0,1836	0,0655	0,0463	0,0654	27
NO0042	pp_DDD	air+aerosol	0,0059	0,005	0,0038	0,0048	0,003	0,003	0,003	0,0032	0,003	0,0076	0,0044	0,0033	0,0041	29
NO0042	pp_DDE	air+aerosol	0,3959	0,6093	0,3133	0,1214	0,0719	0,0501	0,0637	0,0538	0,0767	0,724	0,2931	0,2624	0,2581	30
NO0042	pp_DDT	air+aerosol	0,0519	0,0634	0,0323	0,0287	0,017	0,009	0,0297	0,0182	0,0242	0,1028	0,0418	0,028	0,0401	21
NO0042	sum_DDT	air+aerosol	0,6066	0,8536	0,4913	0,2547	0,1303	0,0909	0,163	0,1283	0,1525	1,1183	0,443	0,3727	0,4061	30
NO0042	sum_PCB	air+aerosol	7,1776	9,1964	7,592	6,2656	5,721	6,8796	10,8316	16,3284	7,7438	8,6929	6,3066	6,4205	8,373	28
NO0042	sum_heptachlor_PCB	air+aerosol	0,0377	0,0409	0,0376	0,045	0,0311	0,0243	0,0488	0,0635	0,0368	0,0944	0,0713	0,052	0,0484	27
NO0042	sum_hexachlor_PCB	air+aerosol	0,2956	0,2944	0,2685	0,3155	0,2618	0,2102	0,4024	0,4937	0,2827	0,5699	0,4392	0,3404	0,3461	28
NO0042	sum_pentachlor_PCB	air+aerosol	0,7097	0,8593	0,6902	0,7097	0,5585	0,5264	0,9294	1,0793	0,5912	1,3071	0,8949	0,742	0,7993	28

Site	Comp	Matrix	Jan	Febr	Mar	Apr	May	June	July	Aug	Sept	Oct	Nov	Dec	2020	
															Annual	Capt.
NO0042	sum_tetrachlor_PCB	air+aerosol	1,9621	2,2627	2,3396	1,8129	1,5997	1,897	2,7285	3,5236	2,1822	2,5129	1,7665	1,8556	2,2299	28
NO0042	sum_trichlor_PCB	air+aerosol	4,1644	5,7362	4,2507	3,3756	3,2642	4,2156	6,7163	11,162	4,6453	4,2013	3,1262	3,4237	4,9433	28
NO0042	trans_CD	air+aerosol	0,1305	0,0757	0,1405	0,1453	0,0652	0,0459	0,0443	0,0555	0,0578	0,0906	0,1497	0,1434	0,0964	29
NO0042	trans_NO	air+aerosol	0,2066	0,1305	0,2406	0,3301	0,2269	0,1816	0,184	0,197	0,2201	0,2535	0,279	0,2439	0,2224	30
NO0090	FTS_6-2	air+aerosol	0,04	0,04	0,04	0,04	0,04	0,04	0,04	0,04	0,04	0,04	0,04	0,04	0,04	100
NO0090	PFBS	air+aerosol	0,02	0,02	0,02	0,02	0,02	0,02	0,02	0,02	0,02	0,02	0,02	0,02	0,02	100
NO0090	PFHpA	air+aerosol	0,05	0,05	0,05	0,05	0,05	0,05	0,05	0,05	0,05	0,05	0,05	0,05	0,05	100
NO0090	PFHxA	air+aerosol	0,05	0,05	0,05	0,05	0,05	0,07	0,05	0,05	0,05	0,05	0,05	0,05	0,0516	100
NO0090	PFHxS	air+aerosol	0,02	0,02	0,02	0,02	0,02	0,02	0,02	0,02	0,02	0,02	0,02	0,02	0,02	100
NO0090	PFNA	air+aerosol	0,05	0,05	0,05	0,05	0,05	0,05	0,05	0,05	0,05	0,05	0,05	0,05	0,05	100
NO0090	PFOA	air+aerosol	0,045	0,06	0,063	0,049	0,043	0,081	0,037	0,073	0,053	0,041	0,067	0,039	0,0541	100
NO0090	HCB	air+aerosol	29,6	29,4	32,4	39,1	29,3192	15,2	-	17,713	19	-	15,1	22,4	24,6709	7
NO0090	PCB_101	air+aerosol	0,372	0,464	0,467	0,357	0,3001	0,383	-	0,2865	0,233	-	0,493	0,383	0,3604	7
NO0090	PCB_105	air+aerosol	0,0235	0,0446	0,0358	0,0199	0,0177	0,0228	-	0,0171	0,0138	-	0,0324	0,0298	0,0243	7
NO0090	PCB_114	air+aerosol	0,003	0,0053	0,0037	0,0028	0,0022	0,0033	-	0,002	0,0017	-	0,0013	0,0039	0,0028	7
NO0090	PCB_118	air+aerosol	0,089	0,151	0,131	0,0806	0,0727	0,089	-	0,0675	0,0521	-	0,121	0,104	0,0915	7
NO0090	PCB_122	air+aerosol	0,0029	0,004	0,005	0,0025	0,0024	0,0032	-	0,0024	0,0015	-	0,0045	0,0038	0,0031	7
NO0090	PCB_123	air+aerosol	0,002	0,0038	0,0033	0,002	0,0019	0,002	-	0,0016	0,0014	-	0,0031	0,0026	0,0023	7
NO0090	PCB_128	air+aerosol	0,0074	0,0146	0,0151	0,0072	0,0074	0,0109	-	0,0144	0,0066	-	0,0199	0,016	0,0118	7
NO0090	PCB_138	air+aerosol	0,0732	0,11	0,123	0,0679	0,0633	0,0814	-	0,0683	0,0558	-	0,149	0,118	0,0868	7
NO0090	PCB_141	air+aerosol	0,0212	0,0257	0,0264	0,0171	0,0169	0,0252	-	0,0201	0,0155	-	0,041	0,03	0,023	7
NO0090	PCB_149	air+aerosol	0,187	0,213	0,249	0,181	0,1546	0,218	-	0,1633	0,138	-	0,332	0,23	0,1987	7
NO0090	PCB_153	air+aerosol	0,133	0,174	0,194	0,116	0,111	0,139	-	0,1166	0,0923	-	0,261	0,196	0,1467	7
NO0090	PCB_156	air+aerosol	0,0026	0,0058	0,0041	0,0023	0,0022	0,0031	-	0,0026	0,0021	-	0,0067	0,0058	0,0035	7
NO0090	PCB_157	air+aerosol	0,0013	0,0012	0,0013	0,0013	0,0013	0,0013	-	0,0013	0,0013	-	0,0013	0,0013	0,0013	7
NO0090	PCB_167	air+aerosol	0,0017	0,0032	0,0024	0,0013	0,0014	0,0018	-	0,0017	0,0013	-	0,0036	0,0029	0,002	7
NO0090	PCB_170	air+aerosol	0,0048	0,0052	0,0057	0,0034	0,0039	0,006	-	0,0049	0,0043	-	0,015	0,0106	0,0061	7
NO0090	PCB_18	air+aerosol	0,985	1,63	1,36	0,936	0,6758	0,695	-	0,5219	0,381	-	1,18	1,45	0,9173	7
NO0090	PCB_180	air+aerosol	0,015	0,0188	0,021	0,0107	0,0132	0,0203	-	0,0175	0,0138	-	0,047	0,0349	0,0203	7
NO0090	PCB_183	air+aerosol	0,0085	0,0103	0,0132	0,0081	0,0081	0,0118	-	0,009	0,0067	-	0,0247	0,0159	0,0111	7
NO0090	PCB_187	air+aerosol	0,0278	0,0319	0,0455	0,0238	0,0254	0,0342	-	0,0274	0,0217	-	0,0731	0,0463	0,0342	7
NO0090	PCB_189	air+aerosol	0,0014	0,0013	0,0013	0,0013	0,0013	0,0013	-	0,0013	0,0013	-	0,0013	0,0013	0,0013	7
NO0090	PCB_194	air+aerosol	0,0017	0,0016	0,0016	0,0016	0,0016	0,0016	-	0,0018	0,0016	-	-	0,0024	0,0017	6
NO0090	PCB_206	air+aerosol	0,0029	0,0028	0,0028	0,0028	0,0028	0,0028	-	0,0028	0,0029	-	0,0028	0,0028	0,0028	7
NO0090	PCB_209	air+aerosol	0,0015	0,0025	0,0016	0,0014	0,0014	0,0016	-	0,0015	0,0014	-	0,0016	0,0016	0,0016	7
NO0090	PCB_28	air+aerosol	0,695	0,98	0,912	0,699	0,5297	0,569	-	0,4065	0,285	-	0,551	0,722	0,6068	7
NO0090	PCB_31	air+aerosol	0,651	0,896	0,834	0,649	0,5382	0,577	-	0,4154	0,264	-	0,585	0,682	0,5868	7
NO0090	PCB_33	air+aerosol	0,423	0,566	0,504	0,408	0,3365	0,369	-	0,2612	0,158	-	0,325	0,409	0,3629	7

Site	Comp	Matrix	Jan	Febr	Mar	Apr	May	June	July	Aug	Sept	Oct	Nov	Dec	2020	
															Annual	Capt.
NO0090	PCB_37	air+aerosol	0,0733	0,0965	0,0882	0,0664	0,0679	0,0683	-	0,052	0,0285	-	0,0482	0,0679	0,0647	7
NO0090	PCB_47	air+aerosol	5,82	5,87	4,14	5,96	5,3929	7,23	-	4,3619	2,51	-	2,84	2,17	4,6677	7
NO0090	PCB_52	air+aerosol	0,694	0,859	0,873	0,698	0,5736	0,627	-	0,4903	0,388	-	0,746	0,678	0,6407	7
NO0090	PCB_66	air+aerosol	0,138	0,187	0,19	0,135	0,116	0,123	-	0,0968	0,0624	-	0,101	0,113	0,1229	7
NO0090	PCB_74	air+aerosol	0,108	0,143	0,148	0,108	0,0971	0,0917	-	0,0745	0,0523	-	0,0852	0,09	0,0974	7
NO0090	PCB_99	air+aerosol	0,13	0,188	0,191	0,139	0,1144	0,124	-	0,0987	0,0826	-	0,163	0,138	0,1318	7
NO0090	sum_PCB	air+aerosol	14,6457	17,7032	15,277	14,5402	12,5094	15,402	-	10,3146	6,5608	-	11,4669	10,6798	12,6541	7
NO0090	sum_heptachlor_PCB	air+aerosol	0,0766	0,0914	0,122	0,0534	0,0661	0,106	-	0,0912	0,0649	-	0,23	0,157	0,1014	7
NO0090	sum_hexachlor_PCB	air+aerosol	0,593	0,705	0,819	0,551	0,4558	0,66	-	0,5041	0,416	-	1,06	0,746	0,6225	7
NO0090	sum_pentachlor_PCB	air+aerosol	1,15	1,58	1,56	1,12	0,9479	1,18	-	0,8831	0,674	-	1,42	1,13	1,1228	7
NO0090	sum_tetrachlor_PCB	air+aerosol	8,75	9,4	7,52	8,8	7,8275	10	-	6,3696	3,83	-	5,04	4,09	7,1476	7
NO0090	sum_trichlor_PCB	air+aerosol	4,07	5,92	5,25	4,01	3,2063	3,45	-	2,4604	1,57	-	3,71	4,55	3,6536	7
PL0005R	benz_a_anthracene	pm10	1,2616	0,9342	0,433	0,1306	0,0378	0,0045	0,0058	0,0074	0,0564	0,3167	0,7373	1,0748	0,4252	84
PL0005R	benzo_a_pyrene	pm10	1,29	1,0738	0,5621	0,1616	0,0568	0,0257	0,0196	0,0323	0,1172	0,4923	0,966	1,229	0,5116	84
PL0005R	benzo_b_fluoranthene	pm10	1,8483	1,3485	0,7791	0,2925	0,1024	0,0384	0,0309	0,0468	0,1584	0,5688	1,2317	1,4913	0,6738	84
PL0005R	benzo_k_fluoranthene	pm10	0,7219	0,5282	0,2971	0,1059	0,0359	0,013	0,0102	0,0167	0,0621	0,2257	0,4875	0,5943	0,2631	84
PL0005R	dibenzo_ah_anthracene	pm10	0,2279	0,1471	0,0815	0,025	0,0107	0,004	0,0024	0,0046	0,0192	0,0668	0,1475	0,1399	0,0744	84
PL0005R	inden_123cd_pyrene	pm10	1,285	0,9156	0,5492	0,2209	0,0858	0,0392	0,0303	0,0417	0,1707	0,5041	1,0499	1,181	0,5155	84
PL0009R	benz_a_anthracene	pm10	1,3264	1,0366	0,8508	0,3035	0,0965	0,0097	0,011	0,0162	0,078	0,2836	0,5757	1,626	0,5375	83
PL0009R	benzo_a_pyrene	pm10	1,4556	1,125	1,1228	0,4148	0,1516	0,0207	0,0241	0,0405	0,2038	0,5683	0,7198	1,7535	0,6533	83
PL0009R	benzo_b_fluoranthene	pm10	1,3868	1,0422	1,0454	0,3305	0,1228	0,0291	0,0315	0,0613	0,2436	0,6098	0,8084	2,2652	0,6857	83
PL0009R	benzo_k_fluoranthene	pm10	0,8016	0,6088	0,5713	0,2096	0,0773	0,012	0,0136	0,0247	0,1102	0,2934	0,3785	0,9272	0,3462	83
PL0009R	dibenzo_ah_anthracene	pm10	0,0419	0,0332	0,0561	0,0158	0,0096	0,0015	0,0014	0,0032	0,0264	0,0258	0,0652	0,1602	0,0374	83
PL0009R	inden_123cd_pyrene	pm10	1,2497	1,0656	0,9849	0,356	0,1226	0,0212	0,0241	0,0501	0,1766	0,3977	0,5423	1,2552	0,5355	83
SE0014R	1234678_HpCDD	air+aerosol	-	-	0,07	0,07	-	0,029	-	0,049	0,049	-	0,3	0,3	0,1185	32
SE0014R	1234678_HpCDF	air+aerosol	-	-	0,053	0,053	-	0,043	-	0,025	0,025	-	0,15	0,15	0,0706	32
SE0014R	1234789_HpCDF	air+aerosol	-	-	0,005	0,005	-	0,004	-	0,004	0,004	-	0,022	0,022	0,0092	32
SE0014R	123478_HxCDD	air+aerosol	-	-	0,053	0,053	-	0,02	-	0,035	0,035	-	0,17	0,17	0,073	32
SE0014R	123478_HxCDF	air+aerosol	-	-	0,11	0,11	-	0,082	-	0,082	0,082	-	0,48	0,48	0,1986	32
SE0014R	123678_HxCDD	air+aerosol	-	-	0,083	0,083	-	0,029	-	0,052	0,052	-	0,31	0,31	0,1251	32
SE0014R	123678_HxCDF	air+aerosol	-	-	0,086	0,086	-	0,071	-	0,067	0,067	-	0,43	0,43	0,1727	32
SE0014R	123789_HxCDD	air+aerosol	-	-	0,061	0,061	-	0,022	-	0,044	0,044	-	0,25	0,25	0,0996	32
SE0014R	123789_HxCDF	air+aerosol	-	-	0,062	0,062	-	0,048	-	0,044	0,044	-	0,18	0,18	0,0868	32
SE0014R	12378_PeCDD	air+aerosol	-	-	0,2	0,2	-	0,2	-	0,26	0,26	-	1,5	1,5	0,5731	32
SE0014R	12378_PeCDF	air+aerosol	-	-	0,022	0,022	-	0,014	-	0,024	0,024	-	0,09	0,09	0,0393	32
SE0014R	234678_HxCDF	air+aerosol	-	-	0,13	0,13	-	0,099	-	0,085	0,085	-	0,51	0,51	0,2165	32
SE0014R	23478_PeCDF	air+aerosol	-	-	0,189	0,189	-	0,222	-	0,261	0,261	-	1,8	1,8	0,6588	32
SE0014R	2378_TCDD	air+aerosol	-	-	0,1	0,1	-	0,1	-	0,11	0,11	-	0,36	0,36	0,1741	32

Site	Comp	Matrix	Jan	Febr	Mar	Apr	May	June	July	Aug	Sept	Oct	Nov	Dec	2020	
															Annual	Capt.
SE0014R	2378_TCDF	air+aerosol	-	-	0,12	0,12	-	0,075	-	0,13	0,13	-	0,43	0,43	0,1971	32
SE0014R	BDE_100	air+aerosol	0,03	0,03	0,03	0,03	0,03	0,03	0,03	0,03	0,03	0,03	0,03	0,03	0,03	100
SE0014R	BDE_153	air+aerosol	0,04	0,04	0,0616	0,0918	0,162	0,0559	0,04	0,04	0,04	0,04	0,04	0,04	0,0577	100
SE0014R	BDE_154	air+aerosol	0,04	0,162	0,33	0,4704	0,954	0,2739	0,118	0,1127	0,0665	0,062	0,0793	0,077	0,2293	100
SE0014R	BDE_209	air+aerosol	0,27	0,27	1,0739	0,5087	1,15	0,6067	0,28	0,3652	0,397	0,37	0,6653	0,83	0,5674	100
SE0014R	BDE_47	air+aerosol	0,03	0,03	0,03	0,03	0,03	0,044	0,03	0,0492	0,0628	0,043	0,0436	0,061	0,0403	100
SE0014R	BDE_85	air+aerosol	0,04	0,04	0,04	0,04	0,04	0,04	0,04	0,04	0,04	0,04	0,04	0,04	0,04	100
SE0014R	BDE_99	air+aerosol	0,03	0,03	0,0381	0,03	0,03	0,03	0,03	0,0305	0,0444	0,03	0,0364	0,054	0,0345	100
SE0014R	FTS_6-2	air+aerosol	0,05	0,05	0,05	0,05	0,05	0,05	0,05	0,05	0,05	0,05	0,05	0,05	0,05	100
SE0014R	HCB	air+aerosol	10	10	10	9,3333	5	5	5	5	5,5	10	10	10	7,8962	100
SE0014R	OCDD	air+aerosol	-	-	0,005	0,005	-	0,003	-	0,004	0,004	-	0,02	0,02	0,0084	32
SE0014R	OCDF	air+aerosol	-	-	0,008	0,008	-	0,001	-	0,001	0,001	-	0,004	0,004	0,0035	32
SE0014R	PCB_101	air+aerosol	0,488	0,4089	0,4351	0,4871	0,715	2,2657	1,141	2,1463	1,3358	1,073	0,6993	0,615	0,985	100
SE0014R	PCB_118	air+aerosol	0,186	0,1497	0,161	0,1929	0,264	0,7688	0,402	0,7597	0,4779	0,387	0,252	0,2	0,3504	100
SE0014R	PCB_138	air+aerosol	0,229	0,202	0,2237	0,2351	0,444	1,7971	0,441	1,5013	0,9324	0,603	0,4237	0,405	0,6196	100
SE0014R	PCB_153	air+aerosol	0,334	0,2632	0,2921	0,3426	0,548	2,0153	0,55	1,5985	1,0241	0,791	0,5222	0,484	0,7303	100
SE0014R	PCB_180	air+aerosol	0,05	0,05	0,082	0,0855	0,186	0,6954	0,099	0,4725	0,2755	0,217	0,1569	0,149	0,2097	100
SE0014R	PCB_28	air+aerosol	0,478	0,4454	0,5395	0,4279	0,44	1,1487	0,613	1,0174	0,8686	0,964	0,6728	0,907	0,7109	100
SE0014R	PCB_52	air+aerosol	0,581	0,5531	0,6323	0,6338	0,808	2,1389	1,186	2,0474	1,4185	1,063	0,7873	0,743	1,0499	100
SE0014R	PFBA	air+aerosol	2,606	2,8453	1,936	3,5906	4,16	3,5087	6,15	4,7242	4,9941	4,563	2,8053	1,279	3,5996	100
SE0014R	PFBS	air+aerosol	0,05	0,05	0,05	0,05	0,05	0,05	0,05	0,05	0,05	0,05	0,05	0,05	0,05	100
SE0014R	PFDCa	air+aerosol	0,111	0,1222	0,1315	0,1663	0,136	0,2617	0,09	0,0986	0,2534	0,077	0,0789	0,05	0,1308	100
SE0014R	PFDCs	air+aerosol	0,05	0,05	0,05	0,05	0,05	0,05	0,05	0,05	0,05	0,05	0,05	0,05	0,05	100
SE0014R	PFHpA	air+aerosol	0,214	0,2093	0,1687	0,2103	0,18	0,1796	0,216	0,0667	0,2174	0,05	0,1779	0,05	0,161	100
SE0014R	PFHxA	air+aerosol	0,44	0,3171	0,2546	0,2771	0,356	0,6178	0,643	0,4104	0,2748	0,615	0,533	0,452	0,4333	100
SE0014R	PFHxS	air+aerosol	0,05	0,05	0,05	0,05	0,05	0,05	0,05	0,05	0,05	0,05	0,05	0,05	0,05	100
SE0014R	PFNA	air+aerosol	0,261	0,2629	0,1821	0,2254	0,215	0,2718	0,269	0,184	0,3319	0,178	0,2738	0,112	0,2299	100
SE0014R	PFOA	air+aerosol	0,704	0,7496	0,5072	0,5885	0,533	0,4001	0,583	0,3643	0,538	0,43	0,623	0,229	0,5194	100
SE0014R	PFOS	air+aerosol	0,68	0,7452	0,416	0,3885	0,385	0,2017	0,52	0,2995	0,5251	0,355	0,4903	0,215	0,4338	100
SE0014R	PFOSA	air+aerosol	0,05	0,05	0,05	0,05	0,05	0,05	0,05	0,05	0,05	0,05	0,05	0,05	0,05	100
SE0014R	PFUnA	air+aerosol	0,05	0,05	0,05	0,05	0,05	0,358	0,05	0,0654	0,4784	0,05	0,05	0,05	0,1117	100
SE0014R	aldrin	air+aerosol	0,1	0,1	0,1	0,1	0,1	0,1933	0,1	0,1903	0,1	0,1	0,1933	0,1	0,123	100
SE0014R	alpha_HCH	air+aerosol	1,61	1,7124	1,4116	1,5733	1,66	2,52	1,54	1,5626	2,664	3,96	2,55	1,14	1,9899	100
SE0014R	alpha_endosulfan	air+aerosol	0,28	0,1217	0,1416	0,1947	0,29	0,57	-	0,63	0,44	0,44	0,44	-	0,331	66
SE0014R	anthracene	air+aerosol	0,0071	0,0079	0,0137	0,006	0,0051	0,0034	0,0017	0,0036	0,004	0,0088	0,0231	0,1107	0,0164	100
SE0014R	benz_a_anthracene	air+aerosol	0,024	0,0175	0,0344	0,0185	0,0116	0,0093	0,0098	0,0112	0,0143	0,0175	0,0324	0,1601	0,0303	100
SE0014R	benzo_a_pyrene	air+aerosol	0,0122	0,0101	0,0309	0,0102	0,0045	0,0018	0,0019	0,0027	0,0066	0,0109	0,0276	0,1955	0,0265	100
SE0014R	benzo_b_fluoranthene	air+aerosol	0,031	0,026	0,0693	0,0292	0,0139	0,006	0,0067	0,0078	0,0131	0,0225	0,0505	0,2907	0,0476	100

Site	Comp	Matrix	Jan	Febr	Mar	Apr	May	June	July	Aug	Sept	Oct	Nov	Dec	2020	
															Annual	Capt.
SE0014R	benzo_ghi_perylene	air+aerosol	0,0163	0,0145	0,0374	0,0141	0,0064	0,0028	0,0021	0,0033	0,0057	0,0094	0,0235	0,1287	0,0222	100
SE0014R	benzo_k_fluoranthene	air+aerosol	0,0119	0,0096	0,0283	0,0107	0,0046	0,0022	0,0021	0,0029	0,0053	0,0093	0,0219	0,1311	0,0202	100
SE0014R	beta_endosulfan	air+aerosol	0,08	0,08	0,08	0,08	0,08	0,08	0,08	0,08	0,08	0,08	0,08	0,08	0,08	100
SE0014R	chrysene	air+aerosol	0,0388	0,0322	0,0754	0,0309	0,0206	0,0072	0,0113	0,0101	0,0216	0,028	0,06	0,3063	0,0539	100
SE0014R	dibenzo_ah_anthracene	air+aerosol	0,0034	0,0027	0,0079	0,0028	0,0013	0,0005	0,0004	0,0008	0,0015	0,0028	0,0066	0,0436	0,0062	100
SE0014R	fluoranthene	air+aerosol	0,203	0,163	0,2794	0,1138	0,067	0,0581	0,032	0,0601	0,0684	0,126	0,2504	1,058	0,2078	100
SE0014R	gamma_HCH	air+aerosol	1,34	1,2097	1,1961	1,3253	1,62	4,212	1,58	2,8419	2,113	2,59	1,423	1,18	1,8854	100
SE0014R	inden_123cd_pyrene	air+aerosol	0,0204	0,0164	0,0462	0,0171	0,0077	0,0031	0,0025	0,0043	0,0085	0,0149	0,0342	0,1871	0,0304	100
SE0014R	phenanthrene	air+aerosol	0,489	0,4806	0,5939	0,2953	0,271	0,3013	0,137	0,2659	0,2304	0,396	0,7431	2,494	0,5604	100
SE0014R	pp_DDD	air+aerosol	0,02	0,02	0,02	0,02	0,02	0,02	0,02	0,02	0,02	0,02	0,02	0,02	0,02	100
SE0014R	pp_DDE	air+aerosol	1,23	0,9786	1,071	0,5733	0,53	0,924	0,56	1,2284	1,299	2,91	2,0957	3,4	1,4042	100
SE0014R	pp_DDT	air+aerosol	0,2	0,1721	0,2803	0,1973	0,18	0,4327	0,19	0,5274	0,313	0,52	0,321	0,43	0,3144	100
SE0014R	pyrene	air+aerosol	0,114	0,1103	0,1933	0,0798	0,046	0,0303	0,02	0,036	0,045	0,081	0,1503	0,677	0,1326	100
SE0020R	anthracene	air+aerosol	0,0007	0,0001	0,0026	0,0012	0,0001	0,0001	0,0002	0,0004	0,0007	0,0009	0,0051	0,0426	0,0046	100
SE0020R	benz_a_anthracene	air+aerosol	0,0082	0,0032	0,0237	0,0123	0,0025	0,0017	0,001	0,0031	0,0061	0,0097	0,0524	0,3541	0,0403	100
SE0020R	benzo_a_pyrene	air+aerosol	0,0068	0,0044	0,0316	0,0151	0,005	0,0035	0,0017	0,0051	0,0101	0,0149	0,059	0,382	0,0454	100
SE0020R	benzo_b_fluoranthene	air+aerosol	0,0305	0,0184	0,0819	0,0416	0,0114	0,0074	0,0043	0,0106	0,0218	0,03	0,1071	0,5561	0,0774	100
SE0020R	benzo_ghi_perylene	air+aerosol	0,0217	0,0132	0,0486	0,024	0,0089	0,006	0,0041	0,0079	0,0172	0,0242	0,0827	0,4334	0,0582	100
SE0020R	benzo_k_fluoranthene	air+aerosol	0,0108	0,006	0,0297	0,0137	0,004	0,003	0,0015	0,0039	0,0081	0,0114	0,0443	0,2501	0,0325	100
SE0020R	chrysene	air+aerosol	0,0215	0,0144	0,058	0,0259	0,0067	0,0055	0,0027	0,0067	0,0139	0,0181	0,0739	0,4432	0,0581	100
SE0020R	dibenzo_ah_anthracene	air+aerosol	0,0038	0,0025	0,0094	0,0047	0,0015	0,0009	0,001	0,0012	0,0028	0,0043	0,0166	0,0913	0,0118	100
SE0020R	fluoranthene	air+aerosol	0,023	0,0034	0,0962	0,0423	0,005	0,0059	0,004	0,0099	0,0195	0,024	0,0957	0,635	0,0812	100
SE0020R	inden_123cd_pyrene	air+aerosol	0,0229	0,0137	0,0566	0,0264	0,0089	0,0058	0,0035	0,0075	0,0169	0,0247	0,0859	0,4081	0,0572	100
SE0020R	phenanthrene	air+aerosol	0,01	0,0072	0,0642	0,0233	0,006	0,0069	0,006	0,007	0,0081	0,009	0,0379	0,261	0,0376	100
SE0020R	pyrene	air+aerosol	0,02	0,0032	0,0767	0,0353	0,005	0,0049	0,003	0,0089	0,0177	0,024	0,0925	0,623	0,077	100
SE0022R	1234678_HpCDD	air+aerosol	-	-	0,079	0,079	-	0,018	-	-	0,026	-	-	0,11	0,0582	31
SE0022R	1234678_HpCDF	air+aerosol	-	-	3,8	3,8	-	0,052	-	-	0,025	-	-	0,1	0,9943	31
SE0022R	1234789_HpCDF	air+aerosol	-	-	0,22	0,22	-	0,007	-	-	0,003	-	-	0,014	0,061	31
SE0022R	123478_HxCDD	air+aerosol	-	-	0,051	0,051	-	0,024	-	-	0,019	-	-	0,08	0,0435	31
SE0022R	123478_HxCDF	air+aerosol	-	-	0,21	0,21	-	0,08	-	-	0,049	-	-	0,32	0,1648	31
SE0022R	123678_HxCDD	air+aerosol	-	-	0,061	0,061	-	0,016	-	-	0,069	-	-	0,16	0,0765	31
SE0022R	123678_HxCDF	air+aerosol	-	-	0,15	0,15	-	0,035	-	-	0,041	-	-	0,27	0,124	31
SE0022R	123789_HxCDD	air+aerosol	-	-	0,046	0,046	-	0,02	-	-	0,044	-	-	0,1	0,0525	31
SE0022R	123789_HxCDF	air+aerosol	-	-	0,082	0,082	-	0,039	-	-	0,037	-	-	0,12	0,0695	31
SE0022R	12378_PeCDD	air+aerosol	-	-	0,29	0,29	-	0,67	-	-	0,27	-	-	0,7	0,4825	31
SE0022R	12378_PeCDF	air+aerosol	-	-	0,033	0,033	-	0,015	-	-	0,012	-	-	0,069	0,0323	31
SE0022R	234678_HxCDF	air+aerosol	-	-	0,17	0,17	-	0,049	-	-	0,058	-	-	0,35	0,1568	31
SE0022R	23478_PeCDF	air+aerosol	-	-	0,51	0,51	-	0,192	-	-	0,165	-	-	1,11	0,4943	31

Site	Comp	Matrix	Jan	Febr	Mar	Apr	May	June	July	Aug	Sept	Oct	Nov	Dec	2020	
															Annual	Capt.
SE0022R	2378_TCDD	air+aerosol	-	-	0,13	0,13	-	0,68	-	-	0,1	-	-	0,24	0,2875	31
SE0022R	2378_TCDF	air+aerosol	-	-	0,51	0,51	-	0,13	-	-	0,059	-	-	0,27	0,2422	31
SE0022R	BDE_100	air+aerosol	0,03	0,03	0,03	0,03	0,03	0,0207	0,03	0,03	0,0207	0,03	0,03	0,03	0,0285	99
SE0022R	BDE_153	air+aerosol	0,03	0,03	0,03	0,03	0,03	0,03	0,03	0,03	0,03	0,03	0,03	0,03	0,03	99
SE0022R	BDE_154	air+aerosol	0,03	0,03	0,03	0,03	0,03	0,03	0,03	0,03	0,03	0,03	0,03	0,03	0,03	99
SE0022R	BDE_47	air+aerosol	0,03	0,03	0,03	0,03	0,03	0,03	0,03	0,03	0,0207	0,03	0,0291	0,033	0,0294	99
SE0022R	BDE_85	air+aerosol	0,03	0,03	0,03	0,03	0,03	0,03	0,03	0,03	0,03	0,03	0,03	0,03	0,03	99
SE0022R	BDE_99	air+aerosol	0,03	0,03	0,03	0,03	0,03	0,0207	0,03	0,03	0,0207	0,03	0,03	0,032	0,0286	99
SE0022R	HCB	air+aerosol	15	15	14,8387	10	10	5,1667	5	5	5,3333	10	10	10	9,6006	99
SE0022R	OCDD	air+aerosol	-	-	0,007	0,007	-	0,002	-	-	0,002	-	-	0,006	0,0043	31
SE0022R	OCDF	air+aerosol	-	-	1,74	1,74	-	0,023	-	-	0,004	-	-	0,005	0,443	31
SE0022R	PCB_101	air+aerosol	0,266	0,2364	0,2864	0,245	0,317	0,7264	0,474	0,6483	0,4561	0,569	0,3422	0,375	0,4127	99
SE0022R	PCB_118	air+aerosol	0,099	0,0954	0,0861	0,1005	0,105	0,2064	0,15	0,1599	0,1361	0,179	0,1137	0,13	0,1302	99
SE0022R	PCB_138	air+aerosol	0,109	0,1207	0,1271	0,117	0,153	0,424	0,218	0,4321	0,204	0,204	0,1275	0,194	0,2029	99
SE0022R	PCB_153	air+aerosol	0,15	0,1437	0,1576	0,1509	0,186	0,5204	0,361	0,4811	0,3182	0,335	0,2407	0,239	0,2743	99
SE0022R	PCB_180	air+aerosol	0,04	0,04	0,04	0,0404	0,044	0,1259	0,094	0,122	0,0754	0,067	0,0521	0,07	0,0676	99
SE0022R	PCB_28	air+aerosol	0,445	0,3787	0,5349	0,3595	0,382	0,8295	0,338	0,4265	0,4277	0,76	0,4641	0,747	0,5063	99
SE0022R	PCB_52	air+aerosol	0,349	0,3642	0,4539	0,3049	0,439	0,6816	0,437	0,5969	0,4387	0,672	0,4237	0,517	0,4735	99
SE0022R	alpha_HCH	air+aerosol	2,4	1,7903	1,0616	2,533	2,02	1,78	2,94	2,669	4,0827	5,38	2,58	1,86	2,6002	99
SE0022R	anthracene	air+aerosol	0,0168	0,0156	0,0112	0,006	0,01	0,005	0,0037	0,0048	0,0112	0,0166	0,0196	0,0525	0,0141	99
SE0022R	benz_a_anthracene	air+aerosol	0,0151	0,0104	0,0118	0,0059	0,0055	0,0098	0,0043	0,0079	0,0094	0,0151	0,0264	0,0653	0,0152	99
SE0022R	benzo_a_pyrene	air+aerosol	0,0119	0,0089	0,0135	0,0058	0,0029	0,0025	0,0011	0,0026	0,0078	0,0124	0,0267	0,0678	0,0133	99
SE0022R	benzo_b_fluoranthene	air+aerosol	0,0287	0,0222	0,0296	0,0132	0,0079	0,0093	0,0028	0,007	0,0172	0,027	0,0489	0,1208	0,0272	99
SE0022R	benzo_ghi_perylene	air+aerosol	0,0164	0,0112	0,0143	0,006	0,0035	0,003	0,0012	0,0034	0,0106	0,016	0,0304	0,0778	0,0157	99
SE0022R	benzo_k_fluoranthene	air+aerosol	0,0106	0,0081	0,0115	0,0051	0,003	0,003	0,0012	0,0028	0,0067	0,0107	0,0203	0,0495	0,0108	99
SE0022R	chrysene	air+aerosol	0,034	0,0293	0,0334	0,0146	0,0114	0,0104	0,0037	0,0074	0,0179	0,0316	0,0489	0,1319	0,0305	99
SE0022R	dibenzo_ah_anthracene	air+aerosol	0,0036	0,0027	0,0036	0,0014	0,0008	0,0006	0,0002	0,0007	0,0019	0,0034	0,0076	0,0195	0,0037	99
SE0022R	fluoranthene	air+aerosol	0,208	0,1829	0,1562	0,0845	0,08	0,0804	0,037	0,0632	0,098	0,168	0,2231	0,665	0,1669	99
SE0022R	gamma_HCH	air+aerosol	1,14	0,8172	0,5494	0,914	0,95	1,4923	2,38	3,2561	1,9593	2,51	1,558	1,23	1,5708	99
SE0022R	inden_123cd_pyrene	air+aerosol	0,0186	0,0135	0,0186	0,0077	0,0047	0,0039	0,0014	0,0036	0,012	0,0183	0,037	0,0913	0,0187	99
SE0022R	phenanthrene	air+aerosol	0,794	0,6174	0,4315	0,2897	0,341	0,3727	0,228	0,3319	0,4314	0,633	0,703	1,985	0,5866	99
SE0022R	pp_DDD	air+aerosol	0,05	0,059	0,0319	0,03	0,03	0,0303	0,04	0,031	0,03	0,03	0,03	0,03	0,0352	99
SE0022R	pp_DDE	air+aerosol	0,97	0,8624	0,8368	0,449	0,53	0,7633	0,53	0,7287	0,958	2,33	1,6393	2,51	1,0834	99
SE0022R	pp_DDT	air+aerosol	0,15	0,141	0,1394	0,125	0,17	0,36	0,27	0,3874	0,2873	0,53	0,3153	0,3	0,2649	99
SE0022R	pyrene	air+aerosol	0,135	0,1242	0,1027	0,0529	0,052	0,0435	0,02	0,0363	0,0661	0,123	0,1463	0,409	0,107	99
SI0008R	benz_a_anthracene	pm10	0,194	0,0849	0,1137	0,0414	0,0234	-	-	-	0,009	0,0137	0,1383	0,1655	0,0921	23
SI0008R	benzo_a_pyrene	pm10	0,3656	0,1432	0,1523	0,0882	0,009	-	-	-	0,009	0,0503	0,2528	0,3618	0,1706	23
SI0008R	benzo_bjk_fluoranthene	pm10	0,9262	0,43	0,517	0,3269	0,2202	-	-	-	0,1394	0,2504	0,6581	0,9264	0,5099	23

Site	Comp	Matrix	Jan	Febr	Mar	Apr	May	June	July	Aug	Sept	Oct	Nov	Dec	2020	
															Annual	Capt.
SI0008R	dibenzo_ah_anthracene	pm10	0,0775	0,0224	0,0483	0,0132	0,009	-	-	-	0,009	0,0149	0,0859	0,0896	0,0436	23
SI0008R	inden_123cd_pyrene	pm10	0,3865	0,1703	0,1843	0,1058	0,027	-	-	-	0,0183	0,0987	0,3379	0,4251	0,2073	23